

※1：設計基準温度に伴う凍結により重大事故等対処設備と設計基準対象施設の機能が同時に損なわれることはないが、安全上支障のない期間内での復旧により機能維持可能であることを確認

第2図 凍結による重大事故等対処設備への影響評価フロー

## 寿都町及び小樽市における低温の観測記録

第1表 寿都町における毎年の最低温度観測記録  
(気象庁ホームページより)

年	最低気温 [°C]								
1884	-11.4]	1912	-15.7	1940	-8.8	1968	-11.1	1996	-12.4
1885	-12.8	1913	-13.9	1941	-13.0	1969	-12.4	1997	-9.2
1886	-14.4	1914	-9.6	1942	-12.9	1970	-11.3	1998	-12.6
1887	-11.7]	1915	-13.0	1943	-10.4	1971	-10.0	1999	-10.3
1888	-11.6	1916	-11.0	1944	-12.2	1972	-9.7	2000	-10.4
1889	-11.7	1917	-11.5	1945	-12.6	1973	-9.6	2001	-13.4
1890	-11.7	1918	-11.2	1946	-12.8	1974	-10.1	2002	-9.8
1891	-12.6	1919	-15.1	1947	-13.4	1975	-9.3	2003	-11.3
1892	-12.4	1920	-10.4	1948	-10.6	1976	-11.6	2004	-10.0
1893	-15.0	1921	-11.3	1949	-11.1	1977	-12.5	2005	-10.2
1894	-12.4	1922	-12.3	1950	-9.8	1978	-14.1	2006	-12.7
1895	-11.6	1923	-12.7	1951	-12.7	1979	-12.3	2007	-6.6
1896	-12.8	1924	-13.6	1952	-12.4	1980	-10.5	2008	-9.4
1897	-14.0	1925	-13.4	1953	-11.7	1981	-7.5	2009	-10.3
1898	-11.4	1926	-13.2	1954	-11.4	1982	-9.8	2010	-12.9
1899	-10.5	1927	-12.4	1955	-9.9	1983	-11.6	2011	-10.1
1900	-13.1	1928	-11.4	1956	-10.8	1984	-13.0	2012	-10.9
1901	-11.7	1929	-13.0	1957	-11.0	1985	-14.2	2013	-11.1
1902	-15.2	1930	-12.1	1958	-8.6	1986	-12.0	2014	-9.1
1903	-10.8	1931	-14.3	1959	-10.1	1987	-11.5	2015	-9.4
1904	-12.0	1932	-10.2	1960	-10.8	1988	-10.3	2016	-9.4
1905	-9.7	1933	-14.4	1961	-14.0	1989	-9.0	2017	-10.1
1906	-13.1	1934	-10.0	1962	-11.6	1990	-11.3	2018	-13.2
1907	-11.7	1935	-11.2	1963	-10.7	1991	-12.5	2019	-13.0
1908	-13.8	1936	-13.1	1964	-10.1	1992	-11.3	2020	-9.6
1909	-13.3	1937	-15.0	1965	-11.8	1993	-8.5	2021	-11.3
1910	-10.9	1938	-12.1	1966	-14.1	1994	-12.6		
1911	-14.7	1939	-13.6	1967	-14.9	1995	-9.8		

値] : 資料不足値

統計値を求める対象となる資料が許容する資料数を満たさない場合。

第2表 小樽市における毎年の最低温度観測記録  
(気象庁ホームページより)

年	最低気温 [°C]	年	最低気温 [°C]	年	最低気温 [°C]	年	最低気温 [°C]
1943	-16.3	1963	-11.0	1983	-11.3	2003	-14.9
1944	-16.7	1964	-13.8	1984	-13.2	2004	-10.7
1945	-17.2	1965	-11.6	1985	-15.2	2005	-12.0
1946	-13.4	1966	-14.0	1986	-13.9	2006	-13.6
1947	-13.8	1967	-14.1	1987	-12.2	2007	-9.1
1948	-11.7	1968	-16.0	1988	-12.3	2008	-11.3
1949	-11.7	1969	-13.1	1989	-9.8	2009	-11.2
1950	-13.8	1970	-14.1	1990	-13.6	2010	-13.2
1951	-15.3	1971	-13.8	1991	-13.5	2011	-10.6
1952	-13.5	1972	-12.4	1992	-11.2	2012	-12.3
1953	-13.6	1973	-9.6	1993	-8.8	2013	-10.7
1954	-18.0	1974	-11.5	1994	-14.3	2014	-12.6
1955	-11.1	1975	-14.0	1995	-11.4	2015	-9.5
1956	-12.0	1976	-13.6	1996	-13.9	2016	-9.6
1957	-11.7	1977	-14.1	1997	-9.7	2017	-13.0
1958	-11.2	1978	-17.2	1998	-15.1	2018	-11.4
1959	-11.8	1979	-13.2	1999	-12.1	2019	-13.6
1960	-10.9	1980	-12.0	2000	-10.8	2020	-13.9
1961	-13.3	1981	-11.0	2001	-13.5	2021	-12.5
1962	-12.3	1982	-11.8	2002	-10.6		

## 凍結防止対策について

凍結するおそれがある箇所に設置されている設備のうち、通常内部流体が流動せず静止している露出配管は、低温による影響を受ける可能性があるため、ヒーティングケーブル又は配管寸法に応じた厚さの保温材による保温対策を実施している。凍結防止対策を実施する外部事象防護対象施設である原子炉補機冷却海水設備配管等に対する凍結防止対策の概要を図1に示す。

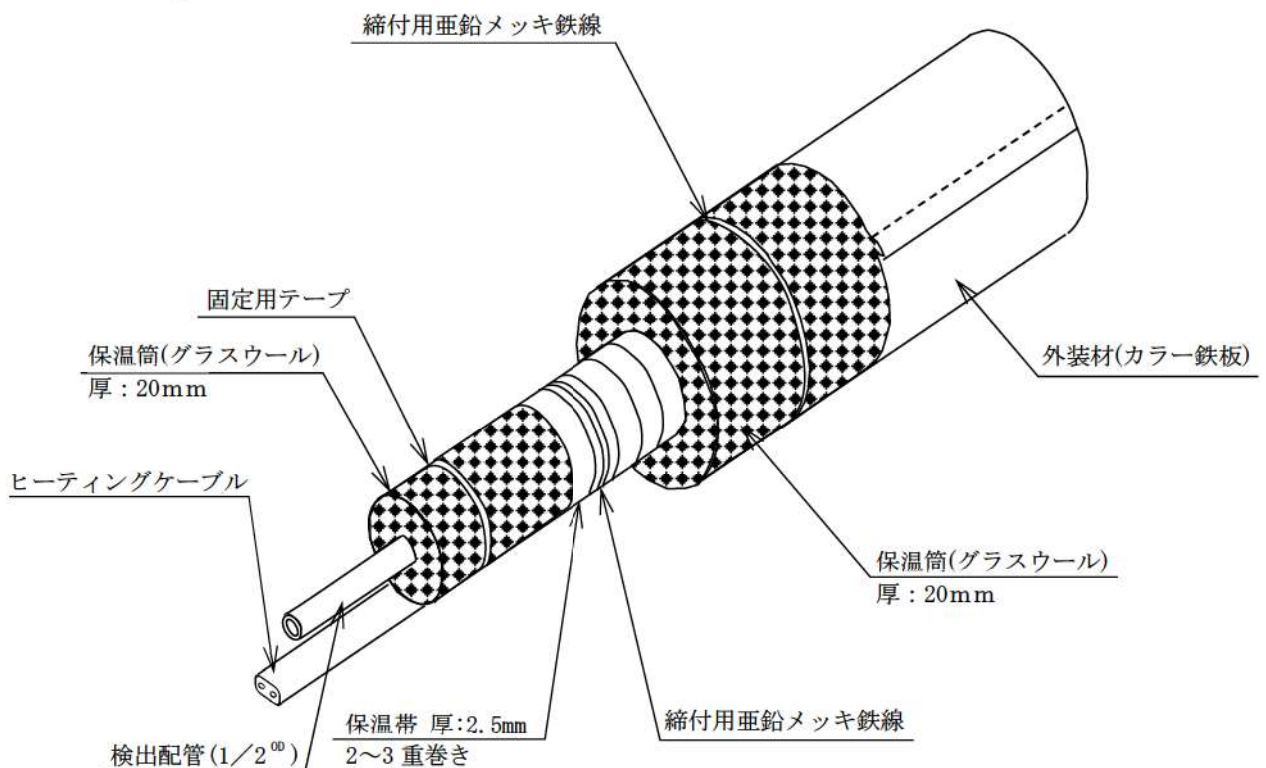


図1 凍結防止保温の例

## (1) 環境条件

- ・霧囲気温度: -7°C

## (2) 凍結防止対策の構造

ヒーティングケーブルは対象配管に取付けた温度検出器により温度を検知し、配管表面温度が□Cになると、ヒーティングケーブルがオンし、□Cになるとオフする。

以 上

■ 條目内の内容は機密情報に属しますので公開できません。

## 補足資料 12

### 降水影響評価について

#### 1. 基本方針

予想される最も苛酷と考えられる条件として設計基準を設定の上、安全施設のうち外部事象防護対象施設は、設計基準降水量による浸水、荷重に対して維持され、安全機能を損なわない設計とする。

#### 2. 設計基準降水量の設定

設計基準降水量は、以下の(1)及び(2)を参照し設定する。

##### (1) 規格・基準類

降水に対する排水施設の規格・基準は、森林法に基づく林地開発許可に関する審査基準等を示した北海道の手引き<sup>(1)</sup>であり、排水施設の設計雨量強度として、雨水の 10 年確率で想定される到達時間内の雨量強度を用いることとしている。また、北海道の大雨水資料（第 14 編）<sup>(2)</sup>では、降雨継続時間毎の北海道内の 10 年確率雨量強度表が示されており、流域面積の規模で区分した単位時間が採用される。同手引きによる発電所敷地における対象区域の確率雨量強度は「神恵内」又は「共和」に分類され、32mm/h が採用される。

##### (2) 観測記録（別紙 1）

気象庁の気象統計情報における降水量の観測記録<sup>(3)</sup>によれば、泊発電所の最寄りの気象官署である寿都特別地域気象観測所及び小樽特別地域気象観測所における地域気象観測システム（アメダス）の最大 1 時間降水量の観測記録史上 1 位は 57.5mm/h（1990 年 7 月 25 日）である。

以上より、設計基準降水量は最大 1 時間降水量の 57.5mm/h と定める。

#### 3. 外部事象防護対象施設の健全性評価

外部事象防護対象施設が、降水によって安全機能を損なうことのない設計であることを評価・確認するため、設計基準降水量（57.5mm/h）による浸水及び荷重が安全施設に作用した場合の影響について評価し、安全機能が維持されることを確認した。

本評価における基本的な考え方は、以下のとおり。また、第 1 図に降水に対する安全施設の評価フローを示す。

○外部事象防護対象施設について、以下の①又は②に分類の上評価し、安全機能が維持できることを確認した。

①建屋外に設置されている設備は、当該の設備に設計基準降水量（57.5mm/h）の降水に対する浸水及び荷重が作用した場合においても、構内排水設備等による排水等によって、安全機能を損なわないことを確認した。（別紙2）

②頑健性のある建屋内に設置されている設備は、設計基準降水量（57.5mm/h）の降水に対し、構内排水設備等による排水によって影響がないことを確認した。

なお、頑健性のある建屋（原子炉建屋等）は、雨水の侵入防止措置として1階床の基準高さを雨水による外部からの水の侵入防止を考慮し、地表面の基準高さに対して30cm高く設定している。また、地表面からの30cmの高さ及び地表面以下の範囲に存在する建屋の貫通部については、すべてシール材や閉止処置を施工している。

○上記以外の安全施設については、降水に対して機能を維持すること若しくは降水による損傷を考慮して代替設備により必要な機能を確保すること、安全上支障のない期間での修復等の対応を行うこと又はそれらを適切に組み合わせることにより、安全機能を損なわない設計とする。

#### 4. 重大事故等対処設備に対する考慮

第2図の降水による重大事故等対処設備への影響評価フローに基づき、設計基準降水量の降水に対し、必要な安全機能を維持できることを確認した。

なお、降水に対する重大事故等対処設備の設計方針は、設置許可基準規則第43条（重大事故等対処設備）にて考慮する。

#### 5. 参考文献

(1) 北海道林地開発許可制度の手引き（令和4年9月）

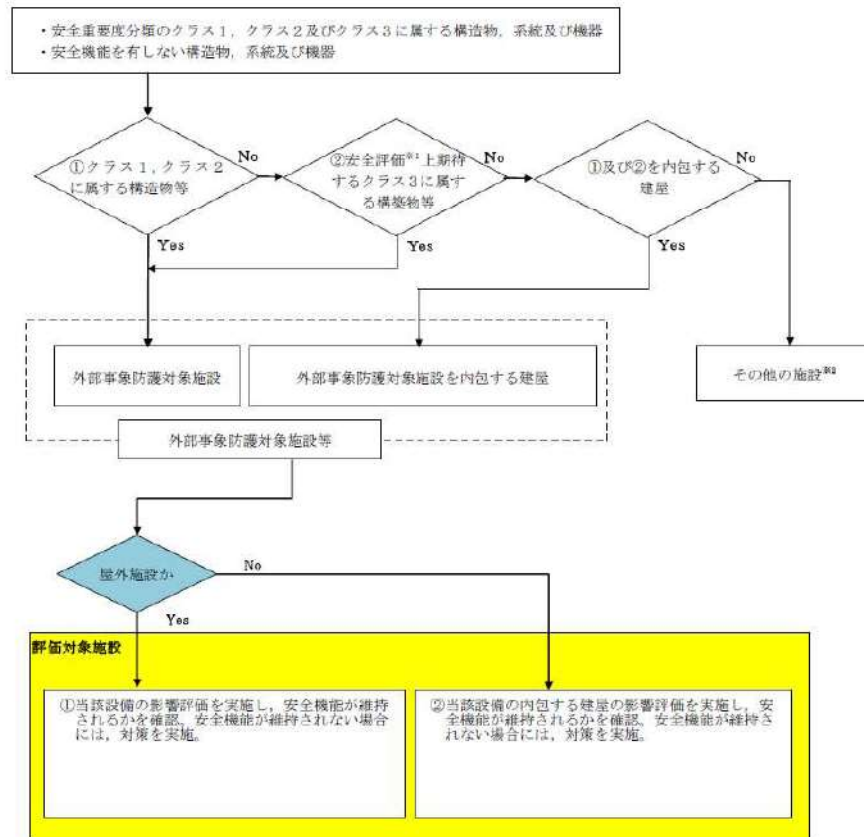
:<https://www.pref.hokkaido.lg.jp/sr/tsn/rin/tebiki/tebiki.html>

(2) 北海道の大気資料（第14編）（令和3年1月）

:<https://www.pref.hokkaido.lg.jp/kn/kss/ksn/ooameshiryou14.html>

(3) 気象庁：<http://www.jma.go.jp/jma/index.html>

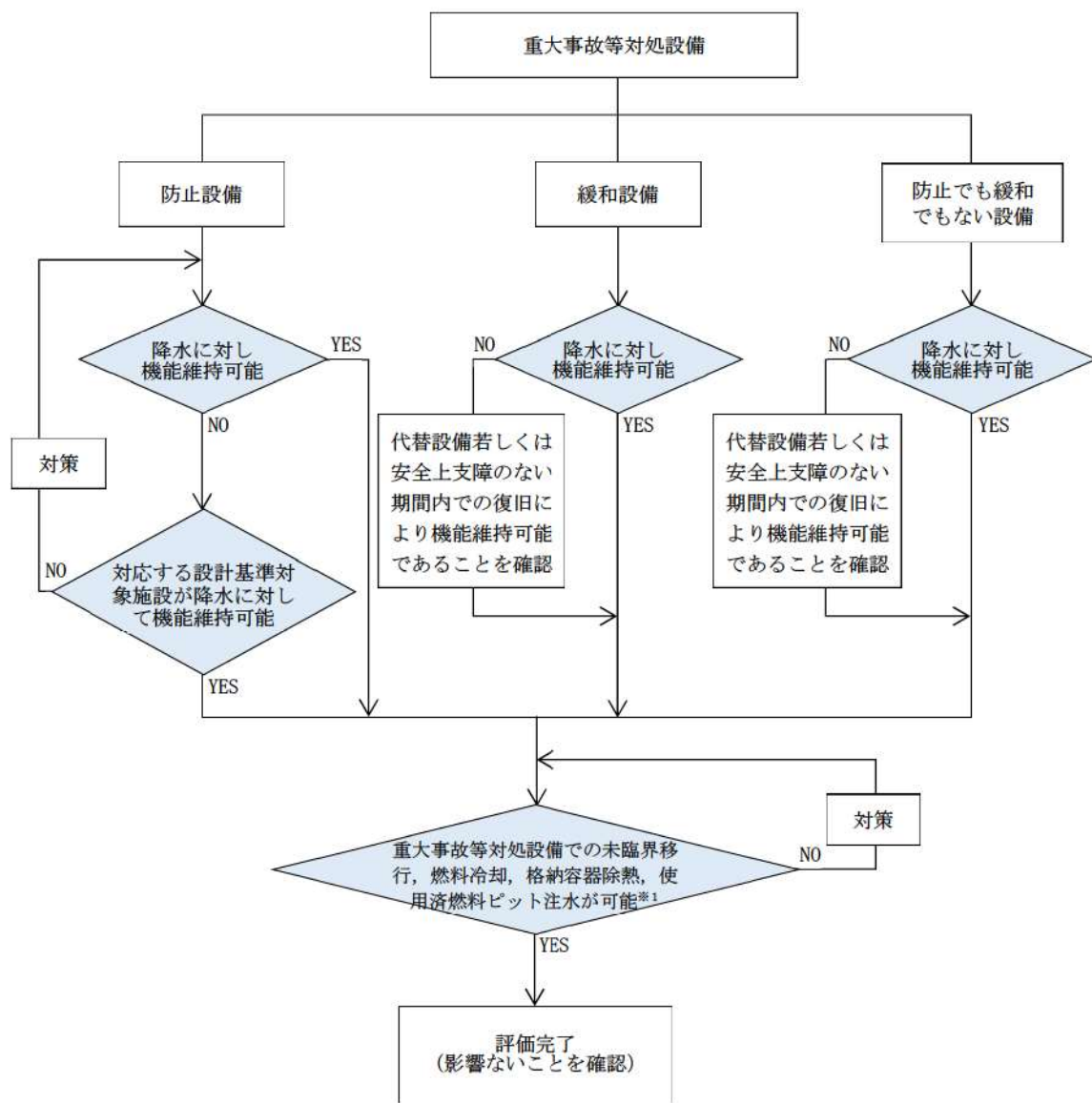
(4) 気象庁年報（地上気象観測原簿データ）



※1 運転時の異常な過渡変化及び設計基準事故解析

※2 その他の施設のうち安全施設は、構造健全性の確保、若しくは損傷を考慮して代替設備、修復等で安全機能を確保

第1図 降水に対する安全施設の評価フロー



\*1：基準になる降水量により重大事故等対処設備と設計基準対象施設の機能が同時に損なわれることはないが、安全上支障のない期間内での復旧により機能維持可能であることを確認

第2図 降水による重大事故等対処設備への影響評価フロー

## 寿都町及び小樽市における降水量の観測記録

第1表 寿都町における毎年の最大1時間降水量観測記録  
(気象庁ホームページより)

年	最大1時間 降水量 [mm]	年	最大1時間 降水量 [mm]	年	最大1時間 降水量 [mm]	年	最大1時間 降水量 [mm]
1938	34.5]	1963	12.5	1988	17.5	2013	24.5
1939	11.4]	1964	15.8]	1989	17.0	2014	15.5
1940	19.5]	1965	25.6	1990	57.5	2015	17.0
1941	13.4]	1966	26.5	1991	20.0	2016	22.5
1942	17.6]	1967	19.0	1992	25.5	2017	30.0
1943	23.9]	1968	24.5	1993	12.5	2018	13.5
1944	16.6]	1969	15.0	1994	22.5	2019	22.5
1945	9.7]	1970	28.0	1995	22.5	2020	28.5
1946	22.1]	1971	15.0	1996	20.5	2021	23.0
1947	43.5]	1972	13.0	1997	24.0		
1948	41.2]	1973	49.0	1998	21.0		
1949	29.7]	1974	33.5	1999	34.5		
1950	27.0]	1975	34.0	2000	20.0		
1951	14.3]	1976	23.5	2001	16.5		
1952	25.4]	1977	13.5	2002	19.5		
1953	24.7]	1978	11.5	2003	24.5		
1954	19.4]	1979	15.0	2004	23.5		
1955	34.4]	1980	22.0	2005	25.5		
1956	16.5]	1981	24.5	2006	32.0		
1957	22.5]	1982	12.5	2007	19.0		
1958	10.9]	1983	20.5	2008	24.0]		
1959	21.3]	1984	23.0	2009	28.0		
1960	21.7]	1985	42.0	2010	41.5		
1961	29.1]	1986	22.5	2011	34.0		
1962	21.5	1987	19.5	2012	27.5		

値] : 資料不足値

統計を行う対象資料が許容範囲を超えて欠けている。

第2表 小樽市における毎年の最大1時間降水量観測記録  
(気象庁ホームページより)

年	最大1時間 降水量 [mm]	年	最大1時間 降水量 [mm]	年	最大1時間 降水量 [mm]	年	最大1時間 降水量 [mm]
1943	28.9]	1968	19.0	1993	9.5	2018	21.5
1944	16.8]	1969	16.0	1994	36.5	2019	16.0
1945	15.2]	1970	32.0	1995	16.5	2020	33.0
1946	25.8]	1971	12.0	1996	20.5	2021	13.5
1947	15.6]	1972	13.0	1997	22.0		
1948	31.8]	1973	38.0	1998	18.5		
1949	27.0]	1974	11.0	1999	14.0		
1950	11.9]	1975	23.5	2000	25.0		
1951	10.8]	1976	14.5	2001	13.5		
1952	12.7]	1977	12.0	2002	15.0		
1953	15.7]	1978	28.0	2003	21.5		
1954	40.2]	1979	21.0	2004	23.0		
1955	39.0]	1980	29.5	2005	33.5		
1956	17.1]	1981	16.0	2006	17.5		
1957	17.7]	1982	20.5	2007	14.0		
1958	13.1]	1983	10.5]	2008	9.5		
1959	12.7]	1984	10.5	2009	13.5		
1960	26.7]	1985	31.5	2010	37.5		
1961	23.7]	1986	15.0	2011	22.0		
1962	21.1]	1987	13.0	2012	26.0		
1963	27.7]	1988	35.0	2013	23.5		
1964	20.6	1989	17.5	2014	19.5		
1965	17.8	1990	22.5	2015	24.0		
1966	15.7	1991	12.5	2016	27.5		
1967	30.9	1992	33.0	2017	50.5		

値] : 資料不足値

統計を行う対象資料が許容範囲を超えて欠けている。

## 降水による浸水の影響評価

### 1. 概要

屋外の外部事象防護対象施設の設置場所は、設計基準降水量(57.5mm/h)の降水による浸水（敷地内滞留水）に対し、構内排水設備による排水等により、安全機能を損なうことのない設計とする。

外部事象防護対象施設は、設計基準降水量(57.5mm/h)の降水による荷重に対し、排水口による排水等により影響を受けない設計とし、安全機能を損なうことのない設計とする。

また、その他の安全施設は、降水による荷重及び浸水に対して、排水口による排水等、構内排水設備等による排水、若しくは、降水による損傷を考慮し安全上支障のない期間での修復等の対応、又は、それらを適切に組み合わせた設計とする。

### 2. 降水による敷地内滞留水の影響評価

#### 2.1 浸水量評価

設計基準降水量(57.5mm/h)における敷地内の浸水量は以下の条件のもと評価した。

<評価条件>

降雨強度：

57.5mm/h（寿都特別地域気象観測所において平成2年7月25日に観測された日最大1時間降水量の既往最大値）

雨水流入量：

「北海道林地開発許可制度の手引き」（令和4年9月北海道水産林務部林務局治山課）に基づく合理式より算出

排水可能流量：

「北海道林地開発許可制度の手引き」（令和4年9月北海道水産林務部林務局治山課）に基づき、マニング式より算出

#### 2.2 浸水量評価の結果

##### (1) 雨水流入量

泊発電所周辺の雨水は、第3図のように敷地内に配置された1号炉系統流末、2号炉系統流末及び3号炉系統流末の構内排水設備に集水され、海域に排水される。

評価に当たっては、防潮堤横断部における構内排水設備の集水面積を算定した上で、設計基準降水量(57.5mm/h)降水時の雨水流入量を算出する。

その際、「北海道林地開発許可制度の手引き」（令和4年9月北海道水産林務部林務局治山課）に基づき以下の合理式を用い、流出係数については、すべての流域を1.0とする。

$$Q = 1/360 \cdot f \cdot r \cdot A$$

Q : 雨水流入量 ( $\text{m}^3/\text{s}$ )

f : 流出係数

r : 降雨強度 ( $\text{mm}/\text{h}$ )

A : 集水面積 (ha)

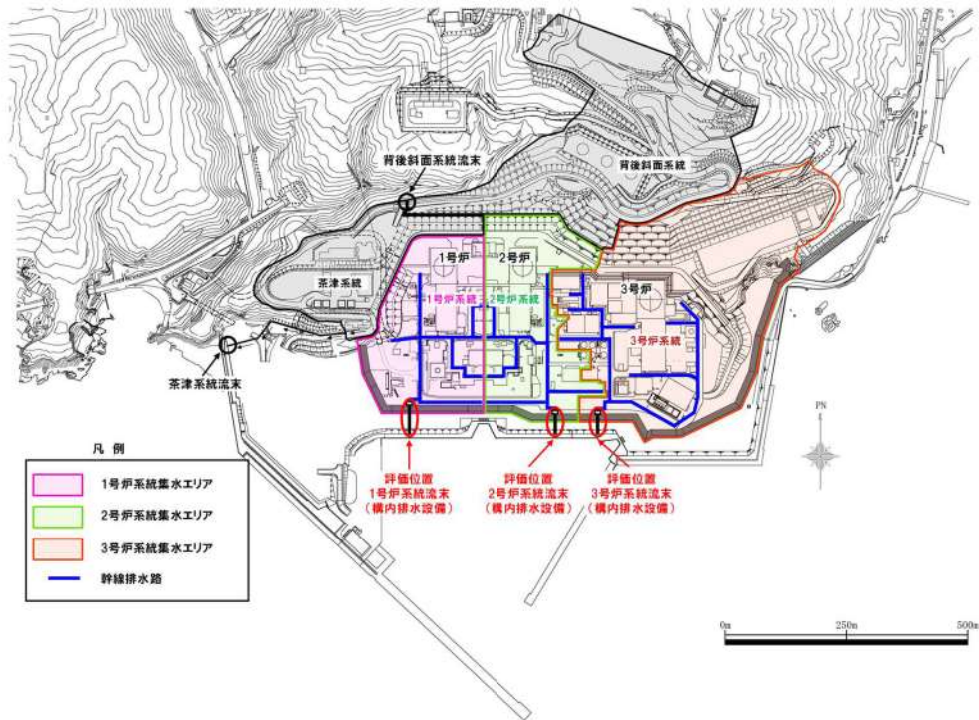
## (2) 排水可能流量

設計基準降水量(57.5mm/h)により想定される雨水流入量に対して、裕度を持つて排水可能な流量とする。構内排水設備の仕様を第3表に示す。

第3表 構内排水設備の仕様

	仕様	断面積 ( $\text{m}^2$ )
1号炉系統流末	鋼管 $\phi 1800$	2.545
2号炉系統流末		
3号炉系統流末		

※構内排水設備については構造検討中



第3図 構内排水設備の配置概要図

### (3) 評価結果

構内排水設備における雨水流入量と排水可能流量の比較結果を第4表に示す。

各号炉系統流末ともに防潮堤横断部における排水可能流量は、設計基準降水量(57.5mm/h)降水時の雨水流入量を上回り、余裕をもって雨水排水が可能であると評価される。

第4表 57.5mm/h 降水時の雨水流入量と排水可能流量との比較

	集水面積※ (ha)	雨水流入量 a (m <sup>3</sup> /s)	排水可能流量 b (m <sup>3</sup> /s)	安全率 b/a
1号炉系統流末	7.87	1.26	3.89	3.10 (排水可能)
2号炉系統流末	7.75	1.24	3.89	3.14 (排水可能)
3号炉系統流末	19.74	3.15	3.89	1.23 (排水可能)

※構内排水設備については構造検討中

### 3. 降水による荷重の影響について

設計基準降水量(57.5mm/h)による荷重の影響として、原子炉建屋等は多量の降水に対しても、雨水排水口を介して排水する設計としていることから、滞留水による荷重の影響が及ぶことはない。また、排気筒等の屋外設備については、降水が滞留する構造ではないことから、滞留水による荷重の影響が及ぶことはない。

以上から、屋外の外部事象防護対象施設の安全機能が降水による荷重によって損なわれることはない。

## 積雪影響評価について

### 1. 基本方針

予想される最も過酷と考えられる条件として設計基準を設定の上、安全施設のうち外部事象防護対象施設は、設計基準積雪量による荷重、積雪による換気空調設備の給排気口の閉塞により、安全機能を損なわない設計とする。

### 2. 設計基準積雪量の設定

設計基準積雪量は、以下の(1)及び(2)を参照し設定する。

#### (1) 規格・基準類（別紙 1）

積雪に対する規格・基準として、建築物については建築基準法及び同施行令第 86 条第 3 項に基づく北海道建築基準法施行細則において、地域ごとに垂直積雪量が定められている。泊村の垂直積雪量は 150cm である。

#### (2) 観測記録（別紙 2）

気象庁の気象統計情報における積雪深の観測記録<sup>(1)</sup>によれば、泊発電所の最寄りの気象官署である寿都特別地域気象観測所及び小樽特別地域気象観測所における地域気象観測システム（アメダス）の月最深積雪の最大値は 189cm（1945 年 3 月 17 日）である。

#### ○積雪時の発電所の対応について

泊発電所が立地する泊村は、多雪区域であるため降雪量が多く、降雪があった場合は必要に応じ発電所構内の除雪活動を実施する（別紙 3）。

また、建屋屋上の除雪に関しては、気象情報（降雪予報）、構内に設置している監視システム等による積雪深を監視し、必要に応じ除雪を実施する（別紙 4）。

以上より、設計基準積雪量は月最深積雪の最大値 189cm を考慮する。

### 3. 外部事象防護対象施設の健全性評価

2. にて示した設計基準積雪量に対する外部事象防護対象施設への影響を評価する。設計基準積雪量に対して、外部事象防護対象施設を有する各建屋又は外部の外部事象防護対象施設が積雪荷重、空気、流体の取入口の閉塞によって機能喪失に至ることがないことを確認する。

本評価における基本的な考え方は、以下の通り。また、第 1 図に積雪に対する安全施設

の評価フローを示す。

○外部事象防護対象施設について、以下の①から③に分類の上、評価し、積雪による荷重等に対して安全機能が損なわれないことを確認する。なお、積雪荷重は地震、津波、火山の影響に対して適切に組み合わせる。

- ①屋外の設備は設計基準積雪量の荷重に対して健全であることを確認する。
- ②屋内の設備は、当該設備を有する建屋が設計基準積雪量の荷重に対して 機械的強度を有する設計であることを確認する。
- ③流体の取り入れ口等の閉塞による影響について、各建屋の換気口等の高さが設計基準積雪量に対して高い位置に設置してあること及び上向きに開口部がない設計であることを確認する。また、積雪と風等により給気口等の閉塞が考えられるが、この場合には、運転員、保修員がガラリに付いた積雪を落とすことにより閉塞を防止する。

○上記以外の安全施設については、積雪に対して機能維持すること若しくは風（台風）による損傷を考慮して、代替設備により必要な機能を確保すること、安全上支障のない期間での修復等の対応を行うこと又はそれらを適切に組み合わせることにより、安全機能を損なわない設計とする。

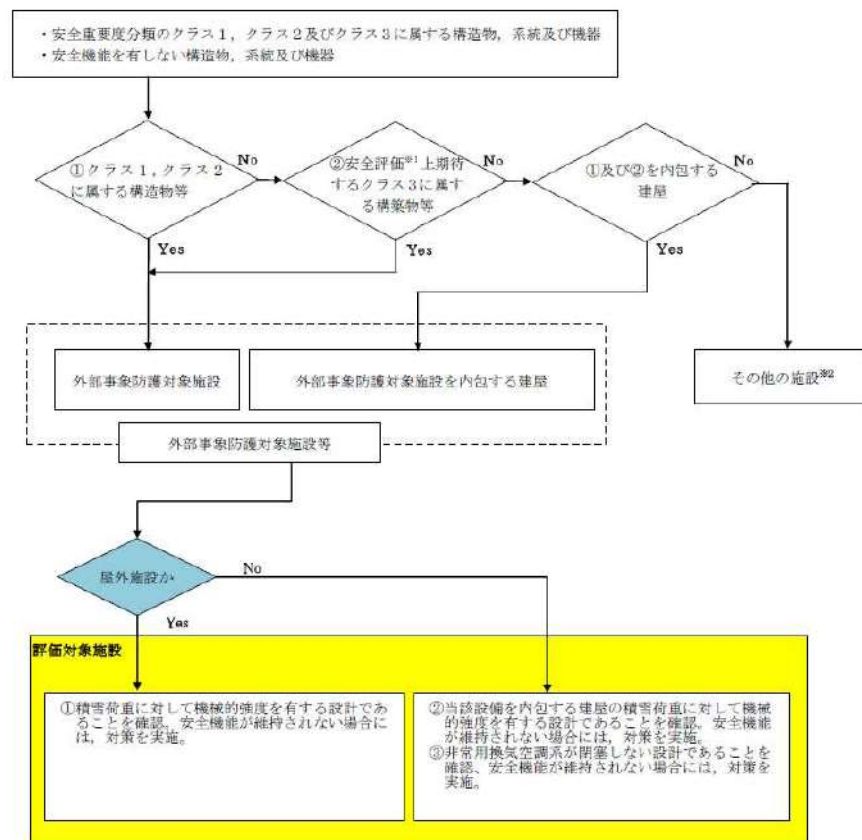
#### 4. 重大事故等対処施設に対する考慮

第2図の積雪に対する重大事故等対処設備の評価フローに基づき、設計基準積雪量の荷重に対し、必要な安全機能が確保されていることを確認する。

なお、積雪に対する重大事故等対処設備の設計方針は、設置許可基準規則第43条（重大事故等対処設備）にて考慮する。

#### 5. 参考文献

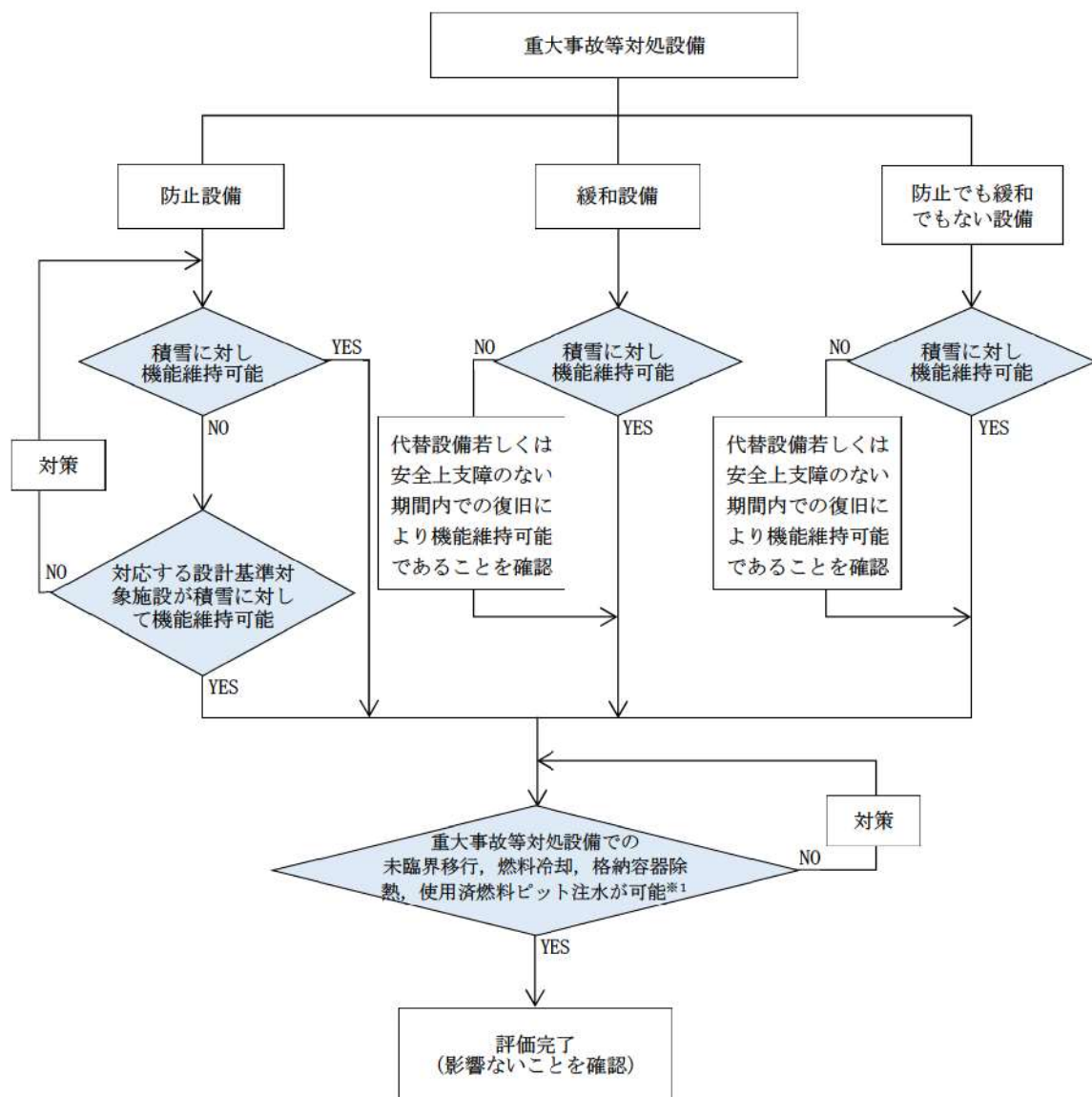
- (1) 気象庁：<http://www.jma.go.jp/jma/index.html>
- (2) 気象庁年報（地上気象観測原簿データ）



※1 運転時の異常な過渡変化及び設計基準事故解析

※2 その他の施設のうち安全施設は、構造健全性の確保、若しくは損傷を考慮して代替設備、修復等で安全機能を確保

第1図 積雪に対する安全施設の評価フロー



※1：設計基準積雪量により重大事故等対処設備と設計基準対象施設の機能が同時に損なわれることはないが、安全上支障ない期間内での復旧により機能維持可能であることを確認

第2図 積雪による重大事故等対処設備への影響評価フロー

別紙 1

北海道建築基準法施行細則について

建築基準法施行令（以下「政令」）の一部が改正（平成 12 年政令第 211 号）され、政令第 86 条の規定において、垂直積雪量を特定行政庁が規則で定めることとなった。北海道建築基準法施行細則<sup>(1)</sup>における積雪に関する記載は以下のとおりである。

（積雪荷重）

第 17 条 政令第 86 条第 2 項ただし書の規定により、多雪区域は、別表第 1 に掲げる区域とする。

- 2 前項の多雪区域における積雪の単位重量は、政令第 86 条第 2 項本文の規定にかかわらず、積雪 1 cm ごとに 1 平方メートルにつき、30N 以上としなければならない。
- 3 政令第 86 条第 3 項に規定する垂直積雪量の数値は、別表第 2 の適用区域の区分に応じた垂直積雪量とする。

別表第 2（後志総合振興局管内を抜粋）

	区域	垂直積雪量（単位：cm）
(1)	島牧村、寿都町	130
(2)	共和町、岩内町	140
(3)	泊村、神恵内村、積丹町、古平町、仁木町、余市町	150
(4)	黒松内町、蘭越町	180
(5)	赤井川村	210
(6)	ニセコ町、真狩村、留寿都町、喜茂別町、京極町、俱知安町	230

(1) 北海道 建築基準法施行細則(昭和 48 年 1 月 15 日 北海道規則第 9 号)

## 別紙2

## 寿都町及び小樽市における積雪深の観測記録

第1表 寿都町における毎年の積雪観測記録  
 (気象庁ホームページ及び気象庁年報(地上気象観測原簿データ)より)

年	最大日 降雪量 [cm]	月最深 積雪 [cm]									
1893	なし	177]	1928	なし	103	1963	37	97	1998	17	54
1894	なし	なし	1929	なし	139	1964	14	76	1999	33	74
1895	なし	なし	1930	なし	63	1965	26	60	2000	32	103
1896	なし	なし	1931	なし	111	1966	13	62	2001	31	77
1897	なし	なし	1932	なし	65	1967	19	90	2002	41	62
1898	なし	なし	1933	なし	165]	1968	26	96	2003	26	54
1899	なし	なし	1934	なし	103]	1969	22	80	2004	25	71
1900	なし	なし	1935	なし	83	1970	50	120	2005	30	88
1901	なし	なし	1936	なし	130]	1971	28	65	2006	30	99
1902	なし	なし	1937	なし	73	1972	11	32	2007	16]	28]
1903	なし	なし	1938	なし	84	1973	22	52	2008	45	75
1904	なし	4]	1939	なし	126	1974	38	116	2009	39	53
1905	なし	6]	1940	なし	120	1975	23	94	2010	28	103
1906	なし	なし	1941	なし	70	1976	24	60	2011	35	85
1907	なし	なし	1942	なし	150]	1977	39	102	2012	22	81
1908	なし	なし	1943	なし	87	1978	21	107	2013	19	107
1909	なし	31]	1944	なし	80	1979	30	58	2014	26	71
1910	なし	なし	1945	なし	189]	1980	22	67	2015	31	90
1911	なし	97	1946	なし	139]	1981	37	116	2016	28	64
1912	なし	61	1947	なし	97]	1982	28	83	2017	28	44
1913	なし	8]	1948	なし	90	1983	33	88	2018	26	107
1914	なし	78	1949	なし	33	1984	19	93	2019	30	63
1915	なし	60	1950	なし	64	1985	37	81	2020	22	28
1916	なし	72	1951	なし	117	1986	22	89	2021	24]	93]
1917	なし	32	1952	なし	98	1987	14	56			
1918	なし	99	1953	なし	94	1988	26	66			
1919	なし	160]	1954	なし	65	1989	22	26			
1920	なし	74	1955	なし	85	1990	22	51			
1921	なし	78	1956	なし	98	1991	27	94			
1922	なし	170]	1957	なし	142]	1992	33	78			
1923	なし	123	1958	なし	129	1993	19	66			
1924	なし	74	1959	なし	38	1994	23	55			
1925	なし	92	1960	なし	54	1995	36	66			
1926	なし	80	1961	17]	61]	1996	32	61			
1927	なし	85	1962	18	68	1997	20	49			

なし：観測を行っていない場合、機器の故障等で観測できなかった場合、火災や戦災等で資料を失った場合等

値]：資料不足値

統計値を求める対象となる資料が許容する資料数を満たさない場合。

第2表 小樽市における毎年の積雪観測記録  
 (気象庁ホームページ及び気象庁年報(地上気象観測原簿データ)より)

年	最大日 降雪量 [cm]	月最深 積雪 [cm]	年	最大日 降雪量 [cm]	月最深 積雪 [cm]	年	最大日 降雪量 [cm]	月最深 積雪 [cm]
1943	なし	134]	1973	25	77	2003	28	112
1944	なし	128	1974	30	108	2004	31	99
1945	なし	173]	1975	24	92	2005	31	153
1946	なし	139]	1976	42	108	2006	41	172
1947	なし	116	1977	25	99	2007	28	92
1948	なし	150]	1978	23	108	2008	35	126
1949	なし	59	1979	34	82	2009	27	87
1950	なし	89]	1980	32	114	2010	24	102
1951	なし	37]	1981	36	157	2011	36	133
1952	なし	35]	1982	34	155	2012	31	125
1953	なし	5]	1983	36	125	2013	30	155
1954	なし	172]	1984	24	111	2014	34	148
1955	なし	151]	1985	28	102	2015	36	140
1956	なし	5]	1986	37	118	2016	32	89
1957	なし	105]	1987	26	139	2017	30	103
1958	なし	128	1988	38	135	2018	26	134
1959	なし	51	1989	34	101	2019	23	92
1960	なし	112	1990	47	141	2020	26	69
1961	21]	108]	1991	31	123	2021	20	104
1962	31	102	1992	38	110			
1963	31	76	1993	30	123			
1964	24	98	1994	46	139			
1965	36	135	1995	25	107			
1966	33	134	1996	84	149			
1967	35	120	1997	26	121			
1968	45	141	1998	28	99			
1969	24	90	1999	40	142			
1970	54	125	2000	29	143			
1971	21	88	2001	35	97			
1972	43	118	2002	28	66			

なし：観測を行っていない場合、機器の故障等で観測できなかった場合や、火災や戦災等で資料を失った場合等

値]：資料不足値

統計値を求める対象となる資料が許容する資料数を満たさない場合。

### 別紙 3

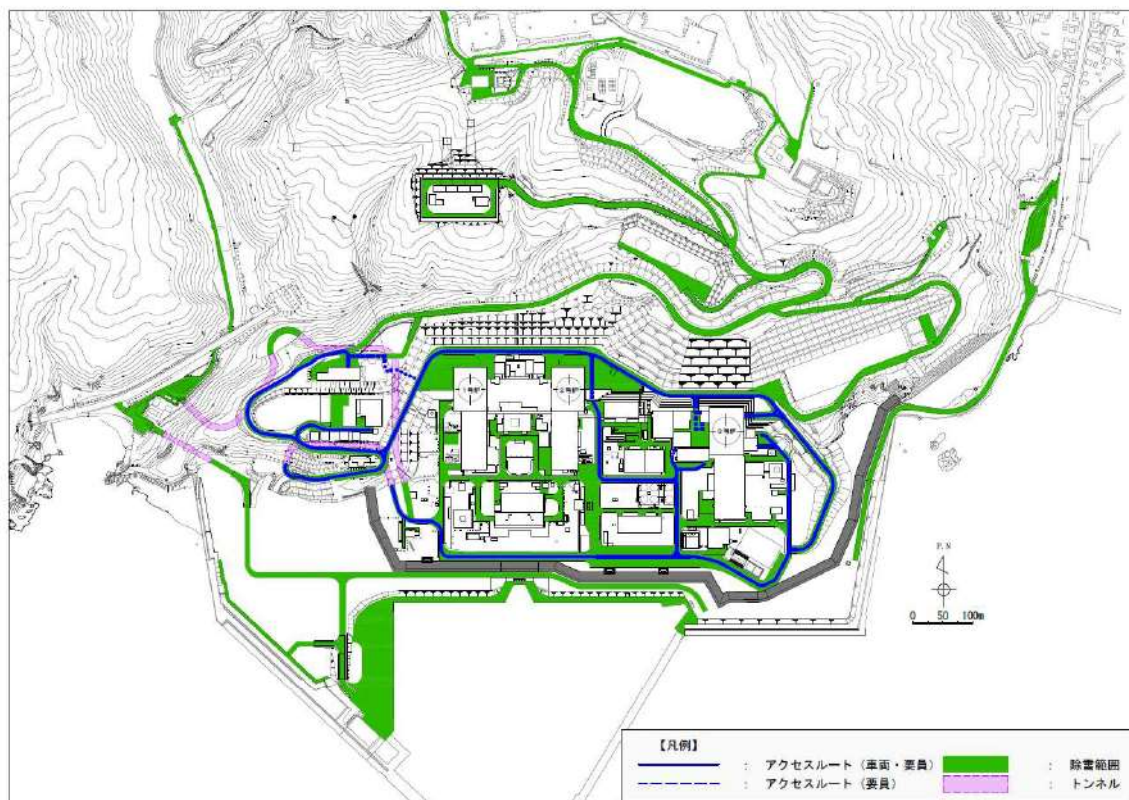
#### 構内の除雪方法について

##### 積雪時の泊発電所の体制\*

- ・車両の通行等に支障がないよう、アクセスルート（第3図の青線）については、積雪深が 10 cmに達した場合、除雪を開始する。
- ・それ以外の除雪箇所（第3図の緑線）については、エリアごとに定めた除雪基準（10 cm以上又は 15 cm以上に達した場合）に基づき所定の時間までに除雪を完了する。
- ・除雪は、委託により実施しており、22 台の除雪機（ホイールローダ等の重機）により除雪を行う。

##### 除雪ルート\*

- ・除雪ルートは構内の道路及び可搬型設備を使用する場合のアクセスルートとする。



第3図 構内の除雪ルート（青線及び緑線）

※令和3年度時点の除雪体制及びルート（アクセスルートの整備に応じて除雪ルートを見直していく。）



第4－1図 重機による除雪作業（1）



第4－2図 重機による除雪作業（2）

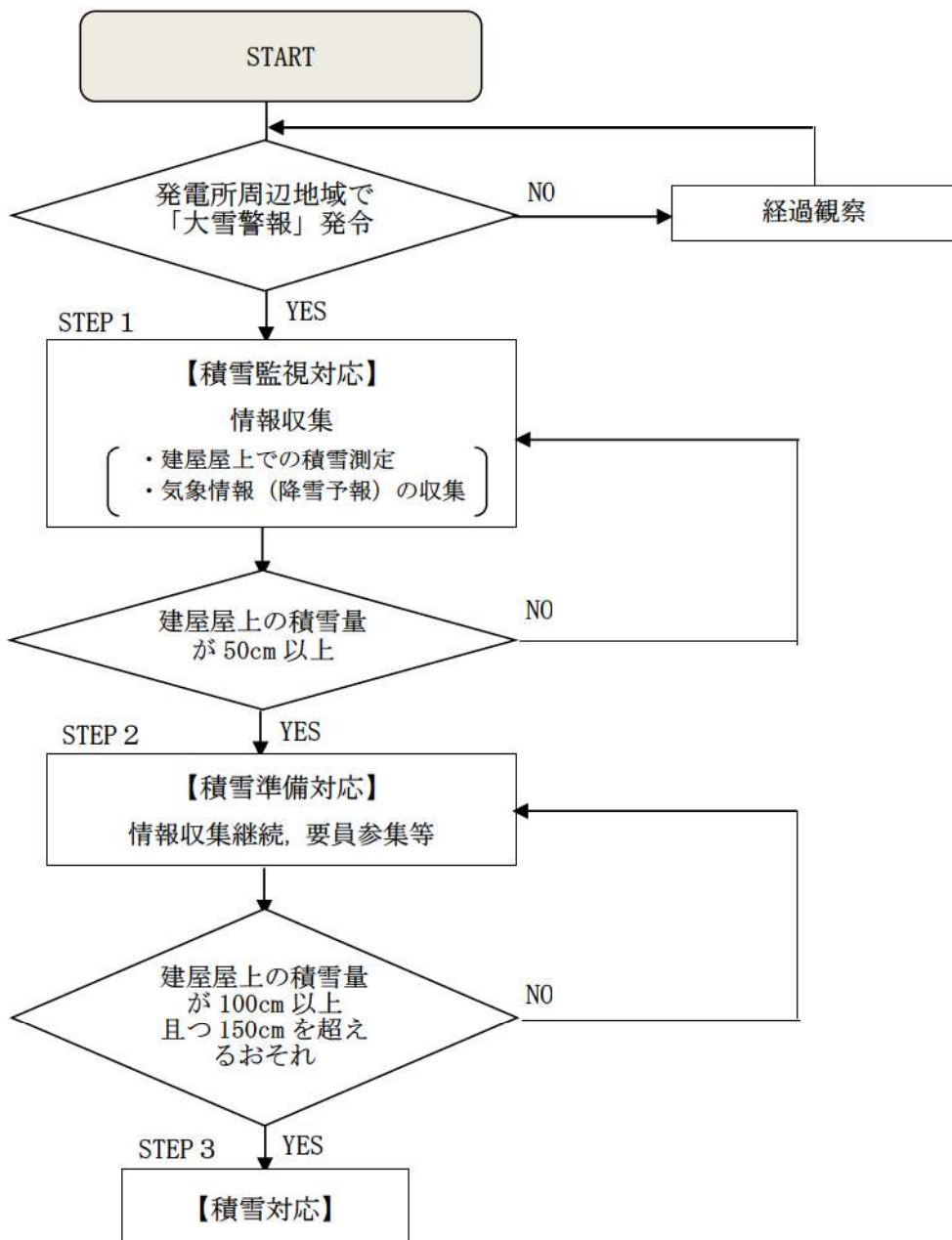


第4－3図 重機の凍結路面の滑り防止対策

## 原子炉建屋等の屋上の除雪運用について

評価対象の建屋は、設計基準積雪量の荷重に対して健全であることを確認しているが、積雪に対する頑健性を高めるため、建屋屋上の積雪量の監視及び気象情報（降雪予報）の収集を行い、除雪を実施する。

なお、泊発電所運開以降、大雪による建屋屋上の除雪を実施した実績はない。



第5図 原子炉建屋等屋上積雪量の管理作業フロー

## 落雷影響評価について

### 1. 基本方針

予想される最も過酷と考えられる条件を設計基準として設定の上、安全施設のうち外部事象防護対象施設は、落雷による雷撃電流に対して維持され、安全機能を損なわない設計とする。

### 2. 基準雷撃電流値の設定

基準雷撃電流値の設定は、以下の(1)及び(2)を参照し設定する。

#### (1) 規格・基準類

原子力発電所における耐雷設計の規格・基準には電気技術指針 JEAG4608「原子力発電所の耐雷指針」<sup>(1)</sup>があり、以下のように規定している。

a. JEAG4608 では、電力設備の避雷設備の設計について、電力中央研究所報告 T40 「発変電所及び地中送電線の耐雷設計ガイド」<sup>(2)</sup>を参照している。

同ガイドでは、275kV 発電所における送電線並びに電力設備に対し、100kA を想定雷撃電流として推奨している。

b. JEAG4608 では、建築物等の避雷設備に関して、日本産業規格 JIS A 4201:2003 「建築物等の雷保護」や日本産業規格 JIS A 4201-1992 「建築物等の避雷設備（避雷針）」を参照している。JIS A 4201:2003 では、雷保護システムについて、設備を保護する効率に応じ設定するグレード分けである保護レベルごとに規定している。保護レベルは、I, II, III, IV の 4 段階に設定され、保護レベル I は最も小さい雷撃電流をもつ雷まで捕捉できる。

保護レベルの設定に当たって、JEAG4608 では原子力発電所の危険物施設に対する保護レベルを IEC/TR 61662 「Assessment of the risk of damage due to lightning」<sup>(3)</sup>に基づく選定手法により保護レベルIVと評価している。

一方、泊発電所 3 号炉の危険物施設は、消防庁通知<sup>(4)</sup>に基づき保護レベルを決定するが、泊発電所 3 号炉の屋外危険物施設である 3 号炉燃料油貯油槽タンクは地下設置であり、危険物の規制に関する政令<sup>(5)</sup>により、地下タンク貯蔵所として扱われることから、避雷設備の設置要求がないため、消防通知に基づく保護レベルの設定対象外となる。

日本産業規格 JIS-Z 9290-4 「建築物内の電気及び電子システム」<sup>(6)</sup>において、建築物の保護レベルに応じた最大雷撃電流値が定められており、保護レベルIVの場合

の最大雷撃電流値は 100kA と規定されている。

よって、落雷の設計基準電流値は、JEAG 等の規格・基準類による 100kA とする。

## (2) 観測記録

雷撃電流の観測記録として、発生した雷放電の発生時刻・位置を標定し、雷撃電流の大きさを推定できる落雷位置標定システム (LLS<sup>※1</sup>) により観測された落雷データから、発電所を中心とした標的面積 3 km<sup>2</sup> の範囲の落雷密度は 1.1 回／年・km<sup>2</sup> であり、当社管内（北海道）の落雷密度 0.65 回／年・km<sup>2</sup> と比較して頻度が高くなっているものの、過去 PWR 5 社にて、「原子力発電所の耐雷設計に関する研究」を実施し、  
[REDACTED]

2006 年 1 月～2020 年 12 月 (15 年間) の間に、泊発電所構内敷地面積を包絡する標的面積 3 km<sup>2</sup><sup>※2</sup> 面の範囲において LLS により観測された、最大雷撃電流値は 48kA であり、設計基準電流値 100kA に包絡されている。

※ 1 LLS…落雷から放射される電波をセンサで捉え、システム内で基準としている電波の波形（基準波形）との照合により落雷を判別し、データ解析により落雷の位置時刻等をリアルタイムで推定するシステム。

※ 2 泊発電所構内敷地面積を包絡する標的面積は以下のとおり算出した。

- ・範囲：北緯 43.030～43.044 [度]、東経 140.502～140.524 [度]
- ・面積：1.66 [km] × 1.77 [km] = 3.0 [km<sup>2</sup>]



第 1 図 泊発電所の標的面積

[REDACTED] 案内のみの内容は機密情報に属しますので公開できません。

### 3. 外部事象防護対象施設の健全性評価

外部事象防護対象施設が、設計基準の雷撃電流値（100kA の雷撃電流）によって安全機能を損なうことがない設計であることを確認するために、第1図に示すフローに沿って評価・確認を実施した。

#### (1) 建屋及び内包される外部事象防護対象施設

原子炉建屋等の建築基準法に定められる高さ 20m を超える建築物等には避雷設備を設けている。また、避雷設備の接地極を構内接地網と連接し接地抵抗を下げる等の対策を実施していることから影響を受けにくい設計としている。さらに、安全保護回路は雷サージ抑制対策がなされており、外部事象防護対象施設の安全機能に影響を及ぼすことはない。

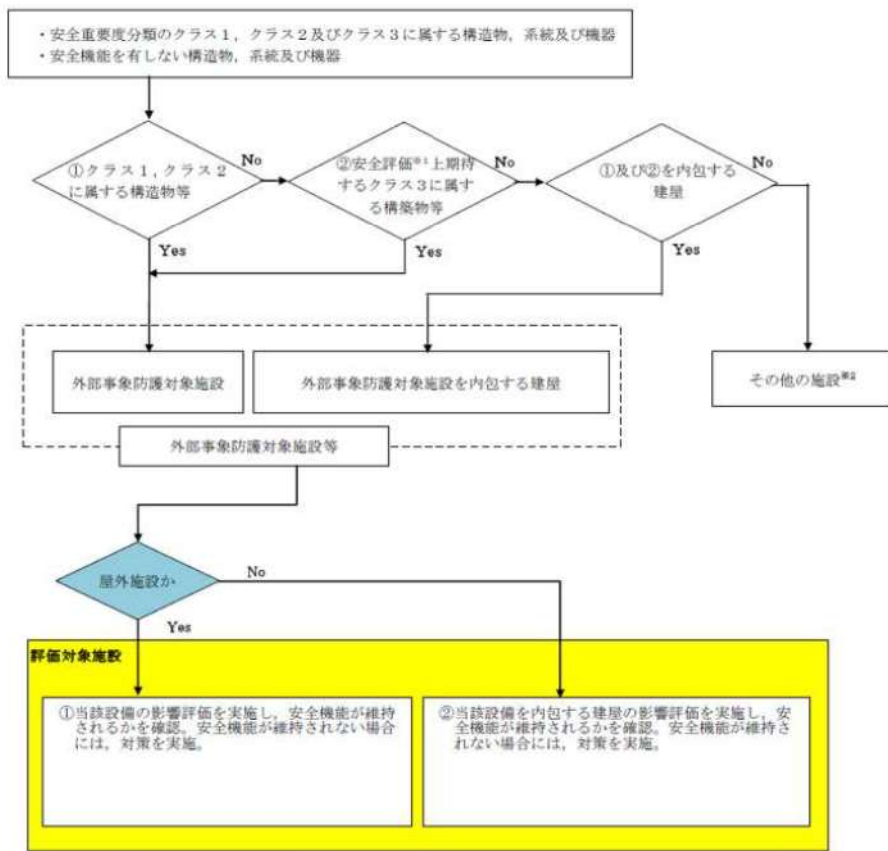
また、電磁的障害として、サージ・ノイズ及び電磁波の侵入があり、これらは低電圧の安全保護系の計測制御回路に対して影響を及ぼすおそれがある。

このため、安全保護系の計測制御回路を構成する制御盤及びケーブルは、鋼製筐体及び金属シールド付ケーブルの適用により電磁波の侵入を防止する設計としている。

#### (2) 屋外の外部事象防護対象施設

屋外の外部事象防護対象施設は、地下ピット構造としていることから影響を受けにくい設計、又は避雷設備保護範囲内であることから影響を受けにくい設計としている。

上記以外の安全施設については、落雷に対して機能維持すること若しくは落雷による損傷を考慮して代替設備により必要な機能を確保すること、安全上支障のない期間での修復等の対応を行うこと又はそれらを適切に組み合わせることにより、安全機能を損なわない設計とする。



※1 運転時の異常な過渡変化及び設計基準事故解析  
 ※2 その他の施設のうち安全施設は、構造健全性の確保、若しくは損傷を考慮して代替設備、修復等で安全機能を確保

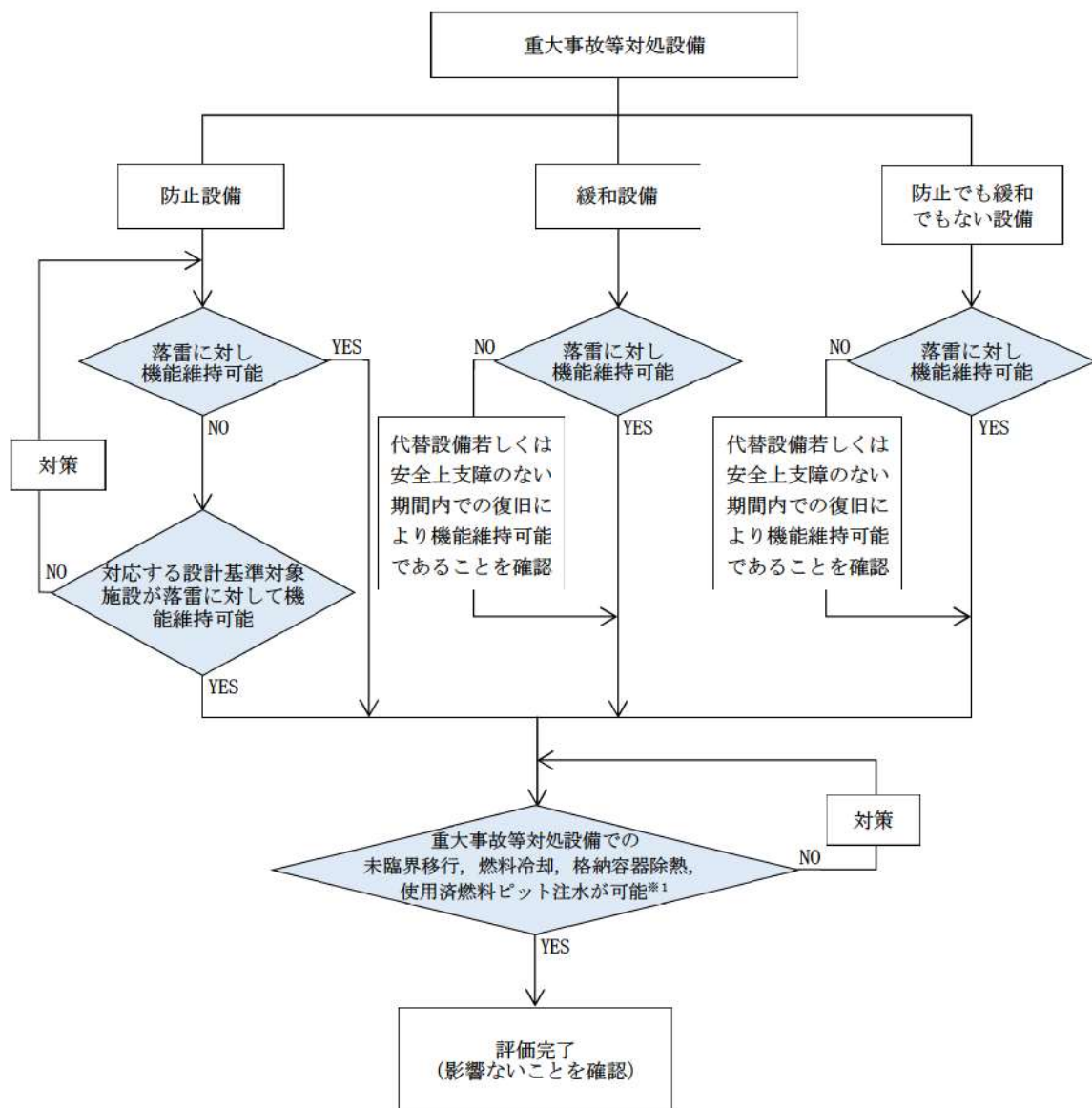
第1図 落雷に対する安全施設の評価フロー

#### 4. 重大事故等対処設備に対する考慮

重大事故等対処施設のうち、屋内設備については、建屋内にあることから落雷の影響を受けにくい。また、屋外の常設代替交流電源設備は、避雷設備を設置していることから落雷の影響を受けにくく、屋外の可搬型設備は分散配置することにより必要な安全機能を維持できる。さらに、重大事故等対処施設の安全機能が喪失した場合においても、建屋による防護の観点から、代替手段により必要な安全機能を維持できることを確認した。

第2図に落雷に対する重大事故等対処施設の評価フローを示す。

なお、落雷に対する重大事故等対処設備の設計方針は、設置許可基準規則第43条（重大事故等対処設備）にて考慮する。



第2図 落雷による重大事故等対処設備への影響評価フロー

## 5. 参考文献

- (1) 電気技術指針 JEAG4608(2007) :「原子力発電所の耐雷指針」
- (2) 電力中央研究所報告 T40「発変電所及び地中送電線の耐雷設計ガイド (1996)」
- (3) IEC/TR 61662(1995) :「Assessment of the risk of damage due to lightning」
- (4) 消防庁通知(2005) 平成17年1月14日消防危第14号危険物の規則に関する規則の一部を改正する省令等の施行について」
- (5) 危険物の規制に関する政令（昭和三十四年政令第三百六号）
- (6) JIS-Z 9290-4(2009)雷保護第4部「建築物内の電気及び電子システム」

## 泊発電所の耐雷設計について

### 1. 当社における耐雷設計

#### (雷害防止対策)

- ・雷害防止対策として、建築基準法に基づき高さ 20m を超える原子炉建屋等へ日本産業規格（JIS）に準拠した避雷設備を設置するとともに、構内接地網と連接することにより、接地抵抗の低減や雷撃に伴う構内接地系の電位分布の平坦化を図っている。

#### (機器保護対策)

- ・安全保護回路への雷サージ抑制を図る回路設計としていることから、安全施設の安全機能を損なうことの無い設計としている。
- ・原子力発電所における雷サージの侵入経路としては、「送電鉄塔・架空地線への落雷」、「所内電源系統、発電所避雷針への落雷」、「排気筒、建屋避雷針への落雷」がある。JEAG4608-2007<sup>\*1</sup>に基づき、これらからの侵入を抑制するために、避雷器の設置やシールド付ケーブルを採用する設計としている。
- ・また、安全保護回路のデジタル計算機が収納された盤は、JEC-210-1981<sup>\*2</sup>に基づいて耐力を確認し、JIS C 1000-4-4-1999<sup>\*3</sup>の設計を踏まえて、ラインフィルタや金属シールド付ケーブルを設置する設計としている。
- ・プラントトリップ機能等を有する安全保護回路については、過去PWR 5社にて、「原子力発電所の耐雷設計に関する研究」を実施し、

■ 避雷針より雷サージ模擬インパルス小電流 ■ を印加し、接地系の過渡特性・回路への雷サージ伝搬特性に関するデータを取得した。低レベル信号回路に観測されたサージ誘導電圧は最大でも ■ である。そのため、想定雷撃電流 150kA を越える雷（仮に 200kA と設定）の落雷による回路への影響評価を実施すると、雷サージ誘導電圧約 ■ となり、安全保護系の許容値 2 kV 以内となるため設計的に影響はない。

- ・万一、落雷により、安全上重要な設備が故障した場合にも、計器類は多重化されており、原子炉を安全に停止し、かつ、原子炉の停止後に炉心を冷却するための設備が動作するとともに、原子炉格納容器の健全性の確保のための設備が動作することができる設計としている。
- ・現時点においては、追加対策は不要と考えるが、今後新知見等が得られれば、検討していく。

■ 框囲みの内容は機密情報に属しますので公開できません。

## 六ヶ所再処理施設における落雷事象について

### 1. はじめに

日本原燃株式会社六ヶ所再処理施設において、平成27年8月に発生した落雷に起因すると考えられる設備故障に関連し、泊発電所3号炉における耐雷設計について述べる。

なお、事象の内容については「再処理施設分離建屋における安全上重要な機器の故障について」（平成27年12月7日、日本原燃株式会社）による。

### 2. 事象

六ヶ所再処理施設において、「高レベル廃液供給槽セル漏えい液受皿の漏えい液受皿液位計」（安全上重要な機器）のB系の異常を示す警報の発報、A系の指示値が表示されない等の事象が発生した。調査の結果、安全上重要な機器について17機器の故障が見られた。これらの機器の故障は、要因分析の結果、落雷によるものである可能性が高いとしている。

### 3. 再処理施設における推定原因及び対策

本事象の推定原因としては、主排気筒への落雷による雷撃電流が、構内接地網に伝搬する過程で、信号ケーブルに電圧を誘起し、この誘導電圧により計器を損傷させた。また、地表面近くにトレンチ等の構造物が埋設されている再処理施設特有の構造が影響したと推定している。

対策として、建屋間を跨るケーブルへの雷サージによる影響を防止することを目的に保安器を設置している。

### 4. 泊発電所における耐雷設計

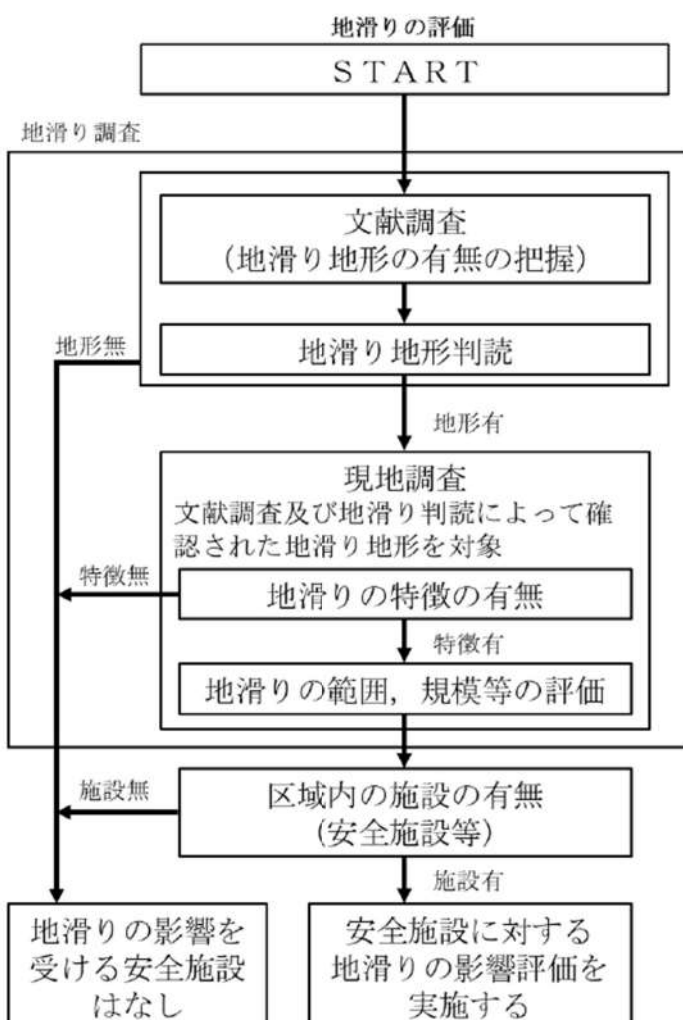
安全保護回路のケーブルに、建屋（原子炉建屋、原子炉補助建屋、ディーゼル発電機建屋及び循環水ポンプ建屋）間を跨るケーブルものがあるものの、各建屋は距離的に近接しており、六ヶ所再処理施設のように広範な敷地に点在した建屋間をトレント内ケーブルで結ぶ構造ではないこと、電気的に同じ接地網に接続していることから、トレント内ケーブルの安全保護回路の損傷による影響は無い。

## 地滑り・土石流及び急傾斜地の崩壊影響評価について

## 1. 地滑り地形の影響評価フローについて

地滑りの影響評価フローを第1図に示す。

地滑り調査では、文献調査により泊発電所周辺に位置する地滑り地形の有無を把握するとともに、敷地内について網羅的に地形判読を行い、地滑りを示唆する地形的特徴の有無を確認した。文献調査及び地滑り地形判読によって確認された地滑り地形を対象に、地形、地質、湧水等の水文的な観点に基づく現地調査を実施し、地滑りの特徴が認められる場合は、地滑りが発生する場合を想定し、地滑りの範囲、規模等を評価した。なお、地滑り地形の特徴については別紙1に示す。



第1図 地滑りの影響評価フロー図

地滑り：地下水等の影響により斜面の一部が動き出す現象（別紙1）

## 2. 地滑りの影響評価について

### 2.1 地滑り調査

全国の地滑り地形分布状況を調査した文献として、独立行政法人防災科学技術研究所（以下、「防災科研」）が作成した地すべり地形分布図（平成 22 年、清水ほか「岩内」（2010））がある。この地すべり地形分布図では、泊発電所周辺に位置する地滑り地形が示されている（以下、「防災科研調査結果」）。

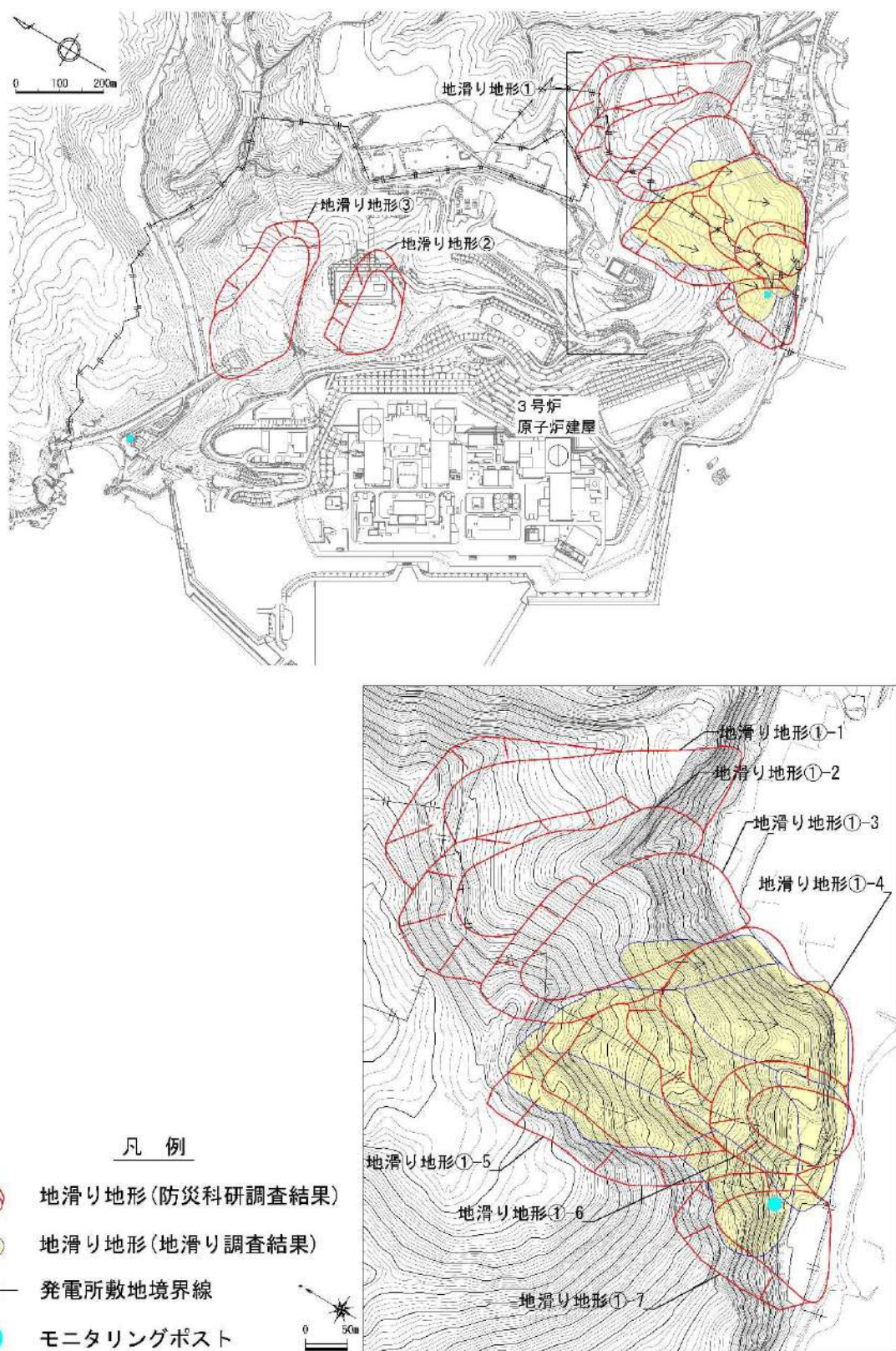
地滑り調査として、机上調査及び現地調査による詳細検討を実施した。机上調査では、泊発電所建設前の空中写真を基にした等高線図を含む多様な参考資料に加え、防災科研調査に用いた資料を参考に地形判読を行い、地滑りを示唆する地形的特徴の有無を確認した。また、確認された地滑り地形を対象に現地調査を実施し、地滑りの特徴が認められる場合は、地滑りが発生する場合を想定し、地滑り地形の範囲、規模等を評価した。地滑り調査と防災科研調査の内容の比較を第 1 表に示す。

地滑り調査により抽出された地滑り地形は、防災科研調査結果の地滑り地形①-4～地滑り地形①-7 の範囲付近である。抽出された地滑り地形について、防災科研調査の地滑り地形と合わせて第 2 図に示す。

第 1 表 地滑り調査と防災科研調査の内容の比較

地滑り調査 (平成 21 年～令和 5 年)		防災科研調査 (平成 22 年)
実施項目	<ul style="list-style-type: none"> <li>・地滑り地形判読(机上)</li> <li>・現地調査(令和 4 年度)</li> </ul>	<ul style="list-style-type: none"> <li>・地滑り地形判読(机上)</li> </ul>
実施内容	<ul style="list-style-type: none"> <li>・モノクロ空中写真(4 万分の 1, <u>1947 年撮影</u>)</li> <li>・カラー空中写真(1 万分の 1, <u>1976 年撮影</u>)</li> <li>・等高線図(2 千分の 1)※ ※1 万分の 1 空中写真より作成</li> </ul>	<ul style="list-style-type: none"> <li>・モノクロ空中写真(4 万分の 1, 1965 年撮影)</li> <li>・地形図(5 万分の 1)</li> </ul>
判読方法	<ul style="list-style-type: none"> <li>・実体鏡による空中写真の判読</li> </ul>	<ul style="list-style-type: none"> <li>・実体鏡による空中写真の判読</li> </ul>
抽出対象	<ul style="list-style-type: none"> <li>・全ての地滑り地形を抽出</li> </ul>	<ul style="list-style-type: none"> <li>・幅 150m 以上の比較的大規模な地滑り地形のみを抽出</li> </ul>

下線は相違箇所



第2図 泊発電所周辺に見られる地滑り地形位置図

## 2.2 地滑り調査結果

文献調査及び地滑り地形判読によって確認された地滑り地形を対象に、地形、地質、湧水等の水文的な観点に基づく現地調査を実施し、地滑りの特徴が認められる場合は、地滑りが発生する場合を想定し、地滑りの範囲、規模等を評価した。以下に調査結果の概要を示し、別紙2に詳細を示す。

### (1) 地滑り地形①

地滑り地形①は、防災科研調査によって7ユニットの地滑り地形が隣接して分布しているとされる(地滑り地形①-1～地滑り地形①-7)。

地形判読の結果、地滑り地形①-1～3の範囲付近においては、地滑りを示唆する地形的特徴は認められないが、地滑り地形①-4～7の範囲付近においては、地滑り地形の特徴である多丘形凹状台地状地形が認められる。

現地調査の結果、地滑り地形①-1～3の範囲付近においては地滑りを示唆する地形的特徴、地質的特徴及び水文的特徴は認められない。地滑り地形①-4～7の範囲付近においては、湧水等の地滑りを示唆する水文的な特徴は認められないが、滑落崖及び地滑り土塊の存在が示唆される地形的特徴が認められ、地形判読で認められた多丘形凹状台地状地形の特徴と合致する。

以上から、地滑り地形①のうち地滑り地形①-4～7の範囲付近は地滑り地形と判断される。

地滑り地形①-4～7の範囲付近は、モニタリングポストが安全施設として位置しているが、当該モニタリングポストが損傷したとしても、可搬型モニタリングポストによって代替することが可能であるため、安全施設の安全機能に影響を及ぼすおそれはない。

### (2) 地滑り地形②

地形判読の結果、地滑りを示唆する地形的特徴は認められない。

現地調査の結果、地滑りを示唆する地形的特徴、地質的特徴及び水文的特徴は認められない。

以上のことから、本箇所は地滑り地形ではないと判断される。

なお、本箇所は、開閉所造成のための人工改変により、切取法面となっている。現地調査の結果、法面及び開閉所周回道路に地滑りを示唆するような変状は認められない。

### (3) 地滑り地形③

地形判読の結果、地滑りを示唆する地形的特徴は認められない。

現地調査の結果、地滑りを示唆する地形的特徴、地質的特徴及び水文的特徴は認められない。

以上のことから、本箇所は地滑り地形ではないと判断される。

なお、本箇所の一部は防火帯となっている。現地調査の結果、防火帯に地滑りを示唆する

変状は認められない。

(4) 抽出した地滑り地形以外の斜面について

国土地理院により撮影された複数の公開空中写真により、敷地内について網羅的に地形判読を行った結果、抽出した地滑り地形以外の斜面について地滑りを示唆する地形的特徴は認められない。

文献調査の結果、地滑り地形は示されていない。

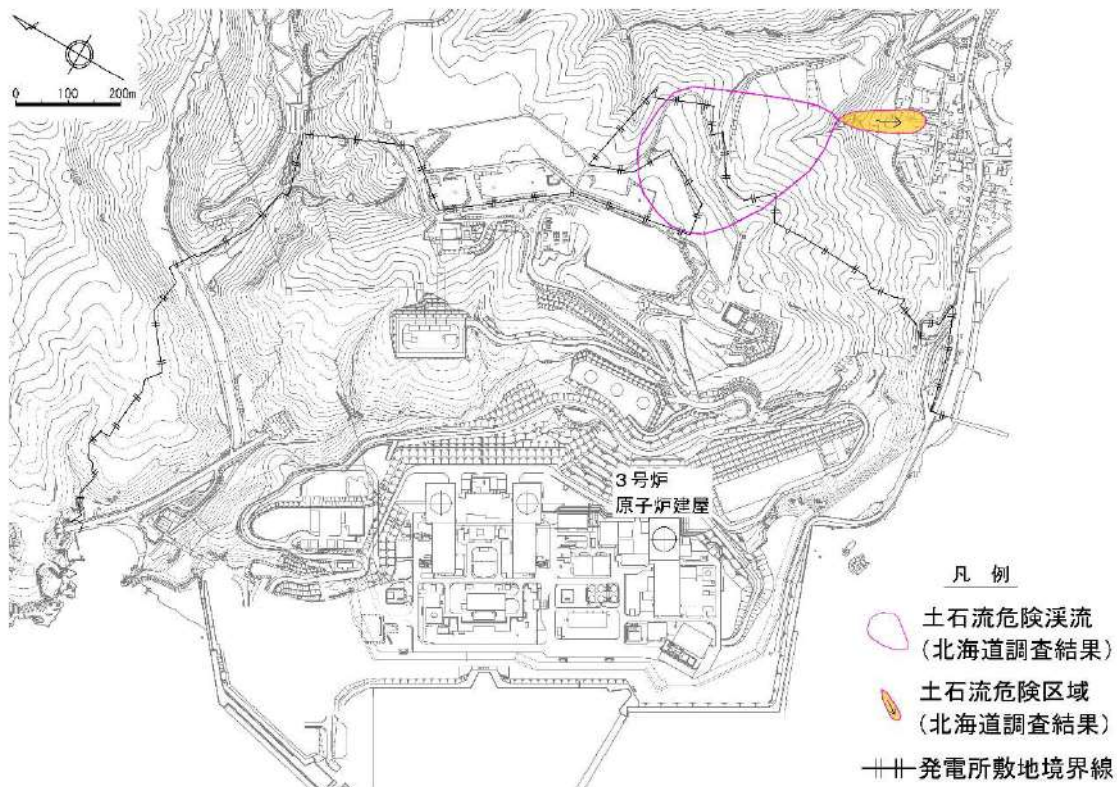
地形、地質、湧水等の水文的な観点に基づく地表地質踏査の結果、地滑りの特徴が認められない。

ボーリング調査、試掘坑調査及び開削調査の結果、F-1 断層～F-11 断層の 11 条の断層を認定しているが、これらの断層以外で、滑り面を示唆する粘土を挟在する連続する割れ目は認められない。

以上のことから、地滑り調査において判定した地滑り地形以外の斜面について、地滑りは想定されない。

### 3. 土石流の影響評価について

北海道の土石流危険区域等を調査した文献として、北海道が作成した土砂災害危険箇所図(以下、「北海道調査」)がある。この記載に基づくと、第3図のとおり泊発電所周辺の土石流危険区域及び土石流危険渓流は1箇所である。



第3図 泊発電所周辺における土石流危険区域及び土石流危険渓流位置図

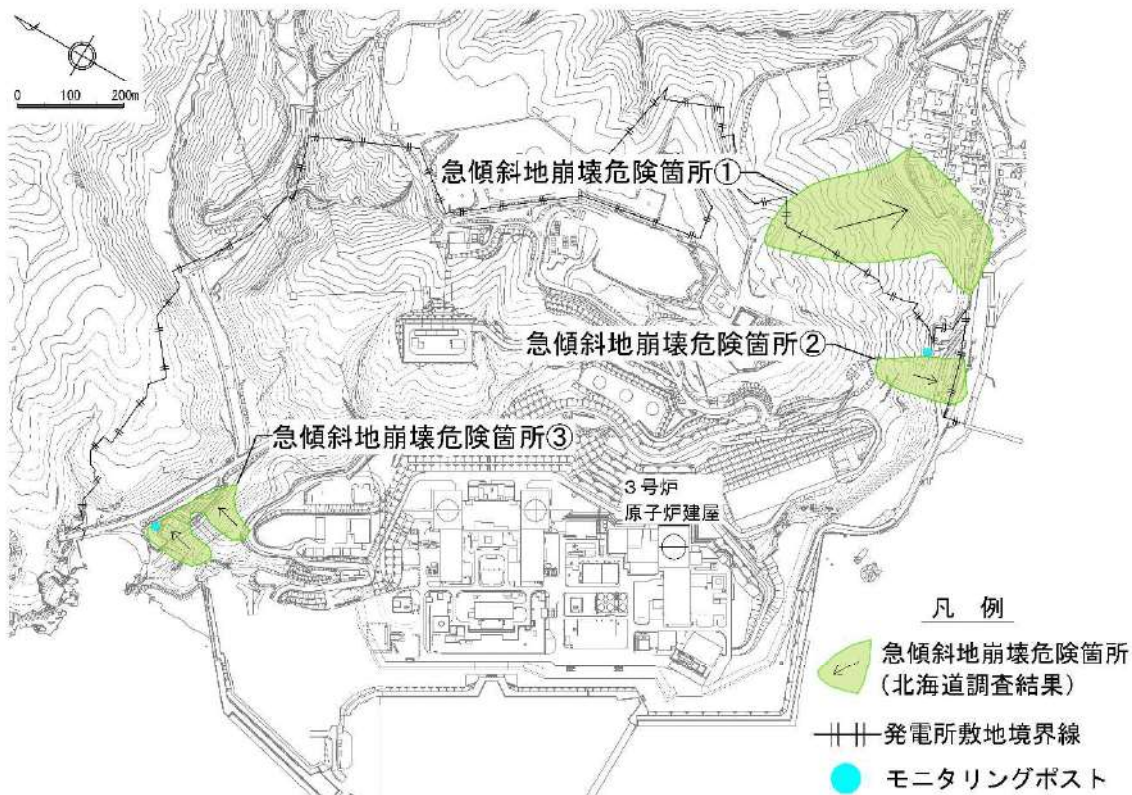
土石流：山腹や川底の土砂が長雨や集中豪雨などによって、土砂と水が一体となって一気に下流へと押し流される現象（別紙1）

本箇所において、土石流の影響を受ける可能性がある安全施設は存在しない。

#### 4. 急傾斜地崩壊危険箇所の影響評価について

北海道の急傾斜地崩壊危険箇所を調査した文献として、北海道調査がある。

この記載に基づくと、第4図のとおり泊発電所周辺の急傾斜地崩壊危険箇所は3箇所である。



第4図 泊発電所周辺の急傾斜地崩壊危険箇所<sup>※1</sup>位置図

急傾斜地の崩壊：傾斜度が30°以上である土地が崩壊する現象（別紙1）

※1：傾斜度30°かつ高さ5m以上の急傾斜地で人家や公共施設に被害を生じるおそれのある箇所

##### 4.1 急傾斜地崩壊危険箇所①

本箇所において、急傾斜地の崩壊の影響を受ける可能性がある安全施設は存在しない。

##### 4.2 急傾斜地崩壊危険箇所②

本箇所において、急傾斜地の崩壊の影響を受ける可能性がある安全施設はモニタリングポストがあるが、当該モニタリングポストが損傷したとしても、可搬型モニタリングポストによって代替することができるから、安全機能に影響を及ぼすおそれはない。

##### 4.3 急傾斜地崩壊危険箇所③

本箇所において、急傾斜地の崩壊の影響を受ける可能性がある安全施設はモニタリングポストがあるが、当該モニタリングポストが損傷したとしても、可搬型モニタリングポスト

によって代替することが可能であることから、安全機能に影響を及ぼすおそれはない。

#### 参考文献

- (1) 清水文健・井口隆・大八木規夫(2010) :5万分の1 地すべり地形分布図第45集「岩内」  
図集, 地すべり地形分布図茅沼, 防災科学技術研究所研究資料第339号, 防災科学技術  
研究所

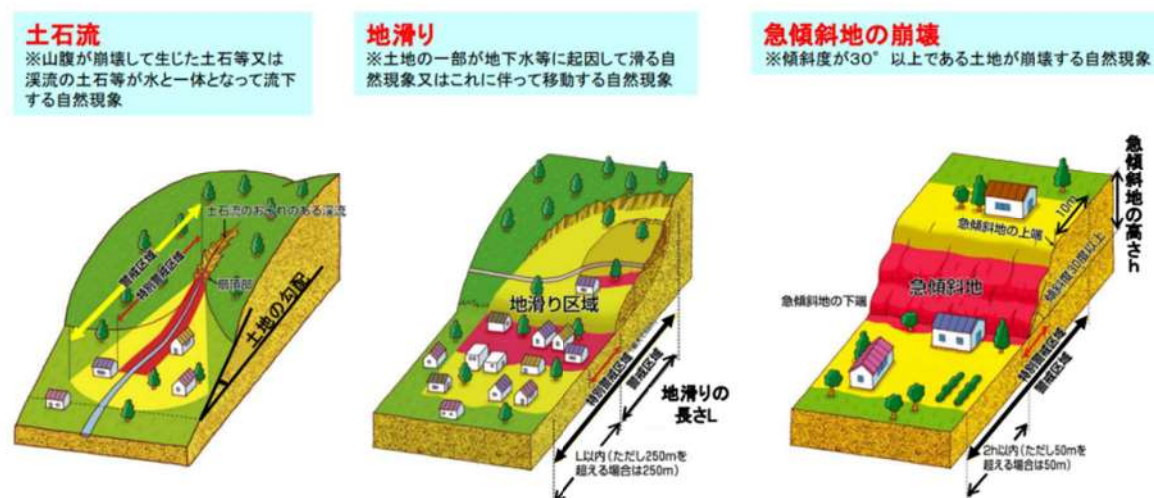
## 地滑り・土石流及び急傾斜地の崩壊の概要

### 1. 地滑り・土石流及び急傾斜地の崩壊について

「土砂災害警戒区域等における土砂災害防止対策の推進に関する法律」において、地滑りは「土地の一部が地下水などに起因して滑る自然現象又はこれに伴って移動する自然現象」と定義されており、地下水等の影響により斜面の一部が動き出す現象である。

土石流は「山腹が崩壊して生じた土石等又は溪流の土石等が水と一緒に下流へと押し流される現象」と定義されている。すなわち、山腹や川底の土砂が長雨や集中豪雨等によって、土砂と水と一緒に下流へと押し流される現象である。

急傾斜地の崩壊は「傾斜度が $30^{\circ}$ 以上である土地が崩壊する自然現象」と定義されており、急傾斜面が突然崩れ落ちる現象である。



第5図 土砂災害の種類(国土交通省 HP)

### 2. 地滑り調査の一般的な実施内容

地滑りでは、第6図に示すような滑落崖、押し出し下底面（二次滑り面）等の特徴的な地形が発達する。地滑り地形では、滑落崖、地表面逆傾斜、先端部の押し出し、台地状地形等、第7図に示すような等高線が特徴的に乱れた形状を示すことが多い。また、地滑り地形における等高線の配置は、滑落崖では第8図に示すような凹型谷型斜面をなす。

独立行政法人防災科学技術研究所（以下、「防災科研」）による地すべり地形分布図では、初期的な地滑り変動に関連すると思われる地形的痕跡として、不安定域と推定される斜面領域や斜面上部に発達する小崖地形について判読を行っており、そこに表層すべりは含まれないとしている。国土交通省HPによると、地滑りは一般的には深層崩壊にともなって発生する現象で動きが緩慢なものが多いとされている。ここで深層崩壊は、すべり面が表層崩

壞よりも深部で発生し、表土層だけでなく深層の地盤までもが崩壊土塊となる比較的規模の大きな崩壊現象としている。また表層崩壊は、斜面崩壊のうち、厚さ 0.5~2.0m程度の表層土が、表層土と基盤層の境界に沿って滑落する比較的規模の小さな崩壊としている。

防災科研は地すべり地形分布図の利活用における留意点の一つとして、利用者の責任による現地調査が必要としている。

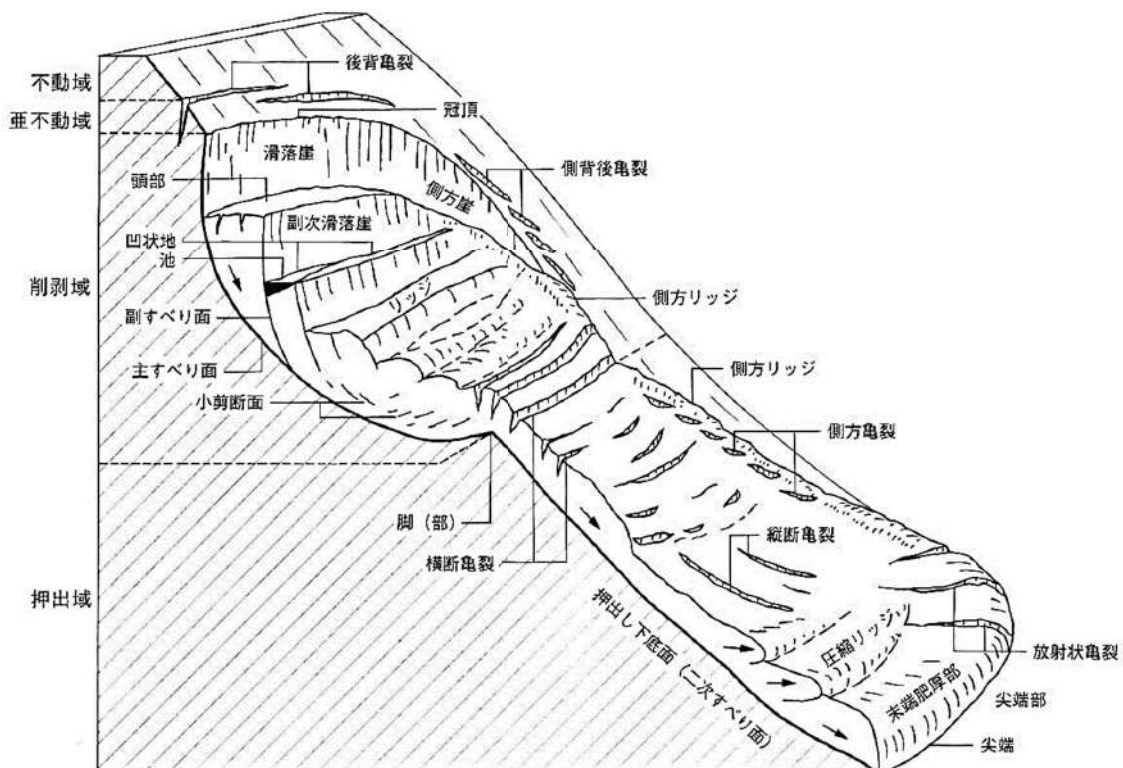
そのため地滑り調査では、地滑り地形判読及び現地調査を実施した。

地形判読では、防災科研調査と空中写真判読基準は同様であるが、泊発電所建設前の空中写真を基にした等高線図を含む多様な参考資料を用いた地形判読を行い、地滑りを示唆する地形的特徴を確認した。地形判読は、技術士（応用理学部門）及び応用地形判読士の資格を有する調査員を含めた体制で実施した。

現地調査では、文献調査及び地滑り地形判読によって抽出された地滑り地形を対象に、地形、地質、湧水等の水文的な観点に基づく現地調査を実施し、地滑りの特徴が認められる場合は、地滑りが発生する場合を想定し、地滑りの範囲・規模を評価した。現地調査は、技術士（応用理学部門）の資格を有する調査員を含めた体制で実施した。現地調査における主な留意点、着目点を第2表に示す。

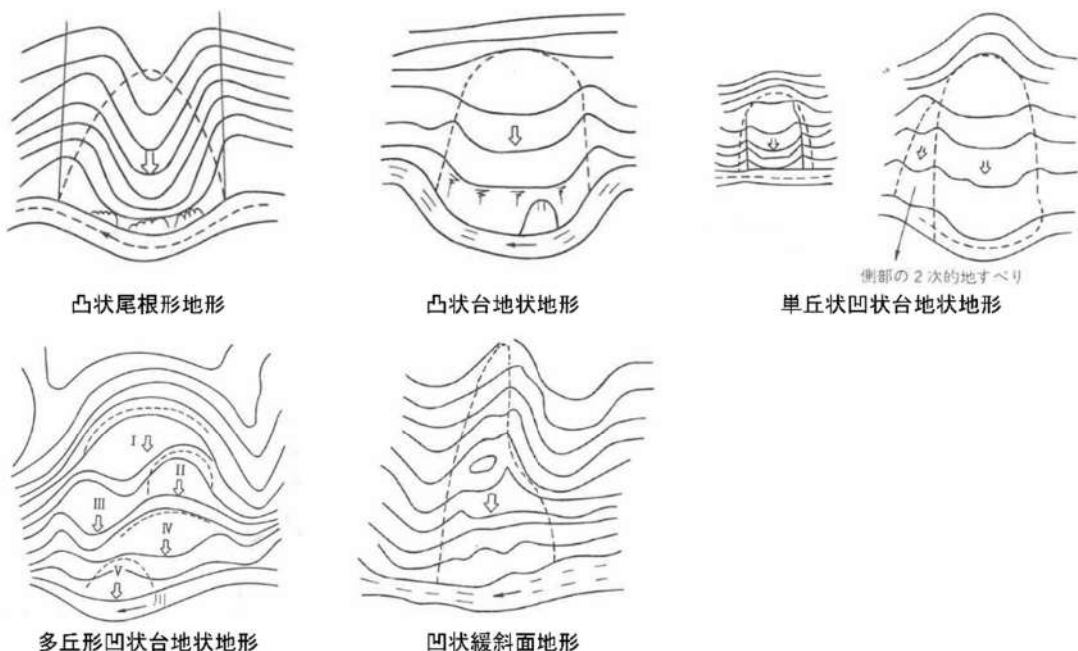
なお、地滑り地形の抽出に用いた判断基準や留意点については、基準津波策定時の地滑り地形の抽出と同様の考え方である。

地滑り調査と防災科研調査で用いた主な資料を別紙3に示す。



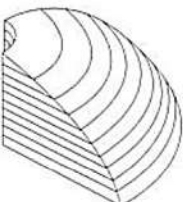
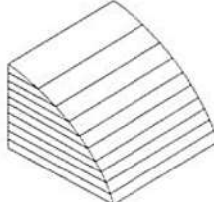
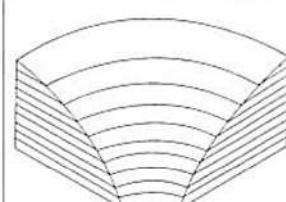
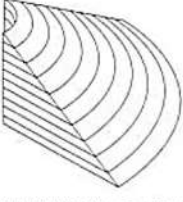
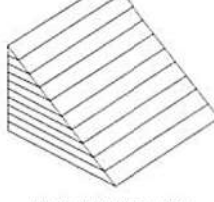
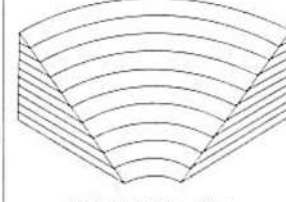
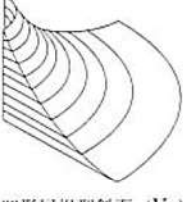
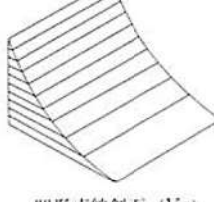
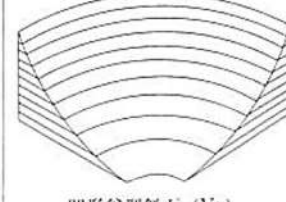
第6図 地滑りに伴って生じる各種の地形

(鈴木隆介(2000) : 建設技術者のための地形図読図入門, 第3巻, 古今書院)



第7図 地滑り地形の特徴

(渡 正亮・小橋澄治(1987) : 地滑り・斜面崩壊の予知と対策, 山海堂)

分類	尾根型斜面 (r)	直線斜面 (s)	谷型斜面 (v)
凸形斜面 (X)			
	凸形尾根型斜面 (Xr)	凸形直線斜面 (Xs)	凸形谷型斜面 (Xv)
等齊斜面 (R)			
	等齊尾根型斜面 (Rr)	等齊直線斜面 (Rs)	等齊谷型斜面 (Rv)
凹形斜面 (V)			
	凹形尾根型斜面 (Vr)	凹形直線斜面 (Vs)	凹形谷型斜面 (Vv)

第8図 斜面の形態的分類

(鈴木隆介(2000)：建設技術者のための地形図読図入門、第3巻、古今書院)

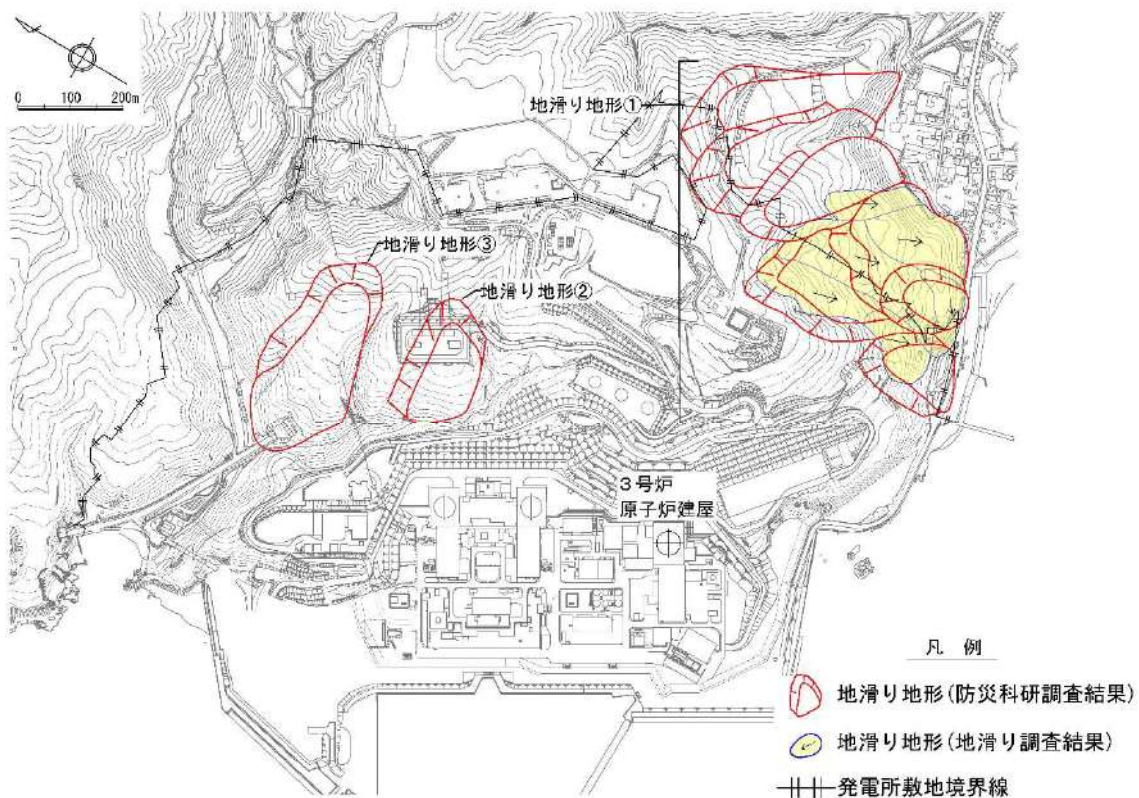
第2表 現地調査における主な留意点、着目点

項目	留意点・着目点
地形	<ul style="list-style-type: none"> <li>・亀裂、段差等の微地形の有無</li> <li>・遷緩線、遷急線の有無</li> <li>・支沢の発達状況</li> <li>・旧地形</li> </ul>
地質	<ul style="list-style-type: none"> <li>・岩種及び岩相</li> <li>・地質構造(流れ盤、破碎帯の有無等)</li> <li>・風化の程度</li> <li>・節理間隔、ゆるみの有無</li> </ul>
水文	<ul style="list-style-type: none"> <li>・表流水及び表流跡の有無</li> <li>・湧水地点の位置及び状況</li> </ul>
構造物	<ul style="list-style-type: none"> <li>・クラックの有無</li> </ul>

## 地滑り調査結果

独立行政法人防災科学技術研究所（以下、「防災科研」）が作成した地すべり地形分布図（平成22年）では、泊発電所周辺に位置する地滑り地形が示されている（以下、「防災科研調査結果」）。抽出された地滑り地形及び防災科研調査の地滑り地形を合わせて第9図に示す。

地滑り調査及び防災科研調査により抽出された地滑り地形について、机上調査及び現地調査による詳細検討の結果を示す。なお、地滑り地形の特徴については別紙1に示す。



第9図 泊発電所周辺の地滑り地形位置図

## 1. 地滑り地形①

### 1.1 地形判読

地滑り地形①周辺の、防災科研調査が判読に使用した空中写真（撮影縮尺4万分の1、1965年撮影）を第10図に示す。地滑り調査で判読に使用した等高線図（原縮尺：2千分の1）を第11図に、2種類の空中写真（「撮影縮尺：1万分の1、1976年撮影」及び「撮影縮尺：4万分の1、1947年撮影」）を第12図及び第13図に示す。

地滑り地形①は、発電所南東にある南東向き斜面で標高約5～120mの緩斜面をなす。

地滑り地形①は、防災科研調査によって7ユニットの地滑り地形が隣接して分布してい

るとされる（地滑り地形①-1～地滑り地形①-7）。

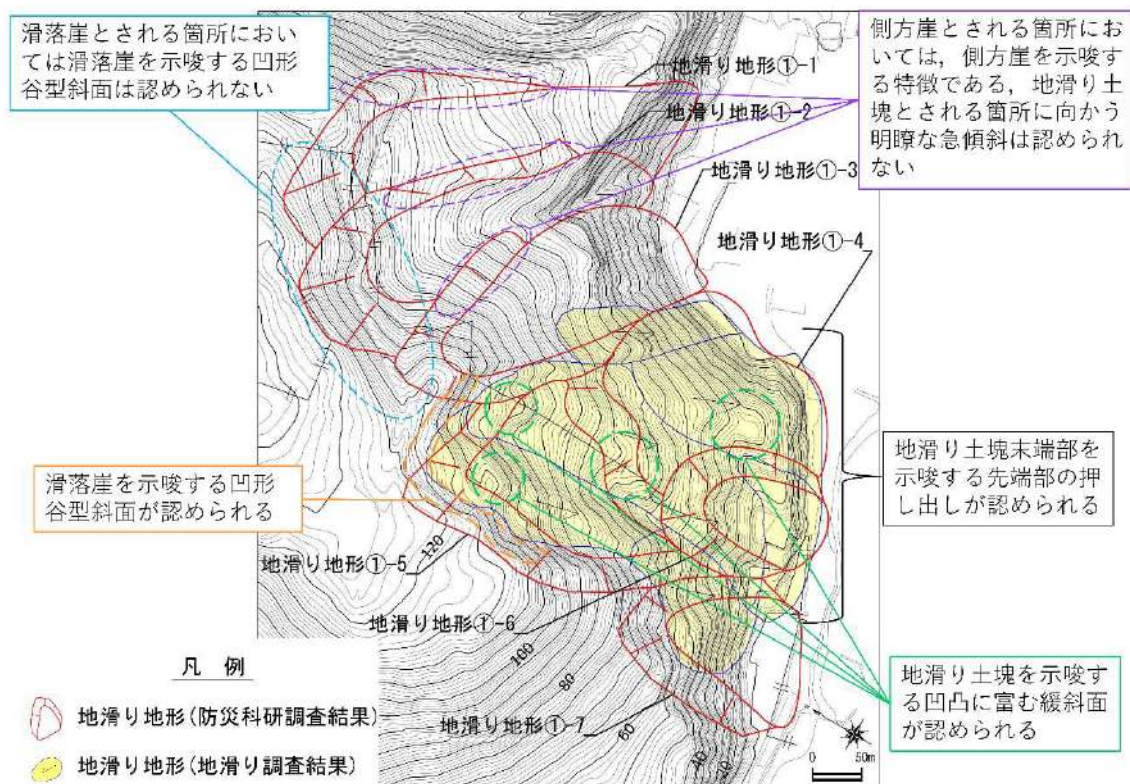
地形判読の結果、地滑り地形①-1～3 の範囲付近においては、地滑りを示唆する地形的特徴は認められない。また、防災科研調査において地滑り地形とされる範囲のうち、滑落崖とされる箇所においては滑落崖を示唆する凹形谷型斜面は認められない（第11図 青枠）。側方崖とされる箇所においては、側方崖を示唆する特徴である、地滑り土塊とされる箇所に向かう明瞭な急傾斜は認められない（第11図 紫枠）。

地滑り地形①-4～7 の範囲付近は、地滑り地形の特徴である、滑落崖を示唆する凹形谷型斜面（第11図 橙枠）及びその下方に地滑り土塊を示唆する凹凸に富む緩斜面が認められ（第11図 緑枠）、多丘形凹状台地状地形を呈する。また、地滑り土塊末端部を示唆する先端部の押し出しが認められる（第11図 中括弧箇所）。

認められた地滑り地形の長さは合計で約400m、幅は合計で約370mである。凹凸に富む緩斜面は海食崖の手前まで達している。



第10図 防災科研調査が判読に用いた地滑り地形①周辺の空中写真  
(撮影縮尺4万分の1, 1965年撮影)



第11図 地滑り地形①周辺の等高線図(原縮尺: 2千分の1)



第12図 地滑り地形①周辺の空中写真(撮影縮尺：1万分の1，1976年撮影)



第13図 地滑り地形①周辺の空中写真(撮影縮尺：4万分の1，1947年撮影)

## 1.2 現地調査

地滑り地形①-1～7周辺の調査位置図及び状況写真を第14図に示す。

現地調査の結果、地滑り地形①-1～3の範囲付近においては、防災科研調査において滑落崖とされる箇所において滑落崖を示唆する遷急線及び遷緩線は認められない(第14図P1)。防災科研調査において側方崖とされる箇所においては、側方崖を示唆する特徴である、地滑り土塊とされる箇所に向かう明瞭な急傾斜は認められない(第14図P2)。防災科研調査において地滑り土塊とされる箇所においては、地滑り土塊を示唆する凹凸に富む緩斜面は認められない(第14図P3)。

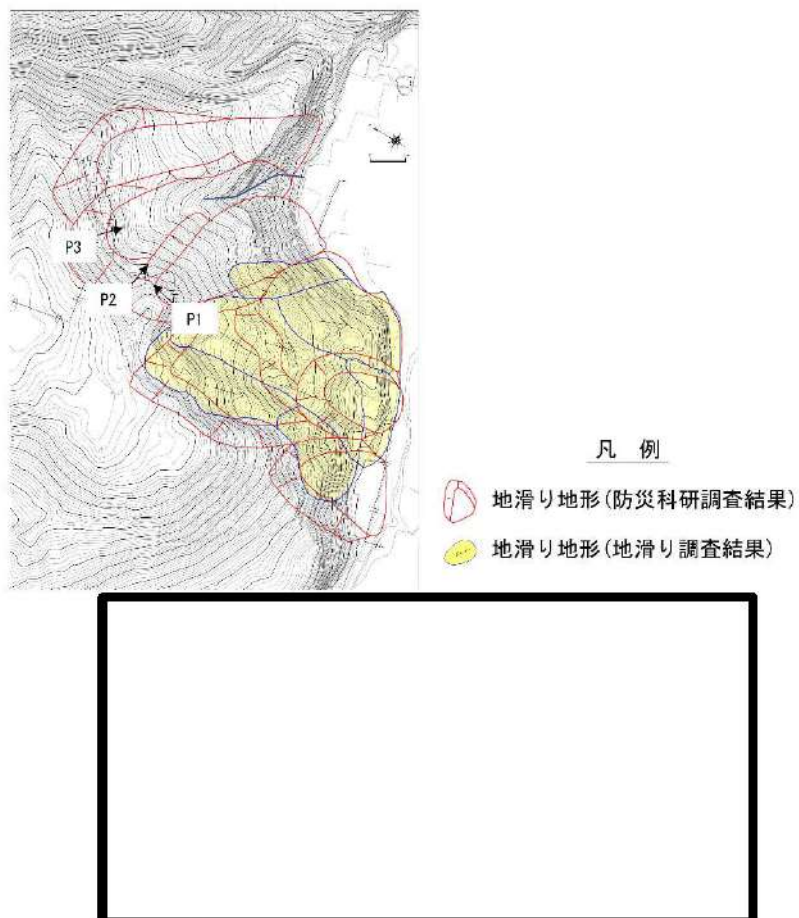
防災科研調査において地滑り土塊末端部とされる箇所及び地滑り土塊とされる箇所に分布する沢においては、堅硬な岩盤が認められる(第14図P4及びP5)。

防災科研調査において地滑り土塊とされる箇所の周囲に湧水は認められない。

地滑り地形①-4～7の範囲付近においては、防災科研調査において滑落崖とされる箇所で滑落崖を示唆する遷急線及び遷緩線が認められる(第14図P6及びP7)。また、防災科研調査において地滑り土塊とされる箇所で地滑り土塊を示唆する凹凸に富む緩斜面が認められる(第14図P8及びP9)。

これらの遷急線、遷緩線及び凹凸に富む緩斜面は、地形判読において認められた多丘形凹状台地状地形の特徴と合致する。

なお、地滑り地形①-4～7の範囲付近においては、地滑りを示唆する水文的特徴は認められない。



P1 防災科研調査において滑落崖とされる斜面の状況  
滑落崖を示唆する遷急線及び遷緩線は認められない。



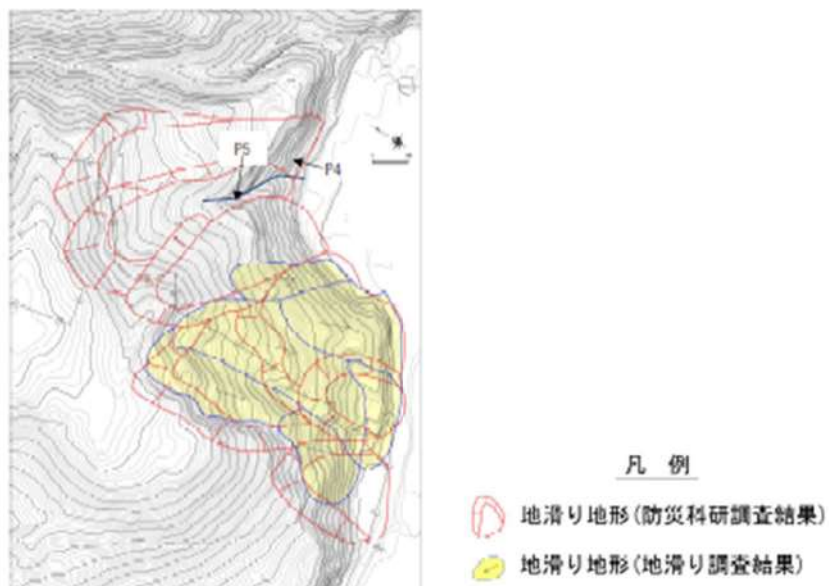
P2 防災科研調査において側方崖とされる斜面の状況  
側方崖を示唆する特徴である、地滑り土塊とされる箇所に向かう明瞭な急傾斜は認められない。



P3 防災科研調査において地滑り土塊とされる斜面の状況  
防災科研調査において滑落崖とされる箇所から、地滑り土塊とされる箇所を見下ろす。  
地滑り土塊を示唆する凹凸に富む緩斜面は認められない。

第 14 図 地滑り地形①-1～地滑り地形①-7 周辺の調査位置図及び状況写真

本資料のうち、枠囲みの内容は機密情報に属しますので公開できません。

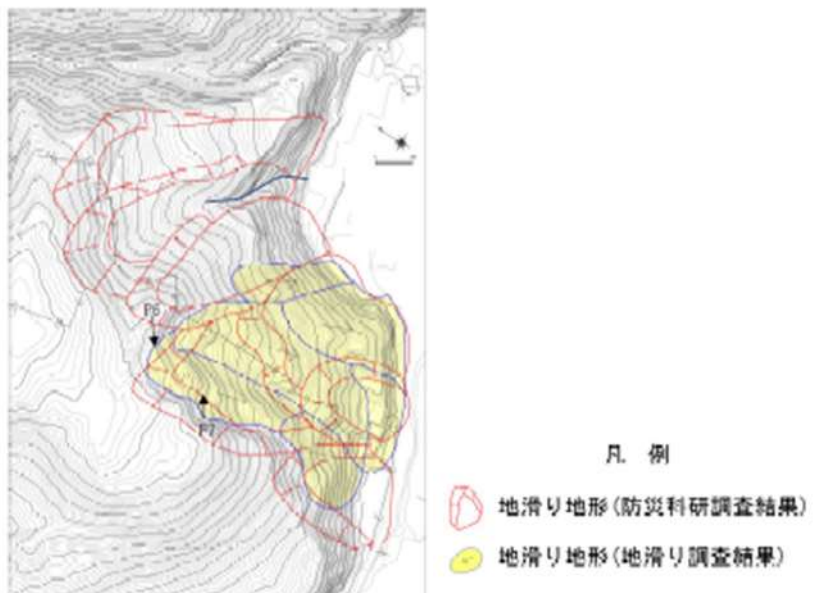


P4 防災科研調査において地滑り土塊末端部とされる箇所の露岩状況  
堅硬な岩盤（凝灰角礫岩）が認められる。



P5 防災科研調査において地滑り土塊とされる箇所に分布する沢の露岩状況  
堅硬な岩盤（凝灰岩）が認められる。

第14図 (前頁からの続き) 地滑り地形①-1～地滑り地形①-7周辺の調査位置図及び状況写真



P6 防災科研調査において滑落崖とされる斜面の状況  
滑落崖を示唆する遷急線及び遷緩線が認められる。

----- 遷急線  
----- 遷緩線

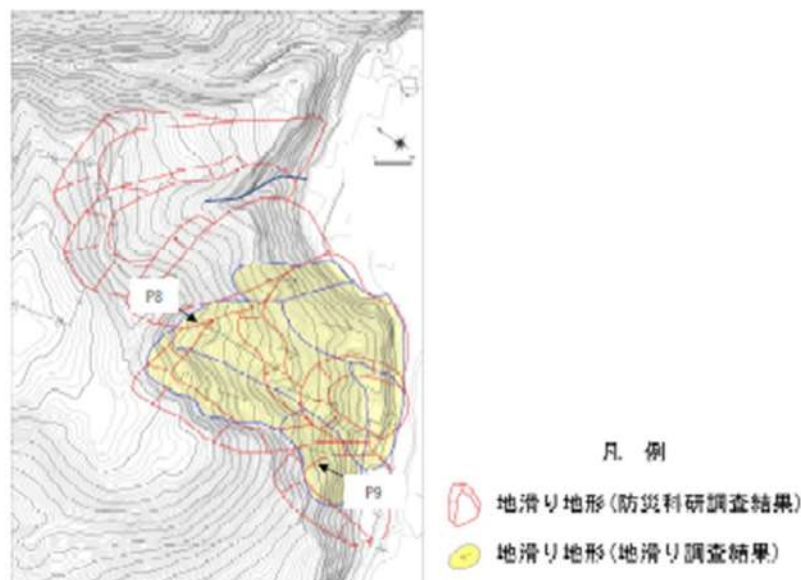


P7 防災科研調査において滑落崖とされる斜面の状況  
滑落崖を示唆する遷急線及び遷緩線が認められる。

----- 遷急線  
----- 遷緩線

第14図 (前頁からの続き) 地滑り地形①-1～地滑り地形①-7周辺の調査位置図及び状況写真

本資料のうち、枠囲みの内容は機密情報に属しますので公開できません。



P8 防災科研調査において地滑り土塊とされる斜面の状況  
地滑り土塊を示唆する凹凸に富む緩斜面が認められる。

P9 防災科研調査において地滑り土塊とされる斜面の状況  
地滑り土塊を示唆する凹凸に富む緩斜面が認められる。

第 14 図 (前頁からの続き) 地滑り地形①-1～地滑り地形①-7 周辺の調査位置図及び状況写

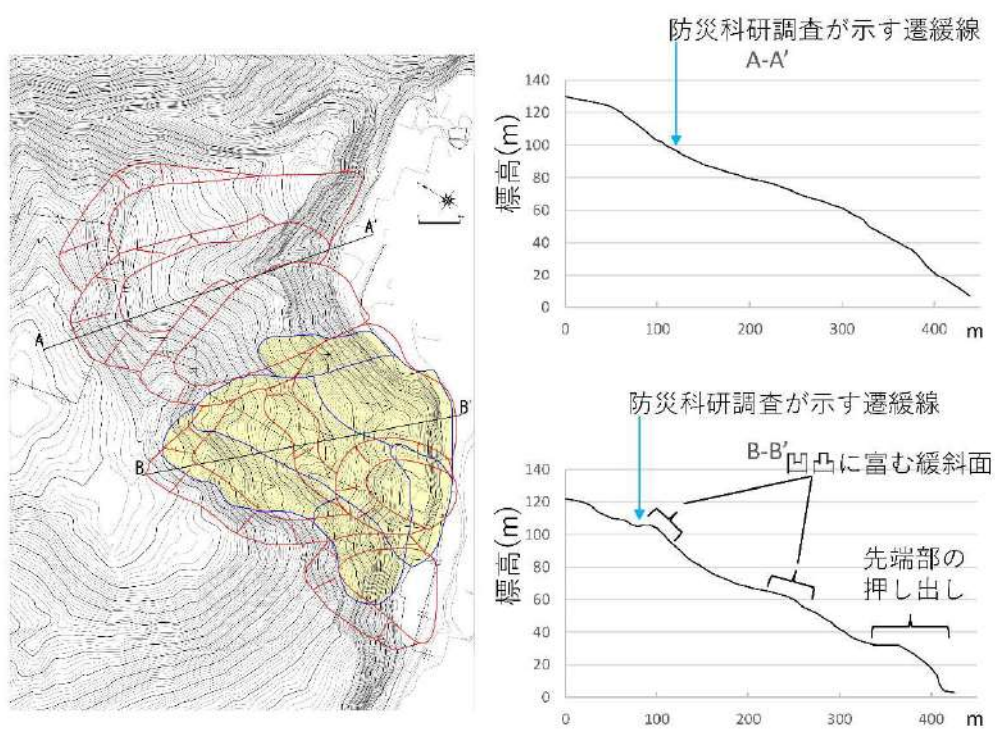
本資料のうち、枠囲みの内容は機密情報に属しますので公開できません。

### 1.3 地形断面図

地滑り地形①-1～3 の範囲付近及び地滑り地形①-4～7 の範囲付近について、防災科研調査が示す地滑り方向に概ね沿った地形断面図をそれぞれ第 15 図に示す。

地滑り地形①-1～3 の範囲付近(A-A')については、防災科研調査において遷緩線とされる箇所を境界に、地滑り土塊とされる範囲の傾斜角は、滑落崖とされる範囲の傾斜角に比べやや緩傾斜であるものの、地滑り土塊の特徴である凹凸に富む緩斜面は認められない。

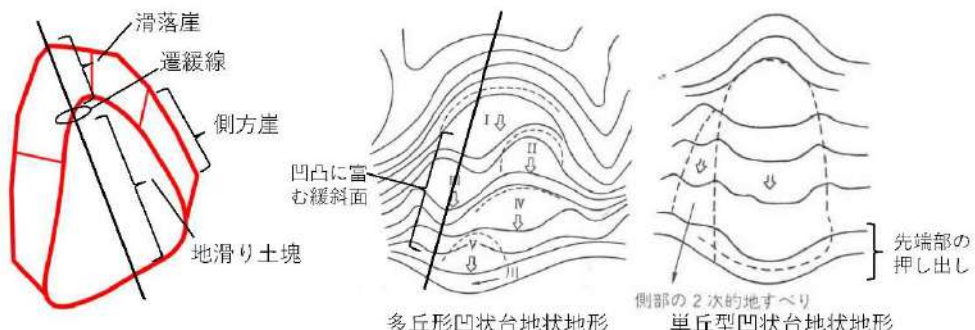
一方で、地滑り地形①-4～7 の範囲付近(B-B')については、防災科研調査において遷緩線とされる箇所で段差地形が認められ、また、防災科研調査において地滑り土塊とされる範囲で、地滑り土塊の特徴である凹凸に富む緩斜面や先端部の押し出しが認められる。



凡 例

(1) 地滑り地形(防災科研調査結果)

(2) 地滑り地形(地滑り調査結果)



(渡正亮・小橋澄治(1987)に加筆)

第 15 図 地滑り地形①の地形断面図

#### 1.4 まとめ

地滑り地形①-1～7について地形判読及び現地調査の結果、地滑り地形①-1～3の範囲付近においては地滑りを示唆する地形的特徴、地質的特徴及び水文的特徴が認められないことから、地滑り地形ではないと判断される。なお、地滑り地形①-1～3は、防災科研調査において滑落崖とされている斜面の前面が比較的平坦であり、さらにその前面に概ね汀線方向の急斜面が認められることから、海食によって形成された地形であると考えられる。

一方で、地滑り地形①-4～7の範囲付近においては滑落崖及び地滑り土塊を示唆する地形的特徴が認められることから、地滑り地形と判断される。

## 2. 地滑り地形②

### 2.1 地形判読

地滑り地形②周辺の、防災科研調査が判読に使用した空中写真（撮影縮尺4万分の1, 1965年撮影）を第16図に示す。地滑り調査で判読に使用した等高線図（原縮尺：2千分の1）を第17図に、2種類の空中写真（「撮影縮尺：1万分の1, 1976年撮影」及び「撮影縮尺：4万分の1, 1947年撮影」）を第18図及び第19図に示す。

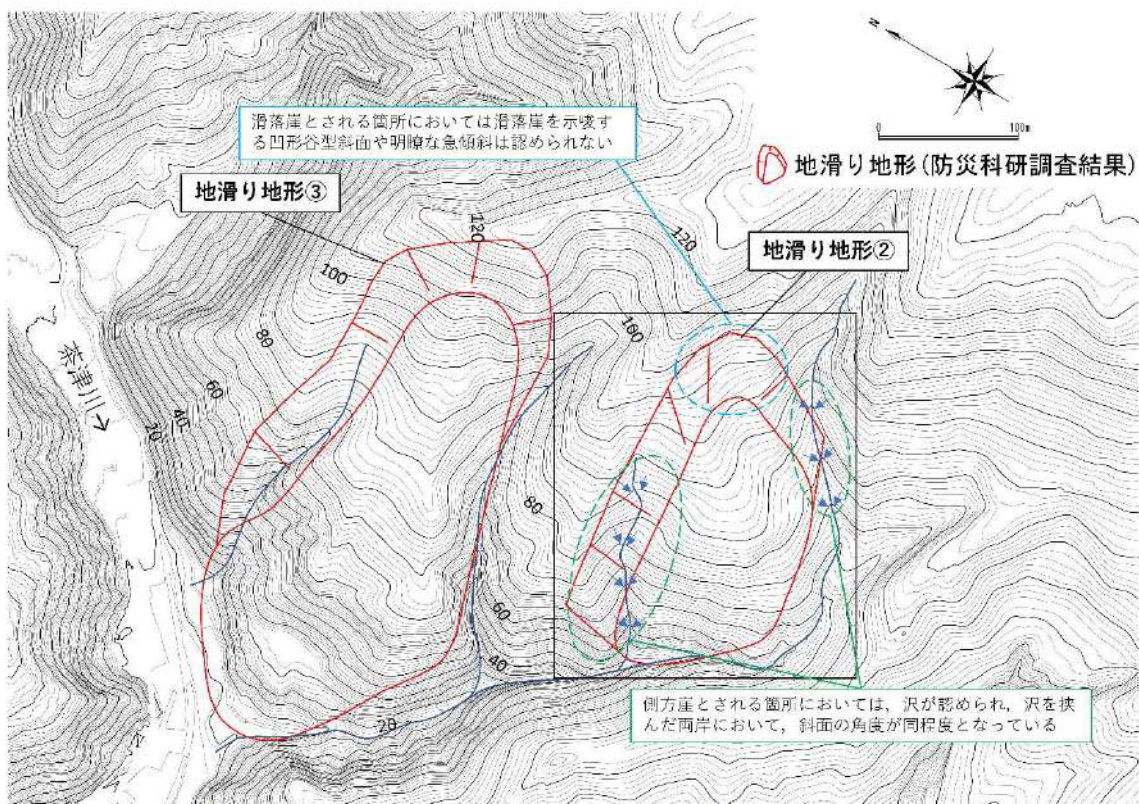
地滑り地形②は、発電所北部にある西向き斜面で標高約50～100mの緩斜面をなす。周囲を沢に囲まれており、西向きの尾根からなる。

地形判読の結果、地滑りを示唆する地形的特徴は認められない。

また、防災科研調査において地滑り地形とされる範囲のうち、滑落崖とされる箇所においては滑落崖を示唆する凹形谷型斜面や明瞭な急傾斜は認められない（第17図 青枠）。側方崖とされる箇所においては、沢が認められ、その沢を挟んだ両岸において、斜面の角度が同程度となっており、側方崖を示唆する特徴である、地滑り土塊とされる箇所に向かう明瞭な急傾斜は認められない（第17図 緑枠）。



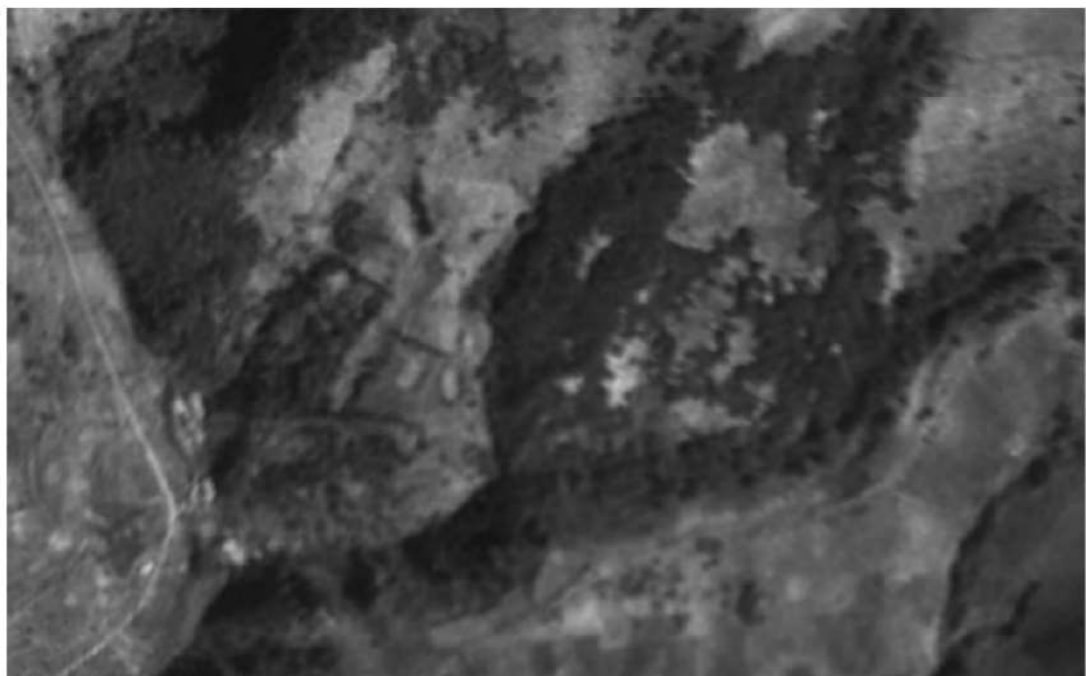
第16図 防災科研調査が判読に用いた地滑り地形②周辺の空中写真  
(撮影縮尺4万分の1, 1965年撮影)



第17図 地滑り地形②周辺の等高線図 (原縮尺: 2千分の1)



第18図 地滑り地形②周辺の空中写真(撮影縮尺：1万分の1，1976年撮影)



第19図 地滑り地形②周辺の空中写真(撮影縮尺：4万分の1，1947年撮影)

## 2.2 現地調査

地滑り地形②周辺の調査位置図及び状況写真を第20図に示す。

現地調査の結果、防災科研調査において側方崖とされる箇所には西向きの沢が発達しており、沢を挟んだ両岸において、斜面の角度が同程度となっており、側方崖を示唆する特徴である、地滑り土塊とされる箇所に向かう明瞭な急傾斜は認められない（第20図P1）。

防災科研調査において地滑り土塊とされる箇所は一様な斜面であり、地滑り土塊を示唆する凹凸に富む緩斜面は認められない（第20図P2）。この斜面の西側端部付近には、北西向きの沢が分布している。この沢を挟んだ両岸において、斜面の角度が同程度であり、地滑り土塊末端部を示唆する先端部の押し出しは認められない（第20図P3）。

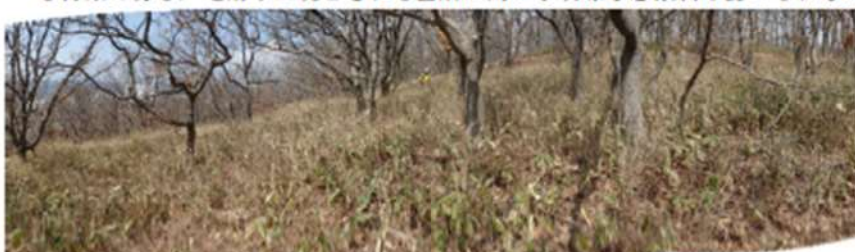
防災科研調査において地滑り土塊末端部とされる箇所及びその付近の沢においては、堅硬な岩盤が認められる（第20図P4及びP5）。

防災科研調査において地滑り土塊とされる箇所の周囲に湧水は認められない。

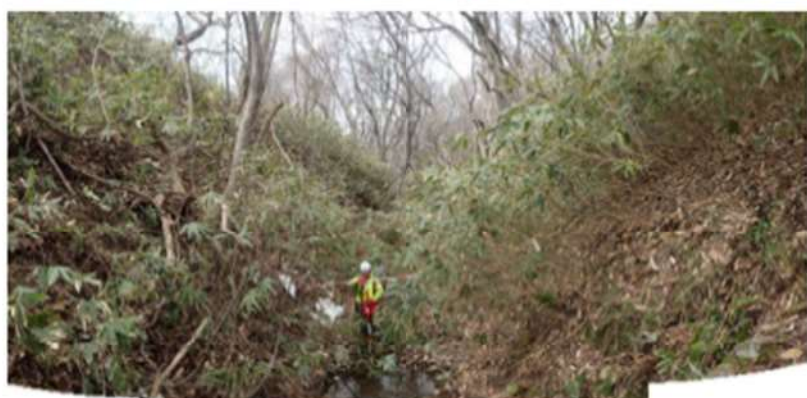
なお、防災科研調査において滑落崖とされる範囲及び地滑り土塊とされる範囲の上部は、開閉所造成のための人工改変により、切取法面となっている。現地調査の結果、法面及び開閉所周回道路に地滑りを示唆する変状（法面のはらみ出しや縁石及びフェンスのずれを伴うクラック）は認められない（第20図P6）。



P1 防災科研調査において側方崖とされる斜面の状況  
沢を挟んだ両岸において、斜面の角度が同程度となっており、側方崖を示唆する特徴である。地滑り土塊とされる箇所に向かう明瞭な急傾斜は認められない。

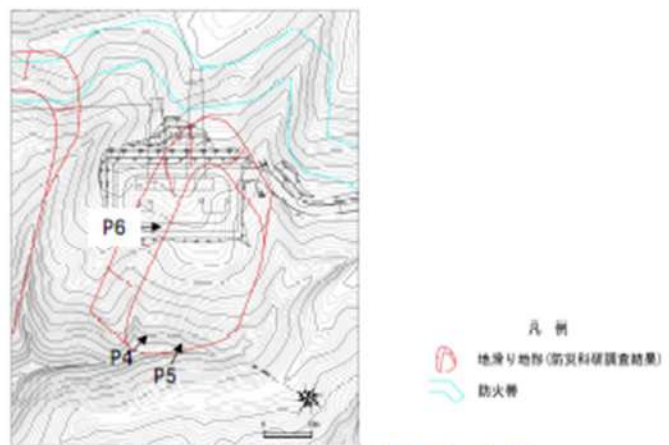


P2 防災科研調査において地滑り土塊とされる斜面の状況  
一様な斜面であり、地滑り土塊を示唆する凹凸に富む緩斜面は認められない。



P3 防災科研調査において地滑り土塊末端部とされる箇所の状況  
沢を挟んだ両岸において斜面の角度が同程度であり、地滑り土塊末端部を示唆する先端部の押し出しは認められない。

第 20 図 地滑り地形②周辺の調査位置図及び状況写真



P4 防災科研調査において地滑り土塊とされる箇所の露岩状況  
堅硬な岩盤（凝灰角礫岩）が認められる。



P5 防災科研調査において地滑り土塊末端部とされる箇所付近の沢の露岩状況  
堅硬な岩盤（凝灰角礫岩）が認められる。



P6 開閉所周回道路の状況  
防災科研調査において示される側方崖と地滑り土塊の境界に当たる。  
当該箇所付近に地滑りを示唆する変状(緑石及びフェンスのずれ)は認められない。

第 20 図 (前頁からの続き) 地滑り地形②周辺の調査位置図及び状況写真

### 2.3 まとめ

地滑り地形②について地形判読及び現地調査の結果、地滑りを示唆する地形的特徴、地質的特徴及び水文的特徴が認められないことから、地滑り地形ではないと判断される。

なお、地滑り地形②は周囲を沢に囲まれていることから、沢の侵食によって形成された地形と考えられる。

### 3. 地滑り地形③

#### 3.1 地形判読

地滑り地形③周辺の、防災科研調査が判読に使用した空中写真（撮影縮尺4万分の1，1965年撮影）を第21図に示す。地滑り調査で判読に使用した等高線図（原縮尺：2千分の1）を第22図に、2種類の空中写真（「撮影縮尺：1万分の1，1976年撮影」及び「撮影縮尺：4万分の1，1947年撮影」）を第23図及び第24図に示す。

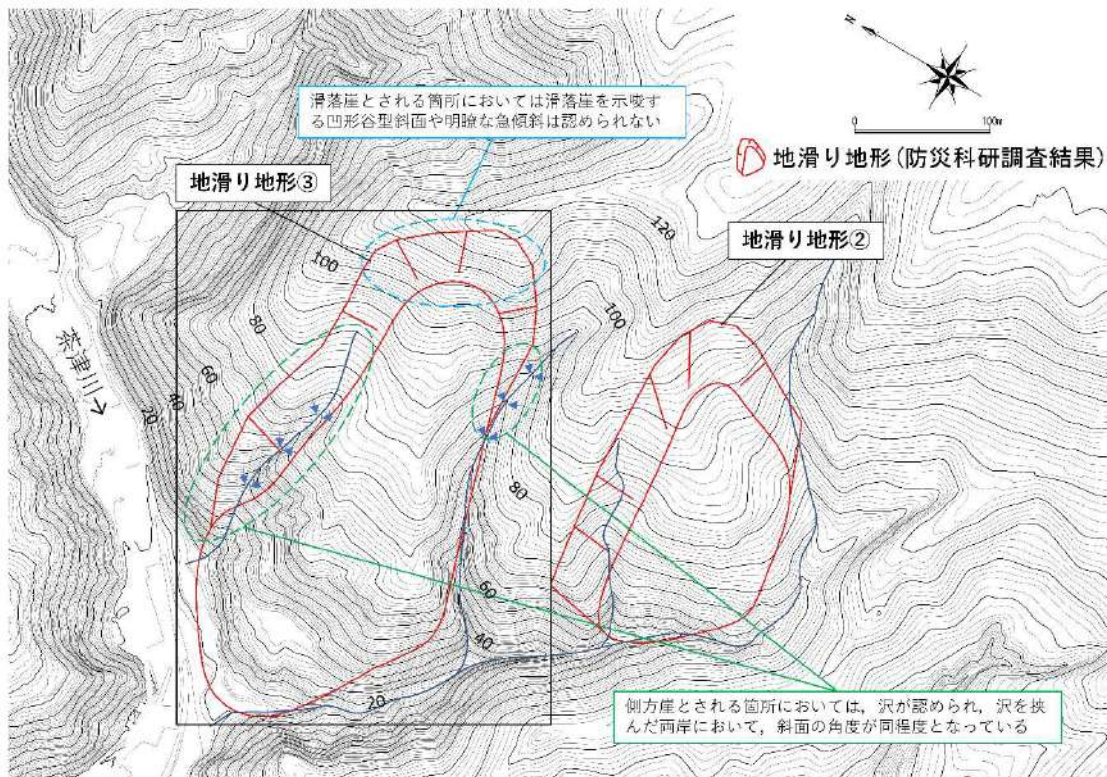
地滑り地形③は、発電所北部にある西向き斜面で標高約10～120mの斜面をなす。周囲を茶津川及び沢に囲まれており、西向きの尾根からなる。

地形判読の結果、地滑りを示唆する地形的特徴は認められない。

また、防災科研調査において地滑り地形とされる範囲のうち、滑落崖とされる箇所においては滑落崖を示唆する凹形谷型斜面や明瞭な急傾斜は認められない（第22図 青枠）。側方崖とされる箇所においては、沢が認められ、その沢を挟んだ両岸において、斜面の角度が同程度となっており、側方崖を示唆する特徴である、地滑り土塊とされる箇所に向かう明瞭な急傾斜は認められない（第22図 緑枠）。



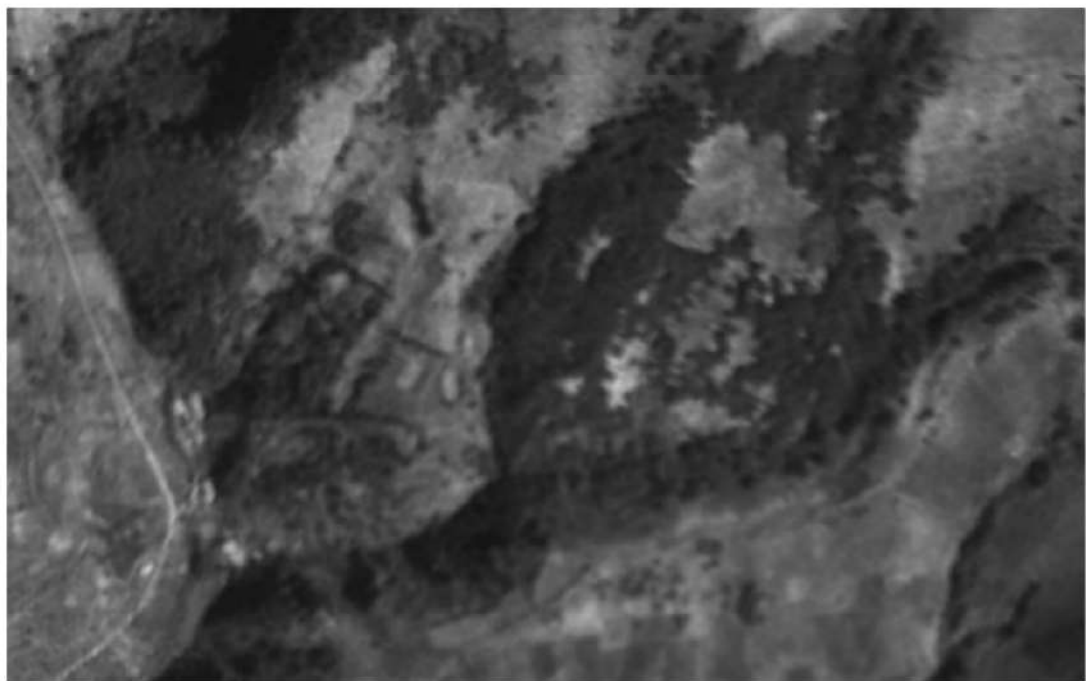
第21図 防災科研調査が判読に用いた地滑り地形③周辺の空中写真  
(撮影縮尺4万分の1, 1965年撮影)



第22図 地滑り地形③周辺の等高線図(原縮尺：2千分の1)



第23図 地滑り地形③周辺の空中写真(撮影縮尺：1万分の1，1976年撮影)



第24図 地滑り地形③周辺の空中写真(撮影縮尺：4万分の1，1947年撮影)

### 3.2 現地調査

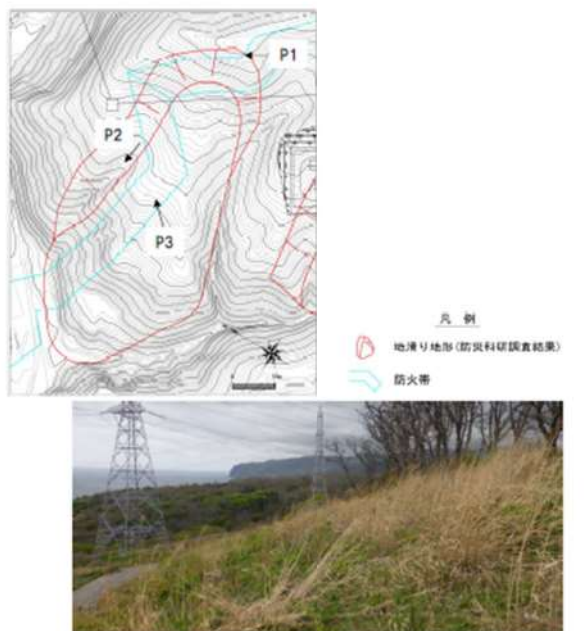
地滑り地形③周辺の調査位置図及び状況写真を第25図に示す。

現地調査の結果、防災科研調査において滑落崖とされる箇所は、送電鉄塔の工事用道路及び防火帯として一部改変されているものの、滑落崖の冠頂とされる箇所付近においては、滑落崖を示唆する遷急線は認められない（第25図P1）。防災科研調査において側方崖とされる箇所には西向きの沢が発達しており、沢を挟んだ両岸において、斜面の角度が同程度となっており、側方崖を示唆する特徴である、地滑り土塊とされる箇所に向かう明瞭な急傾斜は認められない（第25図P2）。また、その沢の上流部においても側方崖を示唆する遷急線及び遷緩線は認められない（第25図P3）。防災科研調査において地滑り土塊とされる箇所には、地滑り土塊を示唆する凹凸に富む緩斜面は認められない（第25図P4）。

防災科研調査において地滑り土塊南側端部とされる箇所及び北側端部とされる箇所においては、堅硬な岩盤が認められる（第25図P5及びP6）。

防災科研調査において地滑り土塊とされる箇所の周囲に湧水は認められない。

なお、地滑り土塊とされる箇所の一部は防火帯となっており、モルタル吹付となっている。現地調査の結果、防火帯に地滑りを示唆する変状（モルタルのずれを伴うクラック）は認められない。



P1 防災科研調査において滑落崖の冠頂とされる斜面の状況  
滑落崖を示唆する遷急線は認められない。

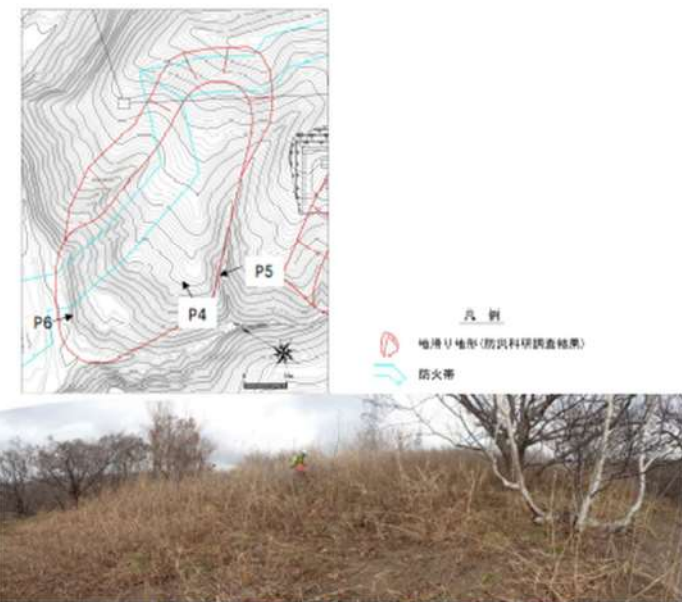


P2 防災科研調査において側方崖と地滑り土塊の境界とされる箇所の状況  
沢を挟んだ両岸において、斜面の角度が同程度となっており、側方崖を示唆する特徴である。地滑り土塊とされる箇所に向かう明瞭な急傾斜は認められない。



P3 防災科研調査において側方崖とされる斜面の状況  
側方崖を示唆する遷急線及び遷緩線は認められない。

第 25 図 地滑り地形③周辺の調査位置図及び状況写真



P5 防災科研調査において地滑り土塊南側端部とされる箇所付近の露岩状況  
堅硬な岩盤（凝灰角礫岩）が認められる。



P6 防災科研調査において地滑り土塊北側端部とされる箇所付近の露岩状況  
堅硬な岩盤（凝灰角礫岩）が認められる。

第25図 (前頁からの続き) 地滑り地形③周辺の調査位置図及び状況写真

### 3.3まとめ

地滑り地形③について地形判読及び現地調査の結果、地滑りを示唆する地形的特徴、地質的特徴及び水文的特徴が認められないことから、地滑り地形ではないと判断される。

なお、地滑り地形③は周囲を茶津川及び沢に囲まれていることから、これらの侵食によって形成された地形と考えられる。

### 4. 抽出した地滑り地形以外の斜面について

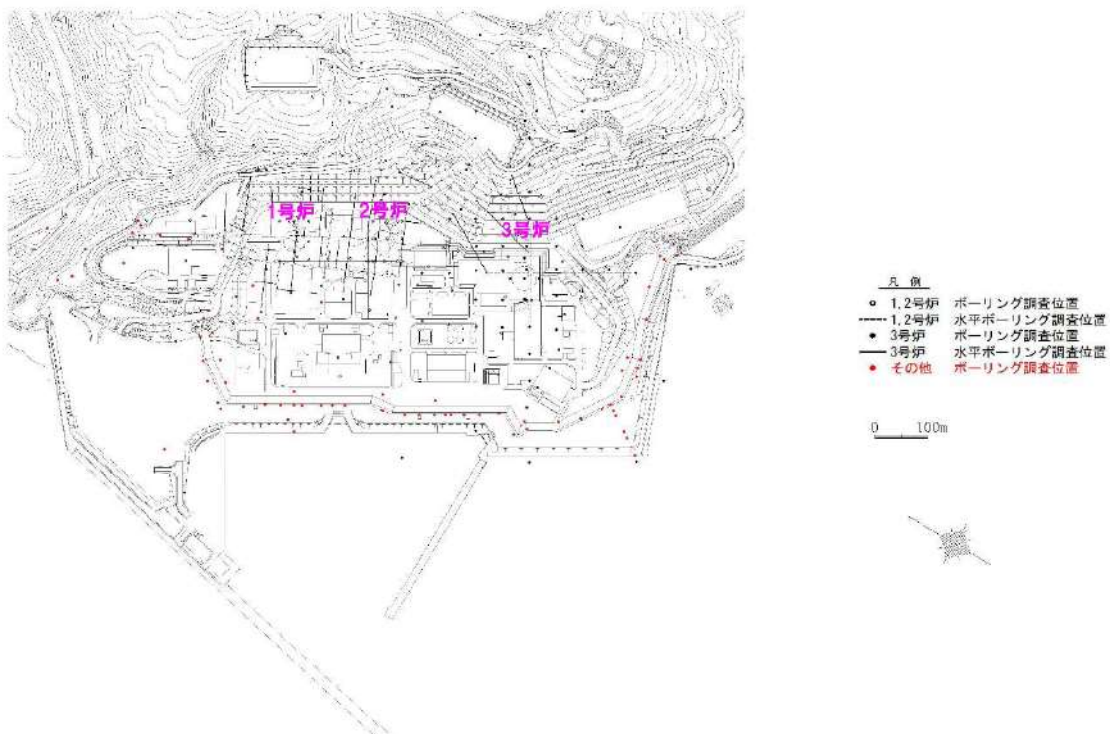
国土地理院により撮影された複数の公開空中写真により、敷地内を網羅的に地形判読を行った結果、抽出した地滑り地形以外の斜面について地滑りを示唆する地形的特徴は認められない。

文献調査の結果、地滑り地形は示されていない。

地形、地質、湧水等の水文的な観点に基づく地表地質踏査の結果、地滑りの特徴が認められない。

第26図に敷地内地質調査内容を示す。ボーリング調査、試掘坑調査及び開削調査の結果、F-1断層～F-11断層の11条の断層を認定しているが、これらの断層以外で、滑り面を示唆するような粘土を挟在する連続性のある割れ目は認められない。

以上のことから、地滑り調査において判定した地滑り地形以外の斜面について、地滑りは想定されない。



第26図 敷地内地質調査内容(2023年4月時点)

## 参考文献

- (1) 鈴木隆介(2000)：建設技術者のための地形図読図入門，第3巻段丘・丘陵・山地，古今書院，p. 751-776, p. 811-848, p. 867-909
- (2) 渡正亮・小橋澄治(1987)：地すべり・斜面崩壊の予知と対策，山海堂，p. 27-34

## 地滑り調査について

地滑り調査に用いた資料及び独立行政法人防災科学技術研究所(以下、「防災科研」)調査に用いた資料を第3表に示す。地滑り調査では、泊発電所建設前の空中写真を基にした等高線図を含む多様な参考資料に加え、防災科研調査に用いた資料を参考に地形判読を行い、また現地調査等を合わせて実施している。

第3表 地滑り調査と防災科研調査の内容の比較

		地滑り調査 (平成 21 年～令和 5 年)	防災科研調査 (平成 22 年)
実施項目		<ul style="list-style-type: none"> <li>・地滑り地形判読(机上)</li> <li>・現地調査(令和 4 年度)</li> </ul>	<ul style="list-style-type: none"> <li>・地滑り地形判読(机上)</li> </ul>
実施内容	参考資料	<ul style="list-style-type: none"> <li>・モノクロ空中写真(4 万分の 1, <u>1947 年撮影</u>)</li> <li>・カラー空中写真(1 万分の 1, <u>1976 年撮影</u>)</li> <li>・等高線図(2 千分の 1)<sup>*</sup></li> </ul> <p><u>※1 万分の 1 空中写真より作成</u></p>	<ul style="list-style-type: none"> <li>・モノクロ空中写真(4 万分の 1, 1965 年撮影)</li> <li>・地形図(5 万分の 1)</li> </ul>
		<ul style="list-style-type: none"> <li>・実体鏡による空中写真の判読</li> </ul>	<ul style="list-style-type: none"> <li>・実体鏡による空中写真の判読</li> </ul>
抽出対象		<ul style="list-style-type: none"> <li>・<u>全ての地滑り地形を抽出</u></li> </ul>	<ul style="list-style-type: none"> <li>・幅 150m 以上の比較的大規模な地滑り地形のみを抽出</li> </ul>

下線は相違箇所

以下に、地滑り調査と防災科研調査で用いた資料を示す。

## (1) 空中写真

地滑り調査では、1947 年に米軍により撮影された撮影縮尺 4 万分の 1 のモノクロ空中写真及び 1976 年に国土地理院により撮影された撮影縮尺 1 万分の 1 のカラー空中写真を用いた。防災科研調査では、1965 年に国土地理院により撮影された撮影縮尺 4 万分の 1 のモノクロ空中写真を用いている。それぞれが使用した空中写真の一部を第 27 図、第 28 図及び

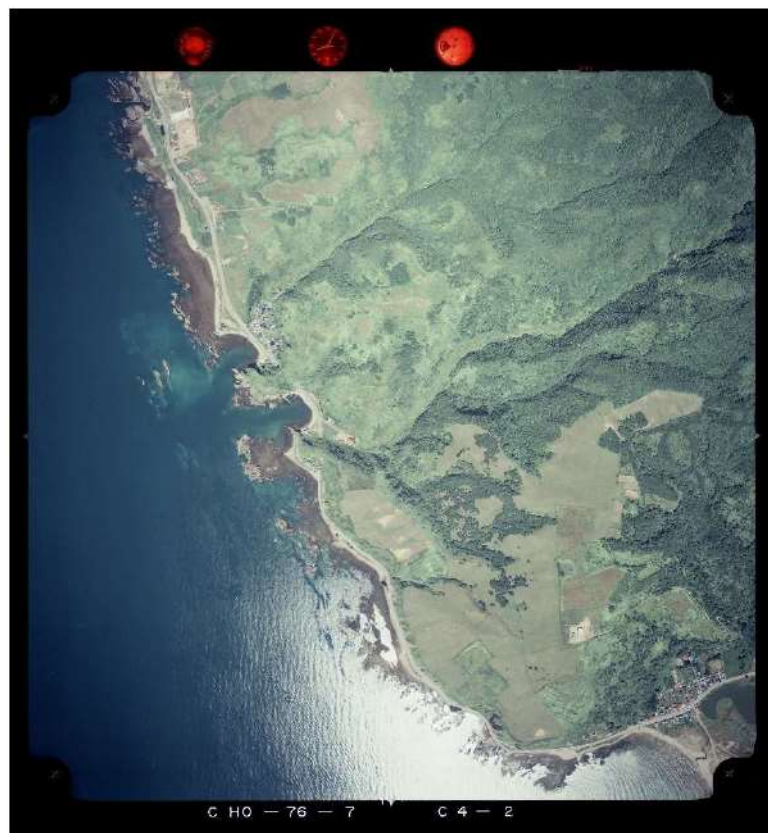
第 29 図に示す。

### (2) 等高線図

地滑り調査では、1976 年に国土地理院により撮影された撮影縮尺 1 万分の 1 の空中写真を用いて作成した 2 千分の 1 の等高線図を使用した。防災科研調査では、5 万分の 1 地形図に判読結果を示している。それぞれが使用した等高線図を第 30 図に示す。

### (3) 現地調査

地滑り地形判読によって地滑りを示唆する地形的特徴が確認された地滑り地形を対象として、地形、地質、湧水等の水文的な観点に基づく現地調査を実施し、地滑りの特徴が認められる場合は、地滑りが発生する場合を想定し、地滑りの範囲、規模等を評価した。



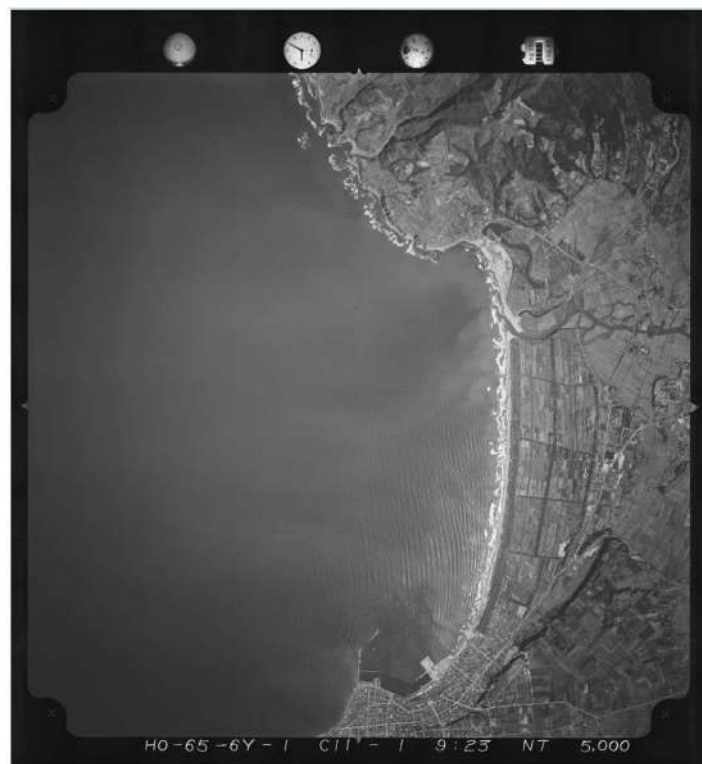
第 27 図 カラー空中写真(撮影縮尺：1 万分の 1, 1976 年撮影)

整理番号 : CH0767, コース番号 : C4, 写真番号 : 2, 国土地理院



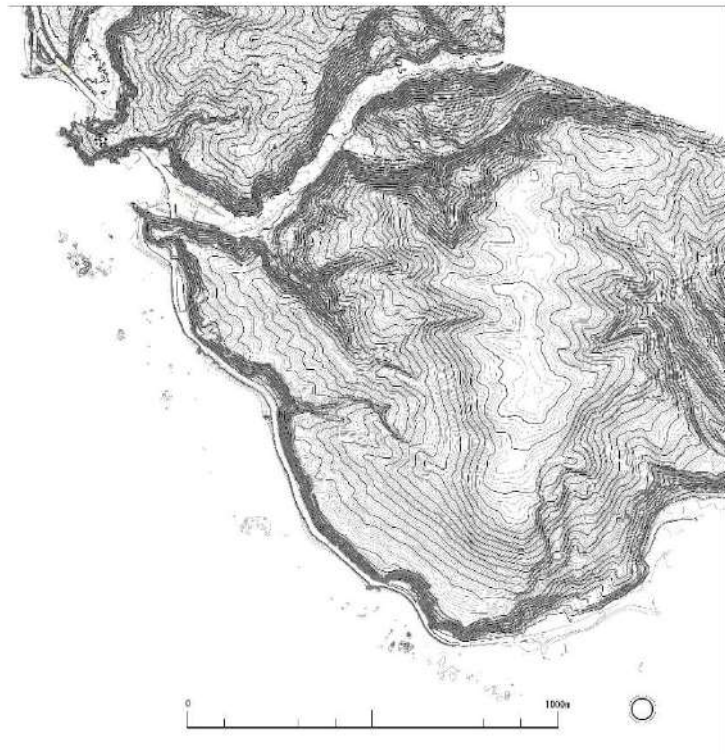
第28図 モノクロ空中写真(撮影縮尺：4万分の1，1947年撮影)

整理番号：USA，コース番号：M469，写真番号：100，米軍



第29図 防災科研が使用したモノクロ空中写真(撮影縮尺：4万分の1，1965年撮影)

整理番号：H0656，コース番号：6Y，写真番号：1，国土地理院



第30図 等高線図：2千分の1

## 有毒ガス影響評価について

## 1. 評価概要

有毒ガスの毒性が人に与える影響に着目し、中央制御室等(3号炉中央制御室、緊急時対策所)の居住性評価を実施する。有毒ガスの発生源として、泊発電所敷地外の石油コンビナート等の施設を想定する。

## 2. 影響評価

## (1) 評価対象

敷地外からの有毒ガスの発生源は、石油化学コンビナート等の固定施設の流出事故、及びタンクローリや海上を航海するケミカルタンカー等の可動施設の輸送事故が想定される。第1表に、評価対象に選定した事故の種類を示す。

第1表 評価対象事故（原子力発電所敷地外）

原子力発電所敷地外	固定施設	石油化学コンビナート等の固定施設の流出事故
	可動施設	陸上トラックの輸送事故
		鉄道車両の輸送事故
		海上船舶の輸送事故

## (2) 敷地外固定施設の流出事故の影響

石油化学コンビナート等の固定施設については、石油コンビナート等災害防止法に基づき、災害の発生のおそれ及び災害による影響について科学的知見に基づく調査、予測、評価及び対策の実施が求められており、当該施設の敷地外へは影響がないことが確認されている。

また、泊発電所の周辺の石油化学コンビナート等の大規模な有毒物質を貯蔵する固定施設は、最も近いものでも70km以上離れているため影響を及ぼすことはない。(第1図)



第1図 コンビナート施設の位置

### (3) 敷地外可動施設からの流出の影響

全国的に生産量及び輸送量が特に多く、専用の大型輸送容器が使用されている毒性物質の中で、特に毒性の強い物質として塩素（輸送時の性状は液化塩素）を代表として想定する。塩素専用の大型輸送容器による輸送は、陸上輸送ではタンクローリーや鉄道のタンク貨車、海上輸送では塩素を専用でばら積み輸送するケミカルタンカーにて行われる。

液化塩素ガスを積載するタンクローリーは、高压ガス保安法や毒物及び劇物取締法によって容器の設計、製造、取扱いの規制を受ける。事故等の衝撃により弁等の突出部が破損しガスが漏えいすることを防ぐための保護枠の設置やガス容器が二重構造であることから信頼性が高く、交通事故等が発生した場合であっても流出に至りにくい。また、万一流出に至った場合の対応に必要な、中和剤（消石灰、苛性ソーダ）や呼吸器、防護

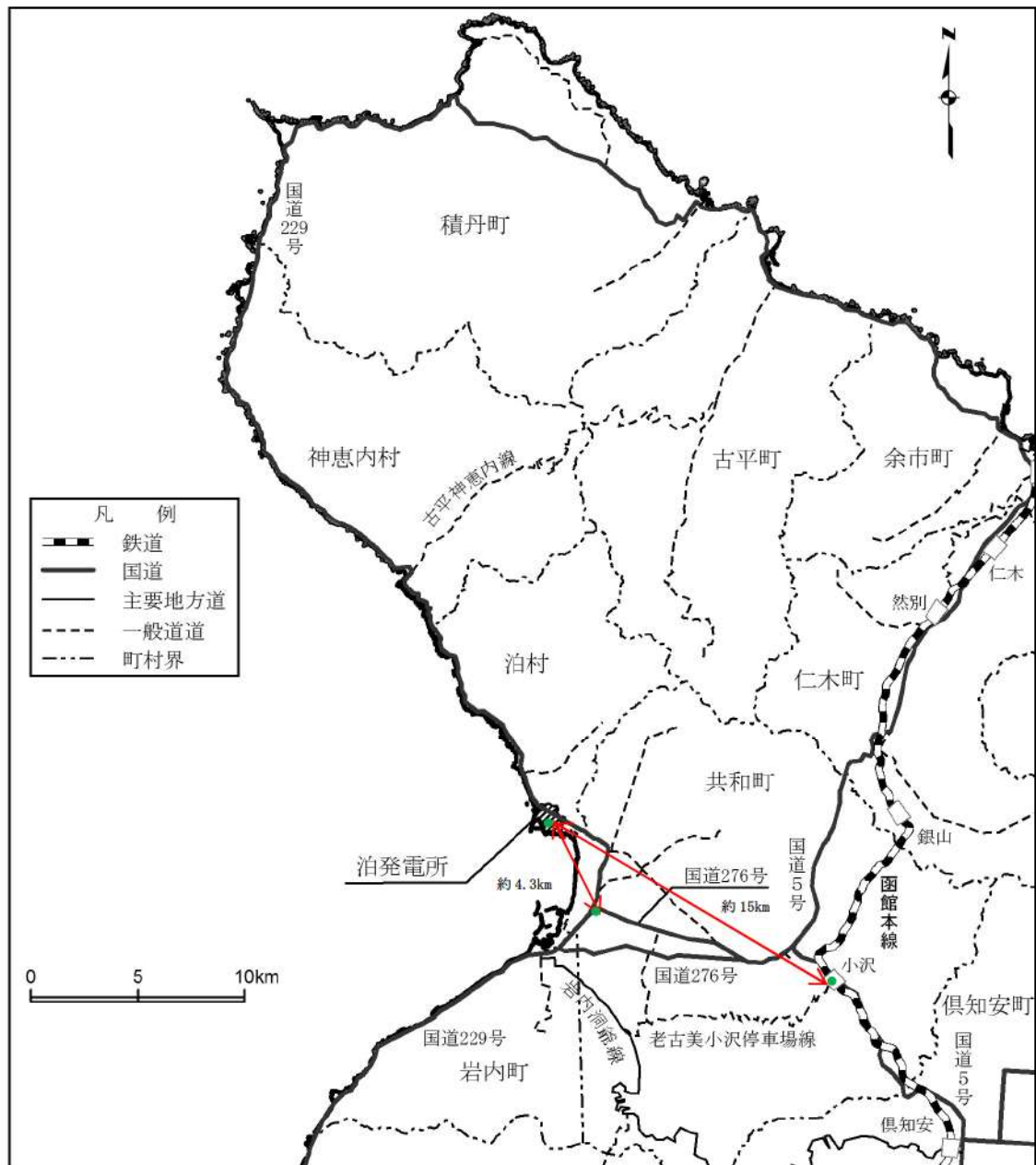
具等を積載している。このため、タンクローリーの輸送事故による中央制御室等への影響はない。なお、主要な道路としては、発電所から南方向約4.3kmのところを東西に通る国道276号線がある（第2図）。

本発電所に近い鉄道路線としては、函館本線（函館～旭川）があり、最寄りの小沢駅までは約15km程度の距離がある（第2図）。このため、有毒ガスを積載した鉄道車両の事故等による有毒ガスの中央制御室等への影響はない。また、タンク貨車についても高圧ガス保安法や毒物及び劇物取締法によりタンクローリーと同様の規制を受けており流出に至りにくい構造である。

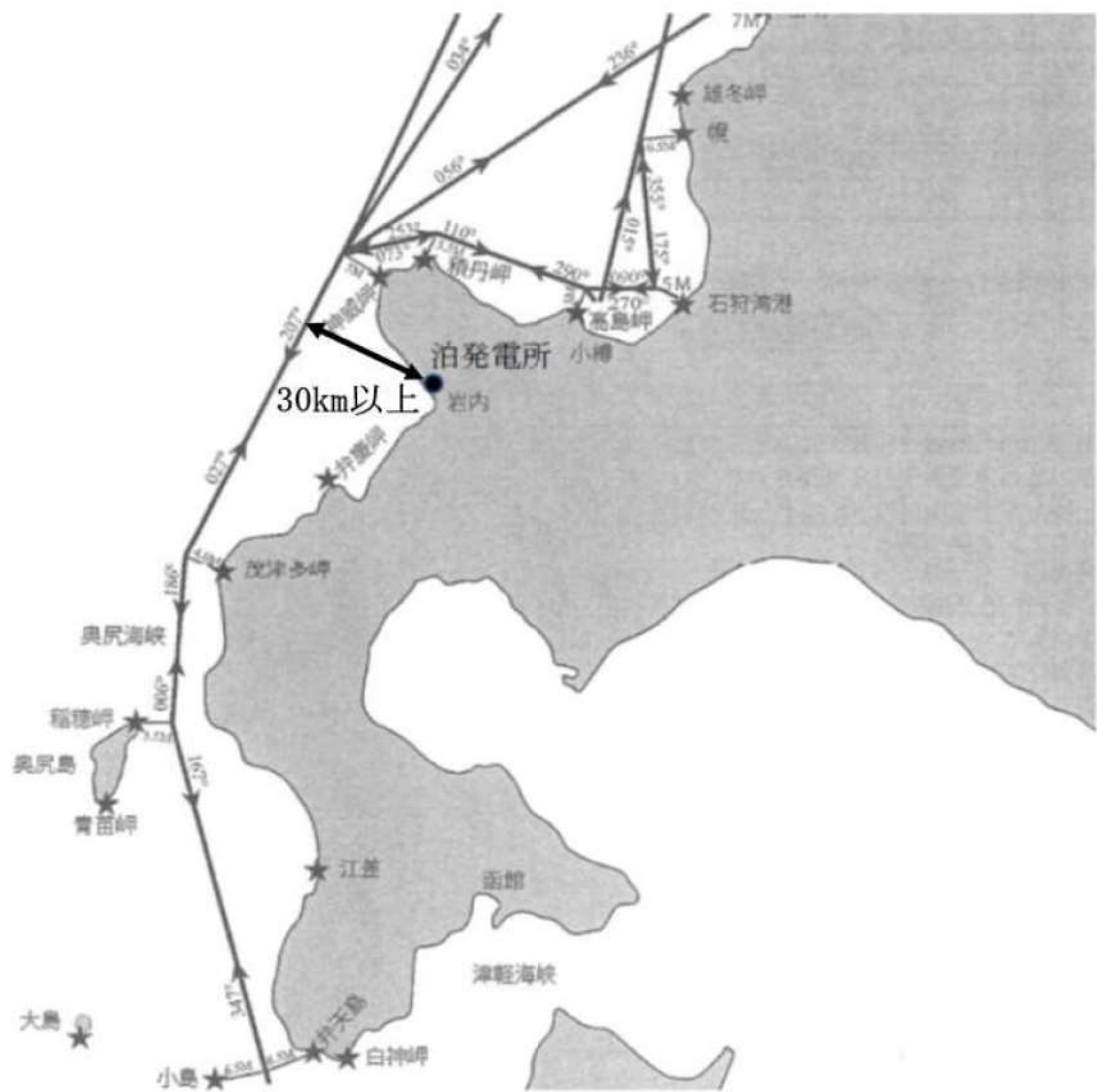
航路に関して調査したところ、最も距離の近い航路は、南方向約5kmに岩内港がある。なお、発電所への大型重量物の運搬は発電所前面に設けた荷揚施設により海送搬入するが、周辺にはフェリー航路はない（第3図）。

また、船舶に関しては漏えい時に自動で作動する緊急遮断弁や二重構造等による特殊な船体構造を有しており、万一船舶がプラント内に進入し、座礁、転覆した場合においても、積荷が漏えいすることは考えにくい。また流出が生じても中和剤（苛性ソーダ）を介してから海上に放出される構造となっている。このため、有毒ガスを積載した船舶の事故等による有毒ガスの中央制御室等への影響はない。

以上より、敷地外可動施設からの有毒物質が大気に放出され中央制御室等に影響が及ぶことはない。



第2図 泊発電所周辺の幹線道路、鉄道路線



第3図 泊發電所周辺の主要航路  
(北海道沿岸水路誌 2019年3月刊行に加筆)

## 比較的短期での気候変動に対する考慮について

### 1. 気候変動に対する考慮

設計基準設定の際には、①規格・基準類からの要求事項、②気象観測記録を参照し、発電所立地地域の地域性を考慮した値を採用している。

基本的に、プラント寿命は大規模な気候変動の周期よりも短いと考えられるが、将来的な気候変動により各自然現象が厳しい傾向となることは否定できない。そのため、過去の気象観測記録を用いて将来的なハザードを予測するということについては十分な吟味が必要であり、特に、プラント寿命の間に変化が予想される事象については、最新のデータ・知見をもって気候変動の影響を注視し、必要に応じて設計基準の見直し等の配慮を行う必要がある。

現時点でも予想される大規模な気候変動としては地球温暖化が挙げられ、地球温暖化が進行した際には、気温の上昇、台風の強度が強まる等の影響が想定される。これらの影響は、地球規模で顕在化していくものと考えられるが、気候変動が原子力発電所の安全性に与える影響について議論する場合は、発電所の周辺地域における気候変動を考慮し、立地地域における気象観測記録に基づく議論を行うことが重要である。

上記の観点から、最寄りの気象官署である寿都特別地域気象観測所（寿都町）及び小樽特別地域気象観測所（小樽市）における過去の気象観測記録を確認し、発電所周辺における比較的短期での気候変動が発電所の安全性に与える影響及び設計基準の見直しの必要性について以下のとおり考察した。

- ・降水量は、寿都特別地域気象観測所及び小樽特別地域気象観測所の観測記録には増加傾向が見られるものの、設計基準と比較して余裕がある。
- ・積雪深は、寿都特別地域気象観測所の観測記録には減少傾向があるが、有意な変化は見られない。小樽特別地域気象観測所の観測記録には増加傾向が見られるものの、設計基準と比較して余裕がある。
- ・風速は、最大風速では、寿都特別地域気象観測所及び小樽特別地域気象観測所の観測記録には減少傾向があり、設計基準と比較して余裕がある。

最大瞬間風速では、寿都特別地域気象観測所の観測記録には減少傾向があるものの、小樽特別地域気象観測所の観測記録には有意な変化は見られず、設計竜巻の最大風速 100m/s に十分包絡される。

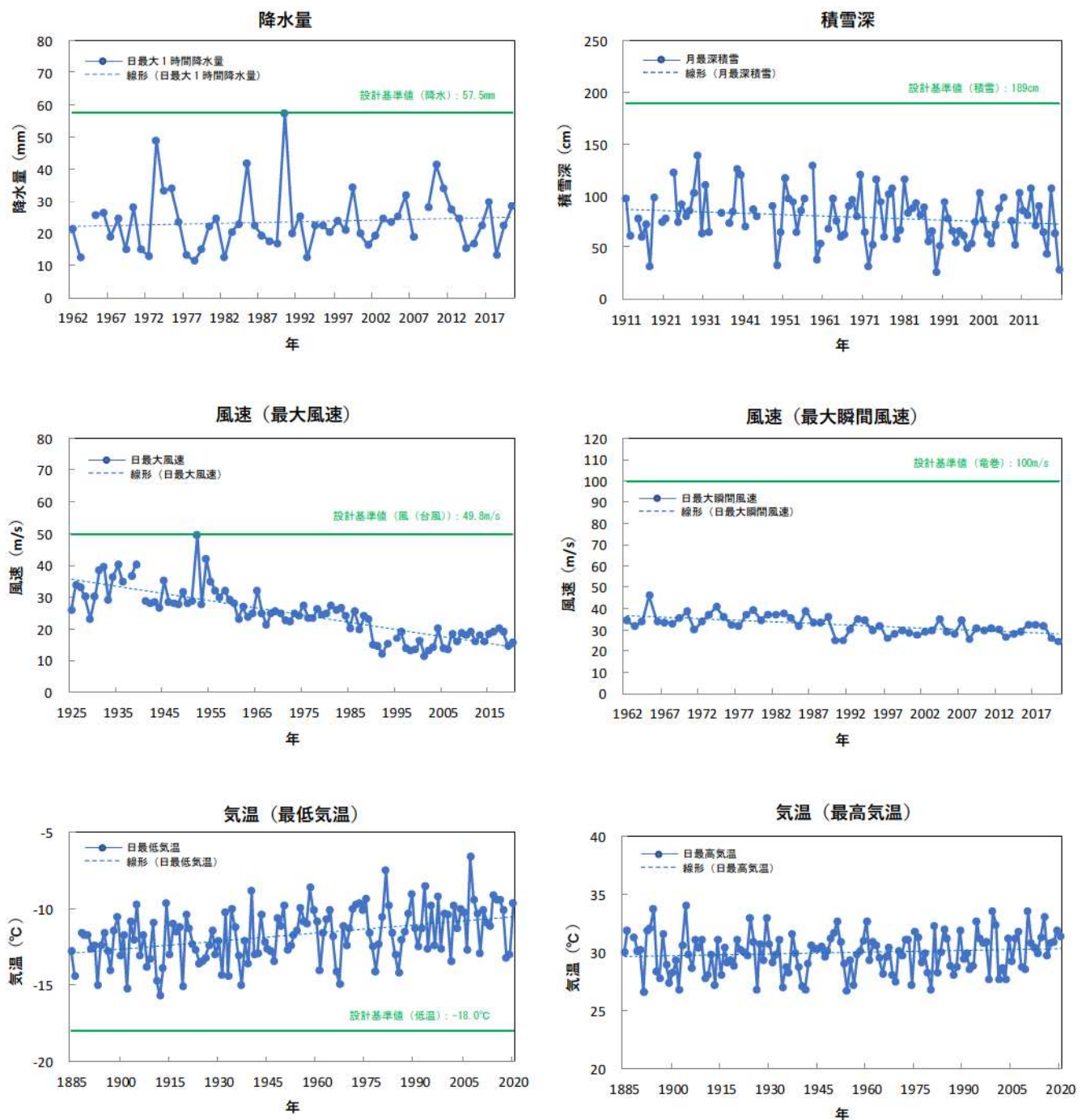
- ・気温は、最低気温では上昇傾向が見られるものの、設計基準に対して緩やかになる方向である。

最高気温では、若干の上昇傾向が見られるものの、設備の機能に悪影響を与える程度で

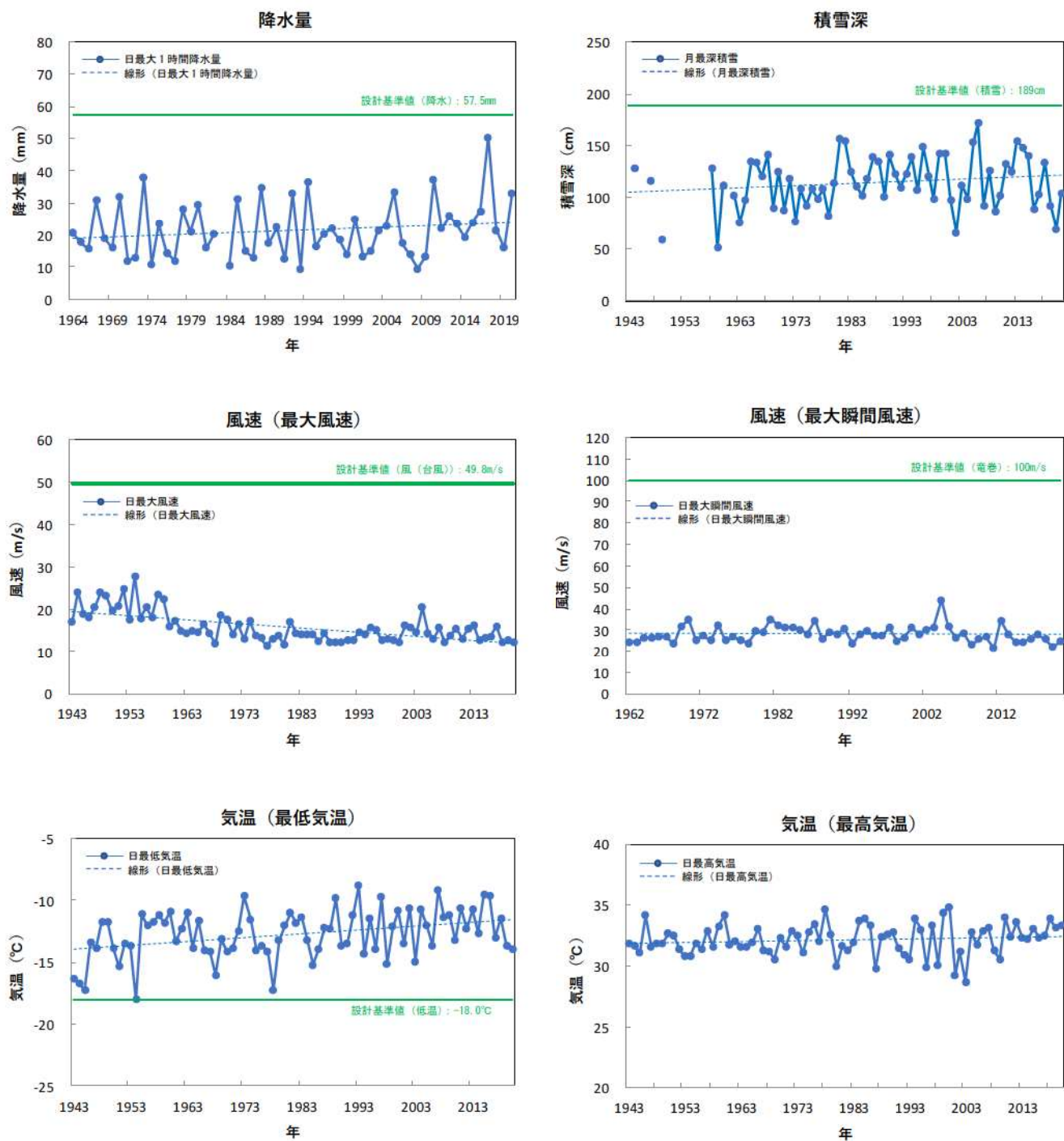
はなく、安全施設への影響はない。

これらのことから、過去の泊発電所周辺の観測記録からは、降水量、積雪深（小樽）及び最高気温・最低気温に増加・上昇の傾向が確認されたものの、安全施設への影響はなく、立地地域における将来的な気候変動とプラント寿命を考慮しても設計基準の見直し等の対応は不要と考える。（第1図及び第2図参照）

ただし、気候変動を完全に予測することは難しいため、今後も最新のデータ・知見をもって気候変動の影響に注視し、必要に応じて設計基準の見直し等を実施していくものとする。



第1図 気候トレンド（寿都特別地域気象観測所）  
資料不足値を除く  
(気象庁ホームページより作成)



第2図 気候トレンド（小樽特別地域気象観測所）  
資料不足値を除く  
(気象庁ホームページより作成)

## 補足資料 18

### 外部事象に対する津波防護施設、浸水防止設備及び津波監視設備の 防護方針について

#### 1. 概要

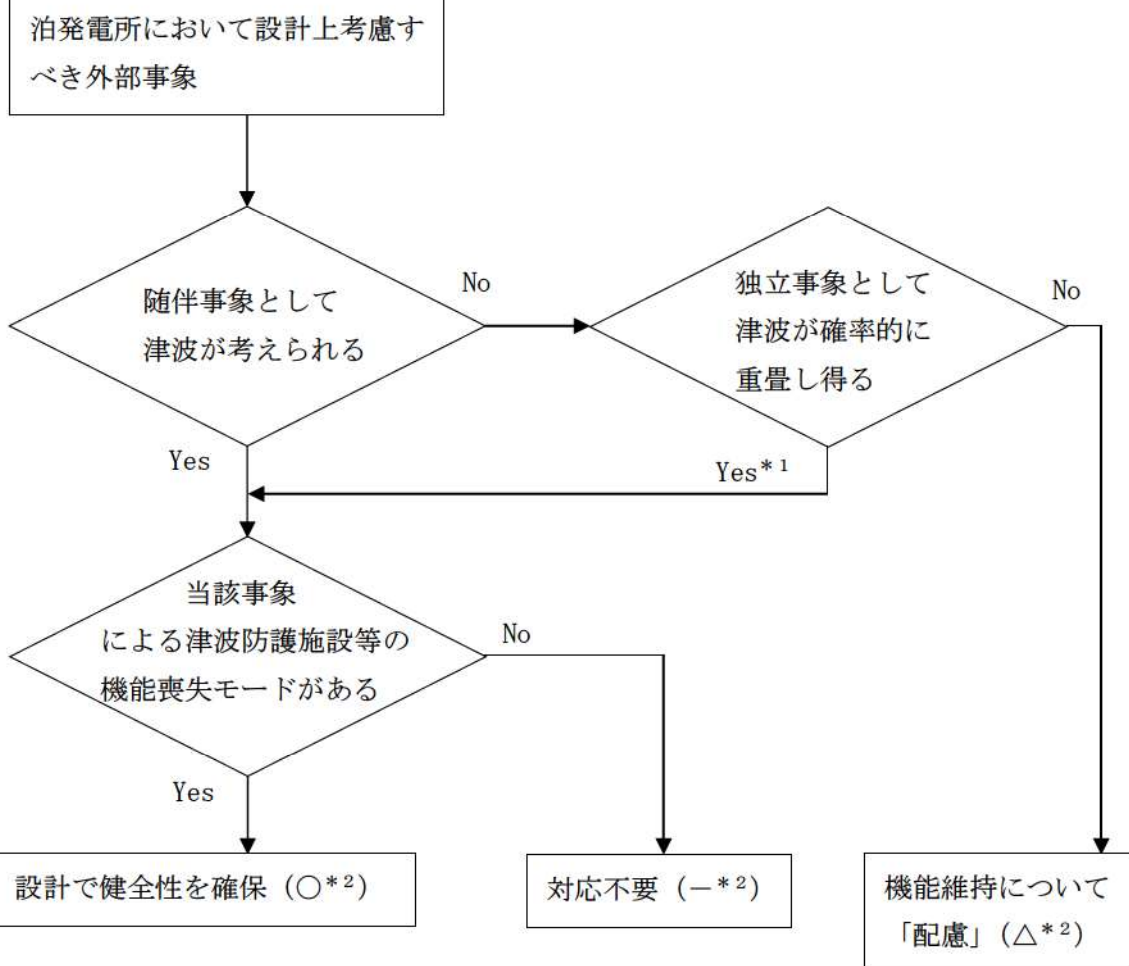
津波防護施設、浸水防止設備及び津波監視設備（以下「津波防護施設等」という。）の外部事象に対する防護方針を以下に示す。

#### 2. 防護に関する考え方

以下の考え方に基づき、泊発電所において設計上考慮すべき外部事象に対する津波防護施設等の機能維持のための対応要否について整理した。

外部事象に対する津波防護施設等の機能維持対応要否判断フローを第1図に示す。

- (1) 設計上考慮すべき事象が、津波若しくは津波の随伴、重畳が否定できない事象に該当するかを確認する。定量的な重畳確率が求められない事象については、保守的にその影響を考慮する。
- (2) 津波の随伴、重畳が否定できない場合は、当該事象による津波防護施設の機能喪失モードの有無を確認する。機能喪失モードが認められる場合は、設計により健全性を確保する。
- (3) 津波の随伴、重畳が有意でないと評価される事象についても、泊発電所の津波防護施設については、基準津波の高さや防護範囲の広さ等その重要性に鑑み、自主的に機能維持のための配慮を行う。



\* 1 : 定量的に評価できないものを含む

\* 2 : 「○」, 「△」, 「-」は, 後掲の第1表における整理に対応している。

第1図 自然事象に対する津波防護施設等の機能維持対応要否判断フロー

### 3. 検討結果

上記フローに基づく各事象に対する防護方針の検討結果を以下に示す。  
(詳細は第1表のとおり)

#### (1) 津波の随伴、重畠が否定できない事象<sup>※1</sup>に対する防護方針

これらの外部事象に対しては、津波との随伴若しくは重畠の可能性を否定できないため、荷重の重ね合わせのタイミングも考慮した上で設計への反映の要否を検討し、津波防護施設等への影響が考えられる事象に対しては、津波防護施設等の機能を維持する設計とする。

※1：地震、風（台風）、凍結、降水、積雪、落雷、地滑り、生物学的事象、森林火災

#### (2) 津波の随伴、重畠が有意ではない事象（竜巻、火山の影響）に対する防護方針「竜巻」、「火山の影響」の2つの外部事象に津波は随伴せず、また、基準津波との重畠の確率も有意ではないため、津波防護施設等を防護対象施設とはしないものの、津波防護施設等の機能が要求される時にはその機能を期待できるように以下の対応を自主的に実施する。

##### a. 「竜巻」

設計竜巻と基準津波が重畠する年超過確率は約●（／年）であり、竜巻と津波の重畠は有意ではないと評価されるが、竜巻が襲来した場合には必ず作用する風荷重に対しては、津波防護施設等の健全性を維持する設計とする。また、竜巻が襲来した場合でも、必ずしも津波防護施設に作用するとは限らない竜巻飛来物の衝撃荷重に対しては、大規模な損傷に至り難い構造とする。

##### b. 「火山の影響」

設計で想定する降下火碎物の噴火と基準津波が重畠する年超過確率は約●（／年）<sup>※2</sup>であり、火山の影響と基準津波の重畠は有意ではないと評価されるが、降下火碎物の堆積荷重について長期荷重に対する構造健全性を確保するとともに、降灰後に適宜除去が可能な設計とする。

※2：約●万年前の●を考慮

追而【地震津波側審査の反映】  
(上記の●については、地震津波側審査結果を受けて反映のため)

■ : 津波の随伴、重畳が否定できないため、設計で健全性を確保する事象 (○)  
■ : 津波の随伴、重畳は有意ではないが、機能維持については設計上配慮する事象 (△)  
■ : 対応が不要な事象 (-)

第1表 外部事象に対する津波防護施設等の対応方針整理表

設計上考慮すべき外部事象	① 随伴事象として津波を考慮要	② 独立事象として津波が重畳し得る	津波との重畳を考慮要 (①か②が○)	津波防護施設の機能喪失による安全施設等の機能喪失の可能性	設計への反映要否	機能維持のための対応方針
地震	○	-	○	地震荷重により損傷した場合、安全施設等への津波の到達、浸水による機能喪失が想定される。	○	耐震Sクラスとして基準地震動Ssに対し健全性を維持し、津波に対する防護機能を維持する。また、津波と余震の組み合わせも考慮する。
風(台風)	-	○	○	風荷重により損傷した場合、安全施設等への津波の到達、浸水による機能喪失が想定される。	○	・風荷重、津波荷重を考慮した設計とする。 ・津波監視カメラは、風荷重を考慮した設計とする。
竜巻	-	-	-	以下のとおり、重畳の頻度は無視し得る。 ・設計竜巻の確率：約 $2.5 \times 10^{-7}$ ・基準津波の年超過率： $\bullet$ /年 <sup>*3</sup> ⇒重畳確率： $\bullet$ /年 年超過率が $1 \times 10^{-7}$ /年未満であり、有意ではない。	△	防潮堤・3号炉取水ピットスクリーン室防水壁の設計においては、自主的に以下の配慮を行い、信頼性を高める。 ・風圧力に対しては、健全性を維持する設計とする。 ・飛来物については、大規模な損傷に至り難い構造とする。 ・津波監視カメラは、風荷重を考慮した設計とする。
凍結	-	○	○	凍害により止水目地が損傷した場合、安全施設等への津波の到達、浸水による機能喪失が想定される。	○	止水目地は最低気温を考慮した設計とする。
降水	-	○	○	降雨による海平面の上昇は無視し得る。	-	-

□ : 津波の随伴、重量が否定できないため、設計で健全性を確保する事象 (○)  
■ : 津波の随伴、重量は有意ではないが、機能維持については設計上配慮する事象 (△)  
■ : 対応が不要な事象 (-)

第1表 外部事象に対する津波防護施設等の対応方針整理表 (2/2)

設計上考慮すべき外部事象	① 随伴事象として津波を考慮する	② 独立事象として津波が重畳し得る	津波との重量を考慮要 (①か②が○)	津波防護施設の機能喪失による 安全施設等の機能喪失の可能性 <u>あり</u>	設計への反映要否 <u>あり</u>	機能維持のための 対応方針
積雪	-	○	○	積雪荷重により損傷した場合、安全施設等への津波の到達、浸水による機能喪失が想定される。	○	積雪荷重と津波荷重を考慮した設計とする。
落雷	-	○	○	落雷による津波監視設備の機能喪失が想定される	○	津波監視設備については、既設避雷設備の遮へい範囲内への設置を行う。
火山の影響	-	-	-	以下のとおり、重量の頻度は無視し得る。 ・想定する火山の確率： <span style="color: black;">●</span> /年* <sup>2</sup> ・基準津波の年超過率： <span style="color: black;">●</span> /年* <sup>3</sup> ⇒重量確率： <span style="color: black;">●</span> /年* <sup>*</sup> 年超過率が $1 \times 10^{-7}$ /年未満であり有意ではない。	なし <u>△</u>	設計にて長期荷重に対する構造健全性を確保するとともに、降灰後に降下火碎物を適時除去可能な設計とする。
地滑り	-	○	○	地滑りにより津波防護施設が機能喪失に至ることはない。	なし - -	-
生物的事象	-	○	○	生物による影響(閉塞、侵入)による機能喪失モードを有しない。	なし - -	-
森林火災	-	○	○	防火帯により森林との離隔距離が確保されため、熱影響を受けることはない。	なし - -	-

\* 2 : 敷地で確認された降下火碎物の層厚は20cmと評価しており、この降下火碎物噴出年代は約●万年前であることを考慮

\* 3 : 設置更許可申請書添付書類六「●.● 超過確率の参照」を考慮

追而【地震津波側査の反映】  
(上記●については、地震津波側査結果を受けて反映のため)

## 自然現象等に対する監視カメラの扱いについて

## 1. 概要

中央制御室には、発電用原子炉施設の外の状況を把握するために、3号炉原子炉建屋屋上他に設置した監視カメラの映像により、津波等の自然現象を昼夜にわたり監視できる設備を設置することとしている。本設備について、自然現象等の影響を考慮した防護方針について以下にまとめる。

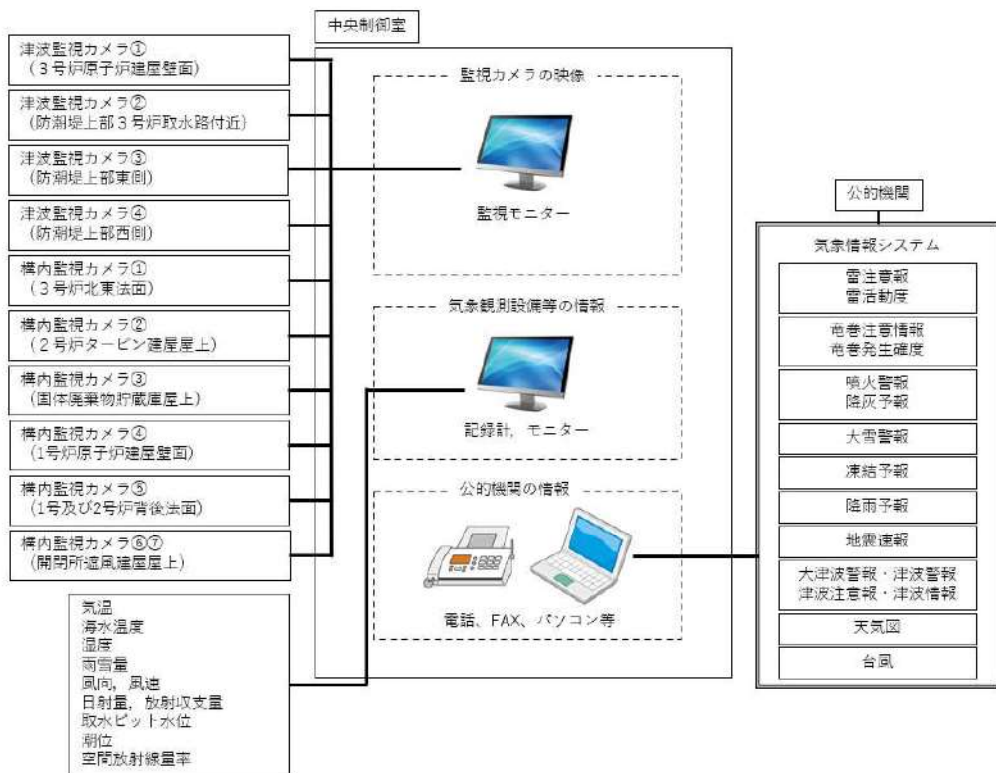
## 2. 自然現象等の影響について

## (1) 設計方針

監視カメラは外部事象防護対象施設ではなく、想定する自然現象等に対して損傷した場合には、各事象に対し機能維持、又は損傷を考慮して、代替設備により必要な機能を確保すること、必要に応じプラントを停止し、安全上支障のない期間に修復する等の対応により安全機能を損なわない設計としている。ただし、第1表に示すように自然現象等による荷重に対して考慮を行うこととしている。

また、監視カメラが損傷したとしても代替設備及び措置（運転員による確認）によって、原子炉施設に影響を及ぼす可能性がある自然現象等を把握することが可能である。

（第1図及び第1表参照）



第1図 中央制御室における外部状況把握のイメージ

第1表 監視カメラにより把握可能な自然現象等

自然現象等	監視カメラにより把握できる 発電用原子炉施設の外の状況	監視カメラ以外の 設備等による把握手段
地震	地震による発電所構内及び発電用原子炉施設の損壊状況	公的機関（地震速報）
津波	津波の襲来状況や発電所構内の浸水状況	取水ピット水位計
		潮位計
		公的機関（津波警報・注意報）
風（台風）	風（台風）・竜巻（飛来物含む）による発電所構内及び発電用原子炉施設の損壊状況	気象観測設備（風向、風速）
竜巻		公的機関（台風、竜巻注意情報）
降水	発電所構内の浸水状況	気象観測設備（雨雪量）
		公的機関（降雨予報）
積雪	発電所構内及び発電用原子炉施設の積雪状況	気象観測設備（雨雪量）
		公的機関（大雪警報）
落雷	発電所構内及び発電用原子炉施設周辺の落雷状況	公的機関（雷注意報）
火山の影響	発電所構内及び発電用原子炉施設の降下火砕物堆積状況	公的機関（噴火警報、降灰予報）
生物学的事象	発電所前方の海面における海生生物（クラゲ等）の襲来状況	取水ピット水位計※1
		潮位計※2
森林火災	火災状況、ばい煙の方向確認	気象観測設備（風向、風速）
飛来物 (航空機落下)	飛来物による発電所構内及び発電用原子炉施設の損壊状況	目視確認※3
近隣工場等の火災	火災状況、ばい煙の方向確認	気象観測設備（風向、風速）
船舶の衝突	船舶の衝突による発電用原子炉施設の損壊状況	目視確認※3

※1 取水口が閉塞した場合、取水ピットの水位が低下するため把握可能

※2 取水口が閉塞した場合、潮位と取水ピット水位に水位差が生じるため把握可能

※3 建屋外で状況確認

以上

## 設計竜巻荷重と積雪荷重の考慮について

設置許可基準規則第 6 条のうち「外部事象の考慮」において、竜巻と積雪は荷重により安全施設に大きな影響を及ぼすおそれがあると想定される自然現象として抽出しており、組合せの要否の検討を実施している。

また、積雪事象は気象情報によって予測可能であることも踏まえて、積雪が確認された場合には除雪等に必要な資機材を確保するとともに手順等を整備することによって、雪を長期間堆積状態にしない方針としている。

一方、「原子力発電所の竜巻影響評価ガイド」では設計竜巻荷重と組み合わせる荷重として、竜巻以外の自然現象による荷重を挙げており、竜巻との同時発生が想定され得る雪等の発生頻度を参照し、設計対象施設に常時作用する荷重、運転時荷重等と組み合わせることの適切性や設定する荷重の大きさ等を判断するとしている。

これらの方針を踏まえて、設計竜巻荷重と積雪荷重の組合せの考え方について以下のとおり整理する。

### 1. 設計竜巻荷重と設計積雪荷重の組合せの考え方

竜巻及び積雪による堆積荷重は、同時に発生する場合を考慮し、設計上考慮すべき荷重評価における自然現象の組合せとして、竜巻による荷重及び積雪による荷重の組合せを設定している。荷重の組合せは、主たる作用（主事象）の最大値と、従たる作用（副事象）の任意時点の値（平均値）の和として作用の組合せを考慮する Turkstra の法則<sup>\*1</sup>の考え方に基づき設定している。この考え方は、日本建築学会「建築物荷重指針・同解説」や建築基準法、土木学会「性能設計における土木構造物に対する作用の指針」、国土交通省「土木・建築にかかる設計の基本」、EN1990（ヨーロコード）、ASCE 7-02（米国土木学会）、ANSI（米国国家規格協会）、ISO 等でも採用されている。

竜巻は発生頻度が低い偶発荷重であるが、発生すると荷重が大きく、安全機能への影響が大きいと考えられることから、設計上の主荷重として扱う。一方、積雪は発生頻度が主荷重と比べて相対的に高いが、荷重は主荷重に比べて小さく、安全機能への影響も主荷重に比べて小さいため、従荷重として扱う。竜巻と積雪の発生頻度、影響の程度を第 1 表に示す。また、主荷重と従荷重の組合せを第 2 表に示す。（第 1 表、第 2 表は「別添資料 1 外部事象の考慮について」より抜粋）

第 1 表 竜巻および積雪荷重の性質

荷重の種類		荷重の大きさ	最大荷重の 継続時間	発生頻度 (/年)
主荷重	竜巻	大	短（数十秒）	$2.5 \times 10^{-7}$
従荷重	積雪	中	長 <sup>*1</sup>	$1.0 \times 10^{-2}$ <sup>*2</sup>

※1 積雪は冬季の限定した期間のみ発生する。除雪を行うことで、継続期間は短縮することが可能

※2 100 年再現期待値

第2表 竜巻（主荷重）と積雪（従荷重）の組合せ

竜巻（主荷重）		
積雪 (従荷重)	建築基準法	記載なし
	継続時間	短（竜巻）×長（積雪）
	荷重の大きさ	大（竜巻）+中（積雪）

上記のとおり、竜巻の作用時間は極めて短時間であること、積雪の荷重は冬季の限定された期間に発生し、積雪荷重の大きさや継続時間は除雪を行うことで低減できることから、発生頻度が極めて小さい設計竜巻の風荷重と積雪による荷重が同時に発生し、設備に影響を与えることは考えにくいため、組合せを考慮しない。また、雪が堆積した状態における竜巻の影響については、除雪により雪を長期間堆積状態にしない方針であることから、組合せを考慮しない。

## 2. 竜巻との同時発生が想定される雪との組合せの考え方

「原子力発電所の竜巻影響評価ガイド」で設計竜巻荷重に組み合せる荷重として考慮することが要求される竜巻と同時発生が想定される雪は、冬期に竜巻が襲来する場合に考慮すべき事象である。

竜巻通過前後の気象条件において降雪を伴う可能性はあるが、上昇流の竜巻本体周辺では、竜巻通過時に雪は降らない。また、下降流の竜巻通過時は、竜巻通過前に積もった雪の大部分は竜巻の風により吹き飛ばされ、雪による荷重は十分小さく設計竜巻荷重に包絡される。よって、「原子力発電所の竜巻影響評価ガイド」で考慮することが要求される竜巻と同時発生が想定される雪は荷重として影響を及ぼさないことから、組合せを考慮しない。

### [参考文献]

※1：建築物荷重指針・同解説（2015）（2章 荷重の種類と組合せ、付5.5 許容応力度設計に用いる組合せ荷重のための荷重係数）

## 降下火碎物と積雪荷重との組合せについて

火山（降下火碎物）と積雪は相関性が低い事象同士の組合せであるが、重畠した場合には堆積荷重が増加することになるため、組合せを考慮することとしている。以下に火山（降下火碎物）と組み合わせる際の積雪荷重の設定について整理する。

### 1. 関連する基準要求に対する適合確認

設置許可基準規則第6条（外部からの衝撃による損傷の防止）のうち「外部事象の考慮」において、火山の影響（降下火碎物）と積雪を安全施設に影響を及ぼすおそれがある自然現象として抽出しており、荷重の組合せの要否の検討を実施している。具体的な荷重の組合せの考え方は以下のとおり。

#### (1) 荷重の組合せの考え方

降下火碎物及び積雪による堆積荷重は、同時に発生する場合を考慮し、設計上考慮すべき荷重評価における自然現象の組合せとして、降下火碎物による荷重及び積雪による荷重の組合せを設定している。荷重の組合せは、主たる作用（主事象）の最大値と、従たる作用（副事象）の任意時点の値（平均値）の和として作用の組合せを考慮する Turkstra の法則<sup>\*1</sup>の考え方に基づき設定している。この考え方は、日本建築学会「建築物荷重指針・同解説」や建築基準法、土木学会「性能設計における土木構造物に対する作用の指針」、国土交通省「土木・建築にかかる設計の基本」、EN1990（ヨーロコード）、ASCE 7-02（米国土木学会）、ANSI（米国国家規格協会）、ISO 等でも採用されている。

積雪荷重は降下火碎物による荷重に対して、発生頻度が相対的に高く、また、荷重が大きく、安全機能への影響が大きくなると考えられることから主事象として扱い、設計基準で想定している積雪荷重（積雪 189cm）を設定する。降下火碎物は発生頻度が主荷重（積雪）と比べて相対的に低く、また、荷重は主荷重に比べて小さく安全機能への影響も主荷重に比べて小さいと考えられるため、主事象に対して考慮する副事象として扱うこととする。なお、別紙-1 に降下火碎物による荷重を主荷重、積雪荷重を従荷重と想定した場合の確認結果を示す。

### 2. 従荷重として組み合わせる降下火碎物による荷重の設定方法

副事象である降下火碎物による荷重は、積雪荷重のように平均値を求めることが困難であるため、副事象として考慮する場合は、基準降下火碎物堆積量の設定において想定する噴火規模から 1 段階下げた噴火規模を考慮する。噴火規模を 1 段階下げた場合、降下火碎物堆積量は 10 分の 1 になることから基準降下火碎物堆積量の層厚 20cm の 10 分の 1 である層厚 2 cm による荷重を想定する。別紙-2 に副事象として降下火碎物による荷重を設定する際に噴火規模を 1 段階下げた降下火碎物堆積量を想定することの妥当性について示す。

#### [参考文献]

※ 1 : 建築物荷重指針・同解説(2015) (2 章荷重の種類と組合せ、付 5.5 許容応力度設計に用いる組合せ荷重のための荷重係数)

## 別紙一 1 (参考)

### 降下火碎物による荷重を主荷重、積雪荷重を従荷重と想定した場合の確認結果

火山（降下火碎物）と積雪の組合せは補足資料-17に示すように、積雪荷重を主荷重、降下火碎物による荷重を従荷重として設定している。

これに対して、降下火碎物による荷重を主事象（主荷重）、積雪荷重を副事象（従荷重）と想定した場合について確認する。

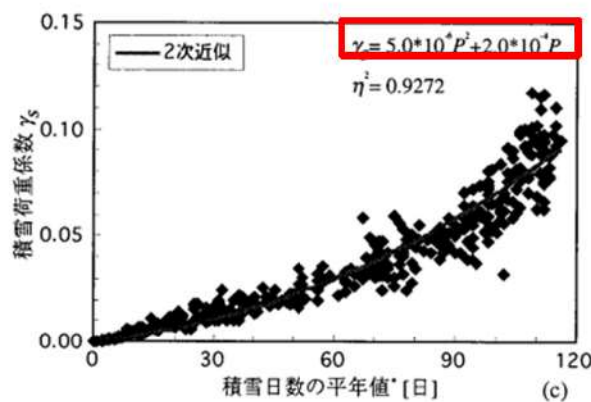
#### 1. 評価条件

主事象である降下火碎物による荷重は設計基準値（20cm）の荷重とする。

主荷重である降下火碎物に対して組み合わせる積雪荷重の平均値については、関連する規格・基準等を踏まえて、以下のとおり検討を行った。

##### (1) 確率過程的に平均値な積雪量を求める

副事象として想定する積雪荷重の考え方として高橋<sup>※1</sup>が Turkstra の法則に従って、荷重の組合せを考える際の積雪荷重の係数を求めている。高橋<sup>※2</sup>の論文によると、年最大積雪深の 100 年再現期間期待値と積雪荷重の荷重係数の関係に対して、積雪日数の平年値を横軸とした場合の関係を示している（第 1 図参照）。これは、一年間のうち、いつ襲来するか明らかでない荷重（例えば地震荷重等）と積雪荷重を組み合わせる場合の荷重係数を示している。泊発電所の近隣である寿都特別地域気象観測所の観測データより、積雪日数の最大値が 149 日（観測期間 1961 年～2022 年において）であることを踏まえると、この場合の荷重係数は近似式より約 0.14 となる。設計基準値の積雪量を考慮した場合には、組み合わせる積雪深さは約 26.5cm (189cm × 0.14) と算出される。



第 1 図 積雪荷重が従となる場合に掛け合わせる荷重係数<sup>※2</sup> (赤枠は追記)

##### (2) 建築基準法の考え方を準用して平均値を求めた場合

建築基準法では、多雪地域において主荷重である地震・暴風と組み合わせる場合の平均的な積雪量として、短期積雪荷重の 0.35 倍の積雪量を考慮することとしており、算出される平均的な積雪量は約 66.2cm (設計基準積雪量 189cm × 0.35) であることを確認した。

### (3) 観測記録により年最大積雪深さの平均値を求めた場合

副事象として想定する積雪荷重について、平均的な積雪荷重の一般的な設定方法として最寄りの気象観測所における年最大積雪深さの平均値を求める方法がある。泊発電所の最寄りの気象観測所である寿都における年最大積雪深さの平均値は気象観測データ（観測期間：1961年～2022年）より75.2cmであることを確認した。

検討の結果、算出される平均的な積雪量は、観測記録により年最大積雪深さの平均値を求めた場合（75.2cm）が最も大きな値となることを確認した。

## 2. 火山影響評価ガイドを踏まえて考慮すべき事項

「原子力発電所の火山影響評価ガイド」（以下、火山影響評価ガイドという）において、降雨、積雪などの自然現象は、火山灰等の堆積物の静的負荷を著しく増大させる可能性があるとしていることから、乾燥状態の降下火砕物の密度（0.7g/cm<sup>3</sup>）に対して、同時期に想定される降雨等による荷重影響として、湿潤状態の降下火砕物の密度（1.5g/cm<sup>3</sup>）を設定し、更に75.2cmの積雪荷重を組み合わせることとしている。

また、降下火砕物による荷重と積雪による荷重の組合せにおいては、除灰の効果は期待しないものとし、積雪については適切に除雪を行い、雪を長期間堆積状態にしない方針とすることで、積雪荷重に対する設計裕度を確保する。

以上の検討より、泊発電所における降下火砕物の荷重に組み合わせる積雪荷重の積雪深さは、発電所立地の最寄りの気象観測所である寿都地域における年最大積雪深さの平均値（75.2cm）を採用する方針とする。

## 3. 評価結果

評価結果は第1表に示すとおりであり、降下火砕物による荷重を主事象（主荷重）、積雪荷重を副事象（従荷重）と想定した場合の評価（ケース2）は、設置許可基準規則第6条（外部からの衝撃による損傷の防止）のうち「外部事象の考慮」の荷重の組合せで設定している評価（ケース1）に対して小さいことを確認した。

第1表 組合せ荷重の評価結果

ケース	主事象	副事象	堆積荷重(N/m <sup>2</sup> )	備考
1	積雪(189cm)	降下火砕物(2cm)	5,970	—
2	降下火砕物(20cm)	積雪(75.2cm)	5,256	—

### [参考文献]

※1：高橋 徹：積雪荷重の推移過程モデルに関する一考察（日本建築学会 構造工学論文集 Vol. 44B(1998年3月)）

## 降下火碎物による荷重を従荷重とした場合における設定方法について

泊発電所3号炉の積雪荷重（主荷重）及び降下火碎物による荷重（従荷重）の組合せの評価においては、主たる作用（主事象）の最大値と、従たる作用（副事象）の任意時点の値（平均値）の和として作用の組合せを考慮する Turkstra の法則の考え方に基づき設定している。

主事象の最大値には既往最大の積雪量による荷重、副事象の任意時点の値には降下火碎物堆積量による荷重とするが、降下火碎物堆積量については積雪のように観測記録が十分ではなく、平均値を求めることが困難であるため、想定する噴火規模から1段階下げた噴火規模を考慮した値としている。

ここでは、従荷重として降下火碎物による荷重を設定する際に噴火規模を1段階下げるについての妥当性について、組合せ事象の年超過確率（1年間でそのような事象が発生する確率）の比較で検討を行った。

具体的には以下の組合せ事象の年超過確率の比較を行った。

- ①設計基準の降下火碎物堆積量（想定される噴火規模）と年平均積雪量の組合せ
- ②設計基準より噴火規模を1段階下げた降下火碎物堆積量と既往最大の積雪量の組合せ

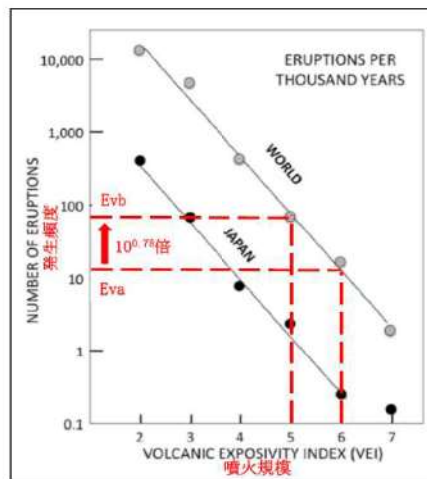
設計基準の噴火規模の年超過確率を Eva、噴火規模を1段階下げた噴火規模の年超過確率を Evb、既往最大の積雪量となる年超過確率を Esa、平均の積雪量となる年超過確率を Esb とすると、①の年超過確率は Eva×Esb、②の年超過確率は Evb×Esa となる。

ここで Eva と Evb は第2図に示す文献<sup>※1</sup>の噴火規模及び発生頻度の関係より以下の関係となる。

$$Evb = 10^{0.78} \times Eva = 6.026 \times Eva \dots (1)$$

つまり

$$Eva = 1/6.026 \times Evb \dots (2)$$



第2図 噴火規模と発生頻度の関係

一方、積雪の観測記録から求めた年超過確率である  $E_{sa}$  及び  $E_{sb}$  はそれぞれ以下の通りである。

$$E_{sa}=0.016 \cdots (3)$$

$$E_{sb}=0.5 \cdots (4)$$

以上、(1)～(4)より①及び②の年超過確率の関係は以下の通りとなる。

$$\text{①の年超過確率} = E_{sa} \times E_{sb}$$

$$= 1/6.026 \times E_{vb} \times 0.5$$

$$= 1/6.026 \times E_{vb} \times 0.5 \times E_{sa}/0.016$$

$$= 1/6.026 \times 0.5/0.016 \times E_{vb} \times E_{sa}$$

$$= 5.19 \times \text{②の年超過確率}$$

②の年超過確率は①の年超過確率よりもかなり小さいことが分かる。仮に①の年超過確率と同じ年超過確率となるA段階下げた噴火規模を想定すると以下の関係となる。

①の年超過確率/噴火規模をA段階下げた場合の年超過確率

$$= 1/(6.026)^A \times 0.5/0.016 = 1 \cdots (5)$$

(5) より

$$A = 1.91$$

噴火規模を1.9段階程度下げた場合において①と同じ年超過確率となることから、従荷重として降下火碎物による荷重を設定する際に噴火規模を1段階下げた噴火規模に設定することは安全側の設定であり妥当である。

#### [参考文献]

※1：中田節也：日本の火山噴火の現状と低頻度大規模噴火に備えた研究のあり方（日本学術協力財団 学術の動向 19巻9号（2014年9月））

## タービントリップ機能が損なわれた場合の影響について

### 1. はじめに

外部事象防護対象施設等は、「発電用軽水型原子炉施設の安全機能の重要度分類に関する審査指針」(以下「重要度分類審査指針」という。)で規定されている重要度分類(以下「安全重要度分類」という。)のクラス1, クラス2及び安全評価上その機能に期待するクラス3に属する構築物, 系統及び機器並びにそれらを内包する建屋としている。その上で, 屋内施設, 屋外施設に分類し, 想定される外部事象の特徴を考慮の上, 評価対象施設を抽出している。

重要度分類審査指針では該当しないが, タービントリップ機能を有するクラス3設備としてタービン保安装置及び主蒸気止め弁があり, タービントリップ機能は, 安全評価指針の運転時の異常な過渡変化事象における「蒸気発生器への過剰給水」事象で影響緩和のための安全機能として期待している。

ただし, タービン保安装置及び主蒸気止め弁を内包するタービン建屋は外壁が板厚0.5mmの鋼板で構成されていること等により, 外部事象により損傷が想定される。(第1図)

ここでは, タービントリップ機能喪失による具体的な対応について以下に示す。

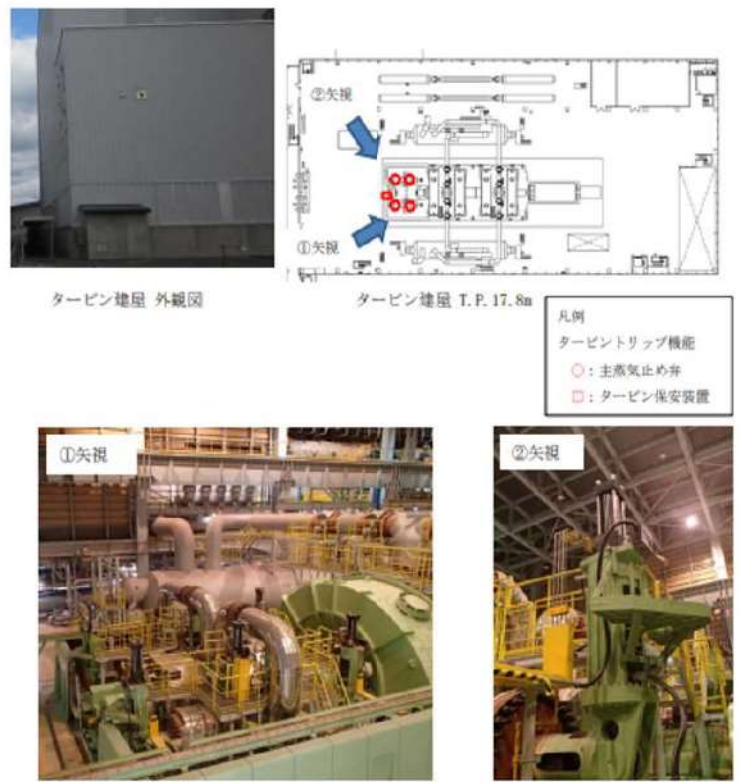
### 2. タービントリップ機能喪失による影響

タービントリップ機能が期待される「蒸気発生器への過剰給水」事象については, 原子炉の出力運転中に, 給水制御系の故障, 誤操作等により, 主給水制御弁が1個全開し, 蒸気発生器への給水が過剰となり, 1次冷却材の温度が低下して反応度が添加され, 原子炉出力が上昇する事象を想定している。

主給水制御弁は原子炉建屋内の主蒸気管室に設置されていることから, 外部事象を起因として蒸気発生器への過剰給水が発生することはない。

通常運転中は中央制御室で, 「蒸気発生器水位」, 「主給水流量」等の監視を行い, また, 警報として「蒸気発生器水位偏差大」を設けている。蒸気発生器の水位が異常に上昇した場合には, 「蒸気発生器水位高」信号により主給水制御弁を全閉する。その後「蒸気発生器水位異常高」信号が発信した場合は, タービントリップ機能により自動的にタービントリップとなり, 主給水ポンプを自動停止し, 主給水設備のすべての制御弁及び主給水隔離弁を全閉とすることで原子炉をトリップさせる。仮にタービントリップ機能が損なわれた場合においても, 運転員による蒸気発生器水位の監視状況によって異常が認められた場合は, 原子炉をトリップさせる。

原子炉トリップによりタービントリップ機能の要求がない期間に補修等の対応を行うことで, 安全機能を損なわない設計とする。



第1図 タービン建屋概要図

北海道山越郡長万部町で確認された水柱事象における  
泊発電所への影響について

1. はじめに

令和5年3月30日(木)に行われた第58回技術情報検討会にて北海道山越郡長万部町で確認された水柱事象が議論されたことを受け、泊発電所において本事象が6条その他外部事象の評価対象とすべきかを確認した。

2. 水柱事象の発生要因と6条の扱いについて

第58回技術情報検討会資料にて水柱事象の発生要因及び6条の扱いについて以下のとおり記載している。(別紙1)

- 本事象は天然ガスを含む地下水が脱ガスによる圧力上昇を受けて湧昇・噴出したものであり、直接的には天然ガス田開発当時の廃坑措置に関する技術的問題に起因した事象である可能性が高く、当地周辺の地震活動や地殻変動に由来したものではないと考えられる。
- 実用発電用原子炉及びその附属施設の位置、構造及び設備の基準に関する規則第6条第3項は、「発電用原子炉施設の安全性を損なわせる原因となるおそれがある事象であって人為によるもの(故意によるものを除く。)」として、同規則の解釈において、飛来物(航空機落下等)、ダムの崩壊、爆発、近隣工場等の火災、有毒ガス、船舶の衝突、電磁的障害等の事象を規定している。本事象は外的ハザードとしての潜在的懸案事項となりうるもの、本調査で判明したように国内での発生はごくまれであり、解釈に追加すべき事象ではないと考える。

3. 水柱事象に対する泊発電所への影響について

国内には、油田・ガス田地帯に立地する原子力施設が存在することを踏まえ、泊発電所が油田・ガス田地帯に立地しているかを文献<sup>(1)</sup>により確認した。

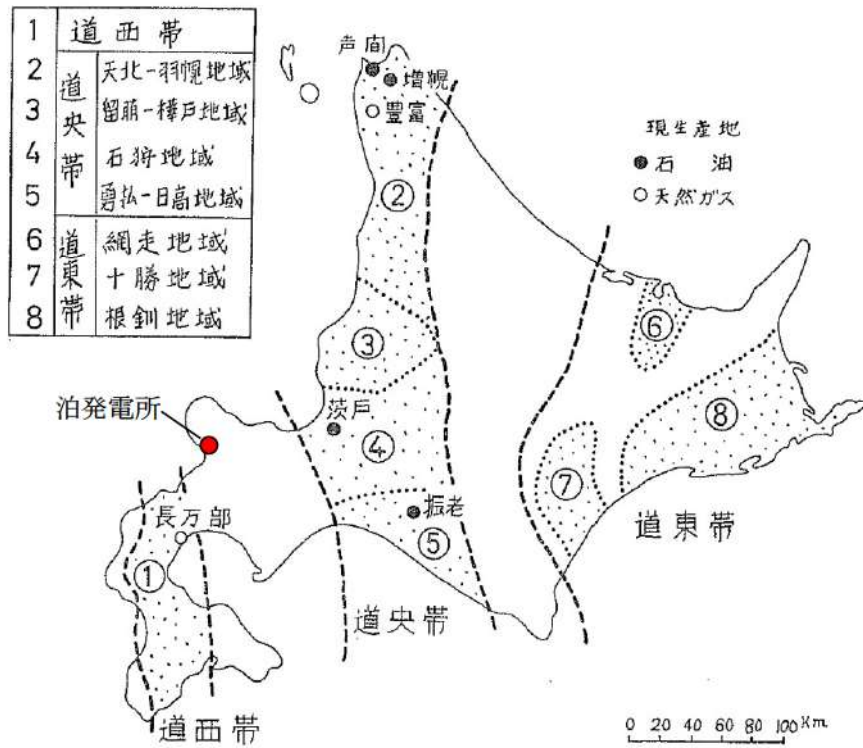
第1図をみると、北海道における油田・ガス田地帯が3箇所(道西帯、道央帯及び道東帯)あるものの、いずれも泊発電所の立地地域外であることがわかる。

4. まとめ

水柱事象における泊発電所への影響について文献を確認した結果、仮に6条の考慮すべき事象として扱った場合は第1表の考慮すべき事象の除外基準のうち、基準A(プラントに影響を与えるほど近接した場所に発生しない)に該当することから、泊発電所において設計上考慮すべき「想定される人為事象」として評価対象外であると判断した。

5. 参考文献

- (1) 長尾捨一、北海道の構造性天然ガスについて。地下資源調査所報告、40, 1-59, 1969.



第1図 北海道油・ガス田区分概念図  
(「北海道の構造性天然ガスについて」に加筆)

第1表 考慮すべき事象の除外基準

基準 A	プラントに影響を与えるほど接近した場所に発生しない。
基準 B	ハザード進展・襲来が遅く、事前にそのリスクを予知・検知することが可能
基準 C	プラント設計上、考慮された事象と比較して設備等への影響度が同等 若しくはそれ以下
基準 D	影響が他の事象に包含される。
基準 E	発生頻度が非常に低い。
基準 F	設置許可基準規則第6条の対象外事象（地震、津波等）

<技術情報検討会資料>  
技術情報検討会は、新知見のふるい分けや作業担当課の特定を目的とした事務的な会議体であり、その資料及び議事録は原子力規制委員会の判断を示すものではありません。

**資料 58-1-2**

## 北海道山越郡長万部町で確認された水柱について

令和 5 年 3 月 30 日  
地震・津波研究部門

### 1. 経緯

2022 年 8 月 8 日夕方から同年 9 月 26 日未明までの約 50 日間、北海道山越郡長万部町長万部の飯生神社敷地内（以下「当地」という。）の旧天然ガス坑井から、高さ 30m に達する大規模な湧水及びメタンガスの噴出事象（以下「本事象」という。）が発生した。

この状況を踏まえ、令和 4 年度第 44 回原子力規制委員会（2022 年 10 月 12 日）において、本事象の原因、地震活動との関係等を調査するよう原子力規制庁に指示があり、当該調査・整理結果を以下のとおり取りまとめた。

### 2. 本事象の詳細について

本事象に関する報道発表等の概要は以下のとおりである。

- ・2022 年 8 月 8 日、当地において水が噴出し、その高さは 30m に達した。
- ・同年 9 月 26 日、水の噴出が停止した<sup>①</sup>。
- ・水の噴出停止後もメタンガスの噴出は継続している<sup>②,③</sup>。
- ・町による水質分析の結果、噴出水は水温 21.5°C の温泉水とされた<sup>④</sup>。
- ・町による調査の結果、水の噴出源は 1958~1959 年の試掘井と判明した<sup>⑤,⑥</sup>。
- ・当地では 1961 年にも数時間以上にわたってガス等が噴出した記録がある<sup>⑦</sup>。

当地は黒松内低地断層<sup>⑧</sup>の近傍に位置するほか、付近には活構造として長万部背斜<sup>⑨</sup>及び旭浜付近の断層<sup>⑩</sup>が分布する（図 1）。本事象はこれらの活構造の運動に伴って生じた可能性があると考えられることから、同断層帯を含む当地付近の最近の地震活動及び地殻変動を確認した。その結果、当地付近の地震の発生時期及び地震規模に本事象の発生時期との関連性が見られないこと、電子基準点「長万部」の変動傾向についても同様であることから、最近の地震活動及び地殻変動と本事象との間に有意な因果関係は認められなかった（図 2~5）。

また、水質について周辺の温泉との比較を行った結果、本事象の湧水は近傍の活火山のマグマ活動及び当地付近の断層活動に影響を受けたものではなく、長万部温泉に代表される化石海水由来の高濃度塩水がアルカリ炭酸塩型の地下水によって一定程度希釈されたものと考えられる（図 6）。なお、本事象の湧水は我が国の水溶性天然ガス田の多くで見られるかん水<sup>①</sup>と同様の化学的特徴を有することから、当地付近に分布する天然ガス田との関連性が示唆される。

### 3. 油田・ガス田開発に伴う水の噴出について

本事象は 1950 年代に天然ガス開発を目的として掘削された試掘孔<sup>⑫</sup>において

<sup>①</sup> 天然ガスが溶解している地層水を指す。

て発生したため、直接的な原因としては当該坑井の廃坑措置が不十分であった可能性が考えられる。このため、国内及び石油・天然ガス産出国である米国における類似事例を調査した結果、今回のような事象は国内ではごくまれに発生しているのに対し、米国では少なくとも数年に1回の頻度で発生していることが判明した（表1）。また、国内・米国ともに、これらの試掘孔が設けられた年代は古く、現在ではその位置が不明な場合が多い。

特に米国には、現在の管理者がおらず廃坑措置が不十分な可能性のある旧石油・ガス坑井である「孤児の井戸（Orphan Well）」が多数存在し、その総数は全米で約90万孔と推定されている<sup>24)</sup>。これらのOrphan Wellでは石油・天然ガスの漏えいによる土壤汚染及び引火事故が発生しており、原子力分野においても、使用済燃料及びGTCC<sup>2</sup>廃棄物中間貯蔵施設の建設・運転に係る近年の許認可の過程（パブリックコメント等）で、サイト内の潜在的なOrphan Wellの存在による施設の安全性への影響が議論された<sup>25-27)</sup>。しかしながら、現時点でのOrphan Wellに対するNRC、DOE等の統一的な見解（審査ガイド等）は示されていない。

#### 4. まとめ

以上の調査結果を総合すると、本事象は天然ガスを含む地下水が脱ガスによる圧力上昇を受けて湧昇・噴出したものであり、直接的には天然ガス田開発当時の廃坑措置に関する技術的問題に起因した事象である可能性が高く、当地周辺の地震活動や地殻変動に由來したものではないと考えられる。

実用発電用原子炉及びその附属施設の位置、構造及び設備の基準に関する規則第6条第3項は、「発電用原子炉施設の安全性を損なわせる原因となるおそれがある事象であつて人為によるもの（故意によるものを除く。）」として、同規則の解釈において、飛来物（航空機落下等）、ダムの崩壊、爆発、近隣工場等の火災、有毒ガス、船舶の衝突又は電磁的障害等の事象を規定している。本事象は外的ハザードとしての潜在的懸念事項となりうるもの、本調査で判明したように国内での発生はごくまれであり、解釈に追加すべき事象ではないと考える。また、これまでに、原子力施設において、安全機能に影響を及ぼし得る事象として本事象と同様の事象が発生したとは承知していない。

しかし、国内には、油田・ガス田地帯に立地する原子力施設が存在することを踏まえ、原子力事業者等に対して被規制者向け情報通知文書 NRA Information Notice を発出することとした。

<sup>2</sup> 「クラスCを超える（Greater Than Class C）」の略。米国における低レベル放射性廃棄物のうち放射能濃度がクラスCの上限値を超えるものであり、放射化した原子炉構成材料、医療用密封線源等が含まれる。

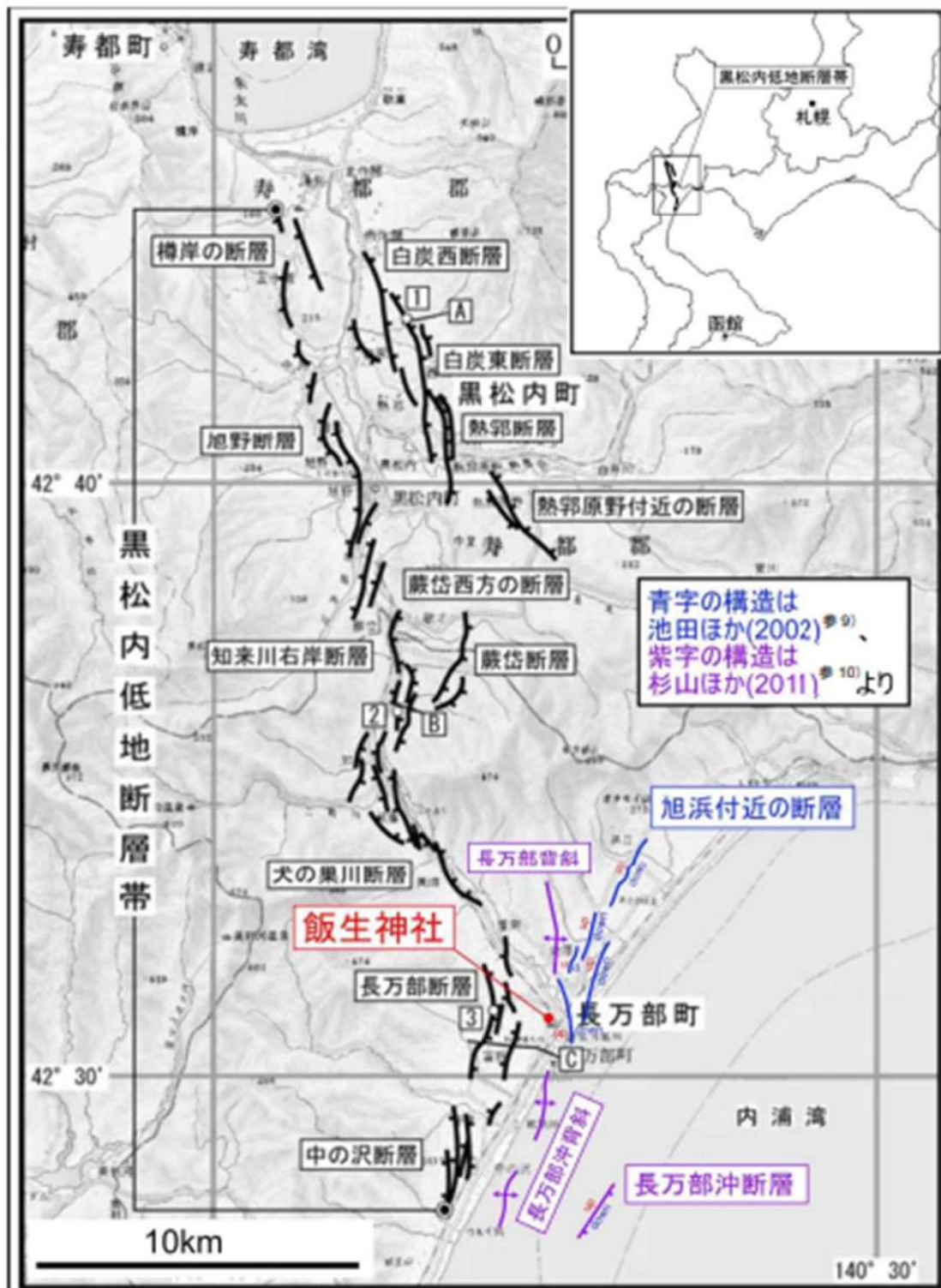
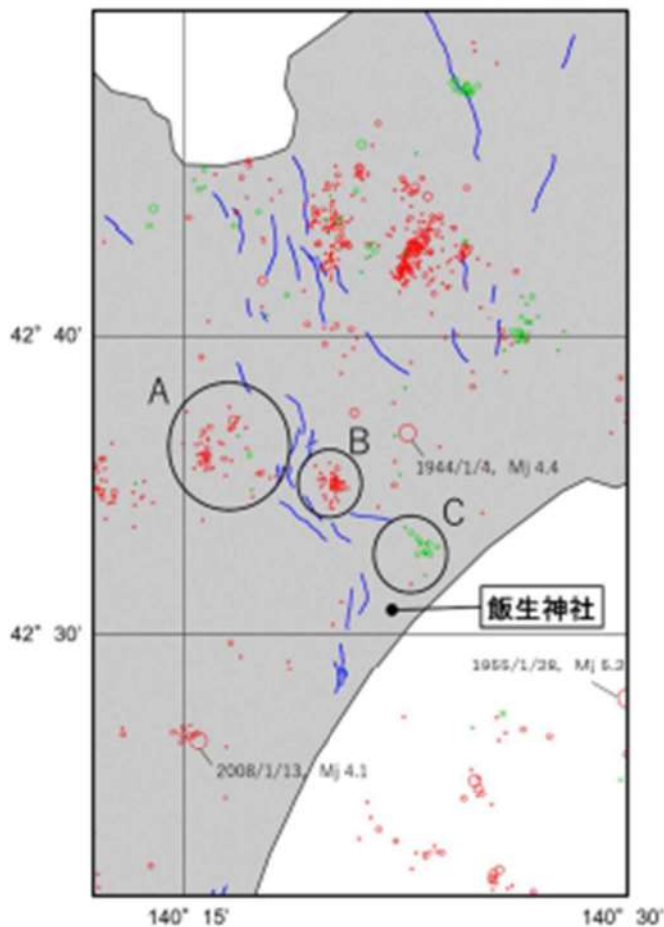


図1 黒松内低地断層帯と当地の位置関係  
(地震調査研究推進本部, 2005<sup>参8)</sup>に加筆)



— 活断層線分データ  
(活断層詳細デジタルマップ、中田・今泉編, 2002) 参 11)

■ 0.0M<1.0  
△ 1.0M<2.0  
○ 2.0M<3.0  
○ 3.0M<4.0  
○ 4.0M<5.0  
○ 5.0M<6.0

気象庁地震カタログ ※検測済みの震源データ 参 12)  
( $M_{JMA} \geq 0.0$  & 震源深さ  $D \leq 25\text{km}$ )  
(1919/01/01~2020/08/31)

■ 0.0M<1.0  
△ 1.0M<2.0  
○ 2.0M<3.0

(国研) 防災科学技術研究所 Hi-netデータ 参 13)  
( $M \geq 0.0$  & 震源深さ  $D \leq 25\text{km}$ )  
(2020/09/01~2022/10/18)

図 2 当地周辺の震央分布 参 11-13)  
(中田・今泉編(2002) 参 11) に加筆)  
震源クラスタ A~C の地震発生時期と地震規模の関係は図 3 を参照

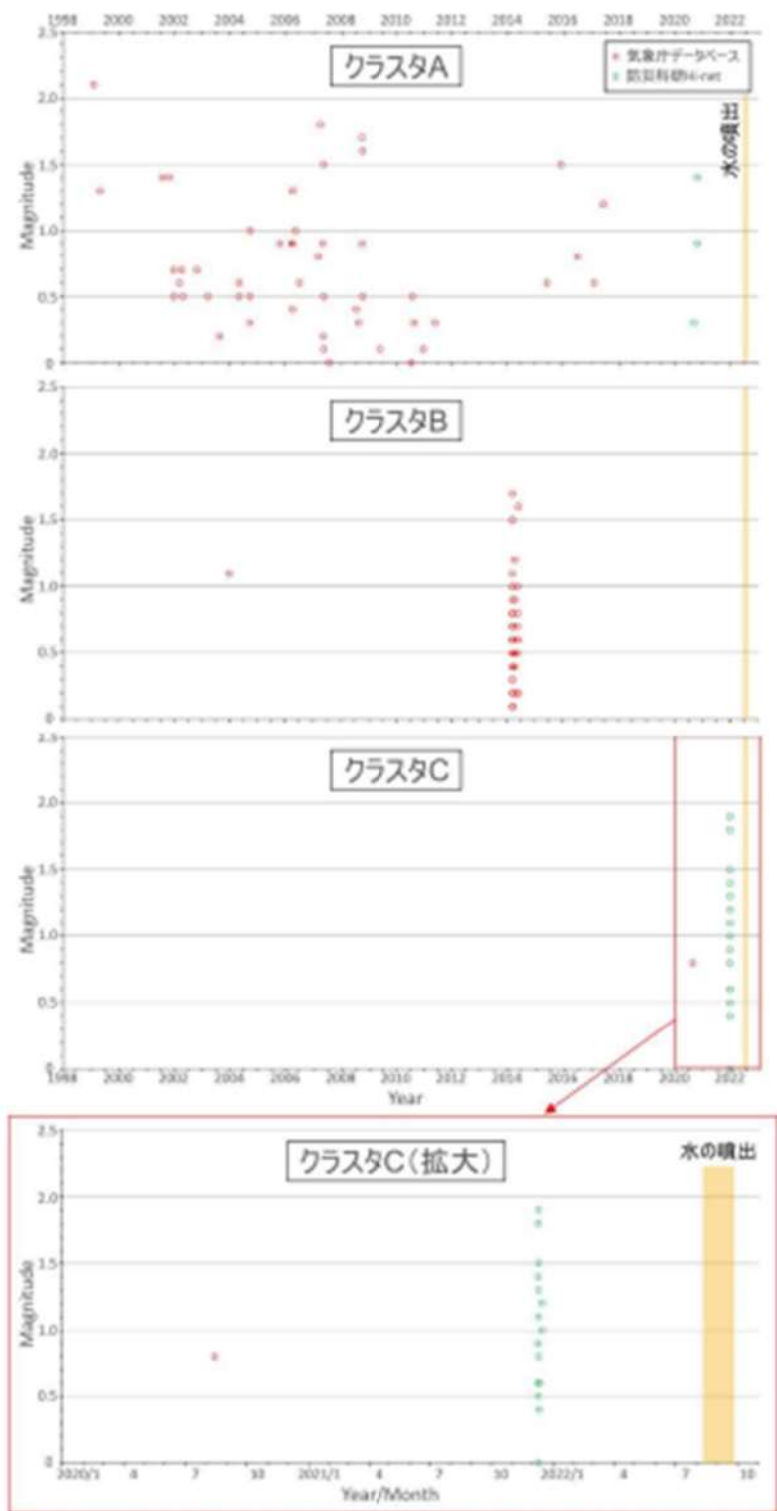


図3 震源クラスタA～Cの地震発生時期と地震規模の関係<sup>参考文献12,13)</sup>

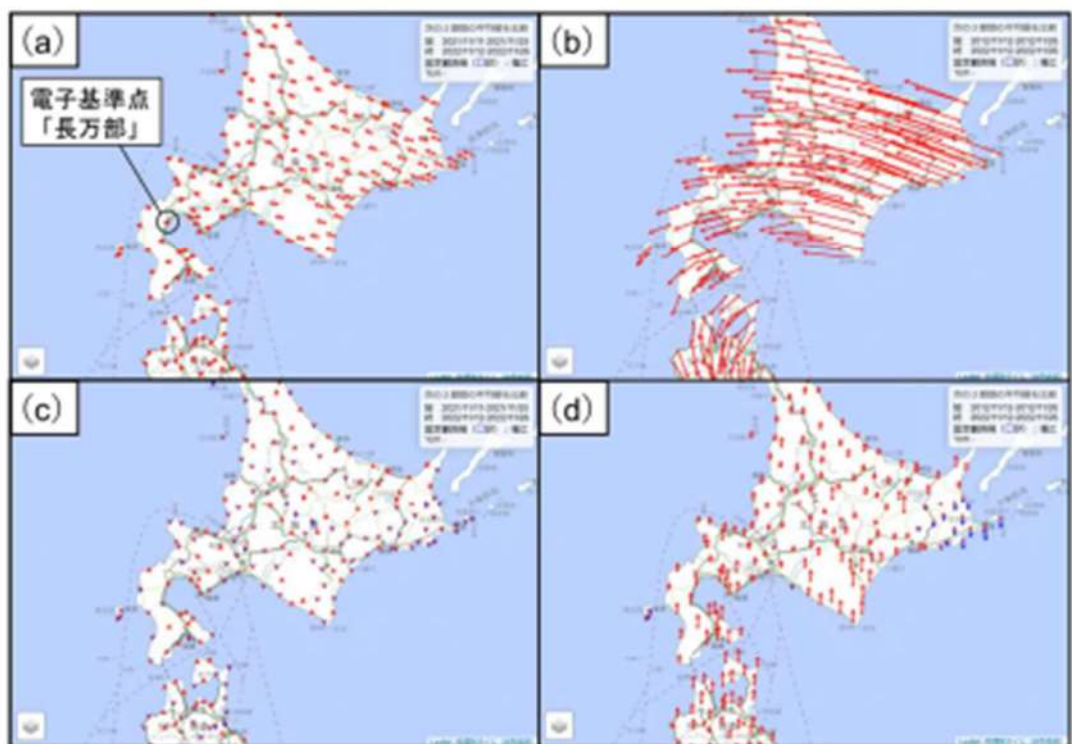


図4 当地周辺の最近の地殻変動  
(国土地理院地殻変動情報表示サイト<sup>14)</sup>に加筆)

- (a) 最近 1 年間の電子基準点の変動（水平）
- (b) 最近 10 年間の電子基準点の変動（水平）
- (c) 最近 1 年間の電子基準点の変動（垂直）
- (d) 最近 10 年間の電子基準点の変動（垂直）

【データ期間】始期：2021/11/11～2021/11/25（最近 1 年間）  
2012/11/12～2012/11/26（最近 10 年間）  
終期：2022/11/12～2022/11/26

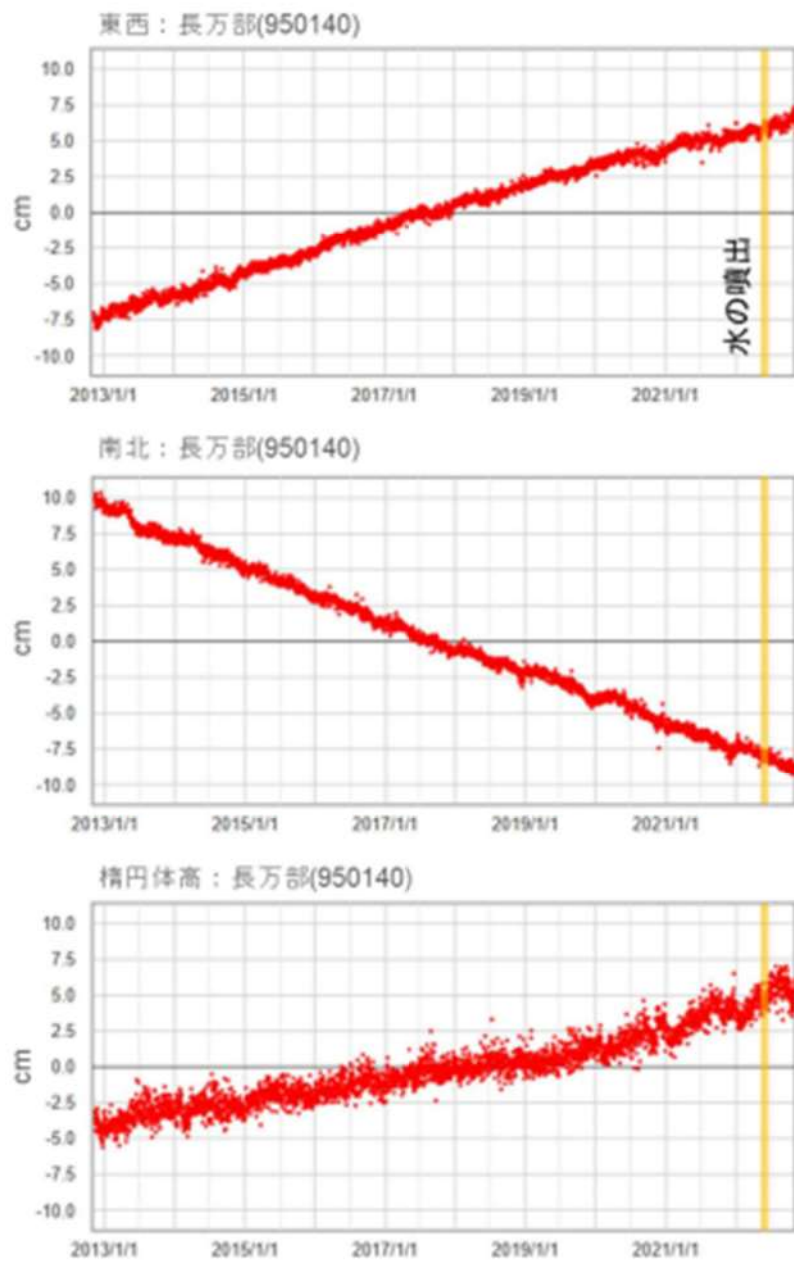


図5 長万部（950140）の最近の座標変化  
(国土地理院地殻変動情報表示サイト<sup>⑯</sup>に加筆)  
データ期間：2012/11/1~2022/10/31

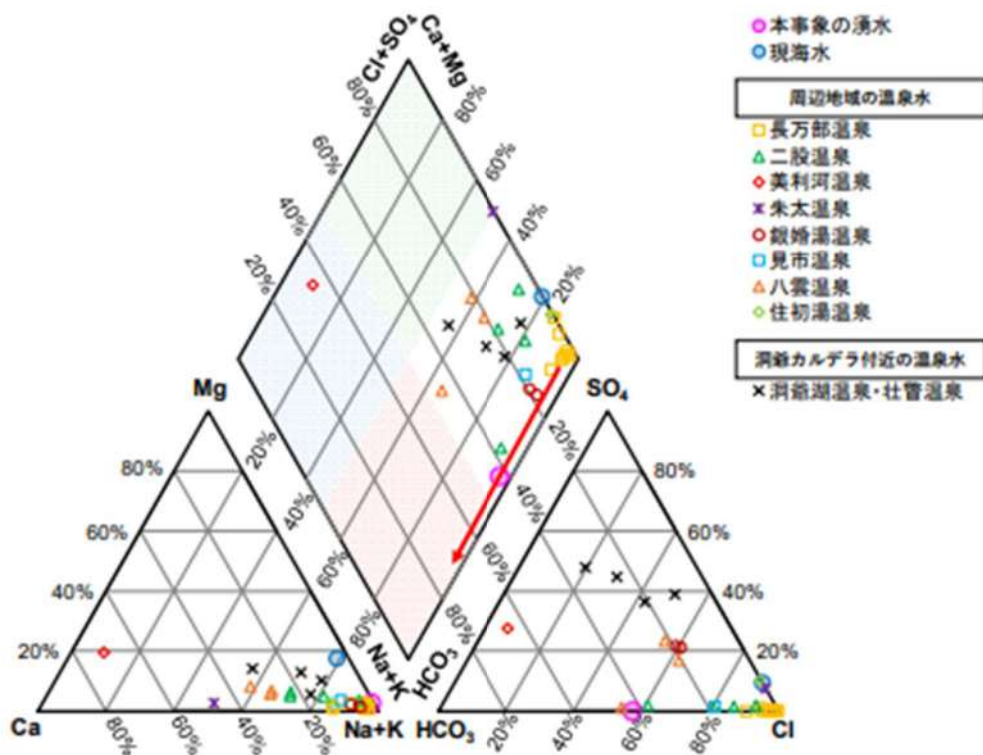


図 6 本事象の湧水、周辺地域の温泉水及び洞爺カルデラ付近の温泉水のトリリニアダイヤグラム

\* トリリニアダイヤグラムは水試料の主要溶存成分を図示する方法の一つであり、中央の菱形の座標図（キーダイヤグラム）を四つに区分することで、以下の大まかな泉質に分類することができる。

- ① アルカリ土類炭酸塩型 (左、浅層地下水由来)
- ② アルカリ炭酸塩型 (下、深層地下水由来)
- ③ アルカリ土類非炭酸塩型 (上、熱水・化石水由来)
- ④ アルカリ非炭酸塩型 (右、海水・温泉由来)

\* 本事象の湧水の水質は長万部町から提供いただいた非公開文献<sup>15)</sup>による。

\* 図中の温泉水及び現海水の水質データは文献<sup>16-22)</sup>による。

表 1 国内及び米国における類似事象

発生時期 (年/月)	発生場所	噴出水の高さ	噴出継続期間
2004/10	新潟県新津市淹谷町 (現 新潟市秋葉区)	不明	数時間
2012/10	米国ペンシルベニア州 Tioga 郡 Union Township	30 フィート (約 9.1m)	1 週間
2019	米国カリフォルニア州 Los Angeles, Marina Del Ray	100 フィート (約 30.5m)	不明 (短期間)
2022/1	米国テキサス州 Crane 郡 Monahans 近郊	75~100 フィート (約 22.9~30.5m)	不明 (12 日間以上)

## &lt;参考文献&gt;

- 参1) 朝日新聞 2022/9/27 10:45 「突然噴き出た水柱、50 日目でびたり止まる 「久々に静か」住民安堵」  
<https://www.asahi.com/articles/ASQ9V7S15Q9VIPE007.html> (2022/10/12 確認)
- 参2) 北海道ニュース UHB 2022/9/26 15:15 「工事関係者が撮影 "水の止まった" 水柱の噴出口 「静か、静か...よかった」住民は安堵 北海道」  
<https://www.uhb.jp/news/single.html?id=30819> (2022/10/12 確認)
- 参3) ABEMA TIMES 2022/9/27 20:30 「巨大 "水柱" の噴出突然止まる 住民安堵「安心して寝られる」北海道・長万部」  
<https://times.abema.tv/articles/-/10041276> (2022/10/12 確認)
- 参4) 長万部町, 2022, 「水柱」の水質検査結果について.  
<https://www.town.oshamambe.lg.jp/site/mizubashira/5133.html> (2022/11/30 確認)
- 参5) 令和4年第3回長万部町議会定例会(第2日目)会議録. 令和4年9月13日.  
<https://www.town.oshamambe.lg.jp/uploaded/attachment/6581.pdf>
- 参6) The Hokkaido Shimbun Press, 26 Aug. 2022, 30-m-high column of water suddenly appears in front of shrine.  
<https://h2w.hokkaido-np.co.jp/topics/p16357/> (2022/11/30 確認)
- 参7) 長万部町史編集室, 長万部町史, 長万部町, 776p, 1977.
- 参8) 地震調査研究推進本部, 黒松内低地断層帯の長期評価について, 平成17年4月13日.
- 参9) 池田安隆, 今泉俊文, 東郷正美, 平川一臣, 宮内崇裕, 佐藤比呂志, 第四紀逆断層アトラス, 東京大学出版会, 254p, 2002.
- 参10) 杉山雄一, 内田康人, 村上文敏, 津久井朗太, 黒松内低地断層帯南方延長部(内浦湾)の地質構造と活動性. 活断層・古地震研究報告, 11, 21-53, 2011.
- 参11) 中田高, 今泉俊文, 活断層詳細デジタルマップ. 東京大学出版会, 68p, 2002.
- 参12) 気象庁, 地震月報(カタログ編).  
<https://www.data.ima.go.jp/eqev/data/bulletin/index.html>
- 参13) 国立研究開発法人防災科学技術研究所, Hi-net 高感度地震観測網.  
<https://www.hinet.bosai.go.jp/?LANG=ja>
- 参14) 国土地理院, 地殻変動情報表示サイト.  
<https://mekira.gsi.go.jp/index.html>
- 参15) 地方独立行政法人北海道立総合研究機構, 技術指導報告書 長万部町に出現した水柱の現地調査報告(噴出水の主要溶存成分分析結果), 4p, 2022.

- 参16) 太秦康光, 那須義和, 濑尾淑子, 温泉の化学的研究（第41～44報）（第41報）北海道諸温泉の化学成分とその起源についての問題点. 日本化学雑誌, 80, 8, 856-859, 1959.
- 参17) 太秦康光, 那須義和, 濑尾淑子, 温泉の化学的研究（第41～44報）（第42報）北海道西南部の諸温泉（その1）. 日本化学雑誌, 80, 8, 859-862, 1959.
- 参18) 松波武雄, 北海道の海岸地域に分布する高濃度塩水について. 地下資源調査所報告, 67, 41-58, 1995.
- 参19) 島田忠夫, 矢崎清貴, 狩武, 北海道長万部町における天然ガス試掘井（長万部R-1号）のコアー試験およびリフト試験について. 石油技術協会誌, 20, 5, 28-35, 1955.
- 参20) 福田理, 日本のホウ素資源と水溶型ホウ素鉱床—その2. 地質ニュース, 371, 40-55, 1985.
- 参21) 松尾禎士, 日下部実, 千葉仁, 牛木久雄, 小坂丈予, 平林順一, 安孫子勤, 野津憲治, 小沢竹二郎, 荒牧重雄, 佐藤和郎, 林保, 佐藤純, 藤井直之, 1977年有珠山噴火直後の地下水, 温泉水および火山灰の地球化学的研究. 火山, 22, 4, 201-220, 1977.
- 参22) 桑本融, 海水の無機成分—溶存化学種を中心に. 化学と生物, 22, 7, 439-445, 1984.
- 参23) 長尾捨一, 北海道の構造性天然ガスについて. 地下資源調査所報告, 40, 1-59, 1969.
- 参24) Interstate Oil & Gas Compact Commission, Idle and Orphan Oil and Gas Wells: State and Provincial Regulatory Strategies 2021. 78p.  
[https://iogcc.ok.gov/sites/g/files/qmc836/f/documents/2022/iogcc\\_idle\\_and\\_orphan\\_wells\\_2021\\_final\\_web\\_0.pdf](https://iogcc.ok.gov/sites/g/files/qmc836/f/documents/2022/iogcc_idle_and_orphan_wells_2021_final_web_0.pdf) (2022/11/30 確認)
- 参25) U.S. Nuclear Regulatory Commission, NRC Staff's Answer in Opposition to the Appeal of Fasken Land and Minerals, Ltd. and the Permian Basin Land and Royalty Owners of LBP-19-7. Docket No. 72-1050, 2019/10/15.  
<https://www.nrc.gov/docs/ML1928/ML19288A224.pdf>
- 参26) New Mexico Energy, Minerals and Natural Resources Department (EMNRD), Comments Regarding the May 2020 Draft Environmental Impact Statement (EIS) for the Interim Storage Partners License Application for a Consolidated Interim Storage Facility for Spent Nuclear Fuel and High-Level Waste in Andrews County, Texas. 2020/11/3.  
<https://www.nrc.gov/docs/ML2030/ML20309B052.pdf>
- 参27) U.S. Nuclear Regulatory Commission, Environmental Impact Statement for Interim Storage Partners LLC's License Application for a Consolidated Interim Storage Facility for Spent Nuclear Fuel in Andrews County, Texas, Final Report. NUREG-2239, 684p, 2021.  
<https://www.nrc.gov/docs/ML2120/ML21209A955.pdf>

#### ＜謝辞＞

本稿の執筆に当たり、北海道長万部町水道ガス課からは水の分析結果に関する文献を提供いただいた。石油技術協会からは国内における旧石油・ガス坑井の状況及び米国のOrphan Wellの状況について大変有用な情報を提供いただいた。以上の方に記して感謝申し上げる。

泊発電所 3号炉審査資料	
資料番号	DB062T r. 12. 0
提出年月日	令和5年12月22日

## 泊発電所 3号炉

### 設置許可基準規則等への適合状況について (設計基準対象施設等)

#### 第6条 外部からの衝撃による損傷の防止 (竜巻)

令和5年12月  
北海道電力株式会社



枠囲みの内容は機密情報に属しますので公開できません。

第6条：外部からの衝撃による損傷の防止  
(竜巻)

<目次>

1. 基本方針

- 1.1 要求事項の整理
- 1.2 追加要求事項に対する適合性
  - (1) 位置、構造及び設備
  - (2) 安全設計方針
  - (3) 適合性説明
- 1.3 気象等
- 1.4 設備等

2. 外部からの衝撃による損傷の防止 (竜巻)

別添1 竜巻影響評価について

3. 運用、手順説明資料

別添2 泊発電所3号炉 運用、手順説明資料 外部からの衝撃による損傷の防止  
(竜巻)

## <概要>

- 1.において、設計基準対象施設の設置許可基準規則、技術基準規則の追加要求事項を明確化するとともに、それら要求に対する泊発電所3号炉における適合性を示す。
- 2.において、設計基準対象施設について、追加要求事項に適合するために必要となる機能を達成するための設備又は運用等について説明する。
- 3.において、追加要求事項に適合するための運用、手順等を抽出し、必要となる運用対策を整理する。

## 1. 基本方針

### 1.1 要求事項の整理

外部からの衝撃による損傷の防止について、設置許可基準規則第6条及び技術基準規則第7条において、追加要求事項を明確化する（表1）。

表1 設置許可基準規則第6条及び技術基準規則第7条 要求事項

設置許可基準規則	技術基準規則	備考
第6条（外部からの衝撃による損傷の防止）	第7条（外部からの衝撃による損傷の防止）	追加要求事項
安全施設（兼用キャスクを除く。）は、想定される自然現象（地震及び津波を除く。次項において同じ。）が発生した場合においても安全機能を損なわないものでなければならない。	設計基準対象施設（兼用キャスクを除く。）が想定される自然現象（地震及び津波を除く。）によりその安全性を損なうおそれがある場合は、防護措置、基礎地盤の改良その他の適切な措置を講じなければならない。	追加要求事項
2 重要安全施設は、当該重要安全施設に大きな影響を及ぼすおそれがあると想定される自然現象により当該重要安全施設に作用する衝撃及び設計基準事故時に生ずる応力を適切に考慮したものでなければならない。	2 周辺監視区域に隣接する地域に事業所、鉄道、道路その他の外部からの衝撃が発生するおそれがある要因がある場合には、事業所における火災又は爆発事故、危険物を搭載した車両、船舶又は航空機の事故その他他の敷地及び敷地周辺の状況から想定される事象であつて人為によるもの（故意によるもの）を除く。以下「人為による事象」という。）により発電用原子炉施設（兼用キャスクを除く。）の安全性が損なわれないよう、防護措置その他の適切な措置を講じなければならない。	追加要求事項
3 安全施設（兼用キャスクを除く。）は、工場等内又はその周辺において想定される発電用原子炉施設の安全性を損なわせる原因となるおそれがある事象であつて人為によるもの（故意による事象）といふ。）を除く。以下「人為による事象」という。）に対して安全機能を損なわないものでなければならない。	3 航空機の墜落により発電用原子炉施設（兼用キャスクを除く。）の安全性を損なうおそれがある場合は、防護措置その他の適切な措置を講じなければならない。	

## 1.2 追加要求事項に対する適合性

### (1) 位置、構造及び設備

#### 五 発電用原子炉及びその附属施設の位置、構造及び設備

##### ロ. 発電用原子炉施設の一般構造

###### (3) その他の主要な構造

(i) 本発電用原子炉施設は、(1)耐震構造、(2)耐津波構造に加え、以下の基本的方針の基に安全設計を行う。

###### a. 設計基準対象施設

###### (a) 外部からの衝撃による損傷の防止

安全施設は、発電所敷地で想定される洪水、風（台風）、竜巻、凍結、降水、積雪、落雷、地滑り、火山の影響、生物学的事象、森林火災及び高潮の自然現象（地震及び津波を除く。）又はその組合せに遭遇した場合において、自然現象そのものがもたらす環境条件及びその結果として施設で生じ得る環境条件においても安全機能を損なわない設計とする。

なお、発電所敷地で想定される自然現象のうち、洪水については、立地的要因により設計上

考慮する必要はない。

上記に加え、重要安全施設は、科学的技術的知見を踏まえ、当該重要安全施設に大きな影響を及ぼすおそれがあると想定される自然現象により当該重要安全施設に作用する衝撃及び設計基準事故時に生じる応力について、それぞれの因果関係及び時間的变化を考慮して適切に組み合わせる。

また、安全施設は、発電所敷地又はその周辺において想定される飛来物（航空機落下）、ダムの崩壊、爆発、近隣工場等の火災、有毒ガス、船舶の衝突又は電磁的障害の発電用原子炉施設の安全性を損なわせる原因となるおそれがある事象であって人為によるもの（故意によるものを除く。）に対して安全機能を損なわない設計とする。

なお、発電所敷地又はその周辺において想定される人為事象のうち、飛来物（航空機落下）については、確率的要因により設計上考慮する必要はない。また、ダムの崩壊については、立地的要因により考慮する必要はない。

自然現象及び発電所敷地又はその周辺において想定される発電用原子炉施設の安全性を損なわせる原因となるおそれがある事象であって人為によるもの（故意によるものを除く。）の組合せについては、地震、津波、風（台風）、竜巻、凍結、降水、積雪、落雷、地滑り、火山の影響、生物学的事象、森林火災等を考慮する。事象が単独で発生した場合の影響と比較して、複数の事象が重畠することで影響が増長される組合せを特定し、そ

の組合せの影響に対しても安全機能を損なわない設計とする。

ここで、想定される自然現象及び発電所敷地又はその周辺において想定される発電用原子炉施設の安全性を損なわせる原因となるおそれがある事象であって人為によるもの（故意によるものを除く。）に対して、安全施設が安全機能を損なわないために必要な安全施設以外の施設、設備等（重大事故等対処設備を含む。）への措置を含める。

#### (a-2) 竜巻

安全施設は、想定される竜巻が発生した場合においても、作用する設計荷重に対して、その安全機能を損なわない設計とする。また、安全施設は、過去の竜巻被害状況及び発電所のプラント配置から想定される竜巻に随伴する事象に対して、安全機能を損なわない設計とする。

竜巻に対する防護設計を行うための設計竜巻の最大風速は、100m/s とし、設計荷重は、設計竜巻による風圧力による荷重、気圧差による荷重及び飛来物が安全施設に衝突する際の衝撃荷重を組み合わせた設計竜巻荷重並びに安全施設に常時作用する荷重、運転時荷重及びその他竜巻以外の自然現象による荷重等を適切に組み合わせたものとして設定する。

安全施設の安全機能を損なわないようにするために、安全施設に影響を及ぼす飛来物の発生防止対策を実施するとともに、作用する設計荷重に対する安全施設及び安全施設を内包する区画の構造健全性の確保若しくは飛来物による損傷を考慮して、代替設備により必要な機能を確保すること、安全上支障のない期間での修復等の対応を行うこと又はそれらを適切に組み合わせることで、その安全機能を損なわない設計とする。

飛来物の発生防止対策として、飛来物となる可能性のあるもののうち、資機材、車両等については、飛來した場合の運動エネルギー又は貫通力が設定する設計飛来物より大きなものに対し、固縛、固定又は防護すべき施設からの離隔を実施する。

## (2) 安全設計方針

### 1. 安全設計

#### 1.8 外部からの衝撃による損傷の防止に関する基本方針

安全施設は、想定される自然現象（地震及び津波を除く。）及び想定される発電用原子炉施設の安全性を損なわせる原因となるおそれがある事象であって人為によるもの（故意によるものを除く。）に対して、安全機能を損なわない設計とする。安全機能が損なわれないことを確認する必要がある施設を、「発電用軽水型原子炉施設の安全機能の重要度分類に関する審査指針」で規定されている重要度分類（以下1.8では「安全重要度分類」という。）のクラス1、クラス2及びクラス3に属する構築物、系統及び機器とする。

その上で、上記構築物、系統及び機器の中から、発電用原子炉を停止するため、また、停止状態にある場合は引き続きその状態を維持するために必要な異常の発生防止の機能又は異常の影響緩和の機能を有する構築物、系統及び機器並びに使用済燃料ピットの冷却機能及び給水機能を維持するために必要な異常の発生防止の機能又は異常の影響緩和の機能を有する構築物、系統及び機器として安全重要度分類のクラス1、クラス2及び安全評価上その機能に期待するクラス3に属する構築物、系統及び機器を外部事象から防護する対象（以下「外部事象防護対象施設」という。）とし、機械的強度を有すること等により、安全機能を損なわない設計とする。

また、外部事象防護対象施設を内包する建屋は、機械的強度を有すること等により、内包する外部事象防護対象施設の安全機能を損なわない設計及び外部事象防護対象施設へ波及的影響を及ぼさない設計とする。ここで、外部事象防護対象施設及び外部事象防護対象施設を内包する建屋を併せて、外部事象防護対象施設等という。

上記に含まれない構築物、系統及び機器は、機能を維持すること若しくは損傷を考慮して代替設備により必要な機能を確保すること、安全上支障のない期間での修復等の対応を行うこと又はそれらを適切に組み合わせることにより、その安全機能を損なわない設計とする。

#### 1.8.2 竜巻防護に関する基本方針

##### 1.8.2.1 設計方針

###### 1.8.2.1.1 竜巻に対する設計の基本方針

安全施設が竜巻に対して、発電用原子炉施設の安全性を確保するために必要な安全機能を損なわないよう、基準竜巻、設計竜巻及び設計荷重を適切に設定し、以下の事項に対して、対策を行い、建屋による防護、構造健

全性の維持、代替設備の確保等によって、安全機能を損なわない設計とする。

また、安全施設は、設計荷重による波及的影響によって、安全機能を損なわない設計とする。

- (1) 飛来物の衝突による施設の貫通及び裏面剥離
- (2) 設計竜巻による風圧力による荷重、気圧差による荷重及び設計飛来物による衝撃荷重を組み合わせた設計竜巻荷重並びにその他の組合せ荷重（常時作用している荷重、運転時荷重、竜巻以外の自然現象による荷重及び設計基準事故時荷重）を適切に組み合わせた設計荷重
- (3) 竜巻による気圧の低下
- (4) 外気と繋がっている箇所への風の流入

設計竜巻によってその安全機能が損なわれないことを確認する必要がある施設を、安全重要度分類のクラス1、クラス2及びクラス3に属する構築物、系統及び機器とする。

設計竜巻によってその安全機能が損なわれないことを確認する必要がある施設のうち、外部事象防護対象施設は、設計荷重に対し機械的強度を有すること等により、安全機能を損なわない設計とする。

竜巻影響評価の対象施設としては、「1.8.2.1.3 外部事象防護対象施設等のうち評価対象施設」及び「1.8.2.1.4 外部事象防護対象施設等に波及的影響を及ぼし得る施設」に示す施設を、竜巻影響評価の対象施設とする。

なお、「基準地震動及び耐震設計方針に係る審査ガイド」の重要度分類における耐震Sクラスの設計を要求される設備（系統、機器）及び建屋、構築物のうち、竜巻の影響を受ける可能性がある施設を抽出した結果、追加で「1.8.2.1.3 外部事象防護対象施設等のうち評価対象施設」に反映する施設はない。

竜巻に対する防護設計を行う、外部事象防護対象施設等のうち評価対象施設及び外部事象防護対象施設等に波及的影響を及ぼし得る施設を「評価対象施設等」という。

外部事象防護対象施設等の安全機能を損なわないようにするため、外部事象防護対象施設等に影響を及ぼす飛来物の発生防止対策を実施するとともに、作用する設計荷重に対する外部事象防護対象施設の構造健全性の維持、外部事象防護対象施設を内包する区画の構造健全性の確保若しくは飛来物による損傷を考慮して、代替設備により必要な機能を確保すること、

安全上支障のない期間での修復等の対応又はそれらを適切に組み合わせた設計とする。

屋外に設置する外部事象防護対象施設の構造健全性の維持又は外部事象防護対象施設を内包する区画の構造健全性の確保において、それらを防護するために設置する竜巻飛来物防護対策設備は、竜巻防護ネット、竜巻防護鋼板等から構成し、飛来物から外部事象防護対象施設等を防護できる設計とする。

#### 1.8.2.1.2 設計竜巻の設定

「添付書類六 9. 竜巻」において設定した基準竜巻の最大風速は92m/sとする。

設計竜巻の設定に際して、発電所は敷地前面（北西～南西方向）が日本海に面し、背後は積丹半島中央部の山嶺に続く標高40mから130mの丘陵地であり、地形効果による風の増幅について評価した結果、増幅を考慮する必要はないことを確認したが、将来的な気候変動による竜巻発生の不確実性を踏まえ、基準竜巻の最大風速を安全側に切り上げて、設計竜巻の最大風速は100m/sとする。

#### 1.8.2.1.3 外部事象防護対象施設等のうち評価対象施設

外部事象防護対象施設等は、設計荷重に対し機械的強度を有すること等により安全機能を損なわない設計とする。

外部事象防護対象施設は、外殻となる施設（建屋、構築物）（以下「外殻となる施設」という。）に内包され、外気と繋がっておらず設計竜巻荷重の影響から防護される施設（以下「外殻となる施設に内包され防護される施設（外気と繋がっている施設を除く。）」という。）、設計竜巻荷重の影響を受ける屋外施設（以下「屋外施設」という。）、外殻となる施設に内包されるため、設計竜巻の風圧力による荷重及び設計飛来物による衝撃荷重の影響から防護されるが、外気と繋がっており設計竜巻の気圧差による荷重の影響を受ける施設（以下「屋内の施設で外気と繋がっている施設」という。）及び外殻となる施設に内包されるが設計竜巻荷重の影響から防護が期待できない施設（以下「外殻となる施設による防護機能が期待できない施設」という。）に分類し、このうち、外殻となる施設に内包され防護される施設（外気と繋がっている施設を除く。）は内包する建屋により防護する設計とすることから、評価対象施設は、屋外施設、屋内の施設で外気と繋がっている施設及び外殻となる施設による防護機能が期待できない施設とし、以下のように抽出する。

なお、外殻となる施設による防護機能が期待できない施設については、「1.8.2.1.3(1) 屋外施設」のうち外部事象防護対象施設を内包する区画の構造健全性維持可否の観点並びに設計飛来物の衝突等による開口部の開放及び開口部建具の貫通の観点から抽出する。

また、上記に含まれない構築物、系統及び機器は、竜巻及びその随伴事象により損傷した場合であっても、代替手段があること等により安全機能は損なわれない。

(1) 屋外施設（外部事象防護対象施設を内包する区画を含む。）

- ・排気筒（建屋外）

<以下、外部事象防護対象施設を内包する区画>

外部事象防護対象施設を内包する区画を、以下のとおり抽出する。

- ・原子炉建屋（外部遮へい建屋）（原子炉容器他を内包）
- ・原子炉建屋（周辺補機棟）（主蒸気管他を内包）
- ・原子炉建屋（燃料取扱棟）（使用済燃料ピット他を内包）
- ・原子炉補助建屋（中央制御室他を内包）
- ・ディーゼル発電機建屋（ディーゼル発電機他を内包）
- ・A1, A2-燃料油貯油槽タンク室（A1, A2-ディーゼル発電機燃料油貯油槽を内包）
- ・B1, B2-燃料油貯油槽タンク室（B1, B2-ディーゼル発電機燃料油貯油槽を内包）
- ・A1, A2-ディーゼル発電機燃料油貯油槽トレンチ（ディーゼル発電機燃料油移送配管を内包）
- ・B1, B2-ディーゼル発電機燃料油貯油槽トレンチ（ディーゼル発電機燃料油移送配管を内包）
- ・循環水ポンプ建屋（原子炉補機冷却海水ポンプ他を内包）
- ・タービン建屋（タービン保安装置他を内包）

(2) 屋内の施設で外気と繋がっている施設

- ・換気空調設備（アニュラス空気浄化設備、格納容器空調装置、補助建屋空調装置、試料採取室空調装置、中央制御室空調装置、電動補助給水ポンプ室換気装置、制御用空気圧縮機室換気装置、ディーゼル発電機室換気装置及び安全補機開閉器室空調装置）
- ・排気筒（建屋内）

(3) 外殻となる施設による防護機能が期待できない施設

- ・使用済燃料ピット
- ・使用済燃料ラック
- ・新燃料ラック
- ・燃料移送装置
- ・使用済燃料ピットクレーン
- ・燃料取扱棟クレーン
- ・燃料取替キャナル
- ・キャスクピット
- ・燃料検査ピット
- ・原子炉補機冷却海水ポンプ
- ・原子炉補機冷却海水ポンプ出口ストレーナ
- ・配管及び弁（原子炉補機冷却海水系）
- ・原子炉補機冷却水サージタンク（配管及び弁含む）
- ・主蒸気系配管他
- ・制御用空気系配管
- ・蓄熱室加熱器
- ・ディーゼル発電機燃料油移送配管
- ・タービン保安装置及び主蒸気止め弁

なお、タービン保安装置、主蒸気止め弁及びタービン建屋は、以下の設計とすることにより、以降の評価対象施設には含めないものとする。

評価対象施設のうちタービン保安装置及び主蒸気止め弁については、蒸気発生器への過剰給水の緩和手段（タービントリップ機能）として期待している。竜巻を起因として蒸気発生器への過剰給水が発生することはないが、独立事象としての重畠の可能性を考慮し、タービン建屋も含め安全上支障のない期間に補修等の対応を行うことで、安全機能を損なわない設計とする。

#### 1.8.2.1.4 外部事象防護対象施設等に波及的影響を及ぼし得る施設

外部事象防護対象施設等に波及的影響を及ぼし得る施設としては、当該施設の破損等により外部事象防護対象施設等に波及的影響を及ぼして安全機能を喪失させる可能性がある施設又はその施設の特定の区画とする。

外部事象防護対象施設等に波及的影響を及ぼし得る施設としては、外部事象防護対象施設等を除く構築物、系統及び機器の中から、外部事象防護

対象施設等に機械的影響を及ぼし得る施設及び外部事象防護対象施設に機能的影響を及ぼし得る施設を以下のとおり抽出する。

(1) 外部事象防護対象施設等に機械的影響を及ぼし得る施設

外部事象防護対象施設等に機械的影響を及ぼし得る施設としては、施設の高さと外部事象防護対象施設等との距離を考慮して、倒壊により外部事象防護対象施設等を損傷させる可能性がある施設を、外部事象防護対象施設等に機械的影響を及ぼし得る施設として抽出する。

- ・タービン建屋
- ・電気建屋
- ・出入管理建屋
- ・循環水ポンプ建屋

(2) 外部事象防護対象施設に機能的影響を及ぼし得る施設

外部事象防護対象施設に機能的影響を及ぼし得る施設としては、屋外にある外部事象防護対象施設の付属設備で、風圧力及び設計飛来物の衝突等による損傷により外部事象防護対象施設の安全機能を損なわせる可能性がある施設及び外部事象防護対象施設を内包する区画の外気と繋がっている換気空調設備を、外部事象防護対象施設に機能的影響を及ぼし得る施設として抽出する。

<屋外にある外部事象防護対象施設の付属設備>

- ・ディーゼル発電機排気消音器
- ・主蒸気逃がし弁消音器
- ・主蒸気安全弁排気管
- ・タービン動補助給水ポンプ排気管
- ・ディーゼル発電機燃料油貯油槽ベント管

<外部事象防護対象施設を内包する区画の外気と繋がっている換気空調設備>

- ・換気空調設備（蓄電池室排気装置）

#### 1.8.2.1.5 設計飛来物の設定

敷地全体を俯瞰した現地調査及び検討を行い、発電所構内の資機材、車両等の設置状況を踏まえ、評価対象施設等に衝突する可能性のある飛来物を抽出する。

飛来物に係わる現地調査結果及び「原子力発電所の竜巻影響評価ガイド（平成25年6月19日 原規技発第13061911号 原子力規制委員会決定）」に示されている設計飛来物の設定例を参照し設定する。

設計飛来物は、浮き上がりの有無、運動エネルギー及び貫通力を踏まえ、鋼製材を設定する。

また、竜巻飛来物防護対策設備の竜巻防護ネットを通過し得る可能性があり、鋼製材にて包含できない砂利及び外部事象防護対象施設である使用済燃料ピット等に侵入した場合に燃料集合体に直接落下する可能性があり、鋼製材にて包含できない鋼製パイプも設計飛来物とする。

第1.8.2.1表に発電所における設計飛来物を示す。

飛来物の発生防止対策については、現地調査により抽出した飛来物や発電所に持ち込まれる資機材、車両等の寸法、質量及び形状から飛来の有無を判断し、運動エネルギー及び貫通力を考慮して、衝突時に建屋等又は竜巻飛来物防護対策設備に与えるエネルギー又は貫通力が設計飛来物のうち鋼製材によるものより大きく、外部事象防護対象施設等を防護できない可能性があるものは固縛、固定又は評価対象施設等からの離隔を実施し、確実に飛来物とならない運用とする。

#### 1.8.2.1.6 荷重の組合せと許容限界

竜巻に対する防護設計を行うため、評価対象施設等に作用する設計竜巻荷重の算出、設計竜巻荷重の組合せの設定、設計竜巻荷重と組み合わせる荷重の設定及び許容限界について以下に示す。

##### (1) 評価対象施設等に作用する設計竜巻荷重

設計竜巻により評価対象施設等に作用する荷重として「風圧力による荷重 ( $W_w$ )」、「気圧差による荷重 ( $W_p$ )」及び「設計飛来物による衝撃荷重 ( $W_m$ )」を以下に示すとおり算出する。

###### a. 風圧力による荷重 ( $W_w$ )

設計竜巻の最大風速による荷重であり、「建築基準法施行令」（昭和25年11月16日政令第338号）、「日本建築学会 建築物荷重指針・同解説」及び建設省告示1454号（平成12年5月31日）に準拠して、次式のとおり算出する。

$$W_w = q \cdot G \cdot C \cdot A$$

ここで、

$W_W$ ：風圧力による荷重

$q$ ：設計用速度圧

$G$ ：ガスト影響係数 ( $=1.0$ )

$C$ ：風力係数 (施設の形状や風圧力が作用する部位 (屋根・壁等) に応じて設定する。)

$A$ ：施設の受圧面積

$$q = (1/2) \cdot \rho \cdot V_D^2$$

ここで、

$\rho$ ：空気密度

$V_D$ ：設計竜巻の最大風速

ただし、竜巻による最大風速は、一般的には水平方向の風速として算定されるが、鉛直方向の風圧力に対してせい弱と考えられる評価対象施設等が存在する場合には、鉛直方向の最大風速等に基づいて算出した鉛直方向の風圧力についても考慮した設計とする。

b. 気圧差による荷重 ( $W_P$ )

外気と隔離されている区画の境界部が気圧差による圧力影響を受ける設備及び外部事象防護対象施設を内包する区画の外壁、屋根等においては、設計竜巻による気圧低下によって生じる評価対象施設等の内外の気圧差による圧力荷重が発生する。保守的に「閉じた施設」を想定し次式のとおり算出する。

$$W_P = \Delta P_{max} \cdot A$$

ここで、

$W_P$ ：気圧差による荷重

$\Delta P_{max}$ ：最大気圧低下量

$A$ ：施設の受圧面積

c. 設計飛来物による衝撃荷重 ( $W_M$ )

飛来物の衝突方向及び衝突面積を考慮して設計飛来物が評価対象施設等に衝突した場合の影響が大きくなる向きで衝撃荷重を算出する。

## (2) 設計竜巻荷重の組合せ

評価対象施設等の設計に用いる設計竜巻荷重は、設計竜巻による風圧力による荷重 ( $W_W$ )、気圧差による荷重 ( $W_P$ ) 及び設計飛来物による衝撃荷重 ( $W_M$ ) を組み合わせた複合荷重とし、複合荷重  $W_{T1}$  及び  $W_{T2}$  は米国原子力規制委員会の基準類を参考として、以下のとおり

設定する。

$$W_{T_1} = W_P$$

$$W_{T_2} = W_W + 0.5 \cdot W_P + W_M$$

なお、評価対象施設等には $W_{T_1}$ 及び $W_{T_2}$ の両荷重をそれぞれ作用させる。

### (3) 設計竜巻荷重と組み合わせる荷重の設定

設計竜巻荷重と組み合わせる荷重は、以下のとおり設定する。

#### a. 評価対象施設等に常時作用する荷重、運転時荷重

評価対象施設に作用する荷重として、自重等の常時作用する荷重、内圧等の運転時荷重を適切に組み合わせる。

#### b. 竜巻以外の自然現象による荷重

竜巻は、積乱雲及び積雲に伴って発生する現象であり<sup>(1)</sup>、積乱雲の発達時に竜巻と同時発生する可能性がある自然現象は、雷、雪、ひょう及び降水である。これらの自然現象の組合せにより発生する荷重は、以下のとおり設計竜巻荷重に包絡される。

なお、竜巻と同時に発生する自然現象については、今後も継続的に新たな知見等の収集に取組み、必要な事項については適切に反映を行う。

##### ① 雷

竜巻と雷が同時に発生する場合においても、雷によるプラントへの影響は、雷撃であるため雷による荷重は発生しない。

##### ② 雪

竜巻の作用時間は極めて短時間であること、積雪の荷重は冬季の限定された期間に発生し、積雪荷重の大きさや継続時間は除雪を行うことで低減できることから、発生頻度が極めて小さい設計竜巻の風荷重と積雪による荷重が同時に発生し、設備に影響を与えることは考えにくいため、組合せを考慮しない。また、雪が堆積した状態における竜巻の影響については、除雪により雪を長期間堆積状態にしない方針であることから、組合せを考慮しない。

冬期に竜巻が襲来する場合は竜巻通過前後に降雪を伴う可能性はあるが、上昇流の竜巻本体周辺では、竜巻通過時に雪は降らない。また、下降流の竜巻通過時は、竜巻通過前に積もった雪の大部分は竜巻の風により吹き飛ばされ、雪による荷重は十分小さく設計竜巻荷重に包絡される。

##### ③ ひょう

ひょうは、積乱雲から降る直径5mm以上の氷の粒<sup>(2)</sup>であり、仮に直径10cm程度の大型のひょうを想定した場合、その重量は約0.5kgである。直径10cm程度のひょうの終端速度は59m/s<sup>(3)</sup>、運動エネルギーは約0.9kJであり、設計飛来物の運動エネルギーと比べ十分に小さく、ひょうの衝突による荷重は設計竜巻荷重に包絡される。

#### ④ 降水

竜巻と降水が同時に発生する場合においても、雨水により屋外施設に荷重の影響を与えることはなく、また降雨による荷重は十分小さいため、設計竜巻荷重に包絡される。

#### c. 設計基準事故時荷重

外部事象防護対象施設は、当該外部事象防護対象施設に大きな影響を及ぼすおそれがあると想定される自然現象により当該外部事象防護対象施設に作用する衝撃及び設計基準事故時に生ずる応力を、それぞれの因果関係及び時間的変化を考慮して、適切に組み合わせて設計する。

#### (4) 許容限界

建屋及び構築物の設計において、設計飛来物の衝突による貫通及び裏面剥離発生の有無の評価については、貫通及び裏面剥離が発生しない部材厚さ（貫通限界厚さ及び裏面剥離限界厚さ）と部材の最小厚さを比較することにより行う。さらに、設計荷重により、発生する変形又は応力が以下の法令、規格、基準、指針類等に準拠し算定した許容限界を下回る設計とする。

- ・建築基準法
- ・日本産業規格
- ・日本建築学会及び土木学会等の基準・指針類
- ・原子力発電所耐震設計技術指針JEAG4601-1987（日本電気協会）
- ・日本機械学会の基準・指針類
- ・震災建築物の被災度区分判定基準及び復旧技術指針（日本建築防災協会）
- ・原子力エネルギー協会（NEI）の基準・指針類

系統及び機器の設計において、設計飛来物の衝突による貫通の有無の評価については、貫通が発生しない部材厚である貫通限界厚さと部材の最小厚さを比較することにより行う。設計飛来物が貫通することを考慮する場合には、設計荷重に対して防護対策を考慮した上で、系

統及び機器に発生する応力が以下の規格、基準及び指針類に準拠し算定した許容応力度等に基づく許容限界を下回る設計とする。

- ・日本産業規格
- ・日本機械学会の基準・指針類
- ・原子力発電所耐震設計技術指針 JEAG4601-1987（日本電気協会）

#### 1.8.2.1.7 評価対象施設等の防護設計方針

評価対象施設等の設計荷重に対する防護設計方針を以下に示す。

##### (1) 屋外施設（外部事象防護対象施設を内包する区画を含む。）

外部事象防護対象施設等のうち屋外施設は、設計荷重に対して、安全機能が維持される設計とし、必要に応じて竜巻飛来物防護対策設備である竜巻防護鋼板等の設置又は運用による竜巻防護対策を講じる方針とする。

###### a. 排気筒（建屋外）

排気筒（建屋外）は、設計飛来物の衝突により貫通し構造健全性が維持されないことを考慮して、補修が可能な設計とすることにより、設計基準事故時における安全機能を損なわない設計とする。さらに、風圧力による荷重、気圧差による荷重及び排気筒に常時作用する荷重に対して、構造健全性が維持され、安全機能を損なわない設計とする。

<以下、外部事象防護対象施設を内包する区画>

###### b. 原子炉建屋（外部遮へい建屋）

原子炉建屋（外部遮へい建屋）は、風圧力による荷重、気圧差による荷重、設計飛来物による衝撃荷重及び常時作用する荷重に対して、構造骨組の構造健全性が維持されるとともに、屋根、壁及び開口部（扉類）の破損により当該建屋内の外部事象防護対象施設が安全機能を損なわない設計とする。また、設計飛来物の衝突時においても、貫通及び裏面剥離の発生により、当該建屋内の外部事象防護対象施設が安全機能を損なわない設計とする。

###### c. 原子炉建屋（周辺補機棟）、原子炉建屋（燃料取扱棟）、原子炉補助建屋及びディーゼル発電機建屋

原子炉建屋（周辺補機棟）、原子炉建屋（燃料取扱棟）、原子炉補助建屋及びディーゼル発電機建屋は、風圧力による荷重、気圧差による荷重、設計飛来物による衝撃荷重及び常時作用する荷重に対して、構造骨組の構造健全性が維持されるとともに、屋根、壁及び開口部（扉類）の破損により当該建屋内の外部事象防護対象施設が安

全機能を損なわない設計とする。また、設計飛来物の衝突時においても、貫通及び裏面剥離の発生により、当該建屋内の外部事象防護対象施設が安全機能を損なわない設計とする。

ただし、風圧力による荷重、気圧差による荷重、設計飛来物による衝撃荷重及び常時作用する荷重又は設計飛来物の衝突による影響を受け、屋根、壁及び開口部（扉類）が損傷し当該建屋内の外部事象防護対象施設の安全機能を損なう可能性がある場合には、当該建屋内の外部事象防護対象施設が安全機能を損なわないかを評価し、安全機能を損なう可能性がある場合には、竜巻飛来物防護対策設備又は運用による竜巻防護対策を実施する。

d. A1, A2-燃料油貯油槽タンク室及びB1, B2-燃料油貯油槽タンク室

A1, A2-燃料油貯油槽タンク室及びB1, B2-燃料油貯油槽タンク室は、地下埋設されていることを考慮し、設計飛来物による衝撃荷重に対して、構造健全性が維持され、ディーゼル発電機燃料油貯油槽が安全機能を損なわない設計とする。

e. A1, A2-ディーゼル発電機燃料油貯油槽トレンチ及びB1, B2-ディーゼル発電機燃料油貯油槽トレンチ

A1, A2-ディーゼル発電機燃料油貯油槽トレンチ及びB1, B2-ディーゼル発電機燃料油貯油槽トレンチは、設計飛来物の衝突による影響を受け、開口部（蓋）が損傷する可能性があるため、当該トレンチ内の外部事象防護対象施設が安全機能を損なわないかを評価し、安全機能を損なう可能性がある場合には、竜巻飛来物防護対策設備である竜巻防護鋼板等の設置又は運用による竜巻防護対策を実施する。

f. 循環水ポンプ建屋

循環水ポンプ建屋は、風圧力による荷重、気圧差による荷重、設計飛来物による衝撃荷重及び常時作用する荷重又は設計飛来物の衝突による影響を受け、屋根、壁及び開口部（扉類）が損傷する可能性があるため、当該建屋内の外部事象防護対象施設が安全機能を損なわないかを評価し、安全機能を損なう可能性がある場合には、竜巻飛来物防護対策設備又は運用による竜巻防護対策を実施する。

(2) 屋内の施設で外気と繋がっている施設

外殻となる施設に内包され防護される外部事象防護対象施設のうち、外気と繋がっている施設は、設計荷重に対して、安全機能が維持

される設計とし、必要に応じて竜巻飛来物防護対策設備である竜巻防護鋼板の設置又は運用による竜巻防護対策を講じる方針とする。

- a. 換気空調設備（アニュラス空気浄化設備、格納容器空調装置、補助建屋空調装置、試料採取室空調装置、中央制御室空調装置、電動補助給水ポンプ室換気装置、制御用空気圧縮機室換気装置、ディーゼル発電機室換気装置及び安全補機開閉器室空調装置）

換気空調設備（アニュラス空気浄化設備、格納容器空調装置、補助建屋空調装置、試料採取室空調装置、中央制御室空調装置、電動補助給水ポンプ室換気装置、制御用空気圧縮機室換気装置、ディーゼル発電機室換気装置及び安全補機開閉器室空調装置）は、原子炉建屋（外部遮へい建屋）、竜巻防護鋼板の設置による竜巻防護対策を行う原子炉建屋（周辺補機棟）及び原子炉補助建屋に内包されていることを考慮すると、風圧力による荷重及び設計飛来物による衝撃荷重は作用しないことから、気圧差による荷重及び設備に常時作用する荷重に対して、構造健全性が維持され、安全機能を損なわない設計とする。

- b. 排気筒（建屋内）

排気筒（建屋内）は、竜巻防護鋼板の設置による竜巻防護対策を行う原子炉建屋（周辺補機棟）に内包されていることを考慮すると、風圧力による荷重及び設計飛来物による衝撃荷重は作用しないため、気圧差による荷重及び排気筒に常時作用する荷重に対して、構造健全性が維持され、安全機能を損なわない設計とする。

### (3) 外殻となる施設による防護機能が期待できない施設

外殻となる施設による防護機能が期待できない施設は、設計荷重に対して、安全機能が維持される設計とし、必要に応じて竜巻飛来物防護対策設備である竜巻防護ネット等の設置又は運用による竜巻防護対策を講じる方針とする。

- a. 使用済燃料ピット

設計飛来物が原子炉建屋（燃料取扱棟）の壁を貫通し使用済燃料ピットに侵入する場合でも、設計飛来物の衝撃荷重により、使用済燃料ピットのライニング及びコンクリートの一部が損傷して、ピット水が漏えいすることはほとんどなく、使用済燃料ピットの冷却機能及び遮蔽機能に影響しないことにより使用済燃料ピットが安全機能を損なわない設計とする。

- b. 使用済燃料ラック

設計飛来物が原子炉建屋（燃料取扱棟）の壁を貫通し使用済燃料ピットに侵入し使用済燃料ラックに衝突する場合でも、設計飛来物が使用済燃料ラックに貯蔵している燃料の燃料有効部に達することではなく、使用済燃料ラックに貯蔵している燃料の構造健全性が維持されることにより安全機能を損なわない設計とする。

c. 新燃料ラック

設計飛来物が原子炉建屋（燃料取扱棟）の壁を貫通し新燃料貯蔵庫に侵入し新燃料ラックに衝突する場合でも、設計飛来物が新燃料ラックに貯蔵している燃料の燃料有効部に達することではなく、新燃料ラックに貯蔵している燃料の構造健全性が維持されることにより安全機能を損なわない設計とする。

また、設計飛来物のうち鋼製パイプが新燃料ラックに衝突することがなく、新燃料ラックに貯蔵している燃料に直接衝突し、燃料の構造健全性が損なわれることを考慮して、竜巻防護鋼板の設置による竜巻防護対策を行うことにより、設計飛来物が新燃料ラックに貯蔵している燃料に直接衝突することを防止し、燃料の構造健全性が維持され安全機能を損なわない設計とする。

d. 燃料移送装置、使用済燃料ピットクレーン、燃料取扱棟クレーン、燃料取替キャナル、キャスクピット、燃料検査ピット

燃料移送装置、使用済燃料ピットクレーン、燃料取扱棟クレーン、燃料取替キャナル、キャスクピット、燃料検査ピットは、設計飛来物が原子炉建屋（燃料取扱棟）の壁を貫通し、燃料移送装置、使用済燃料ピットクレーン、燃料取扱棟クレーン、燃料取替キャナル、キャスクピット、燃料検査ピットに衝突し移送中又は取扱い中の燃料の構造健全性が損なわれることを考慮して、竜巻襲来が予想される場合には、燃料取扱作業を中止し、移送中の燃料は燃料移送装置にて原子炉建屋（外部遮へい建屋）内に移動する又は取扱い中の燃料は使用済燃料ピットクレーンにて使用済燃料ラックに貯蔵することにより、移送中又は取扱い中の燃料の構造健全性が維持され安全機能を損なわない設計とする。

なお、使用済燃料ピットクレーンは、使用済燃料ラック及び使用済燃料ラックに貯蔵している燃料に影響を及ぼさない待機位置への退避措置を行う。

e. 原子炉補機冷却海水ポンプ

原子炉補機冷却海水ポンプは、設計飛来物の衝突により貫通することを考慮し、竜巻防護ネットの設置による竜巻防護対策を行うこ

とにより、設計飛来物の衝突を防止し、風圧力による荷重、気圧差による荷重及び原子炉補機冷却海水ポンプに常時作用する荷重に対して、構造健全性が維持され、安全機能を損なわない設計とする。

f. 原子炉補機冷却海水ポンプ出口ストレーナ

原子炉補機冷却海水ポンプ出口ストレーナは、設計飛来物の衝突により貫通することを考慮し、竜巻防護ネットの設置による竜巻防護対策を行うことにより、設計飛来物の衝突を防止し、風圧力による荷重、気圧差による荷重及び原子炉補機冷却海水出口ストレーナに常時作用する荷重に対して、構造健全性が維持され、安全機能を損なわない設計とする。

g. 配管及び弁（原子炉補機冷却海水系）

配管及び弁（原子炉補機冷却海水系）は、設計飛来物の衝突により貫通することを考慮し、竜巻防護ネットの設置による竜巻防護対策を行うことにより、設計飛来物の衝突を防止し、風圧力による荷重、気圧差による荷重及び配管及び弁（原子炉補機冷却海水系）に常時作用する荷重に対して、構造健全性が維持され、安全機能を損なわない設計とする。

h. 原子炉補機冷却水サージタンク（配管及び弁含む）

原子炉補機冷却水サージタンク（配管及び弁含む）は、設計飛来物が原子炉建屋（周辺補機棟）の開口部建具である扉を貫通し、原子炉補機冷却水サージタンク（配管及び弁含む）に衝突し安全機能を損なうことを考慮して、竜巻防護壁の設置による竜巻防護対策を行うことにより、設計飛来物の原子炉補機冷却水サージタンク（配管及び弁含む）への衝突を防止し、原子炉補機冷却水サージタンク（配管及び弁含む）の構造健全性が維持され安全機能を損なわない設計とする。

i. 主蒸気系配管他

主蒸気系配管他は、設計飛来物が原子炉建屋（周辺補機棟）又はディーゼル発電機建屋の開口部建具であるブローアウトパネル、扉又はガラリを貫通し、主蒸気系配管他に衝突し安全機能を損なうことを考慮して、竜巻防護鋼板等で開口部建具の竜巻防護対策を行うことにより、設計飛来物の主蒸気系配管他への衝突を防止し、主蒸気系配管他の構造健全性が維持され安全機能を損なわない設計とする。

j. 制御用空気系配管

制御用空気系配管は、設計飛来物が原子炉補助建屋の開口部建具

である扉を貫通し、制御用空気系配管に衝突し安全機能を損なうことを考慮して、竜巻防護壁の設置による竜巻防護対策を行うことにより、設計飛来物の制御用空気系配管への衝突を防止し、制御用空気系配管の構造健全性が維持され安全機能を損なわない設計とする。

k. 蓄熱室加熱器

蓄熱室加熱器は、設計飛来物がディーゼル発電機建屋の開口部建具である扉又はガラリを貫通し、蓄熱室加熱器に衝突し安全機能を損なうことを考慮して、竜巻防護鋼板等の設置による竜巻防護対策を行うことにより、設計飛来物の蓄熱室加熱器への衝突を防止し、蓄熱室加熱器の構造健全性が維持され安全機能を損なわない設計とする。

1. ディーゼル発電機燃料油移送配管

ディーゼル発電機燃料油移送配管は、設計飛来物が A1, A2-ディーゼル発電機燃料油貯油槽トレンチ及び B1, B2-ディーゼル発電機燃料油貯油槽トレンチの蓋を貫通し、ディーゼル発電機燃料油移送配管に衝突し安全機能を損なうことを考慮して、竜巻防護鋼板等の設置による竜巻防護対策を行うことにより、設計飛来物のディーゼル発電機燃料油移送配管への衝突を防止し、ディーゼル発電機燃料油移送配管の構造健全性が維持され安全機能を損なわない設計とする。

(4) 外部事象防護対象施設等に波及的影響を及ぼし得る施設

外部事象防護対象施設等に波及的影響を及ぼし得る施設については、設計荷重による影響を受ける場合においても外部事象防護対象施設等に影響を及ぼさないよう、必要に応じて施設の補強、竜巻飛来物防護対策設備又は運用による竜巻防護対策を実施することにより、外部事象防護対象施設の安全機能を損なわない設計とする。

a. 循環水ポンプ建屋、タービン建屋、電気建屋及び出入管理建屋

循環水ポンプ建屋、タービン建屋、電気建屋及び出入管理建屋は、風圧力による荷重、気圧差による荷重、設計飛来物による衝撃荷重及び自重等の常時作用する荷重に対して、倒壊により外部事象防護対象施設等へ波及的影響を及ぼさない設計とする。

b. ディーゼル発電機排気消音器

ディーゼル発電機排気消音器は、設計飛来物の衝突により貫通することを考慮しても、ディーゼル発電機排気消音器が閉塞すること

がなく、ディーゼル発電機の排気機能が維持される設計とする。

さらに、ディーゼル発電機排気消音器が風圧力による荷重、気圧差による荷重及び自重等の常時作用する荷重に対して、構造健全性を維持し、安全機能を損なわない設計とし、外部事象防護対象施設であるディーゼル発電機に機能的影響を及ぼさない設計とする。

c. 主蒸気逃がし弁消音器

主蒸気逃がし弁消音器は、設計飛来物の衝突により貫通することを考慮しても、主蒸気逃がし弁消音器が損傷して閉塞することはない、主蒸気逃がし弁の排気機能が維持される設計とする。

さらに、主蒸気逃がし弁消音器が風圧力による荷重、気圧差による荷重及び自重等の常時作用する荷重に対して、構造健全性を維持し、安全機能を損なわない設計とする。

以上より、主蒸気逃がし弁消音器が、外部事象防護対象施設である主蒸気逃がし弁に機能的影響を及ぼさず、主蒸気逃がし弁が安全機能を損なわない設計とする。

d. 主蒸気安全弁排気管

主蒸気安全弁排気管は、設計飛来物の衝突により貫通することを考慮しても、主蒸気安全弁排気管が損傷して閉塞することはない、主蒸気安全弁の排気機能が維持される設計とする。

さらに、主蒸気安全弁排気管が風圧力による荷重、気圧差による荷重及び自重等の常時作用する荷重に対して、構造健全性を維持し、安全機能を損なわない設計とする。

以上より、主蒸気安全弁排気管が、外部事象防護対象施設である主蒸気安全弁に機能的影響を及ぼさず、主蒸気安全弁が安全機能を損なわない設計とする。

e. タービン動補助給水ポンプ排気管

タービン動補助給水ポンプ排気管は、設計飛来物の衝突により貫通することを考慮しても、タービン動補助給水ポンプ排気管が損傷して閉塞することはない、タービン動補助給水ポンプの機関の排気機能が維持される設計とする。

さらに、タービン動補助給水ポンプ排気管が風圧力による荷重、気圧差による荷重及び自重等の常時作用する荷重に対して、構造健全性を維持し、安全機能を損なわない設計とする。

以上より、タービン動補助給水ポンプ排気管が、外部事象防護対象施設であるタービン動補助給水ポンプに機能的影響を及ぼさず、タービン動補助給水ポンプが安全機能を損なわない設計とする。

f. ディーゼル発電機燃料油貯油槽ベント管

ディーゼル発電機燃料油貯油槽ベント管は、設計飛来物の衝突により貫通することを考慮しても、ディーゼル発電機燃料油貯油槽ベント管が閉塞することなく、ディーゼル発電機燃料油貯油槽のベント機能が維持される設計とする。

さらに、ディーゼル発電機燃料油貯油槽ベント管は風圧力による荷重、気圧差による荷重及び常時作用する荷重に対して、構造健全性を維持し、安全機能を損なわない設計とし、外部事象防護対象施設であるディーゼル発電機燃料油貯油槽に機能的影響を及ぼさない設計とする。

g. 換気空調設備（蓄電池室排気装置）

換気空調設備が原子炉補助建屋に内包されていることを考慮すると、風圧力による荷重及び設計飛来物による衝撃荷重は作用しない。気圧差による荷重及び設備に常時作用する荷重に対しては、換気空調設備の構造健全性が維持される設計とする。

以上より、換気空調設備が、外部事象防護対象施設である蓄電池に機能的影響を及ぼさず、蓄電池が安全機能を損なわない設計とする。

以上の評価対象施設等の防護設計を考慮して、設計竜巻から防護する評価対象施設及び竜巻防護対策等を第1.8.2.2表に、外部事象防護対象施設等に波及的影響を及ぼし得る施設及び竜巻防護対策等を第1.8.2.3表に、外部事象防護対象施設を内包する区画及び竜巻防護対策等を第1.8.2.4表に、竜巻飛来物防護対策設備概念図を第1.8.2.1図に示す。

#### 1.8.2.1.8 竜巻随伴事象に対する評価

竜巻随伴事象として、過去の竜巻被害事例及び発電所の施設の配置から、想定される事象である、火災、溢水及び外部電源喪失を抽出し、事象が発生する場合においても、外部事象防護対象施設の安全機能を損なわない設計とする。

##### (1) 火災

竜巻随伴事象として、設計竜巻による飛来物が建屋開口部付近の発火性又は引火性物質を内包する機器に衝突する場合及び屋外の危険物貯蔵施設等に飛来物が衝突する場合の火災が想定される。

建屋内については、飛来物が侵入する場合でも、建屋開口部付近には、発電用原子炉施設の安全機能を損なわせる可能性がある発火性又は引火性物質を内包する機器は配置されておらず、火災防護計画により適切に管理することから、設計竜巻により建屋内に火災が発生することはなく、建屋内の外部事象防護対象施設の安全機能を損なわない。

建屋外については、発電所敷地内の屋外にある危険物貯蔵施設等の火災がある。火災源と外部事象防護対象施設の位置関係を踏まえて火災の影響を評価した上で、外部事象防護対象施設が安全機能を損なわない設計とすることを「1.8.10 外部火災防護に関する基本方針」に記載する。

以上より、竜巻随伴事象としての火災に対して外部事象防護対象施設が安全機能を損なわない設計とする。

##### (2) 溢水

竜巻随伴事象として、設計竜巻による気圧低下の影響や飛来物が建屋開口部付近の溢水源に衝突する場合及び屋外タンク等に飛来物が衝突する場合の溢水が想定される。

外部事象防護対象施設を内包する建屋内については、飛来物が侵入する場合でも、建屋開口部付近に飛来物が衝突して外部事象防護対象施設の安全機能を損なう可能性がある溢水源が配置されておらず、設計竜巻により建屋内に溢水が発生することはない。また、建屋内は設計竜巻による気圧低下の影響を受けないことから建屋内の外部事象防護対象施設の安全機能を損なわない。

建屋外については、気圧低下の影響による屋外タンク等の破損は考え難いものの、設計竜巻による飛来物の衝突による屋外タンク等の破損に伴う溢水が想定されるが、「1.7 溢水防護に関する基本方針」にて、竜巻時の屋外タンク等の破損を想定し、溢水が安全系機器に影響

を及ぼさない設計としていることから、竜巻随伴事象による屋外タンク等が損傷して発生する溢水により外部事象防護対象施設の安全機能を損なわない。

以上より、竜巻随伴事象としての溢水に対して外部事象防護対象施設が安全機能を損なわない設計とする。

### (3) 外部電源喪失

設計竜巻又は設計竜巻と同時に発生する雷又はダウンバースト等の影響により送電網に関する施設等が損傷して外部電源喪失が発生する場合が想定される。

設計竜巻に対してディーゼル発電機の構造健全性を維持することにより、外部電源喪失の影響がなく外部事象防護対象施設の安全機能を損なわない設計とする。

### 1.8.2.2 手順等

竜巻に対する防護については、竜巻に対する影響評価を行い、安全施設が安全機能を損なわぬよう手順等を定める。

- (1) 屋外の作業区画で飛散するおそれのある資機材、車両等については、飛来時の運動エネルギー及び貫通力等を評価し、外部事象防護対象施設等への影響の有無を確認する。外部事象防護対象施設等に影響を及ぼす資機材、車両等については、固縛、固定、外部事象防護対象施設等から離隔、頑健な建屋内に収納又は撤去する。これら飛来物発生防止対策について手順を定める。
- (2) 竜巻の襲来が予想される場合及び竜巻襲来後において、外部事象防護対象施設等を防護するための操作・確認、補修等が必要となる事項について手順を定める。

### 1.8.2.3 参考文献

- (1) 雷雨とメソ気象 大野久雄、東京堂出版
- (2) 気象庁ホームページ
- (3) 一般気象学 小倉義光、東京大学出版会

第1.8.2.1表 泊発電所における設計飛来物

飛来物の種類	砂利	鋼製パイプ	鋼製材
サイズ(m)	長さ×幅×奥行 0.04×0.04×0.04	長さ×直径 2×0.05	長さ×幅×奥行 4.2×0.3×0.2
質量(kg)	0.18	8.4	135
最大水平速度 (m/s)	62	49	57
最大鉛直速度 (m/s)	42	33	38

第1.8.2.2表 設計竜巻から防護する評価対象施設及び竜巻防護対策等 (1/3)

設計竜巻から防護する評価対象施設	竜巻の最大風速条件	飛来物発生防止対策	防護設備 (外殻となる施設)	想定する設計飛来物	手順等
・原子炉補機冷却海水ポンプ ・原子炉補機冷却海水ポンプ 出口ストレーナ ・配管及び弁(原子炉補機冷却 海水系)			・竜巻飛来物防護対策 設備	・砂利	—
・原子炉補機冷却水サークル ンク(配管及び弁含む) ・制御用空気系配管			・施設を内包する施設 ・竜巻飛来物防護対策 設備	—	—
・主蒸気系配管他 ・蓄熱室加熱器	・100m/s	・固定 ・固縛	・施設を内包する施設 ・竜巻飛来物防護対策 設備	・竜巻襲来が 予想される 場合の扉 閉止確認	—
・ディーゼル発電機燃料油移 送配管		・外部事象 防護対象 施設等と の離隔	・施設を内包する施設 ・竜巻飛来物防護対策 設備	—	—
・排気筒(建屋外)			・鋼製材 —	・鋼製パイプ ・砂利	・補修
・使用済燃料ピット ・使用済燃料ラック			・施設を内包する施設 —	・鋼製材 ・鋼製パイプ ・砂利	—

第1.8.2.2表 設計竜巻から防護する評価対象施設及び竜巻防護対策等 (2/3)

設計竜巻から防護する評価対象施設	竜巻の最大風速条件	飛来物発生防止対策	防護設備(外殻となる施設)	想定する設計飛来物	手順等
・新燃料ラック			・施設を内包する施設 ・竜巻飛来物防護対策 設備	・鋼製材 ・鋼製パイプ ・砂利	—
・燃料移送装置 ・使用済燃料ピットクレーン ・燃料取扱棟クレーン ・燃料取替キャナ尔 ・キヤスクピット ・燃料検査ピット			・施設を内包する施設 ・固定 ・固縛	・鋼製材 ・鋼製パイプ ・砂利	・竜巻襲来が予想される場合の燃料取扱作業の中止
・排気筒(建屋内) ・換気空調設備(アニラス空気淨化設備, 格納容器空調装置, 制御用空氣圧縮機室換氣装置及びディーゼル発電機室換気装置)	・100m/s	・外部事象 防護対象 施設等と の離隔	・施設を内包する施設 ・竜巻飛来物防護対策 設備	・竜巻襲来が予想される場合の扉の閉止確認	—
・換気空調設備(補助建屋空調装置, 試料採取室空調装置, 中央制御室空調装置, 電動補助給水ポンプ室換氣装置及び安全補機開閉器室空調装置)			・施設を内包する施設	—	—

第1.8.2.2表 設計竜巻から防護する評価対象施設及び竜巻防護対策等 (3/3)

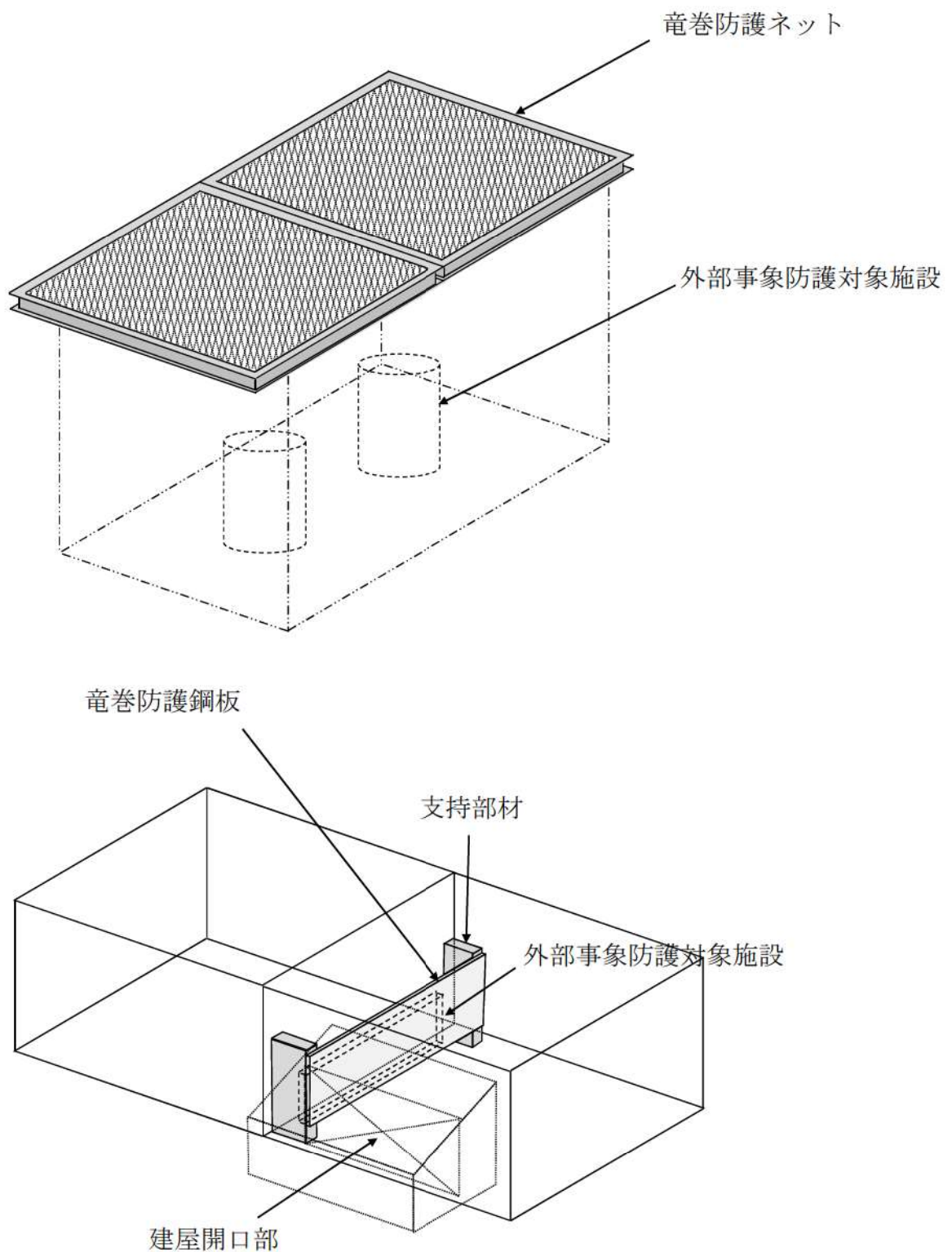
設計竜巻から防護する評価対象施設	竜巻の最大風速条件	飛来物発生防止対策	防護設備(外殻となる施設)	想定する設計飛来物	手順等
・ 安全重要度分類のクラス1及びクラス2に属する施設のうち上記以外の建屋、構築物内の施設	・ 固定 ・ 固縛	・ 施設を内包する施設	—	—	—
・ 安全重要度分類のクラス3に属する施設(下記以外の施設)	・ 100m/s ・ 外部事象 防護対象施設等との離隔	—	—	・ 代替設備の確保、補修、取替等	—
・ 安全評価上その機能に期待する構築物等(タービン保安装置及び主蒸気止め弁)	—	—	・ 鋼製パイプ ・ 砂利	・ 代替設備の 確保、補修、 取替等	—

第1.8.2.3表 外部事象防護対象施設等に波及的影響を及ぼし得る施設及び竜巻防護対策等

外部事象防護対象施設等に波及的影響を及ぼし得る施設	竜巻の最大風速条件	飛来物発生防止対策	防護設備(外殻となる施設)	想定する設計飛来物	手順等
循環水ポンプ建屋			—	・鋼製材 ・鋼製パイプ ・砂利	—
タービン建屋			—		
電気建屋			—		
出入管理建屋		・固定	—		
ディーゼル発電機排気消音器	・100m/s	・固定縛	—	・鋼製材 ・鋼製パイプ ・砂利	—
主蒸気逃がし弁消音器		・外部事象 防護対象 施設等と の離隔	—		
主蒸気安全弁排気管					
タービン動補助給水ポンップ排気管					
ディーゼル発電機燃料油貯油槽ベント管					
換気空調設備(蓄電池室排気装置)		・施設を内包する施設	—	—	—

第1.8.2.4表 外部事象防護対象施設を内包する区画及び竜巻防護対策等

外部事象防護対象施設 を内包する区画	竜巻の最大 風速条件	飛来物発生 防止対策	防護設備 (外殻となる施設)	想定する 設計飛来物	手順等
<ul style="list-style-type: none"> <li>・原子炉建屋（周辺補機棟）</li> <li>・ディーゼル発電機建屋</li> </ul>				<ul style="list-style-type: none"> <li>・竜巻襲来が 予想される 場合の扉の 閉止確認</li> </ul>	
<ul style="list-style-type: none"> <li>・原子炉建屋（外部遮へい建屋）</li> <li>・原子炉建屋（燃料取扱棟）</li> <li>・原子炉補助建屋</li> <li>・A1, A2-燃料油貯槽タンク室</li> <li>・B1, B2-燃料油貯槽タンク室</li> <li>・A1, A2-ディーゼル発電機燃料 油貯槽トレンチ</li> <li>・B1, B2-ディーゼル発電機燃料 油貯槽トレンチ</li> <li>・循環水ポンプ建屋</li> </ul>	<ul style="list-style-type: none"> <li>・固定</li> <li>・固縛</li> <li>・外部事象 防護対象 施設等と の離隔</li> <li>・100m/s</li> </ul>	<ul style="list-style-type: none"> <li>・鋼製材</li> <li>・鋼製パイプ</li> <li>・砂利</li> </ul>	<ul style="list-style-type: none"> <li>・</li> </ul>		



第1.8.2.1図 竜巻飛来物防護対策設備概念図

### (3) 適合性説明

#### (外部からの衝撃による損傷の防止)

第六条 安全施設（兼用キャスクを除く。）は、想定される自然現象（地震及び津波を除く。次項において同じ。）が発生した場合においても安全機能を損なわないものでなければならない。

- 2 重要安全施設は、当該重要安全施設に大きな影響を及ぼすおそれがあると想定される自然現象により当該重要安全施設に作用する衝撃及び設計基準事故時に生ずる応力を適切に考慮したものでなければならない。
- 3 安全施設（兼用キャスクを除く。）は、工場等内又はその周辺において想定される発電用原子炉施設の安全性を損なわせる原因となるおそれがある事象であって人為によるもの（故意によるものを除く。以下「人為による事象」という。）に対して安全機能を損なわないものでなければならない。

#### 適合のための設計方針

##### 第1項について

### (3) 龍巻

安全施設は、設計龍巻の最大風速 100m/s による風圧力による荷重、気圧差による荷重及び設計飛来物の衝撃荷重を組み合わせた荷重等に対して安全機能を損なわないために、飛来物の発生防止対策及び龍巻防護対策を行う。

#### a. 飛来物の発生防止対策

龍巻により発電所構内の資機材等が飛来物となり、外部事象防護対象施設等が安全機能を損なわないために、以下の対策を行う。

- ・外部事象防護対象施設等へ影響を及ぼす資機材及び車両については、固縛、固定、外部事象防護対象施設等及び龍巻飛来物防護対策設備からの離隔、頑健な建屋内収納又は撤去する。

#### b. 龍巻防護対策

固縛等による飛来物の発生防止対策ができないものが飛来し、安全施設が安全機能を損なわないように、以下の対策を行う。

- ・外部事象防護対象施設を内包する区画及び龍巻飛来物防護対策設備により、外部事象防護対象施設を防護し、構造健全性を維持し安全機能を損なわない設計とする。

- ・外部事象防護対象施設の構造健全性が維持できない場合には、代替設備の確保、損傷した場合の取替え又は補修が可能な設計とすることにより安全機能を損なわない設計とする。

ここで、竜巻は積乱雲や積雲に伴って発生する現象であり、積乱雲の発達時に竜巻と同時発生する可能性のある自然現象は、雷、雪、ひょう及び降水である。これらの自然現象の組合せにより発生する荷重は、設計竜巻荷重に含まれる。

## 1.3 気象等

### 9. 竜巻

#### 9.1 竜巻

竜巻影響評価は、「原子力発電所の竜巻影響評価ガイド（平成 25 年 6 月 19 日原規技発第 13061911 号原子力規制委員会決定）」（以下「ガイド」という。）に基づき実施する。

基準竜巻及び設計竜巻の設定は、竜巻検討地域の設定、基準竜巻の最大風速の設定及び設計竜巻の最大風速の設定の流れで実施する。

##### 9.1.1 竜巻検討地域の設定

発電所が立地する地域と、気象条件の類似性の観点で検討を行い、竜巻検討地域を設定する。

###### (1) 気候区分の確認

気象条件の類似性を確認するため、気候区分による確認を実施する。

泊発電所の立地地域は、第 9.1.1 図に示す一般的な気候区分<sup>(1)</sup>によれば、区分 I 2 に属する。

###### (2) 気象総観場の分析

気候区分の確認に加え気象条件の類似性の観点から、気象総観場ごとの竜巻発生位置を整理し、発電所と類似の地域を抽出する。竜巻発生要因の総観場は、気象庁「竜巻等の突風データベース」<sup>(2)</sup>を基に、「原子力発電所の竜巻影響評価ガイド（案）及び解説」<sup>(3)</sup>を参考に、台風、温帯低気圧、季節風（夏）、季節風（冬）、停滞前線、局地性及びその他の 7 つに分類する。第 9.1.1 表に総観場の分類法と発生分布の特徴を、第 9.1.2 図に全国で発生した竜巻の総観場ごとの F スケール別竜巻発生分布を示す。

ガイドでは、竜巻検討地域を設定する際に、IAEA の基準<sup>(4)</sup>が参考になるとされており、およそ 10 万 km<sup>2</sup> の範囲を目安とすることが挙げられている。

日本海側は太平洋側と気候的にも異なることを踏まえ、泊発電所を中心とする 10 万 km<sup>2</sup>（半径 180km）の範囲の沿岸を確認したところ、第 9.1.3 図に示すとおり、気候区分 I 2 が該当する。

日本海側と太平洋側の気候的な類似性が無いことについては、以下に示す総観場の観点からも確認を行っている。

竜巻検討地域として、第 9.1.3 図に示した 10 万 km<sup>2</sup>（半径 180km）の範囲が適切であるか、又はさらに広げたエリアを設定することが適切であるかについて、総観場を用い、その類似性を確認することで評価を行う。

総観場の確認において、泊発電所が立地する気候区分 I 2 のエリアとして、宗谷岬から襟裳岬までを対象とした。また、日本海側の地域は共通して「I. 裏日本気候区」に属しているため、気候区分 I 3 の日本海側（青森県から山形県まで）、気候区分 I 4（新潟

県から兵庫県まで) 及び気候区分 I 5 (鳥取県から山口県萩市付近まで) のエリアも対象とした。なお、気候区分 I 1 にあたる宗谷岬以西のオホーツク海沿岸部は、竜巻が発生していないため対象外とした。第 9.1.4 図にエリアごとの総観場の確認結果を示す。

### (3) 総観場の分析に基づく地域特性の確認

全国で発生した竜巻の総観場ごとの F スケール別竜巻発生分布 (第 9.1.2 図), 総観場ごとの確認結果 (第 9.1.2 表) 及び地域ごとの竜巻発生総観場及び寄与割合の比較結果

(第 9.1.4 図) より日本海側と太平洋側では竜巻発生要因となる気象条件 (総観場) が大きく異なっており、また、北海道から本州の日本海側及び北海道の襟裳岬以西は総観場的に類似性のあるエリアとして考慮する必要があると判断した。

### (4) 過去の竜巻集中地域に基づく地域特性の確認

日本で竜巻が集中する地域については、「原子力発電所の竜巻影響評価ガイド（案）及び解説」<sup>(3)</sup>に、全国 19箇所の竜巻集中地域が示されており、第 9.1.5 図に示すとおり、泊発電所は、竜巻集中地域②（北海道の後志地方・渡島地方・檜山地方の一部）に立地している。

気象庁「竜巻等の突風データベース」<sup>(2)</sup>によると、1961 年 1 月から 2012 年 6 月の 51.5 年間に発生が確認された竜巻の個数は竜巻集中地域②で 21 個であり、この期間に竜巻集中地域②で観測されている最も強い竜巻は F2 となる。

竜巻発生の影響評価の観点からすると、データ数は多い方がよいため、竜巻検討地域としては北海道から本州の日本海側及び北海道太平洋側の襟裳岬以西の海岸線を設定する。竜巻検討地域での竜巻個数は 209 個であり、観測された最も強い竜巻は F2 である。

なお、竜巻検討地域と竜巻集中地域②の竜巻発生確率は、 $1.0 \times 10^{-4}$ ,  $1.1 \times 10^{-4}$  (個／年／km<sup>2</sup>) であり、単位面積当たりの竜巻発生数はおおむね同程度である。竜巻集中地域②における竜巻の観測記録は 21 事例とかなり少なく、影響評価を行うにはデータ数が乏しい。

竜巻の地域特性を確認するため、第 9.1.6 図に示すとおり、竜巻集中地域②と竜巻検討地域、竜巻集中地域②に隣接する竜巻集中地域①（北海道の宗谷地方・留萌地方の一部）と⑯（北海道の胆振地方・日高地方の一部）における総観場の比較を行い、いずれの地域でも“季節風（冬）”と“温帯低気圧”が竜巻発生の主要因となっており、竜巻の発生要因には共通性がある。

### (5) 突風関連指数に基づく地域特性の確認

気候区分及び総観場での検討に加え、大きな被害をもたらす強い竜巻の発生要因となる環境場の形成のしやすさについての地域特性を確認するため、気象庁や米国気象局においても竜巻探知・予測に活用されており、竜巻の発生しやすさを数値的に示すことができる突風関連指数を用いて地域特性の確認を行った。

大きな被害をもたらす竜巻の親雲の多くはスーパーセルであり、スーパーセルが発生

しやすい環境場として、大気下層の鉛直シア（異なる高度間での風向・風速差）と、強い上昇気流を発生させるきっかけとしての不安定な大気場が必要であることから、突風関連指数としては、竜巻の発生実態を解明する研究において国内外で広く利用され、大気の不安定度を表す指標である「CAPE」、鉛直シアに伴って発生する水平渦度が親雲に取り込まれる度合いを表す指標である「SReH」を採用し、両者の指標が同時に高くなる頻度について、地域的な特徴を確認する分析を実施する。また、両者をかけ合わせた指標「EHI」による分析も実施し、SReH 及び CAPE の同時超過頻度分析との比較を実施する（第 9.1.7 図、第 9.1.8 図）。

突風関連指数による、大規模な竜巻形成につながる環境場の発生頻度分析を行った結果、東北地方太平洋側及び日本海側は、茨城県以西の太平洋側と地域特性の違いがあることを確認した。

#### (6) 竜巻検討地域

発電所に対する竜巻検討地域について、「気候区分の確認」、「総観場の分析に基づく地域特性の確認」、「過去の竜巻集中地域に基づく地域特性の確認」及び「突風関連指数に基づく地域特性の確認」により地域特性を確認し、北海道から本州の日本海側及び北海道の襟裳岬以西の海岸線から陸側及び海側それぞれ 5 km の範囲を竜巻検討地域に設定する（面積約 38,895km<sup>2</sup>）。

第 9.1.9 図に竜巻検討地域を示す。

### 9.1.2 基準竜巻の最大風速 ( $V_B$ ) の設定

基準竜巻の最大風速は、過去に発生した竜巻による最大風速 ( $V_{B1}$ ) 及び竜巻最大風速のハザード曲線による最大風速 ( $V_{B2}$ ) のうち、大きな風速を設定する。

#### (1) 過去に発生した竜巻による最大風速 ( $V_{B1}$ )

過去に発生した竜巻による最大風速の設定に当たっては、日本で過去に発生した最大の竜巻は F3 であり、F スケールと風速の関係より風速は 70m/s～92m/s であることから、日本で過去に発生した最大竜巻 F3 の風速範囲の上限値 92m/s を  $V_{B1}$  とする。

第 9.1.3 表に日本で過去に発生した F3 竜巻の観測記録を示す。

#### (2) 竜巻最大風速のハザード曲線による最大風速 ( $V_{B2}$ )

竜巻最大風速のハザード曲線は、ガイドに従い、既往の算定方法に基づき、具体的には「竜巻による原子力施設への影響に関する調査研究」<sup>(5)</sup>を参照して、算定する。本評価は、竜巻データの分析、竜巻風速、被害幅及び被害長さの確率密度分布の算定、相関係数の算定、並びにハザード曲線の算定によって構成される。

竜巻最大風速のハザード曲線の算定は、竜巻検討地域（海岸線から陸側及び海側それぞれ 5 km の範囲）の評価及び竜巻検討地域を海岸線に沿って 1 km 範囲ごとに短冊状に細分化した場合の評価の 2 とおりで算定し、そのうち大きな風速を設定する。

##### a. 海岸線から陸側及び海側それぞれ 5 km 全域の評価

本評価では、竜巻検討地域外で発生して竜巻検討地域内に移動した竜巻も発生数にカウントする。被害幅及び被害長さは、それぞれ被害全幅及び被害全長を用いる。

##### b. 竜巻の発生頻度の分析

気象庁「竜巻等の突風データベース」<sup>(2)</sup>を基に、1961 年～2012 年 6 月までの 51.5 年間の統計量を F スケール別に算出する。第 9.1.10 図に気象庁「竜巻等の突風データベース」<sup>(2)</sup>による 1961 年～2012 年までの竜巻年別発生確認数を示す。なお、観測体制の変遷による観測データ品質のばらつきを踏まえ、以下の(a)～(c)の基本的な考え方に基づいて整理を行う。

- (a) 被害が小さくて見過ごされやすい F0 及び F スケール不明竜巻に対しては、観測体制が強化された 2007 年以降の年間発生数及び標準偏差を用いる。
- (b) 被害が比較的軽微な F1 竜巻に対しては、観測体制が整備された 1991 年以降の年間発生数や標準偏差を用いる。
- (c) 被害が比較的大きく見逃されることないと考えられる F2 及び F3 竜巻に対しては、観測記録が整備された 1961 年以降の全期間の年間発生数や標準偏差を用いる。また、F スケール不明の竜巻については、以下の取扱いを行う。

陸上で発生した竜巻（以下「陸上竜巻」という。）及び海上で発生して陸上へ移動した竜巻については、被害があつて初めてその F スケールが推定されるため、陸上での F スケ

ール不明の竜巻は、被害が少ない F0 竜巻とみなす。

海上で発生し、その後上陸しなかった竜巻（以下「海上竜巻」という。）については、その竜巻のスケールを推定することは困難であることから、「海岸線から海上 5 km の範囲における海上竜巻の発生特性が、海岸線から内陸 5 km の範囲における地上竜巻の発生特性と同様である。」という仮定に基づいて各 F スケールに分類する。

その結果、F スケール不明の海上竜巻の取扱いにより、第 9.1.4 表のとおり観測実績に対して保守性を高めた評価としている。

また、同表の分析結果に基づき竜巻最大風速のハザード曲線の算出に使用する竜巻の発生数を第 9.1.5 表に示す。

#### c. 年発生数の確率密度分布の設定

ハザード曲線の評価に当たっては、竜巻は気象事象の中でも極めてまれに発生する事象であり、発生数の変動（標準偏差）が大きい分布であることから、「竜巻による原子力施設への影響に関する調査研究」<sup>(5)</sup>にならって竜巻の発生がポアソン過程に従うと仮定し、使用する竜巻年発生数の確率密度分布はポリヤ分布を採用する。

竜巻年発生数の確率分布の設定には、ポアソン分布とポリヤ分布が考えられる。

ポアソン分布は、生起確率が正確に分からぬまゝ現象の場合に有用な分布である。一方、ポリヤ分布は、ガイドにおいて推奨されているポアソン分布を一般化したものであり、発生状況が必ずしも独立でないまゝ現象（ある事象が生ずるのはまれであるが、一旦ある現象が発生するとその周囲にもその現象が生じやすくなる性質）の場合に有用な分布である（例えば、伝染病の発生件数）。台風や前線により竜巻が発生した場合、同時多発的に複数の竜巻が発生する状況が考えられるため、ポリヤ分布の方が実現象をより反映できると考えられる。

また、国内を対象とした竜巻の年発生数の分布の適合性に関する検討結果は、「竜巻による原子力施設への影響に関する調査研究」<sup>(5)</sup>に示されており、地上及び海上竜巻の両方の発生数について、ポリヤ分布の適合性がポアソン分布に比べて優れているとしている。

発電所の竜巻検討地域で発生した竜巻を対象に、発生数に関するポアソン分布及びポリヤ分布の適合性を評価した結果、竜巻検討地域においても、ポリヤ分布の適合性がポアソン分布に比べて優れていることを確認している（第 9.1.11 図）。

なお、ポリヤ分布は、年発生数の年々変動の実態をポアソン分布よりも適合性が高い形で表現できることを確認している（第 9.1.12 図、第 9.1.13 図）。

#### d. 竜巻風速、被害幅及び被害長さの確率分布並びに相関係数

竜巻検討地域における 51.5 年間の竜巻の発生数、被害幅及び被害長さを基に、確率密度分布についてはガイド及びガイドが参考としている「竜巻による原子力施設への影響に関する調査研究」<sup>(5)</sup>を参照し、対数正規分布に従うものとする（第 9.1.14 図～第 9.1.19 図）。

なお、疑似的な竜巻の作成に伴う被害幅又は被害長さの情報がない竜巻には、被害幅又は被害長さを有する竜巻の観測値を与えていた。その際は、被害幅又は被害長さが大きいほうから優先的に用いることで、被害幅又は被害長さの平均値が大きくなるように工夫しているとともに、被害幅又は被害長さ 0 のデータについては計算に用いておらず、保守的な評価を行っている。

このように、前述の F スケール不明の竜巻の取扱い等も含め、データについては保守的な評価となる取扱いを行っている。また、1961 年以降の観測データのみを用いて、竜巻風速、被害幅及び被害長さについて相関係数を求める（第 9.1.6 表）。

#### e. 竜巻影響エリアの設定

竜巻影響エリアは、発電所の評価対象施設等の面積及び設置位置を考慮して、評価対象施設等を包絡する円形のエリア（直径 920m、面積約 664,000m<sup>2</sup>）として設定する（第 9.1.20 図）。

なお、竜巻影響エリアを円形とするため、竜巻の移動方向には依存性は生じない。

#### f. ハザード曲線の算定

T 年以内にいずれかの竜巻に遭遇し、かつ竜巻風速が  $V_0$  以上となる確率を求め、ハザード曲線を求める。

前述のとおり、竜巻の年発生数の確率密度分布としてポリヤ分布の適合性が高い。ポリヤ分布は式（1）<sup>(6)</sup>で示される。

$$P_T(N) = \frac{(\nu T)^N}{N!} (1 + \beta \nu T)^{-N-1/\beta} \prod_{k=1}^{N-1} (1 + \beta k) \quad (1)$$

ここで、

$N$  : 竜巻の年発生数

$\nu$  : 竜巻の年平均発生数

$T$  : 年数

$\beta$  は分布パラメータであり式（2）で示される。

$$\beta = \left( \frac{\sigma^2}{\nu} - 1 \right) \times \frac{1}{\nu} \quad (2)$$

ここで、

$\sigma$  : 竜巻の年発生数の標準偏差

竜巻影響評価の対象となる構造物が風速  $V_0$  以上の竜巻に遭遇する事象を D と定義し、竜巻影響評価の対象構造物が 1 つの竜巻に遭遇し、その竜巻の風速が  $V_0$  以上となる確率を  $R(V_0)$  としたとき、T 年以内にいずれかの竜巻に遭遇し、かつ竜巻風速が  $V_0$  以上と

なる確率は式(3)で示される。

$$P_{V_0,T}(D) = 1 - [1 + \beta v R(V_0)T]^{-1/\beta} \quad (3)$$

この  $R(V_0)$  は、竜巻影響評価の対象地域の面積を  $A_0$  (つまり竜巻検討地域の面積約 38,895km<sup>2</sup>)、1つの竜巻の風速が  $V_0$  以上となる面積を  $DA(V_0)$  とすると式(4)で示される。

$$R(V_0) = \frac{E[DA(V_0)]}{A_0} \quad (4)$$

ここで、 $E[DA(V_0)]$  は、 $DA(V_0)$  の期待値を意味する。

本評価では、以下のようにして  $DA(V_0)$  の期待値を算出し、式(4)により  $R(V_0)$  を推定して、式(3)により  $P_{V_0,T}(D)$  を求める。風速を  $V$ 、被害幅  $w$ 、被害長さ  $l$ 、移動方向  $\alpha$  及び構造物の寸法を  $A, B$  とし、 $f(V, w, l)$  等の同時確率密度関数を用いると、 $DA(V_0)$  の期待値は式(5)<sup>(7)</sup>で示される。

$$\begin{aligned} E[DA(V_0)] &= \int_0^\infty \int_0^\infty \int_{V_0}^\infty W(V_0) f(V, w, l) dV dw dl \\ &+ \int_0^{2\pi} \int_0^\infty \int_{V_0}^\infty H(\alpha) f(V, l, \alpha) dV dl d\alpha + \int_0^{2\pi} \int_0^\infty \int_{V_0}^\infty W(V_0) G(\alpha) f(V, w, \alpha) dV dw d\alpha \\ &+ AB \int_{V_0}^\infty f(V) dV \end{aligned} \quad (5)$$

ここで、式(5)の右辺第1項は、竜巻の被害幅と被害長さの積、つまり被害面積を表しており、いわゆる点構造物に対する被害、第2項及び第3項は、被害長さ・被害幅と構造物寸法の積、つまり構造物の被害面積を表す。第4項は構造物面積  $AB$  に依存する項を示す。

また、 $W(V_0)$  は竜巻風速が  $V_0$  以上となる幅であり、式(6)<sup>(7)(8)</sup>で示される。この式により、被害幅内の風速分布に応じて被害様相に分布があることが考慮されている。

$$W(V_0) = \left( \frac{V_{min}}{V_0} \right)^{1/1.6} w \quad (6)$$

ここで、

$V_{min}$  : 被害幅  $w$  内の最小竜巻風速

$V_0$  : 被害が発生する最小風速

係数の 1.6 について、既往の研究では例えば 0.5 や 1.0 等の値も提案されている。ガイドにて参照している Garson et al.<sup>(8)</sup>では、観測値が不十分であるため 1.6 を用いることが推奨されており、本検討でも 1.6 を用いる。また、泊発電所の竜巻影響評価では、ランキン渦モデルによる竜巻風速分布に基づいて設計竜巻の特性値等を設定している。

ランキン渦モデルは高さ方向によって風速及び気圧が変化しないため、地表から上空まで式(6)を適用できる。なお、式(6)において係数を1.0とした場合がランキン渦モデルに該当する。

$H(\alpha)$ 及び $G(\alpha)$ はそれぞれ、竜巻の被害長さ及び被害幅方向に沿った面にリスク評価対象構造物を投影した時の長さであり、式(7)で示される。

$$\begin{aligned} H(\alpha) &= B|\sin\alpha| + A|\cos\alpha| \\ G(\alpha) &= A|\sin\alpha| + A|\cos\alpha| \end{aligned} \quad (7)$$

本評価ではリスク評価対象構造物を円形構造物（竜巻影響エリア）で設定しているため、 $H(\alpha)$ 、 $G(\alpha)$ ともに竜巻影響エリアの直径920mで一定（竜巻の移動方向に依存しない）となる。円の直径を $D_0$ とした場合の計算式は式(8)で示される。

$$\begin{aligned} E[DA(V_0)] &= \int_0^{\infty} \int_0^{\infty} \int_{V_0}^{\infty} W(V_0) f(V, w, l) dV dw dl \\ &+ D_0 \int_0^{\infty} \int_{V_0}^{\infty} l f(V, l) dV dl + D_0 \int_0^{\infty} \int_{V_0}^{\infty} W(V_0) f(V, w) dV dw \\ &+ \left(D_0^2 \pi / 4\right) \int_{V_0}^{\infty} f(V) HV \end{aligned} \quad (8)$$

また、風速の積分範囲の上限値はハザード曲線の形状が不自然にならない程度に大きな値として120m/sに設定する。

$V_{\min}$ は、竜巻被害が発生する最小風速であり、Garsonはgale intensity velocityと呼んでいる（Galeとは非常に強い風の意）。米国の気象局（National Weather Service）では、34~47ノット（17.5~24.2m/s）とされている。日本の気象庁では、気象通報にも用いられている風力階級において、風力8が疾強風（gale, 17.2~20.7m/s）、風力9は大強風（strong gale, 20.8~24.4m/s）と分類されており、風力9では「屋根瓦が飛ぶ。人家に被害が出始める」とされている。

以上より、これらの風速を包括するよう、 $V_{\min}=25\text{m/s}$ とした。この値は、F0(17~32m/s)のほぼ中央値に相当する。

海岸線から陸側及び海側それぞれ5km範囲を対象に算定したハザード曲線より、年超過確率 $10^{-5}$ における風速を求めると、67.9m/sとなる（第9.1.21図）。

#### g. 1km範囲に細分化した評価

1km範囲ごとに細分化した評価は、1km幅は変えずに順次ずらして移動するケース（短冊ケース）を設定して評価する。評価の条件として、被害幅及び被害長さは、それぞれ1km範囲内の被害幅及び被害長さを用いている。上記評価条件に基づいて、海岸線から陸側及び海側それぞれ5km範囲の評価と同様の方法でハザード曲線を算定する。

これら算定したハザード曲線より、年超過確率 $10^{-5}$ における風速を求めると、海側0

km～1 kmを対象とした場合の70.7m/sが最大となる（第9.1.22図）。

h. 竜巻最大風速のハザード曲線による最大風速 ( $V_{B2}$ )

海岸線から陸側及び海側それぞれ5 km全域（竜巻検討地域）の評価と1 km範囲ごとに細分化した評価を比較して、竜巻最大風速のハザード曲線により設定する最大風速 $V_{B2}$ は、ガイドを参考に年超過確率 $10^{-5}$ に相当する風速とし、70.7m/sとする（第9.1.23図）。

(3) 基準竜巻の最大風速 ( $V_B$ )

過去に発生した竜巻による最大風速  $V_{B1}=92\text{m/s}$  及び竜巻最大風速のハザード曲線による最大風速  $V_{B2}=70.7\text{m/s}$  より、発電所における基準竜巻の最大風速  $V_B$  は 92m/s とする。

### 9.1.3 設計竜巻の最大風速 ( $V_D$ ) の設定

発電所が立地する地域の特性として、周辺の地形や竜巻の移動方向を考慮して、基準竜巻の最大風速の割り増しを検討し、設計竜巻の最大風速を設定する。

#### 9.1.3.1 地形効果による竜巻風速への影響

地形効果が竜巻強度に及ぼす影響に関する知見として、(1)地形起伏による影響、(2)地表面粗度による影響、について既往の研究において示されており、その知見を踏まえ、発電所周辺の地形効果による竜巻の増幅可能性について検討する。

##### (1) 地形起伏による影響

竜巻のような回転する流れでは、角運動量保存則により「回転の中心からの距離」及び「周方向の回転速度」の積が一定になるという性質がある。そのため、竜巻の渦が上り斜面を移動する時、基本的に渦は弱まり、下り斜面を移動する時には強まる。

##### (2) 地表面粗度による影響

風は地表面の細かな凸凹が与える摩擦抵抗の影響を受けやすく、風速は、地表面において0となり上空に向かうにつれて増加する。地表面粗度は竜巻の旋回流を減衰させる効果を有し、地表面粗度の構成物が飛来物として運動することで風速が減衰することも示唆されている。

### 9.1.3.2 発電所周辺の地形

発電所周辺の地形を第9.1.24図、発電所周辺の地表面粗度を第9.1.25図、発電所周辺の標高及び防潮堤高さを第9.1.26図に示す。発電所が立地する敷地は、敷地前面（北西～南西方向）が日本海に面し、背後は積丹半島中央部の山嶺に続く標高40mから130mの丘陵地である。

### 9.1.3.3 竜巻の移動方向の分析

竜巻検討地域で発生した竜巻のうち移動方向が判明している竜巻の移動方向を確認した結果（第9.1.27図）、多くが海側から陸側の方向に移動していた。

147個の発生竜巻の内、竜巻の移動方向が海上から陸側へ向かう方向（東側方向）が129個で88%を占めている。以上より、泊発電所付近の竜巻は、海上から陸側へ向かう方向が卓越している。

竜巻の移動方向の分析結果から、泊発電所への竜巻の進入ルートは、地形が平坦な海側からとなる可能性が高い。

### 9.1.3.4 竜巻風速の増幅に関する検討

竜巻検討地域で発生した竜巻は、海側から陸側に進入する可能性が高く、竜巻が増幅することはないと考えられる。竜巻が海上から発電所に進入してきた場合は、地表面粗度の

影響を受けて竜巻は減衰した後、さらに防潮堤（T.P. 16.5m）で減衰するため、竜巻による施設への影響は限定的となると考えられる。また、山側から発電所の敷地に移動してきた場合についても、発電所周辺は広い丘陵地に森林が存在しており、森林による粗度の影響を大きく受けるため減衰する。

したがって、地形効果による竜巻の増幅の影響は受けないものと考えられる。

#### 9.1.3.5 設計竜巻の最大風速 ( $V_D$ )

発電所では、地形効果による竜巻の増幅を考慮する必要はないと考えるが、将来的な気候変動による竜巻発生の不確実性を考慮し、設計竜巻の最大風速  $V_D$  は、基準竜巻の最大風速 92m/s を安全側に切り上げた 100m/s とする。

#### 9.1.4 設計竜巻の特性値

竜巻風速場として評価ガイドに示されるランキン渦モデルを用いた設計竜巻の特性値は、第 9.1.7 表のとおり設定する。

##### (1) 設計竜巻の移動速度 ( $V_T$ )

設計竜巻の移動速度 ( $V_T$ ) は、ガイドに基づき、「竜巻による原子力施設への影響に関する調査研究」<sup>(5)</sup>による風速場モデルに依存しない日本の竜巻の観測記録に基づいた竜巻移動速度（平均値）と最大風速との関係を参照して設定されている以下の算定式を用いて、 $V_D$  から  $V_T$  を算定する。

$$V_T = 0.15 \cdot V_D$$

##### (2) 設計竜巻の最大接線風速 ( $V_{Rm}$ )

設計竜巻の最大接線風速 ( $V_{Rm}$ ) は、ガイドに基づき、米国 NRC の基準類<sup>(9)</sup>を参考に設定されている風速場モデルに依存しない以下の式を用いて算定する。

$$V_{Rm} = V_D - V_T$$

##### (3) 設計竜巻の最大接線風速が生じる位置での半径 ( $R_m$ )

設計竜巻の最大接線風速が生じる位置での半径 ( $R_m$ ) は、ガイドに基づき、「竜巻による原子力施設への影響に関する調査研究」<sup>(5)</sup>による日本の竜巻の観測記録を基に提案された風速場モデルに準拠して以下の値を用いる。

$$R_m = 30 \text{ (m)}$$

##### (4) 設計竜巻の最大気圧低下量 ( $\Delta P_{max}$ )・最大気圧低下率 ( $(dp/dt)_{max}$ )

設計竜巻の最大気圧低下量 ( $\Delta P_{max}$ )・最大気圧低下率 ( $(dp/dt)_{max}$ ) は、ガイドに基づき、米国 NRC の基準類<sup>(14)</sup>を参考に設定されているランキン渦モデルによる風速分布に基づいて、以下の式を用いて算定する。

$$\Delta P_{max} = \rho \cdot V_{Rm}^2$$

$$(dp/dt)_{\max} = (V_t/R_m) \cdot \Delta P_{\max}$$

## 9.2 参考文献

- (1) 関口武「日本の気候区分」東京教育大学地理学研究報告（1959）
- (2) 気象庁 竜巻等の突風データベース
- (3) 井上博登, 福西史郎, 鈴木哲夫, 2013:原子力発電所の竜巻影響評価ガイド（案）及び解説, 独立行政法人原子力安全基盤機構, JNES-RE-2013-9009
- (4) IAEA Safety Standards, Meteorological and Hydrological Hazards in Site Evaluation for Nuclear Installations, Specific Safety Guide No. SSG-18, 2011
- (5) 東京工芸大学 (2011) : 平成 21~22 年度原子力安全基盤調査研究 (平成 22 年度) 竜巻による原子力施設への影響に関する調査研究, 独立行政法人原子力安全基盤機構
- (6) Wen. Y. K and Chu. S. L. (1973) : Tornado Risks and Design Wind Speed, Journal of the Structural Division, Proceedings of American Society of Civil Engineering, Vol. 99, No. ST12, pp. 2409-2421
- (7) Garson. R. C., Morla-Catalan J. and Cornell C. A. (1975) : Tornado Design Winds Based on Risk, Journal of the Structural Division, Proceedings of the American Society of Civil Engineers, Vol. 101, No. ST9, pp. 1883-1897
- (8) Garson. R. C., Morla-Catalan J. and Cornell C. A. (1975) : Tornado Risk Evaluation Using Wind Speed Profiles, Journal of the Structural. Division, Proceedings of American Society of Civil Engineering, Vol. 101, No. ST5, pp. 1167-1171
- (9) U. S. Nuclear Regulatory Commission, Regulatory Guide 1.76: Design- Basis Tornado and Tornado Missiles for Nuclear Power Plants, Revision 1, March 2007.

第9.1.1表 総観場の分類と特徴

総観場	気象庁竜巻データベースの分類	特徴
台風	台風	台風を取り巻く雲が竜巻を発生させる。関東以西の太平洋側で発生頻度が高く、F3 竜巻も多くみられる。
温帯低気圧	南岸低気圧, 日本海低気圧, 二つ玉低気圧, 東シナ海低気圧, オホーツク海低気圧, その他(低気圧), 寒冷前線, 温暖前線, 閉塞前線	寒気と暖気が接し傾圧不安定による組織的な雲が形成する環境場。主に南からの下層の暖湿流が親雲の発達に重要な働きをするため、暖湿流が山岳等で遮られない関東以西の太平洋側で発生頻度が高く、F3 竜巻も見られる。 日本海側での頻度は比較的低め。
季節風(夏)	暖気の移流, 热帯低気圧, 湿舌, 太平洋高気圧	暖湿流が主要因で親雲を形成する環境場。 関東以西の太平洋側や内陸で多く確認されている。
季節風(冬)	寒気の移流, 気圧の谷, 大陸高気圧, 季節風	大気上層に寒気が流入することで大気が不安定になり、竜巻の親雲が形成する環境場。 寒気は北～西から移流することが多いため、日本海側や関東以北で発生頻度が高い。
停滞前線	停滞前線, 梅雨前線, 前線帯, 不安定線, その他(前線)	南からの暖湿流により親雲が形成されやすく、関東以西の太平洋側や内陸で発生頻度が高い。
局地性	局地性じょう乱, 雷雨(熱雷), 雷雨(熱雷を除く), 地形効果, 局地性降水	局地的な循環により親雲が形成する環境場。内陸で発生頻度が高い。
その他	移動性高気圧, 中緯度高気圧, オホーツク海高気圧, 帯状高気圧, その他(高気圧), 大循環異常, その他	上記に当てはまらない環境場。全体的に個数は少ない。

第9.1.2表 総観場ごとの竜巻発生分布の傾向

総観場	傾向
台風	<ul style="list-style-type: none"> <li>・太平洋側で多く発生しており日本海側では確認されていない。規模的には、関東以西の太平洋側ではF3を含む規模の大きな竜巻が発生しているが、東北地方太平洋側ではF1竜巻が1件発生しているのみである。</li> <li>・関東地方、中部地方の太平洋側及び九州地方の太平洋側では発生が集中しており、これらの地域は太平洋側の竜巻集中地域に整理されている。</li> <li>・台風は北上（低緯度から中高緯度に移動）するに従い減衰するため、東北地方や北海道など、北部での発生数は少なく、規模も小さくなると考えられる。本州に接近・上陸する台風の減衰は、地表面摩擦の増大による風速の減衰に加え、海水温が低下するため、台風の維持、発達に必要な海から供給される水蒸気量が減少し減衰する。</li> </ul>
温帯低気圧	<ul style="list-style-type: none"> <li>・温帯低気圧起因の竜巻は全国で発生しているが、規模的には太平洋側でF3竜巻が発生しているのに対し、日本海側ではF2竜巻が最大となっている。</li> <li>・暖湿流が山岳等で遮られない関東以西の太平洋側で多くのF3竜巻の発生が確認できる。</li> <li>・日本海側では、寒冷前線やその通過後の寒気の流入により発達した親雲にて発生する竜巻が多い。西側に開けた地域で多く見られ、北海道南西部、日高地方南西部、青森から山形の海岸線沿い、などで多くの竜巻の発生がみられる。</li> </ul>
季節風（夏）	<ul style="list-style-type: none"> <li>・季節風（夏）起因の竜巻は全国で発生しているが、関東以西の太平洋側や内陸で多く発生している。</li> <li>・規模的には、太平洋側でF3竜巻が発生しているのに対し、日本海側ではF2竜巻が最大となっている。</li> </ul>
季節風（冬）	<ul style="list-style-type: none"> <li>・季節風（冬）起因の竜巻は、九州を除く日本海側地域に多く発生している。規模的には、北海道日本海側ではF2竜巻が1件発生しているのみで、F3竜巻は発生していない。</li> <li>・太平洋側では、大気下層に暖気が流入すると、大気が不安定になり親雲が発達しやすい環境が形成されるため、強い竜巻の発生が多くみられ、F3竜巻が最大となっている。</li> </ul>
停滞前線	<ul style="list-style-type: none"> <li>・関東以西の太平洋側や内陸で発生頻度が高く、日本海側ではF2竜巻が1件発生している。</li> </ul>
局地性	<ul style="list-style-type: none"> <li>・地形的な影響によるものであり、全国で発生している。</li> </ul>
その他	<ul style="list-style-type: none"> <li>・全国的に発生数は少なく、地域差はみられない。</li> </ul>

第9.1.3表 日本で過去に発生したF3竜巻  
(気象庁「竜巻等の突風データベース」より作成)

Fスケール	発生日時	発生場所緯度	発生場所経度	発生場所
F3	1971年07月07日07時50分	35度52分45秒	139度40分13秒	埼玉県浦和市
F3	1990年12月11日19時13分	35度25分27秒	140度17分19秒	千葉県茂原市
F3	1999年09月24日11時07分	34度42分4秒	137度23分5秒	愛知県豊橋市
F3	2006年11月07日13時23分	43度58分39秒	143度42分12秒	北海道網走支庁佐呂間町
F3	2012年05月06日12時35分	36度6分38秒	139度56分44秒	茨城県常総市

第9.1.4表 竜巻発生数の分析結果

竜巻検討地域 (沿岸±5km)	発生数 の統計	小計	竜巻スケール				不明		総数
			F0	F1	F2	F3	(陸上)	(海上)	
1961～ 2012/6 (51.5年間)	期間内総数	87	29	45	13	0	12	110	209
	平均値(年)	1.69	0.56	0.87	0.25	—	0.23	2.14	4.06
	標準偏差(年)	2.53	1.99	1.03	0.52	—	0.68	5.89	7.91
1991～ 2012/6 (21.5年間)	期間内総数	58	29	26	3	0	11	110	179
	平均値(年)	2.70	1.35	1.21	0.14	—	0.51	5.12	8.33
	標準偏差(年)	3.49	2.95	1.15	0.36	—	0.98	8.37	10.98
2007～ 2012/6 (5.5年間)	期間内総数	31	25	6	0	0	5	92	128
	平均値(年)	5.64	4.55	1.09	—	—	0.91	16.73	23.27
	標準偏差(年)	6.22	4.94	1.34	—	—	1.69	10.96	15.13
疑似 51.5年間 (陸上竜巻)	期間内総数	358	235	63	13	0	47	862	1220
	平均値(年)	6.92	4.55	1.21	0.25	—	0.91	16.73	23.64
	標準偏差(年)	5.37	4.94	1.15	0.52	—	1.69	10.96	12.21
疑似 51.5年間 (全竜巻)	期間内総数	1222	962	215	45	0	0	0	1222
	平均値(年)	23.57	18.59	4.12	0.86	—	—	—	23.57
	標準偏差(年)	9.91	9.63	2.13	0.96	—	—	—	9.91

注1：切り上げの関係で総計数が一致していない箇所がある。

注2：色塗り部分については、竜巻発生頻度の分析に用いるデータを示している。

第9.1.5表 分析結果に基づき竜巻最大風速のハザード曲線の  
算出に使用する竜巻の発生数

竜巻検討地域 (沿岸±5km)	発生数 の統計	竜巻スケール					小計
		F0	F1	F2	F3	不明	
疑似 51.5年間 (全竜巻)	期間内総数	962	215	45	0	0	1222
	平均値(年)	18.68	4.17	0.87	—	—	23.73
	標準偏差(年)	9.63	2.13	0.96	—	—	9.91

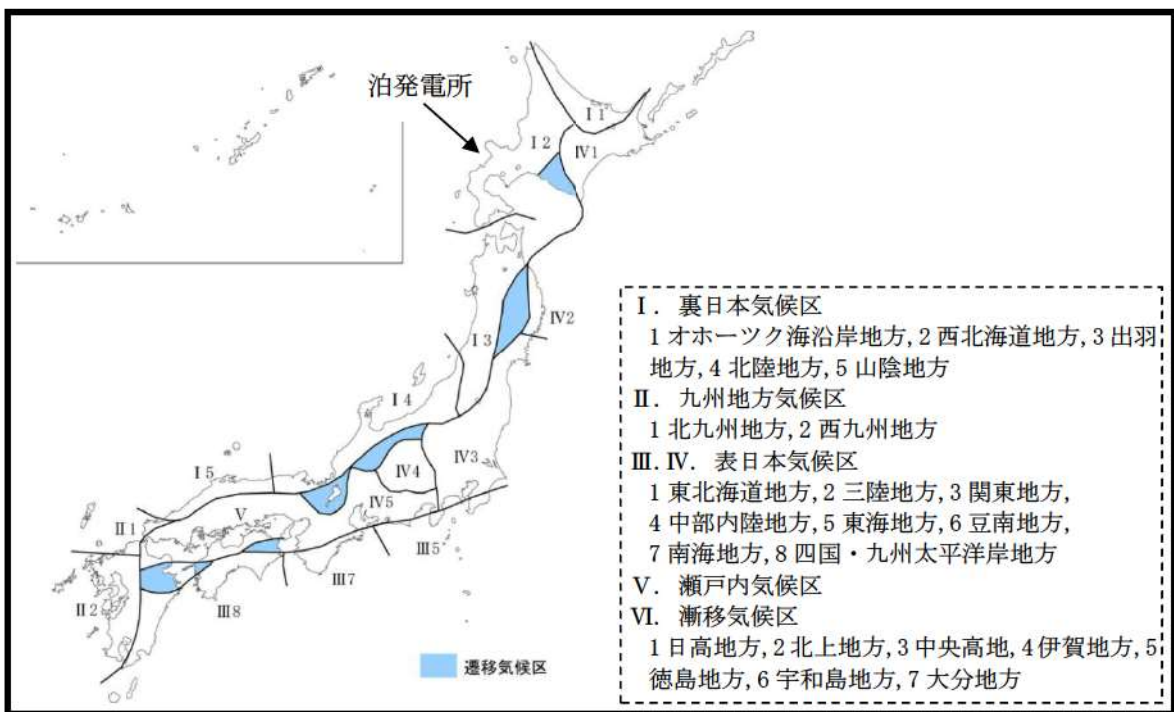
第 9.1.6 表 竜巻風速、被害幅、被害長さの相関係数（単位無し）

相関係数	風速	被害幅	被害長さ
風速	1. 000	-0. 060*	0. 319
被害幅	-0. 060*	1. 000	0. 457
被害長さ	0. 319	0. 457	1. 000

\*風速と被害幅は無相関との知見が得られたため、ハザード算定の際には、相関係数0として計算

第 9.1.7 表 設計竜巻の特性値

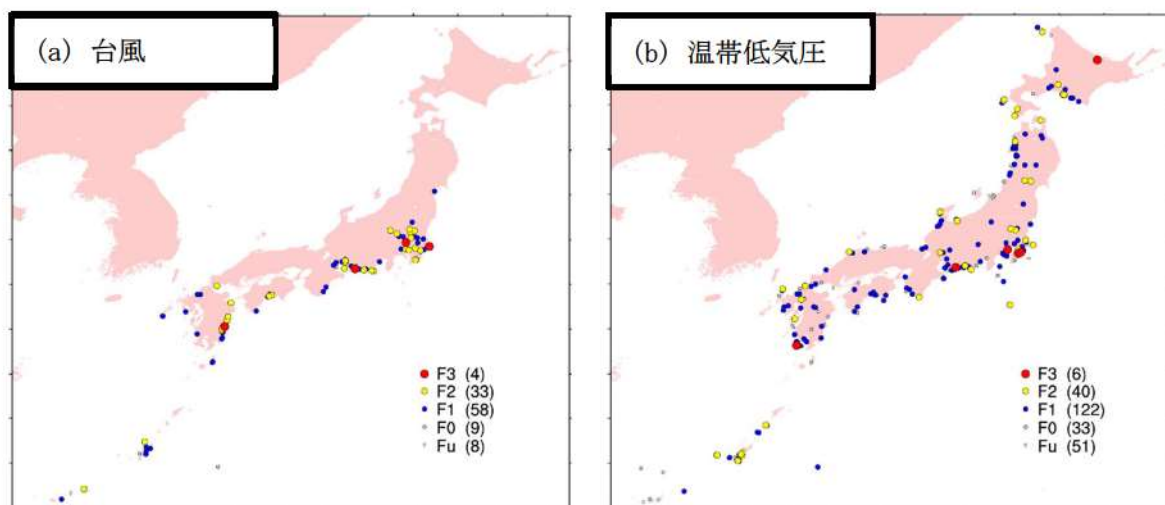
最大風速	移動風速	最大接線風速	最大接線 風速半径	最大気圧低下量	最大気圧低下率
$V_D$ (m/s)	$V_T$ (m/s)	$V_{Rm}$ (m/s)	$R_m$ (m)	$\Delta P_{max}$ (hPa)	$(dp/dt)_{max}$ (hPa/s)
100	15	85	30	89	45



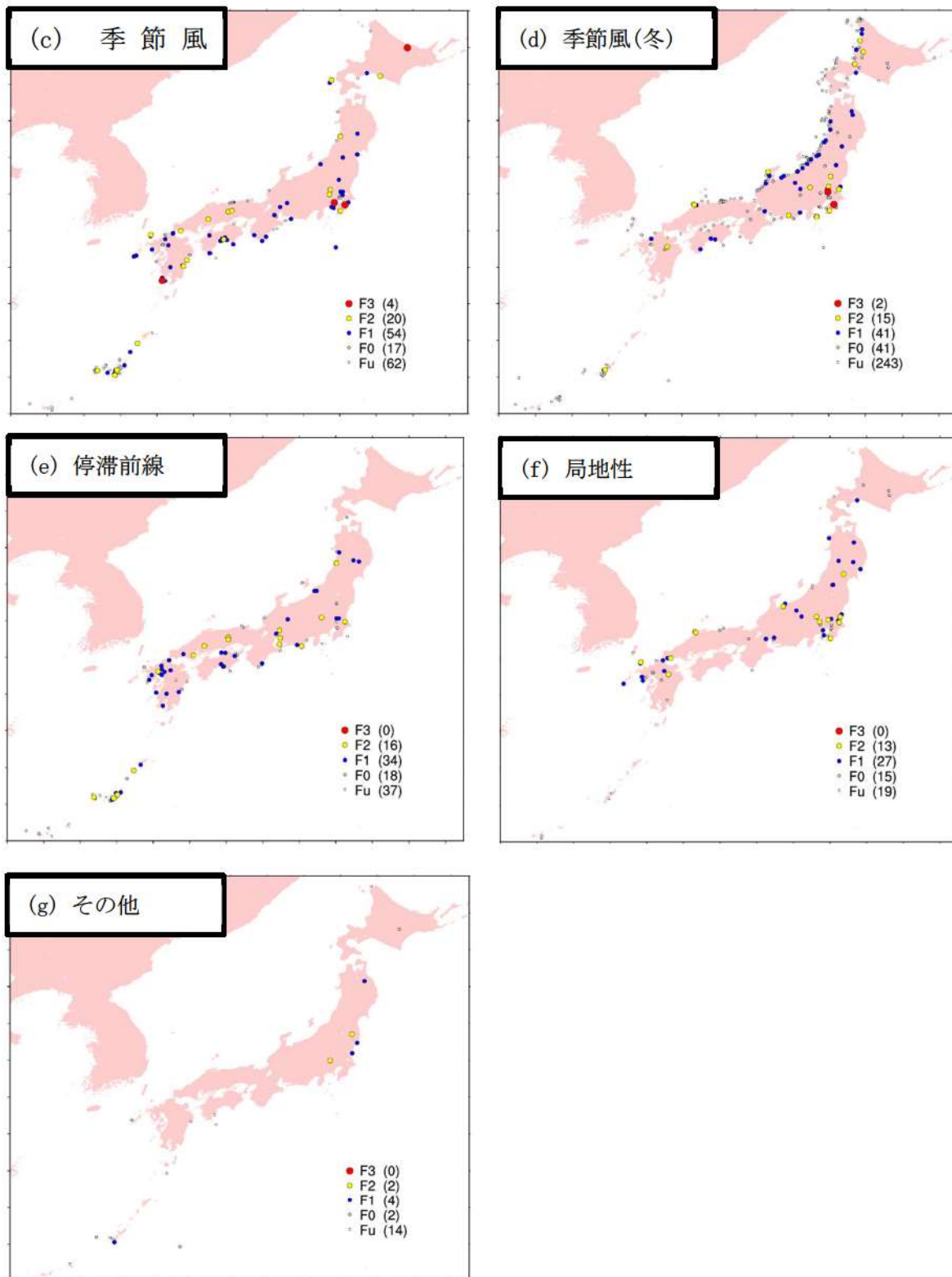
第9.1.1図 日本の気候区分

(内閣官房「第5回 道州制ビジョン懇談会 区割り基本方針検討専門委員会資料※」より引用)

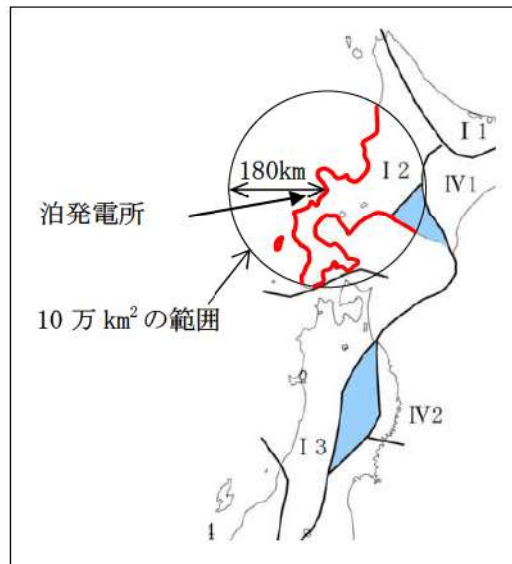
※出典：関口武「日本の気候区分」東京教育大学地理学研究報告（1959）



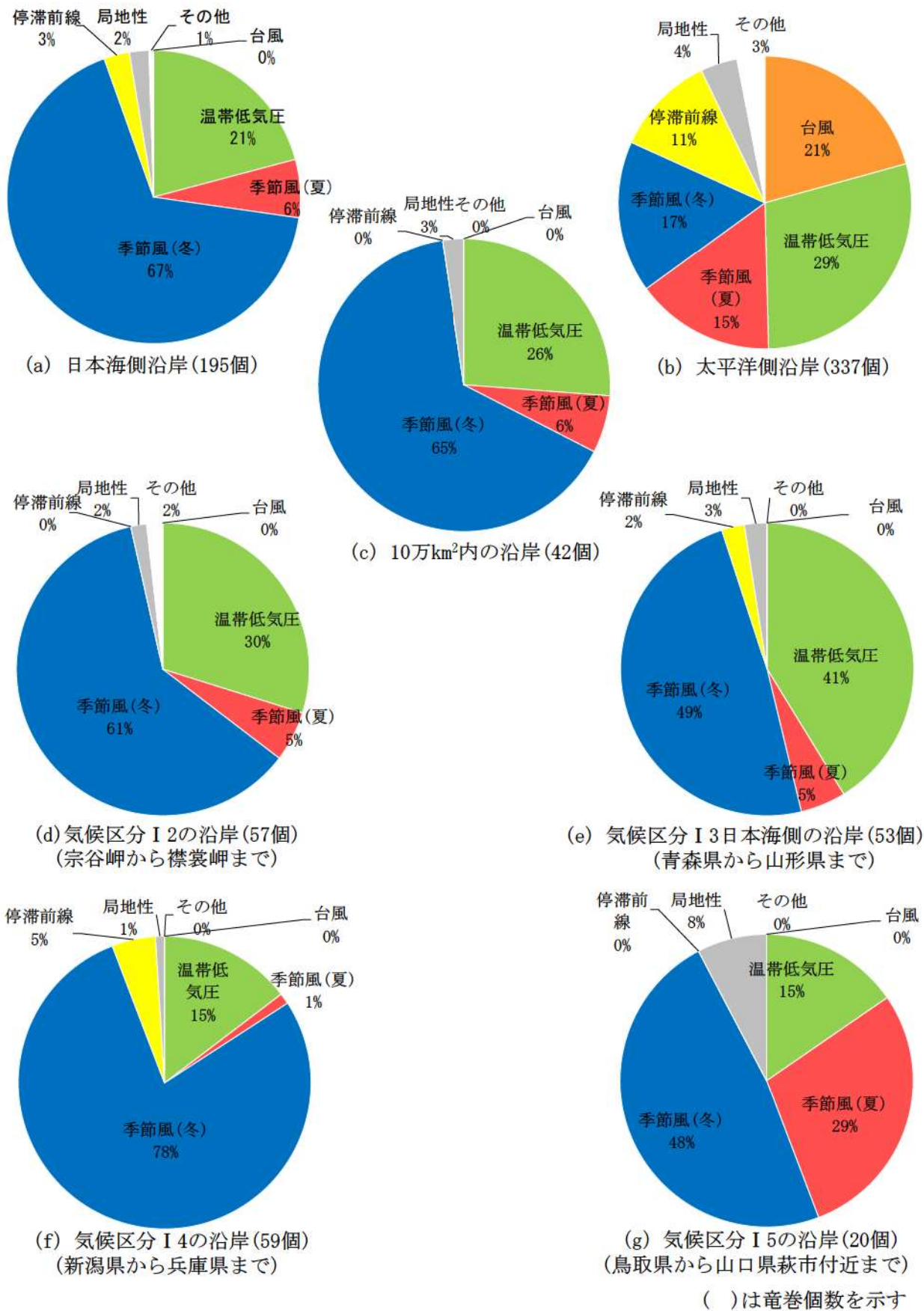
第9.1.2図 総観場ごとのFスケール別竜巻発生分布（1/2）



第9.1.2図 総観場ごとのFスケール別竜巻発生分布 (2/2)



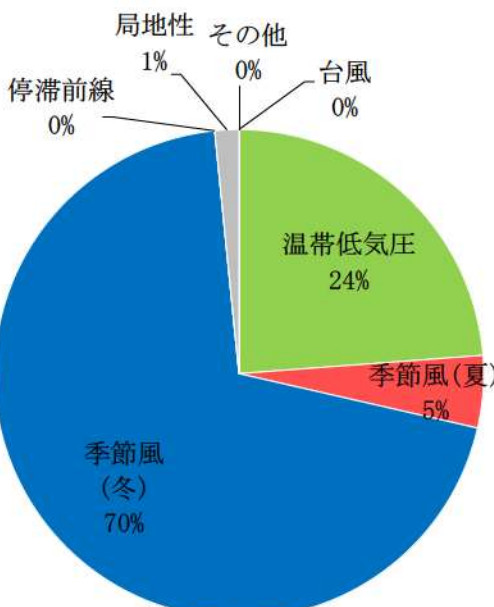
第 9.1.3 図 泊発電所を中心とする 10 万  $\text{km}^2$  の範囲



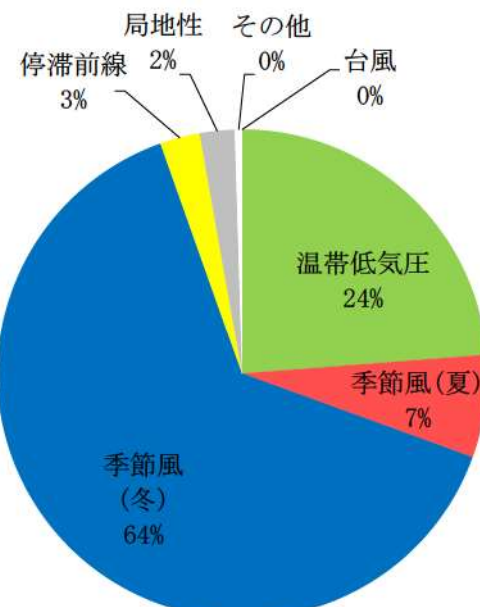
第9.1.4図 地域ごとの竜巻発生総観場及び寄与割合の比較



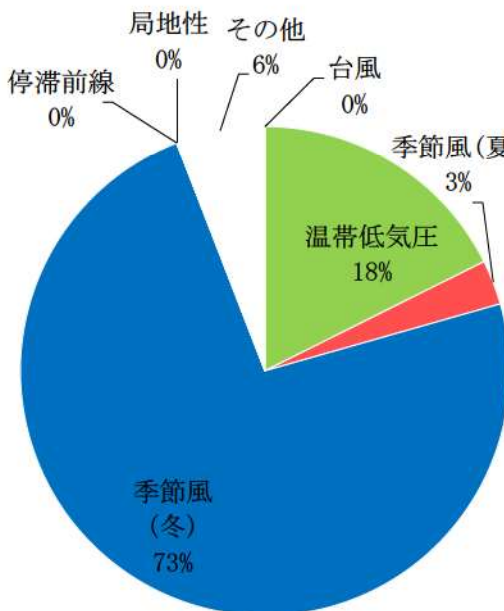
第9.1.5図 龍巻の発生する地点と龍巻が集中する19個の地域  
（「原子力発電所の龍巒影響評価ガイド（案）及び解説」<sup>(3)</sup>より引用）



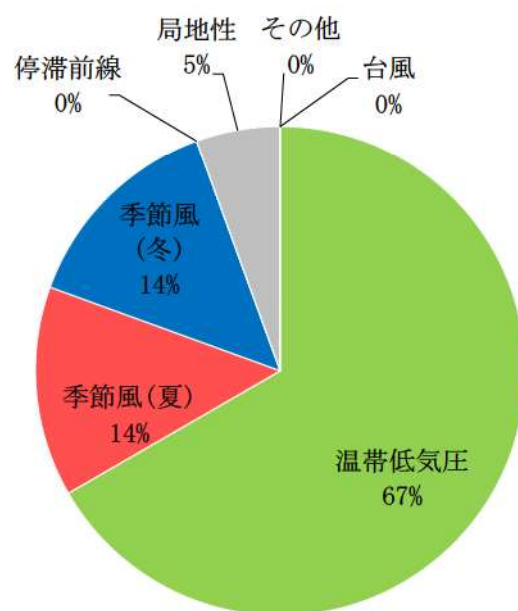
竜巻集中地域②  
(北海道の後志地方・渡島地方・檜山地方の一部)



竜巻検討地域  
(日本海沿岸+北海道南西)

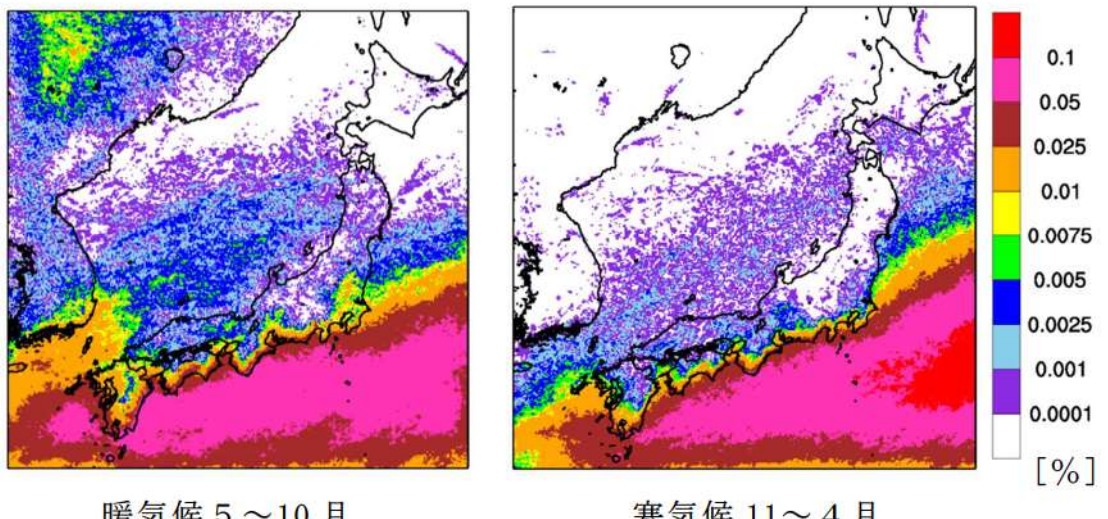


竜巻集中地域①  
(北海道の宗谷地方・留萌地方の一部)

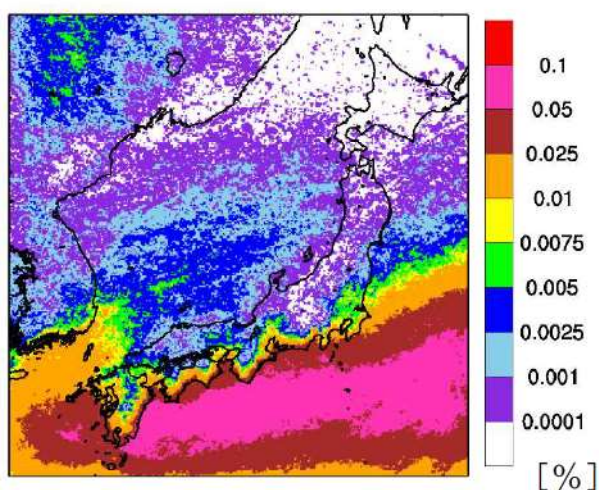


竜巻集中地域⑩  
(北海道の胆振地方・日高地方の一部)

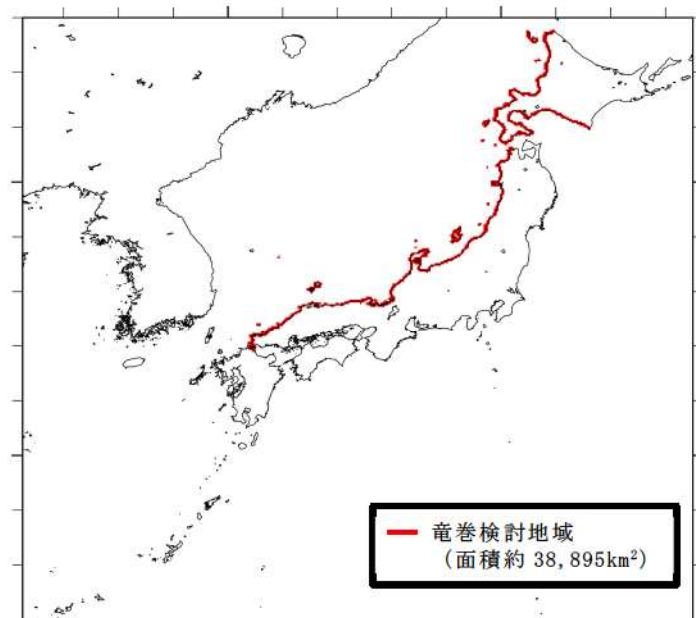
第 9.1.6 図 各地域の竜巻発生要因に関する総観場の特徴



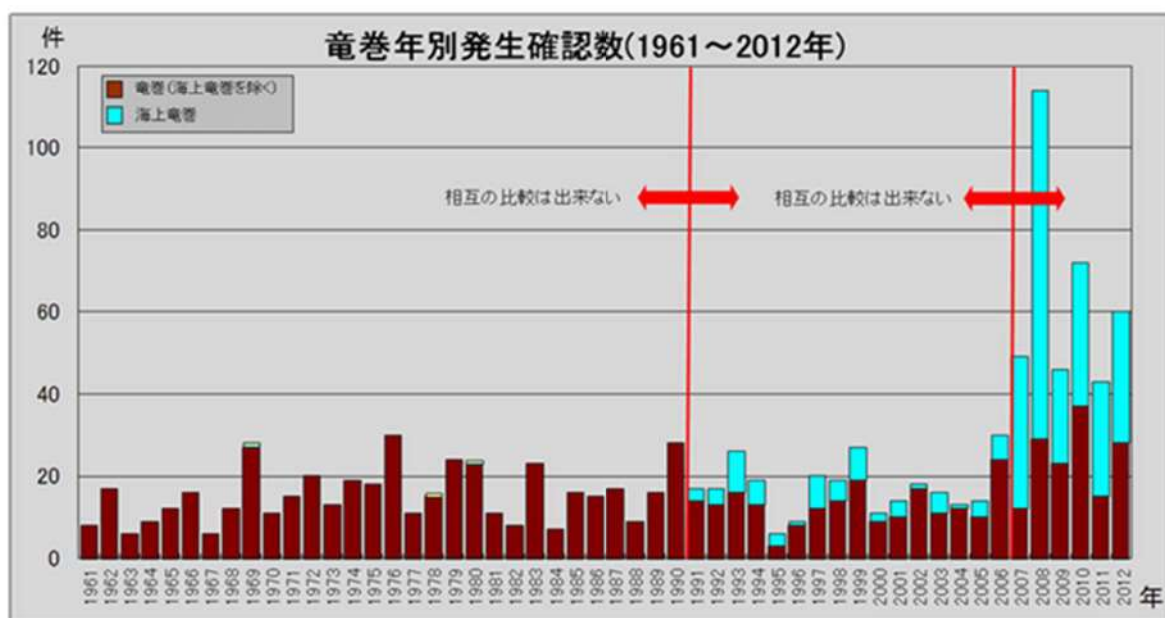
第 9.1.7 図 F3 規模以上を対象とした SReH, CAPE 同時超過頻度分布



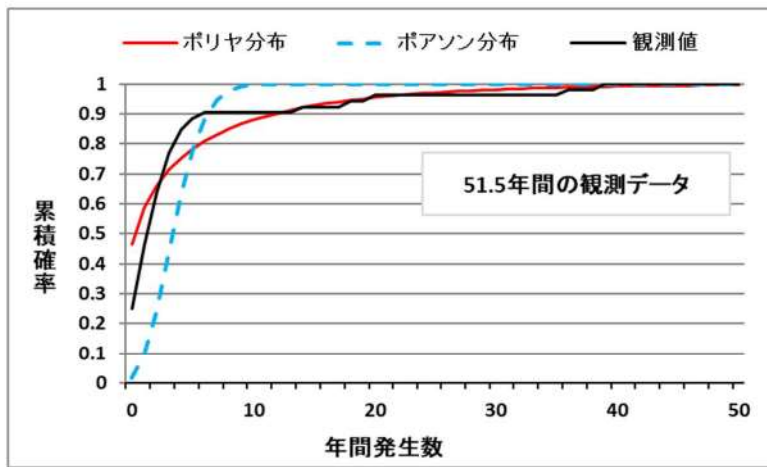
第 9.1.8 図 EHI の超過頻度分布（閾値 3.3）



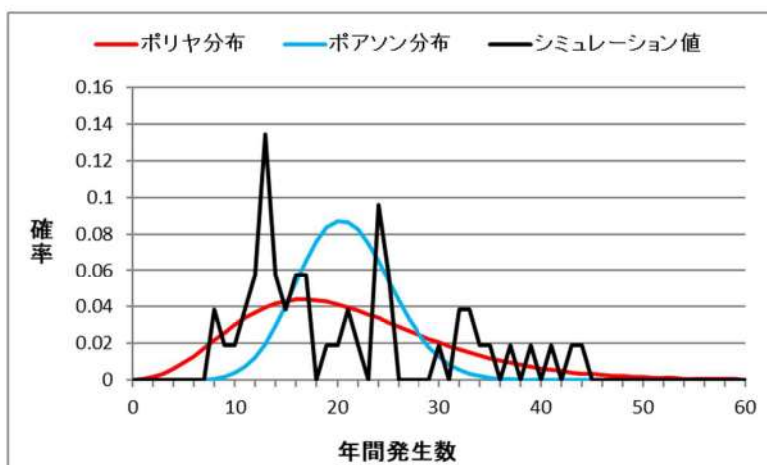
第 9.1.9 図 竜巻検討地域



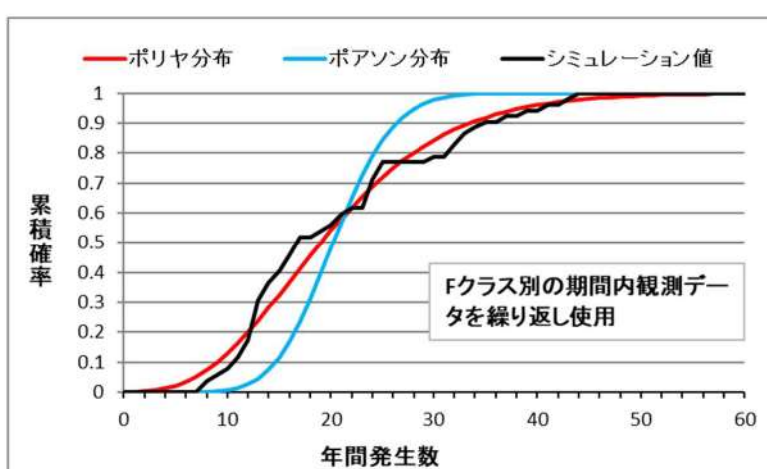
第 9.1.10 図 竜巻年別発生確認数（1961 年～2012 年）（出典：気象庁 HP）



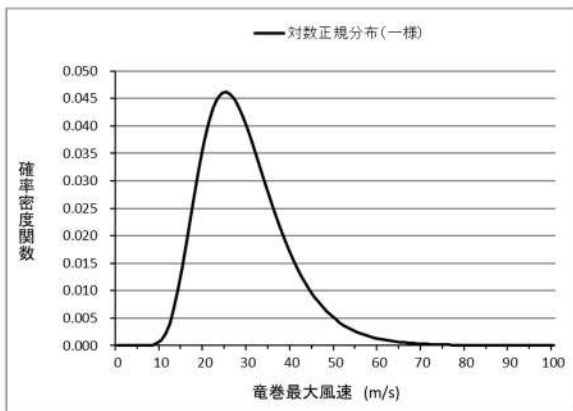
第 9.1.11 図 竜巻検討地域における竜巒の年発生数の累積確率  
(観測値)



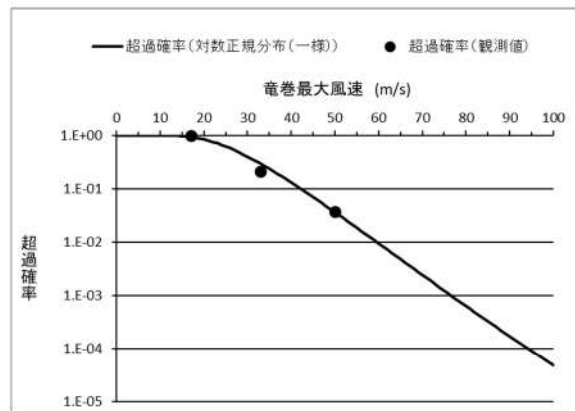
第 9.1.12 図 竜巒検討地域における竜巒の年発生数の分布関数  
(シミュレーション値)



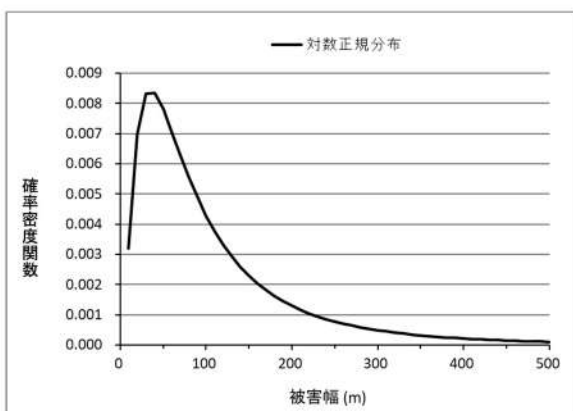
第 9.1.13 図 竜巒検討地域における竜巒の年発生数の累積確率  
(シミュレーション値)



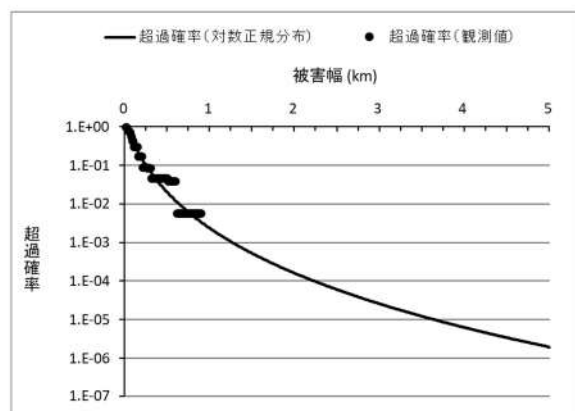
第 9.1.14 図 竜巻風速の確率密度分布



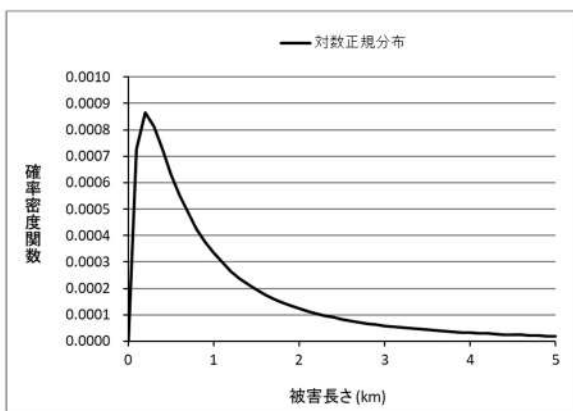
第 9.1.15 図 竜巻風速の超過確率分布



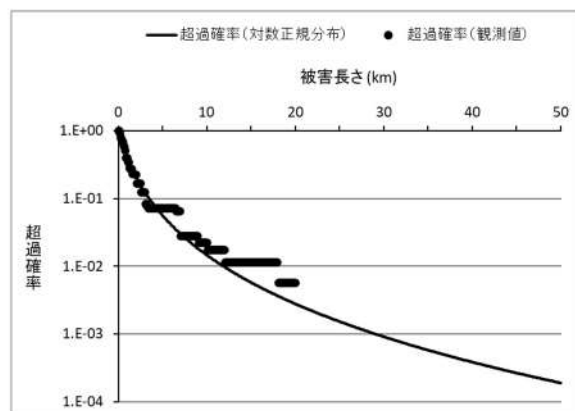
第 9.1.16 図 被害幅の確率密度分布



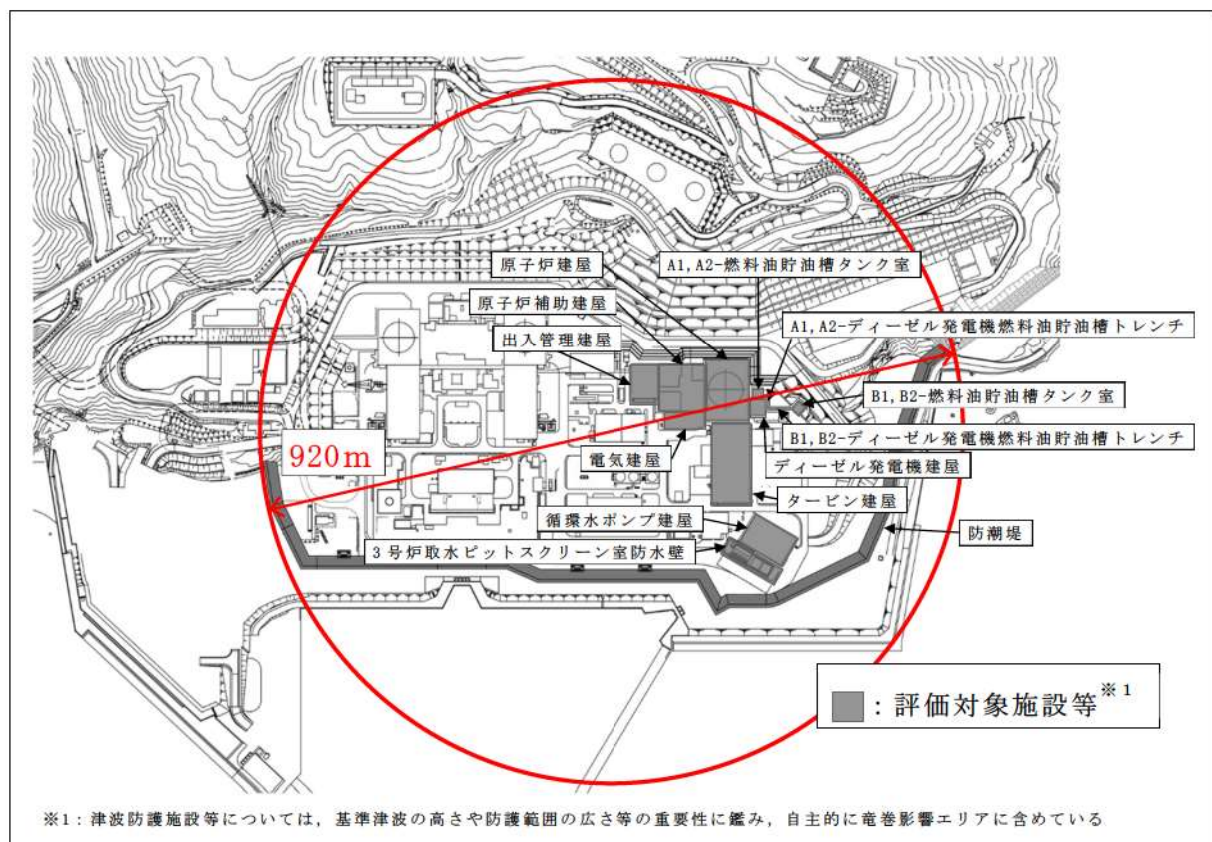
第 9.1.17 図 被害幅の超過確率分布



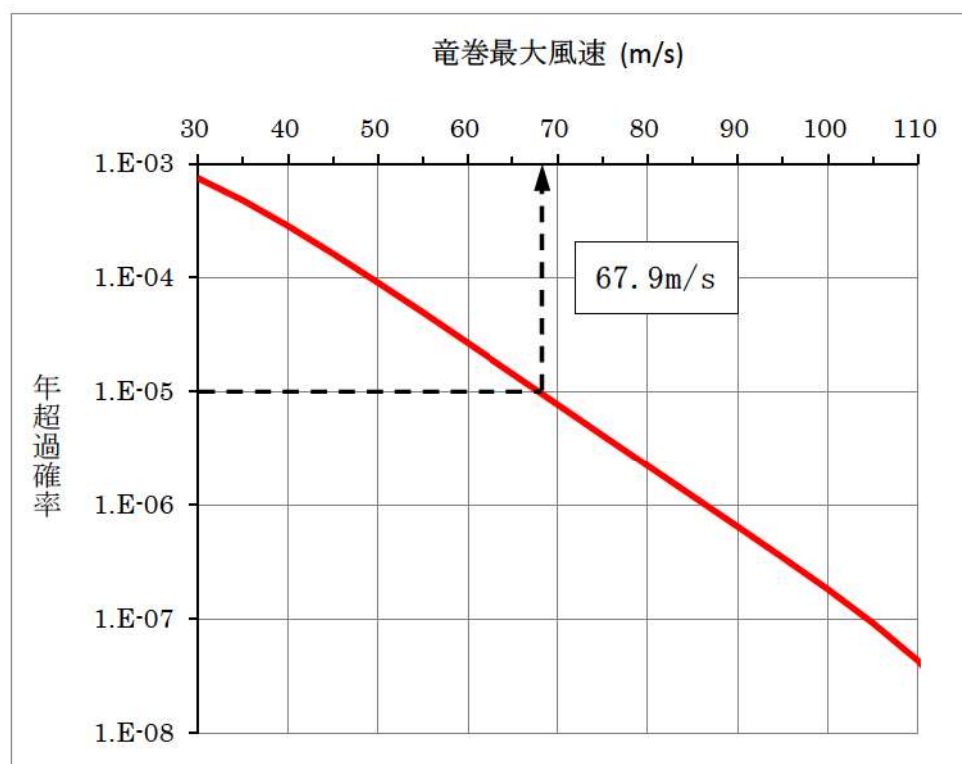
第 9.1.18 図 被害長さの確率密度分布



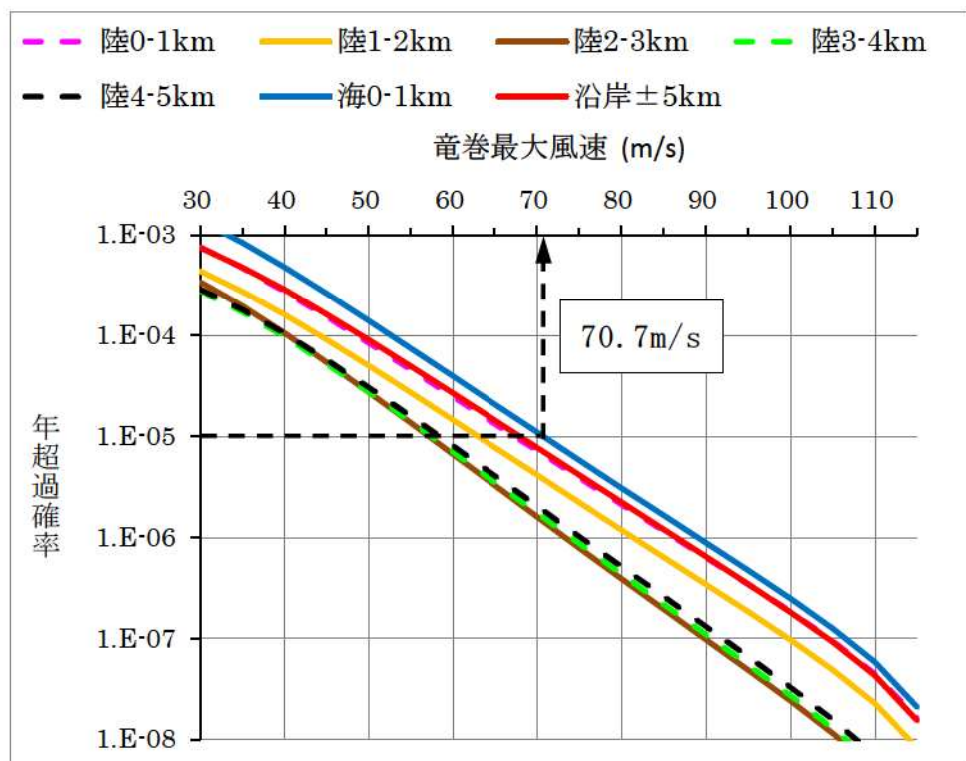
第 9.1.19 図 被害長さの超過確率分布



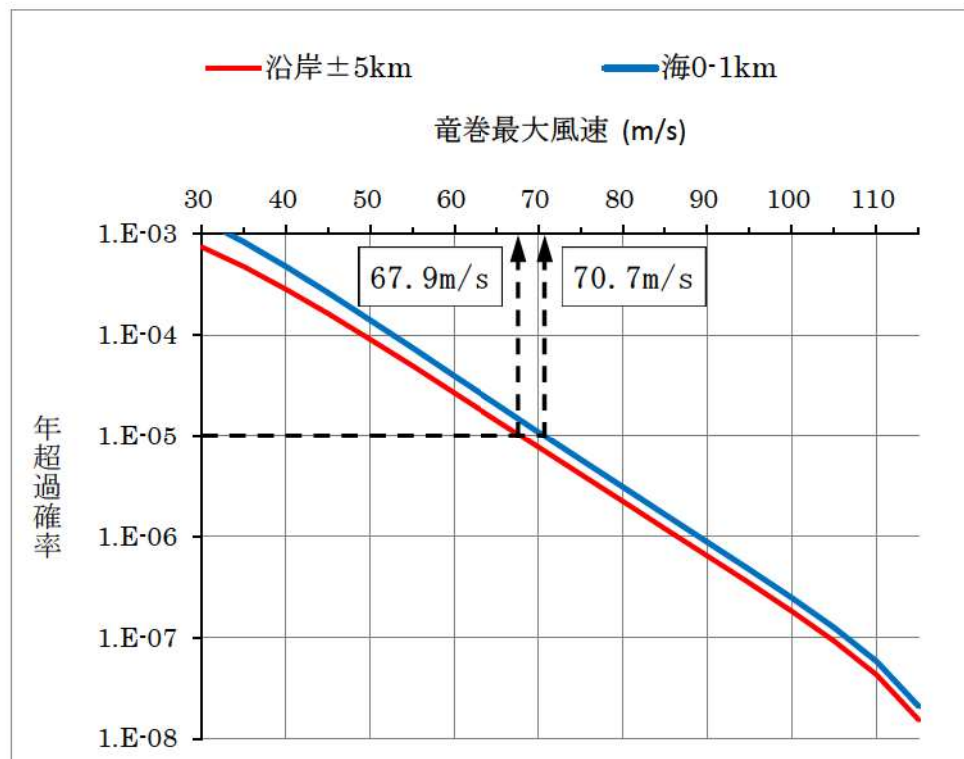
第9.1.20図 竜巻影響エリア



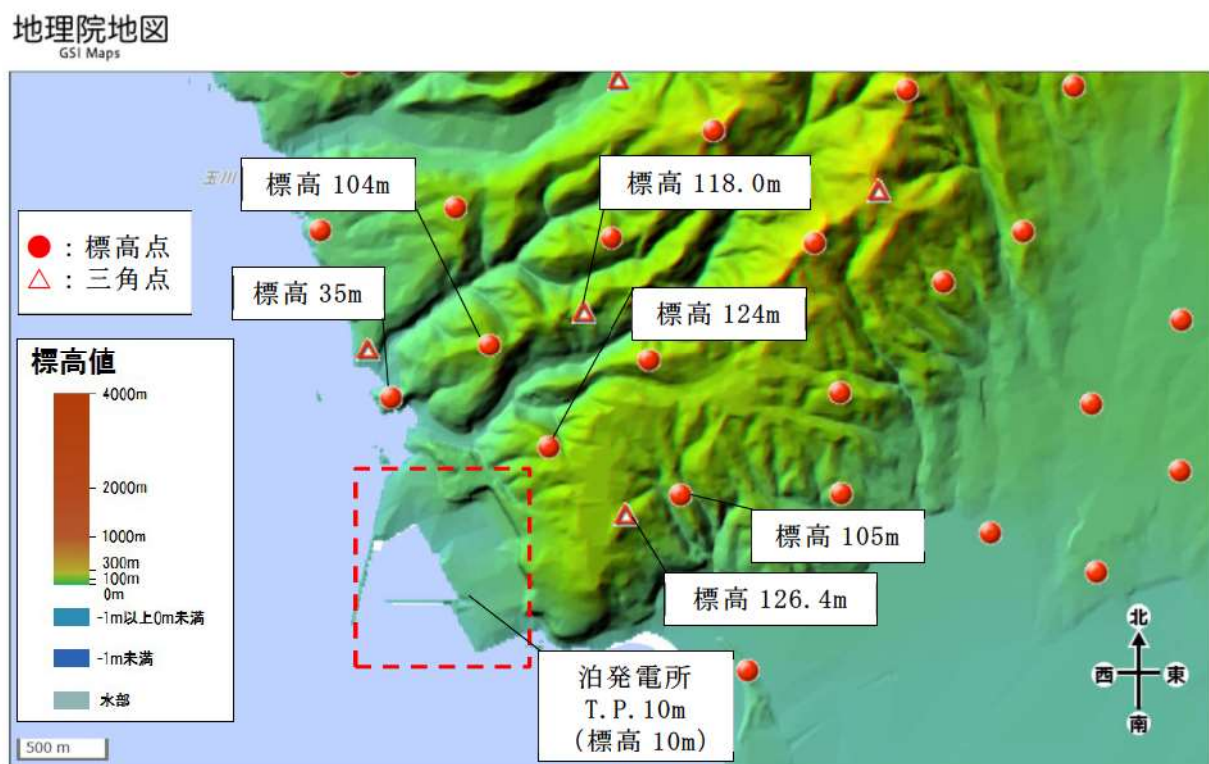
第9.1.21図 竜巒最大風速のハザード曲線（海側、陸側5km範囲）



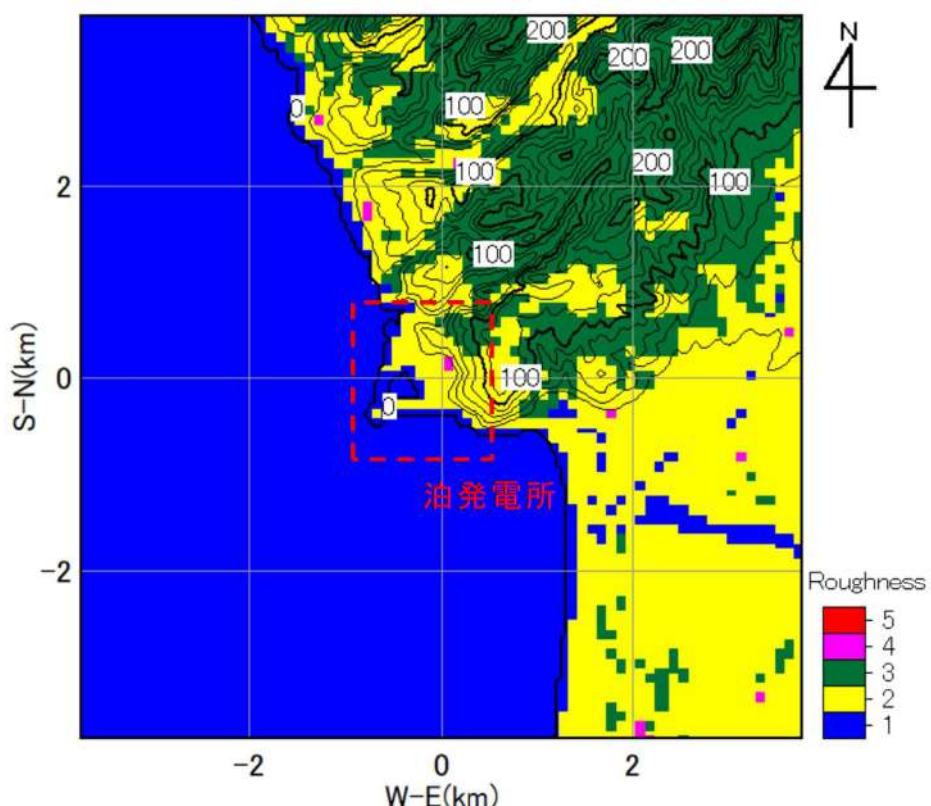
第 9.1.22 図 竜巻検討地域を 1 km 幅ごとに細分化したハザード曲線と  
海側、陸側 5 km 範囲のハザード曲線



第 9.1.23 図 竜巻最大風速のハザード曲線

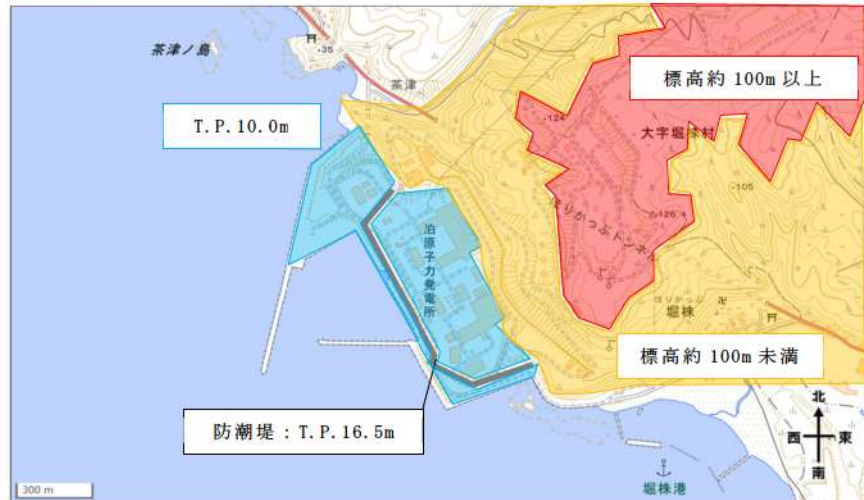


第 9.1.24 図 泊発電所周辺の地形（国土地理院「電子国土 Web」より作成）



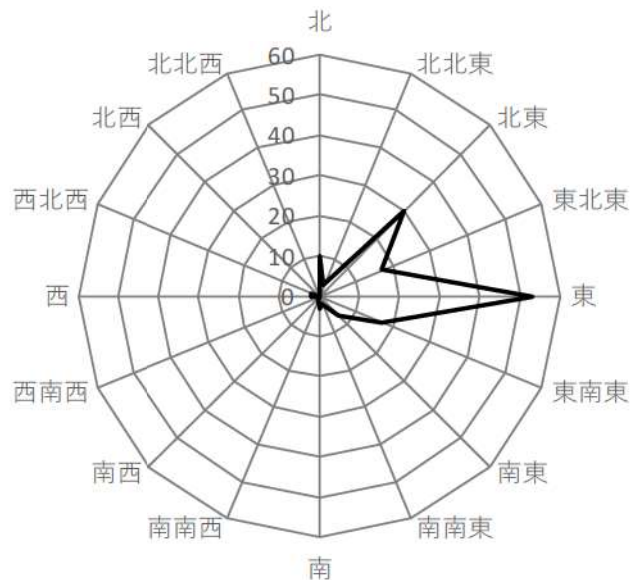
第9.1.25図 泊発電所周辺の地表面粗度

地理院地図  
GSI Maps



第 9.1.26 図 泊発電所の周辺の標高及び防潮堤高さ

	[個]
北	10
北北東	3
北東	30
東北東	17
東	53
東南東	17
南東	7
南南東	2
南	3
南南西	1
南西	0
西南西	0
西	2
西北西	2
北西	0
北北西	0
計	147



第 9.1.27 図 移動方向別の竜巻発生個数

#### 1.4 設備等

該当なし

別添 1

## 泊発電所 3号炉

竜巻影響評価について

## <目 次>

### 別添資料－1

1. 竜巻に対する防護
  1. 1 概要
  1. 2 評価の基本方針
  1. 3 評価の基本的な考え方
2. 基準竜巻・設計竜巻の設定
  2. 1 概要
  2. 2 竜巻検討地域の設定
  2. 3 基準竜巻の最大風速( $V_B$ )の設定
  2. 4 設計竜巻の最大風速( $V_D$ )の設定
  2. 5 設計竜巻の特性値
3. 竜巻影響評価
  3. 1 評価概要
  3. 2 評価対象施設等
  3. 3 設計荷重の設定
  3. 4 評価対象施設等の設計方針
  3. 5 竜巻随伴事象に対する評価

### 添付資料

1. 1 重大事故等対処設備に対する考慮について
1. 2 評価対象施設の抽出について
1. 3 外部事象防護対象施設等に波及的影響を及ぼし得る施設の抽出について
2. 1 気候区分について
2. 2 数値気象解析にもとづく竜巻検討地域の設定について
2. 3 竜巻検討地域及び全国で発生した竜巻
2. 4 竜巻最大風速のハザード曲線の求め方
2. 5 地形効果による竜巻風速への影響について
3. 1 竜巻影響評価の概要及び保守性について
3. 2 竜巻影響評価及び竜巻対策の概要
3. 3 設計飛来物の選定について
3. 4 竜巻随伴事象の抽出について
3. 5 飛来物化する可能性がある物品等の管理について
3. 6 設計竜巻荷重と積雪荷重との組み合わせについて

- 3.7 2次飛来物の抽出について
- 3.8 飛来物の飛散有無の判断方法、飛散距離および高さの算定の仕方について
- 3.9 浮き上がりに対する対策荷重の考え方について
- 3.10 車両管理エリア及び物品管理エリアの設定について
- 3.11 外部事象防護対象施設に影響を及ぼす可能性がある建屋開口部について
- 3.12 起因事象を竜巻とした場合の排気筒の取り扱いについて
- 3.13 竜巻防護ネットの構造設計について
- 3.14 解析コードについて
- 3.15 原子力発電所の竜巻影響評価ガイドへの適合状況について
- 3.16 竜巻襲来が予想される場合の燃料取扱作業中止に係る運用について

## 1. 龍巻に対する防護

### 1.1 概要

原子力規制委員会の定める「実用発電用原子炉及びその附属施設の位置、構造及び設備の基準に関する規則（以下「設置許可基準規則」という。）」第六条において、外部からの衝撃による損傷の防止として、安全施設は、想定される自然現象（地震及び津波を除く。）が発生した場合においても安全機能を損なわないのでなければならないとしており、敷地周辺の自然環境を基に想定される自然現象の一つとして、龍巻の影響を挙げている。

発電用原子炉施設の供用期間中に極めてまれに突風・強風を引き起こす自然現象としての龍巒及びその随伴事象等によって発電用原子炉施設の安全性を損なうことのない設計であることを評価・確認するため、原子力規制委員会の定める「原子力発電所の龍巒影響評価ガイド（平成 25 年 6 月 19 日原子力規制委員会決定）」（以下「ガイド」※という。）を参照し、龍巒影響評価として以下を実施し、発電用原子炉施設の安全機能が維持されることを確認する。

- ・設計龍巒及び設計荷重（設計龍巒荷重及びその他の組合せ荷重）の設定
- ・泊発電所における飛来物に係る調査
- ・飛来物防止対策
- ・考慮すべき設計荷重に対する外部事象防護対象施設の構造健全性等の評価を行い、必要に応じ対策を行うことで安全機能が維持されることの確認

また、第四十三条の要求を踏まえ、設計龍巒によって、設計基準対象施設の安全機能と重大事故等対処設備の機能が同時に損なわれることがないことを確認するとともに、重大事故等対処設備の機能が喪失した場合においても、位置的分散又は頑健性のある外殻となる建屋による防護に期待できるといった観点から、代替手段により必要な安全機能を維持できることを確認する。【添付資料 1.1】

※「原子力発電所の龍巒影響評価ガイド（案）及び解説（平成 25 年 10 月、独立行政法人原子力安全基盤機構）」を含む。

## 1.2 評価の基本方針

### 1.2.1 竜巻から防護する施設の抽出

竜巻から防護する施設は、安全施設が竜巻の影響を受ける場合においても発電用原子炉施設の安全性を確保するために、「発電用軽水型原子炉施設の安全機能の重要度分類に関する審査指針」で規定される重要度分類（以下「安全重要度分類」という。）のクラス1，クラス2及びクラス3の設計を要求される構築物，系統及び機器とする。

その上で、上記構築物，系統及び機器の中から、発電用原子炉を停止するため、また停止状態にある場合は引き続きその状態を維持するために必要な異常の発生防止の機能又は異常の影響緩和の機能を有する構築物，系統及び機器として安全重要度分類のクラス1，クラス2及び安全評価<sup>\*</sup>上その機能に期待するクラス3に属する構築物，系統及び機器（以下「外部事象防護対象施設」という。）とし、機械的強度を有すること等により、安全機能を損なわない設計とする。

※ 運転時の異常な過渡変化及び設計基準事故解析

また、外部事象防護対象施設を内包する建屋は、機械的強度を有すること等により、内包する外部事象防護対象施設の安全機能を損なわない設計及び外部事象防護対象施設へ波及的影響を及ぼさない設計とする。ここで、外部事象防護対象施設及び外部事象防護対象施設を内包する建屋を併せて、外部事象防護対象施設等という。

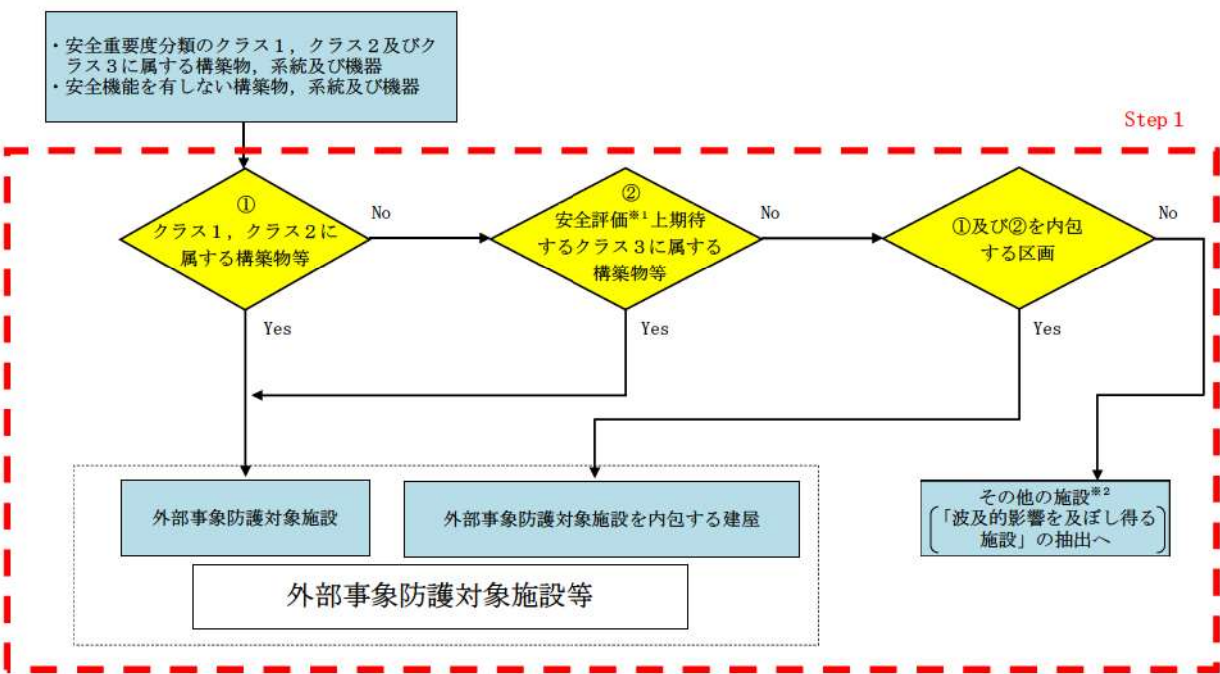
上記に含まれない構築物，系統及び機器は、竜巻及びその随伴事象に対して機能を維持すること若しくは竜巻及びその随伴事象による損傷を考慮して代替設備により必要な機能を確保すること、安全上支障のない期間での修復等の対応を行うこと又はそれらを適切に組み合わせることにより、その安全機能を損なわない設計とする。

### 1.2.2 竜巻影響評価の対象施設

以下の(1)外部事象防護対象施設等のうち評価対象施設及び(2)外部事象防護対象施設等に波及的影響を及ぼし得る施設に示す施設を竜巻影響評価の対象施設（以下「評価対象施設等」という。）とする。

外部事象防護対象施設等の抽出フローを第1.2.2.1図に示す。

なお、「基準地震動及び耐震設計方針に係る審査ガイド」の重要度分類における耐震Sクラスの設計を要求される施設についても、外部事象防護対象施設等として抽出すべきものがないことを確認した。【添付資料1.2】



※1 運転時の異常な過渡変化及び設計基準事故解析

※2 竜巻及びその随伴事象に対して機能維持すること、竜巒及びその随伴事象による損傷を考慮して、代替設備により必要な機能を確保すること又は安全上支障のない期間に修復すること等の対応が可能であることを確認する。

第1.2.2.1図 外部事象防護対象施設等の抽出フロー

### (1) 外部事象防護対象施設等のうち評価対象施設【添付資料 1.2】

外部事象防護対象施設等のうち評価対象施設として、屋外施設（外部事象防護対象施設を内包する施設を含む。）、屋内の施設で外気と繋がっている施設及び外殻となる施設（建屋、構築物）（以下「外殻となる施設」という。）による防護機能が期待できない施設を抽出する。

なお、外殻となる施設による防護機能が期待できない施設については、外部事象防護対象施設を内包する区画の構造健全性の確認結果を踏まえ抽出する。

防護機能を期待できることが確認できた区画に内包される外部事象防護対象施設については、該当する外殻となる施設により防護されることから、個別評価は実施しない。

第 1.2.2.2 図に、外部事象防護対象施設等のうち評価対象施設の抽出フロー及び抽出された評価対象施設を示す。

また、第 1.2.2.2 図において抽出した評価対象施設の主な配置を第 1.2.2.3 図に示す。

#### a. 屋外施設（外部事象防護対象施設を内包する区画を含む。）

##### (a) 排気筒（建屋外）

#### <以下、外部事象防護対象施設を内包する区画>

- (b) 原子炉建屋（外部遮へい建屋）（原子炉容器他を内包）
- (c) 原子炉建屋（周辺補機棟）（主蒸気管他を内包）
- (d) 原子炉建屋（燃料取扱棟）（使用済燃料ピット他を内包）
- (e) 原子炉補助建屋（中央制御室他を内包）
- (f) ディーゼル発電機建屋（ディーゼル発電機他を内包）
- (g) A1, A2-燃料油貯油槽タンク室（A1, A2-ディーゼル発電機燃料油貯油槽を内包）
- (h) B1, B2-燃料油貯油槽タンク室（B1, B2-ディーゼル発電機燃料油貯油槽を内包）
- (i) A1, A2-ディーゼル発電機燃料油貯油槽トレーナー（ディーゼル発電機燃料油移送配管を内包）
- (j) B1, B2-ディーゼル発電機燃料油貯油槽トレーナー（ディーゼル発電機燃料油移送配管を内包）
- (k) 循環水ポンプ建屋（原子炉補機冷却海水ポンプ他を内包）
- (l) タービン建屋（タービン保安装置他を内包）

#### b. 屋内の施設で外気と繋がっている施設

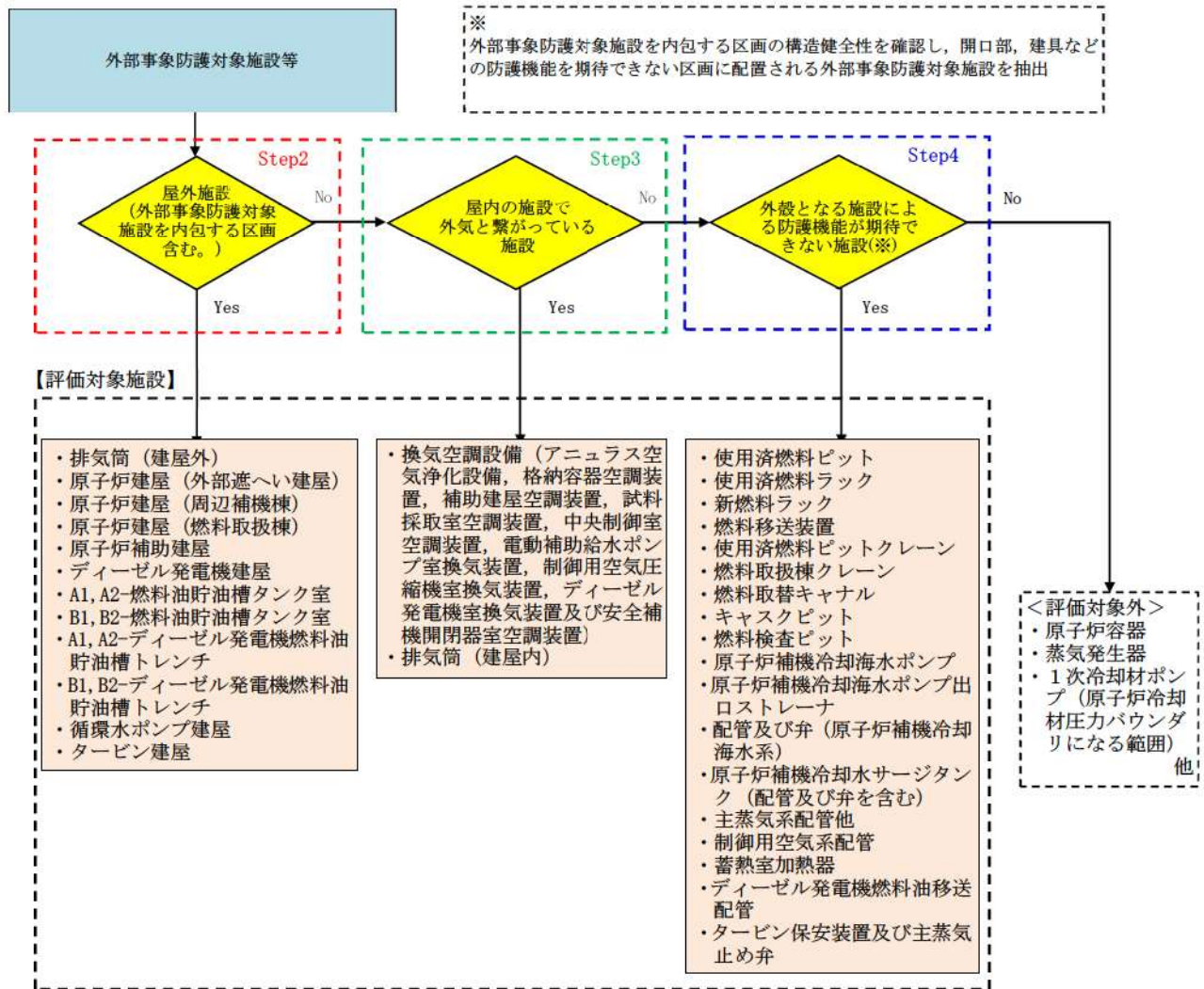
- (a) 換気空調設備（アニュラス空気浄化設備、格納容器空調装置、補助建屋空調装置、試料採取室空調装置、中央制御室空調装置、電動補助給水ポンプ室換気装置、制

御用空気圧縮機室換気装置、ディーゼル発電機室換気装置、安全補機開閉器室空調装置)

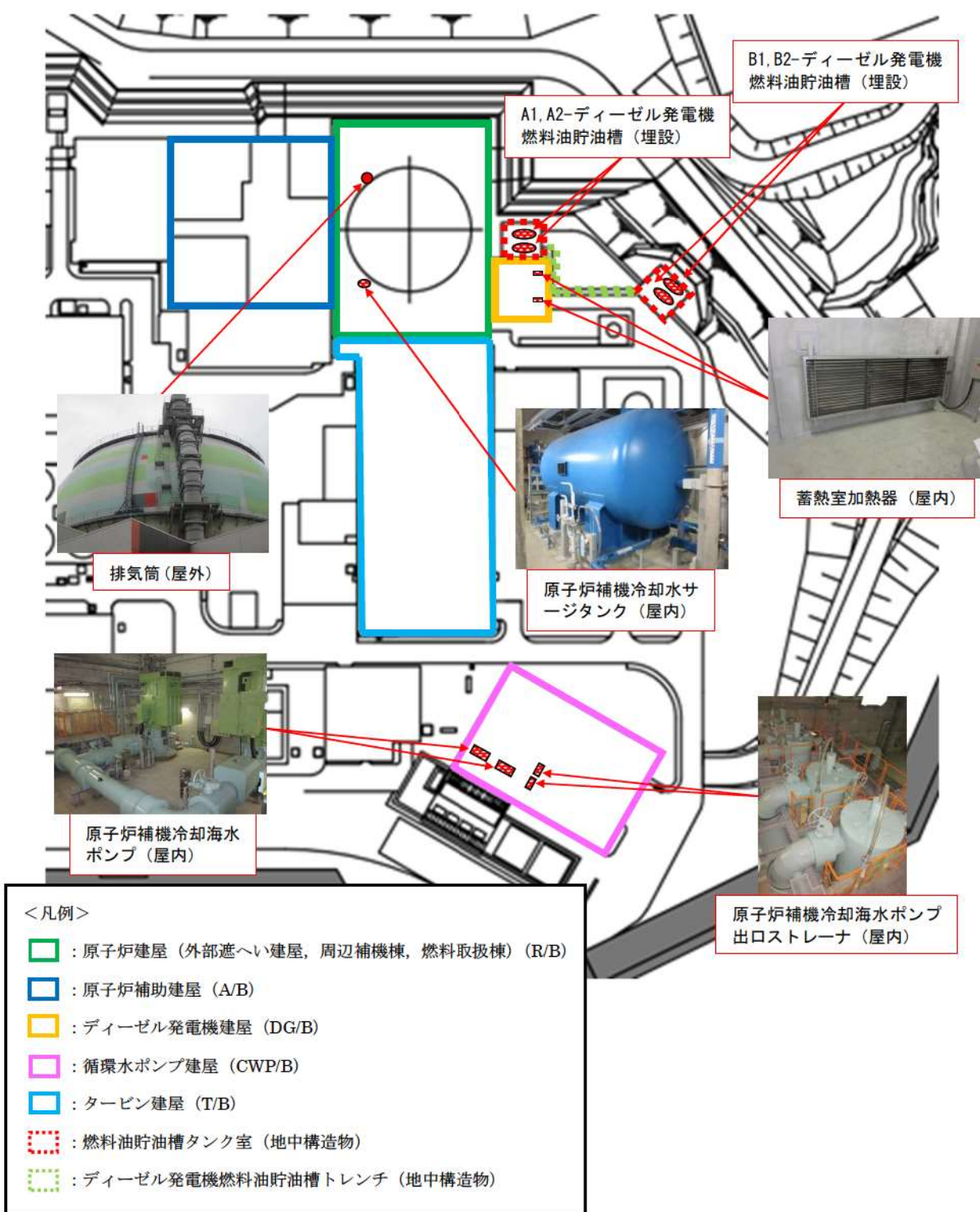
(b) 排気筒（建屋内）

c. 外殻となる施設による防護機能が期待できない施設

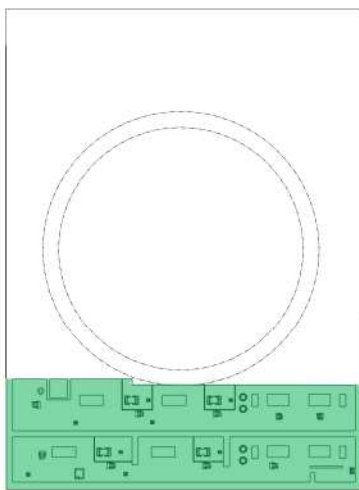
- (a) 使用済燃料ピット
- (b) 使用済燃料ラック
- (c) 新燃料ラック
- (d) 燃料移送装置
- (e) 使用済燃料ピットクレーン
- (f) 燃料取扱棟クレーン
- (g) 燃料取替キャナル
- (h) キャスクピット
- (i) 燃料検査ピット
- (j) 原子炉補機冷却海水ポンプ
- (k) 原子炉補機冷却海水ポンプ出口ストレーナ
- (l) 配管及び弁（原子炉補機冷却海水系）
- (m) 原子炉補機冷却水サージタンク（配管及び弁含む）
- (n) 主蒸気系配管他
- (o) 制御用空気系配管
- (p) 蓄熱室加熱器
- (q) ディーゼル発電機燃料油移送配管
- (r) タービン保安装置及び主蒸気止め弁



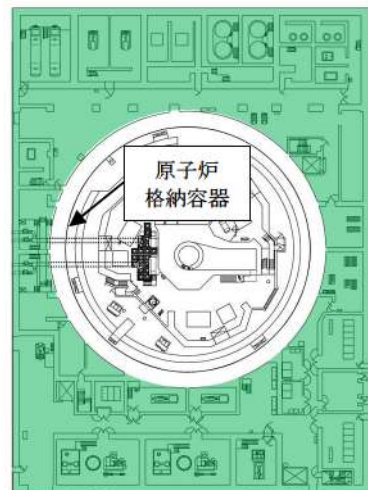
第 1.2.2.2 図 外部事象防護対象施設等のうち評価対象施設の抽出フロー



第 1.2.2.3 図 外部事象防護対象施設等のうち主な評価対象施設（1／2）



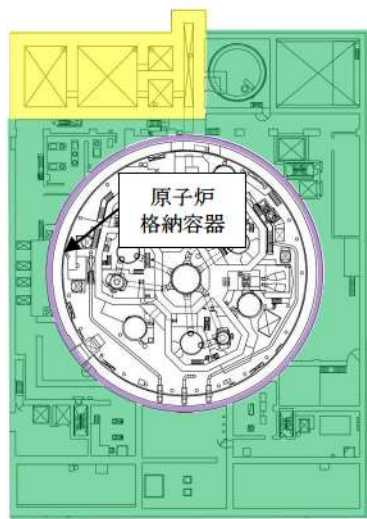
R/B 概略平面図 (T.P. 2.3m)



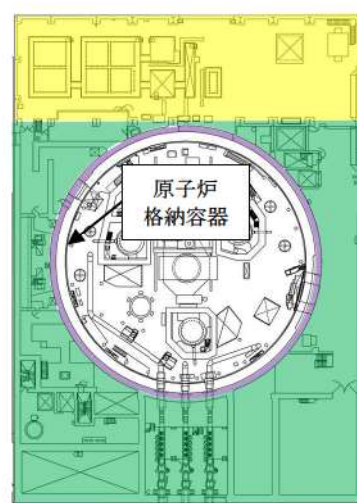
R/B 概略平面図 (T.P. 10.3m)



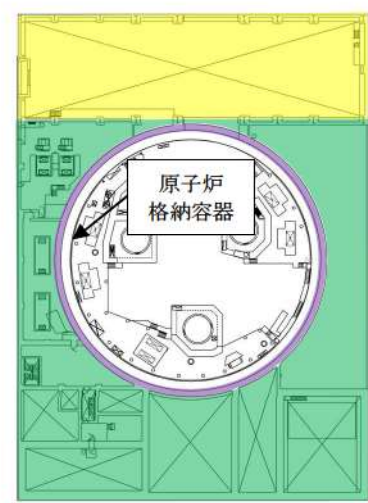
R/B 概略平面図 (T.P. 17.8m)



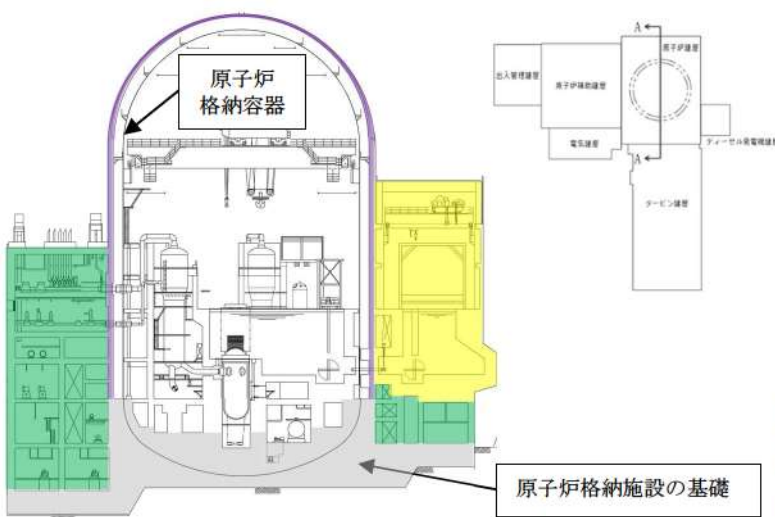
R/B 概略平面図 (T.P. 24.8m)



R/B 概略平面図 (T.P. 33.1m)



R/B 概略平面図 (T.P. 40.3m)



R/B 概略断面図 (A-A 断面)

第 1.2.2.3 図 外部事象防護対象施設等のうち主な評価対象施設 (2 / 2)

<凡例>

- : 外部遮へい建屋
- : 周辺補機棟
- : 燃料取扱棟

(2) 外部事象防護対象施設等に波及的影響を及ぼし得る施設【添付資料 1.3】

外部事象防護対象施設等に波及的影響を及ぼし得る施設は、その他の施設（外部事象防護対象施設以外の施設）のうち、倒壊により外部事象防護対象施設等を機能喪失させる（機械的影響）可能性があるもの、屋外に設置される外部事象防護対象施設の付属設備のうち、設計竜巻の風圧力、気圧差及び設計飛来物等の衝突による損傷により外部事象防護対象施設を機能喪失させる（機能的影響）可能性があるもの及び外部事象防護対象施設を内包する区画の外気と繋がっている換気空調設備（機能的影響）とする。

なお、津波防護施設等は、基準津波の高さや防護範囲の広さ等の重要性を鑑み、自主的に機能維持のための配慮を行う。

第 1.2.2.4 図に、外部事象防護対象施設等に波及的影響を及ぼし得る施設の抽出フロー及び抽出された施設を示す。

また、第 1.2.2.4 図において抽出した外部事象防護対象施設等に波及的影響を及ぼし得る施設の主な配置図を第 1.2.2.5 図に示す。

a. 外部事象防護対象施設等に機械的影響を及ぼし得る施設

- (a) タービン建屋
- (b) 電気建屋
- (c) 出入管理建屋
- (d) 循環水ポンプ建屋

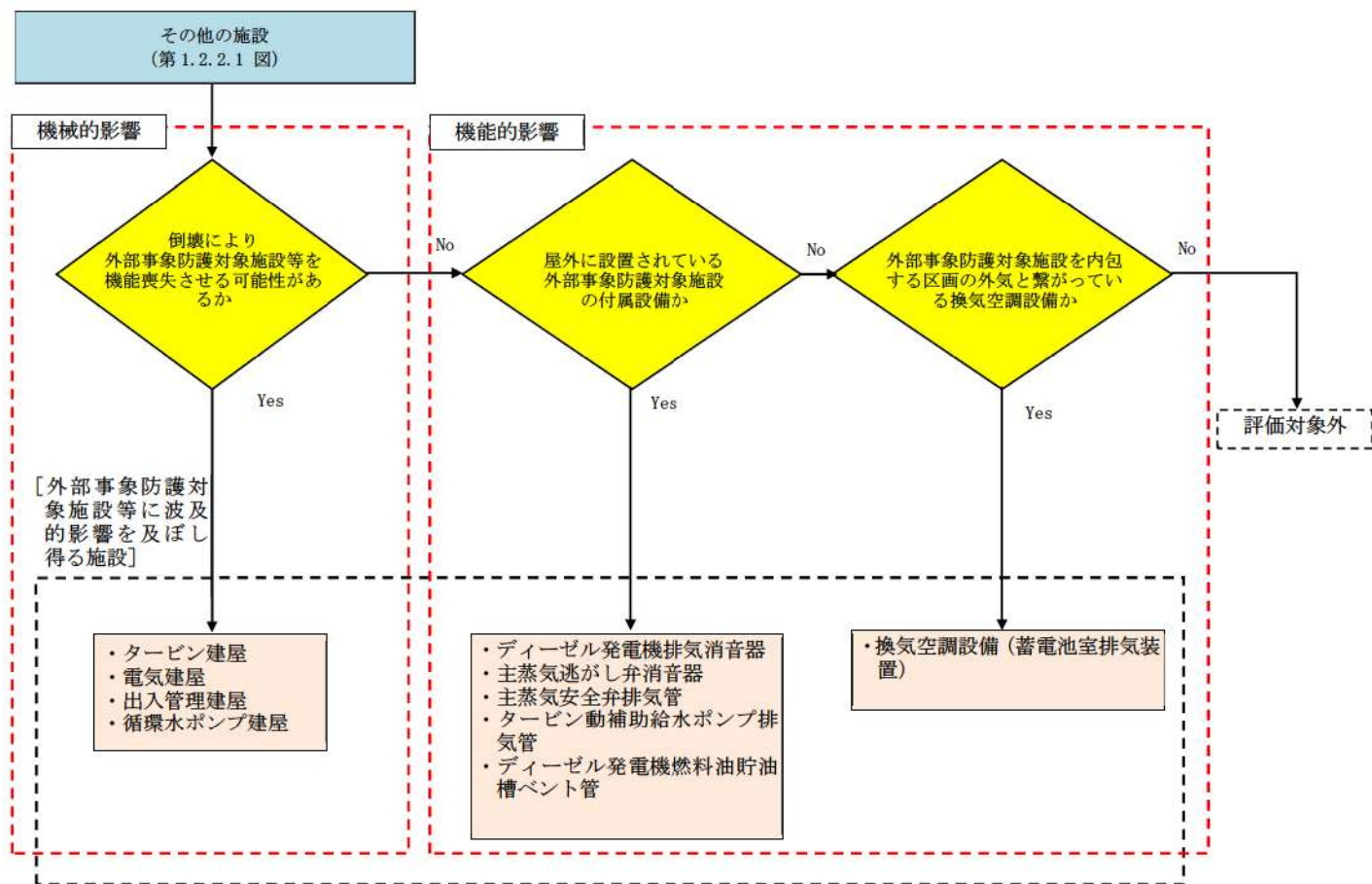
b. 外部事象防護対象施設に機能的影響を及ぼし得る施設

(外部事象防護対象施設の付属設備)

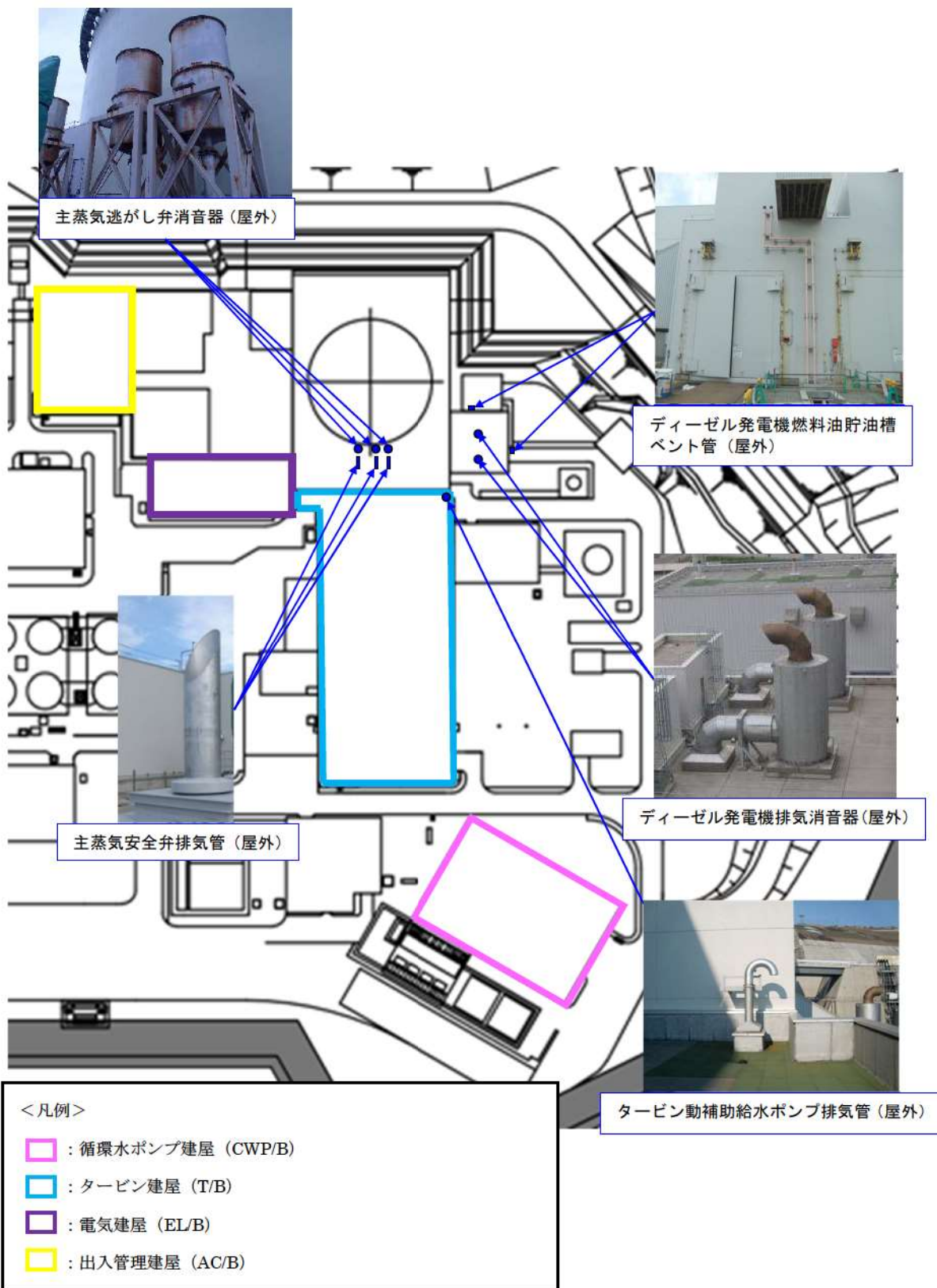
- (a) ディーゼル発電機排気消音器
- (b) 主蒸気逃がし弁消音器
- (c) 主蒸気安全弁排気管
- (d) タービン動補助給水ポンプ排気管
- (e) ディーゼル発電機燃料油貯油槽ベント管

(外部事象防護対象施設を内包する区画の外気と繋がっている換気空調設備)

- (a) 換気空調設備（蓄電池室排気装置）



第1.2.2.4図 外部事象防護対象施設等に波及的影響を及ぼし得る施設の抽出フロー



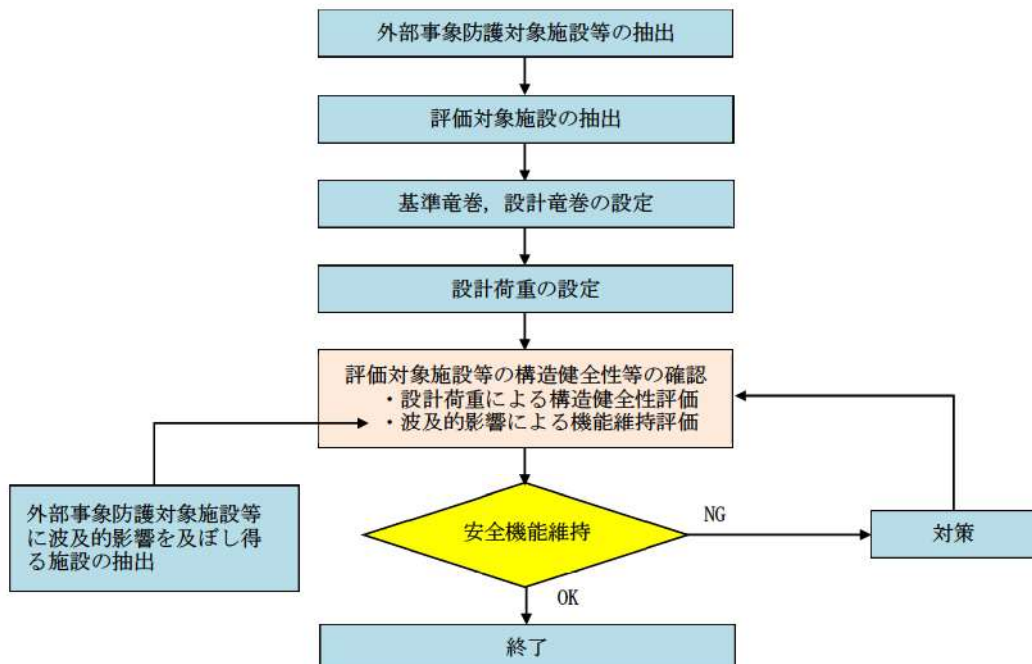
第 1.2.2.5 図 主な外部事象防護対象施設等に波及的影響を及ぼし得る施設

### 1.3 評価の基本的な考え方

#### 1.3.1 評価方法

基準竜巻、設計竜巻及び設計荷重を適切に設定するとともに、評価対象施設等を抽出し、考慮すべき設計荷重に対する評価対象施設等の構造健全性等について評価を行い、必要に応じて対策を行うことで安全機能が維持されていることを確認する。

竜巻影響評価の基本フローを第1.3.1.1図に示す。



第1.3.1.1図 竜巻影響評価の基本フロー

#### 1.3.2 評価対象施設等に作用する荷重

以下に示す設計荷重を適切に設定する。

##### (1) 設計竜巻荷重

設計竜巻荷重を以下に示す。

###### a. 風圧力による荷重

設計竜巻の最大風速による風圧力

###### b. 気圧差による圧力

設計竜巻における気圧低下によって生じる評価対象施設等の内外の気圧差による圧力

###### c. 飛来物の衝撃荷重

設計竜巻によって評価対象施設等に衝突し得る飛来物（設計飛来物）が評価対象

## 施設等に衝突する際の衝撃荷重

### (2) 設計竜巻荷重と組み合わせる荷重

設計竜巻荷重と組み合わせる荷重を以下に示す。

- a. 評価対象施設等に常時作用する荷重、運転時荷重等
- b. 竜巻以外の自然現象による荷重、設計基準事故時荷重等

なお、上記(2)b. の荷重については、竜巻以外の自然現象及び事故の発生頻度等を参照して、上記(2)a. の荷重と組み合わせることの適切性や設定する荷重の大きさ等を考慮して判断する。

具体的な荷重については、「3.3.2 設計竜巻荷重と組み合わせる荷重の設定」に示す。

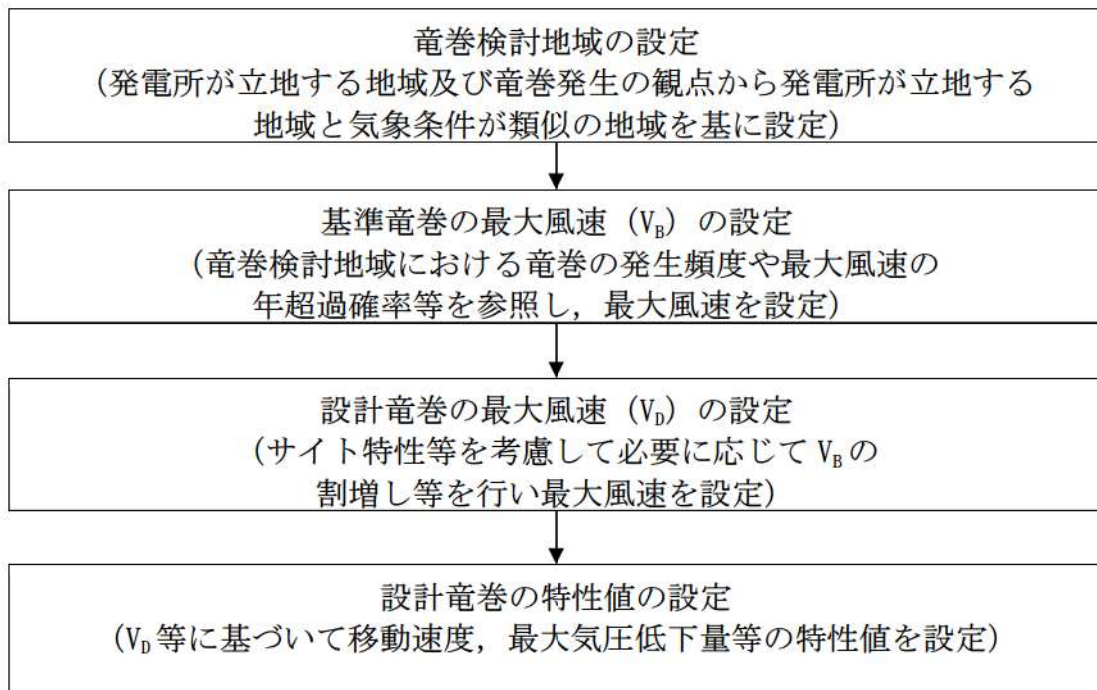
### 1.3.3 施設の安全性の確認方針

設計竜巻荷重及びその他組合せ荷重（常時作用している荷重、竜巻以外の自然現象による荷重、設計基準事故時荷重等）を適切に組み合わせた設計荷重に対して、評価対象施設等、あるいはその特定の区画の構造健全性等の評価を行い、必要に応じて対策を行うことで安全機能が維持されることを確認する。

## 2. 基準竜巻・設計竜巻の設定

### 2.1 概要

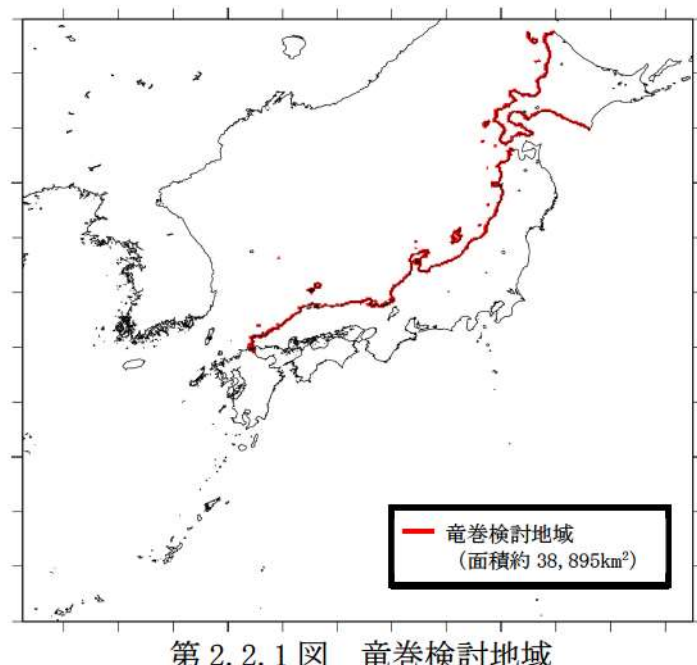
基準竜巻及び設計竜巻の設定フローを第 2.1.1 図に示す。



第 2.1.1 図 基準竜巻・設計竜巻の設定に係る基本フロー

## 2.2 竜巻検討地域の設定

泊発電所に対する竜巻検討地域について、ガイドを参考に、発電所が立地する地域と気象条件の類似性の観点で検討を行い、第 2.2.1 図に示すとおり北海道から本州の日本海側及び北海道の襟裳岬以西の海岸線から陸側及び海側それぞれ 5 km の範囲を竜巻検討地域に設定した（面積約 38,895km<sup>2</sup>）。以下にその妥当性確認の結果を示す。



第 2.2.1 図 竜巻検討地域

## 2.2.1 竜巻検討地域の妥当性確認

竜巻検討地域の妥当性について、以下の観点から確認を実施した。

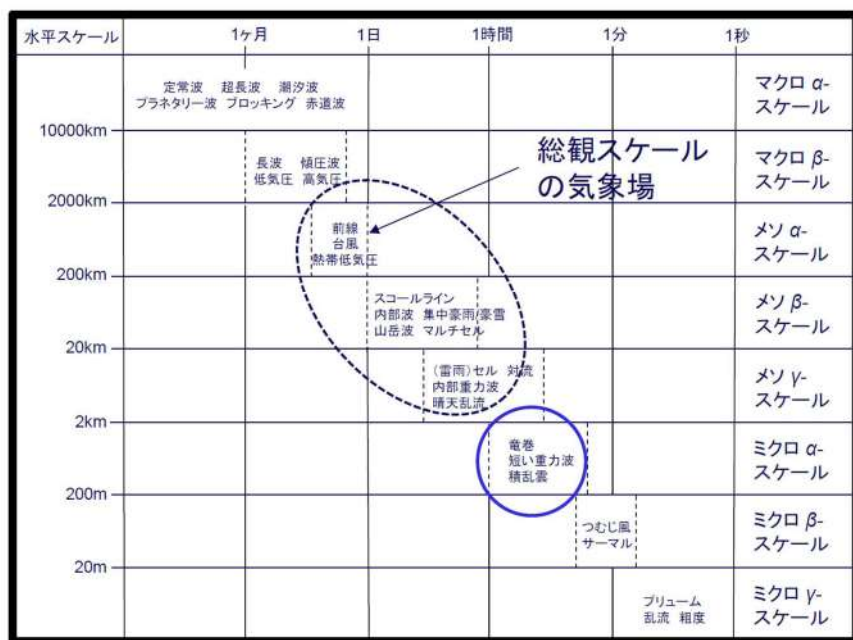
- (1) 気候区分による確認
- (2) 総観場の分析に基づく地域特性の検討
- (3) 過去の竜巻集中地域に基づく地域特性の検討
- (4) 突風関連指標に基づく地域特性の検討

竜巻検討地域は、(1)の確認により、日本海側と太平洋側が気候特性の異なる地域に整理されることを確認するとともに、泊発電所が立地する気候区分（区分I 2）を確認した。

独立行政法人原子力安全基盤機構「原子力発電所の竜巻影響評価ガイド（案）及び解説」の考え方に基づき、竜巻発生要因となる気象条件（総観場）を確認する観点から、(2), (3) の分析により地域特性を確認した。

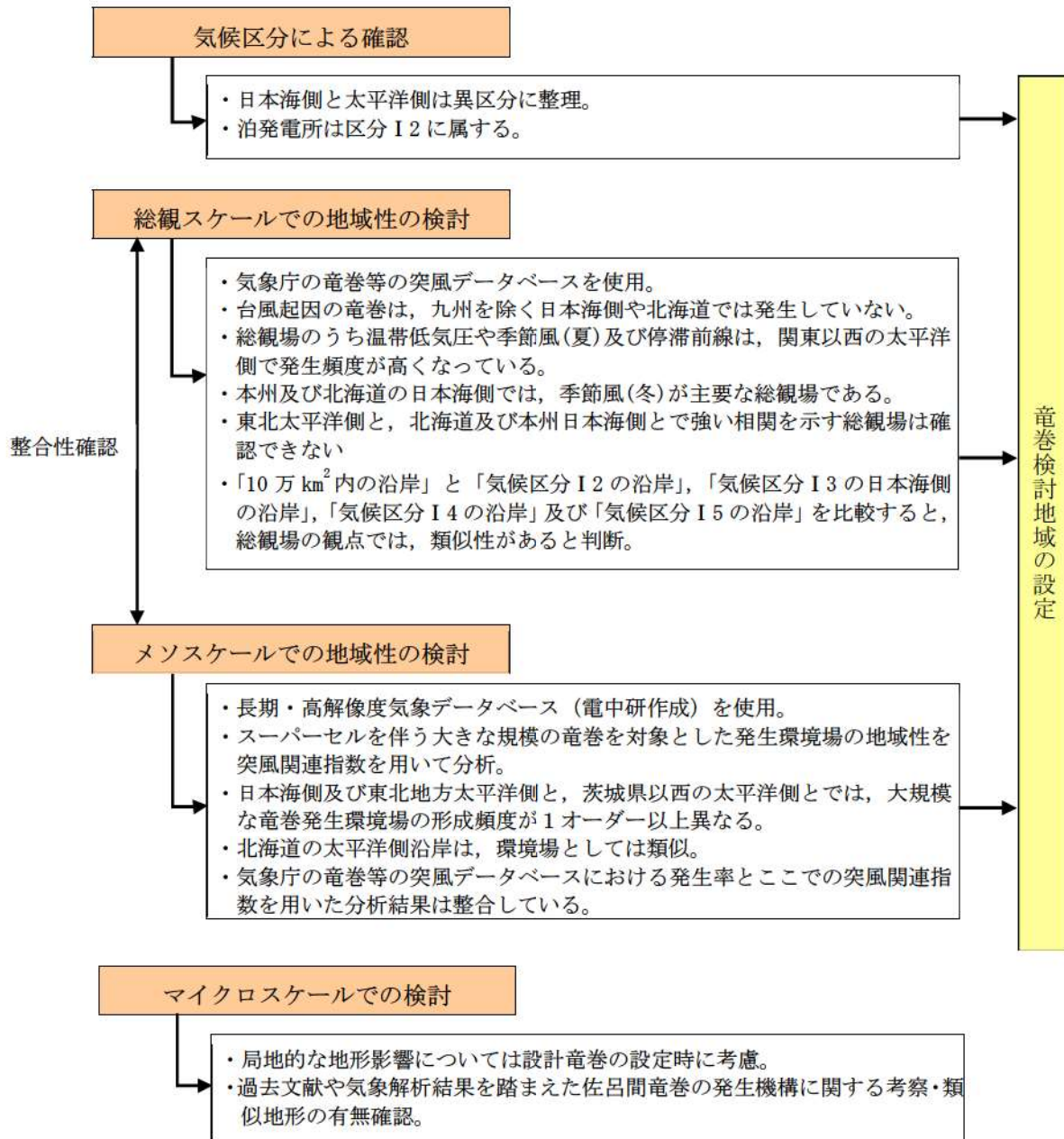
また、一般的に大気現象は時空間スケールの階層構造が見られ、ある大気現象はスケールの小さな現象を内包しているため、大きな竜巻の発生要因となる環境場の形成のし易さを把握する観点から、(4) の分析により、竜巻の発生スケールに近いメソスケールの気象場が有する地域性と齟齬がないことについても確認した。竜巻とその関連気象の時空間スケールを第 2.2.1.1 図に、検討の流れを示したフローを第 2.2.1.2 図に示す。

なお、(4)の突風関連指標を用いた分析は、“大きな竜巻の発生に対する大気場の必要条件”を把握する上で有効であることを踏まえ、(4)の分析結果のみで竜巻検討地域を設定するものではなく、設定した竜巻検討地域の妥当性を確認するために用いている。



第2.2.1.1図 竜巻とその関連気象の時空間スケール※

※：軽水型原子力発電所の竜巻影響評価における設計竜巻風速及び飛来物速度の設定に関するガイドライン，日本保全学会，原子力規制関連事項検討会，2015



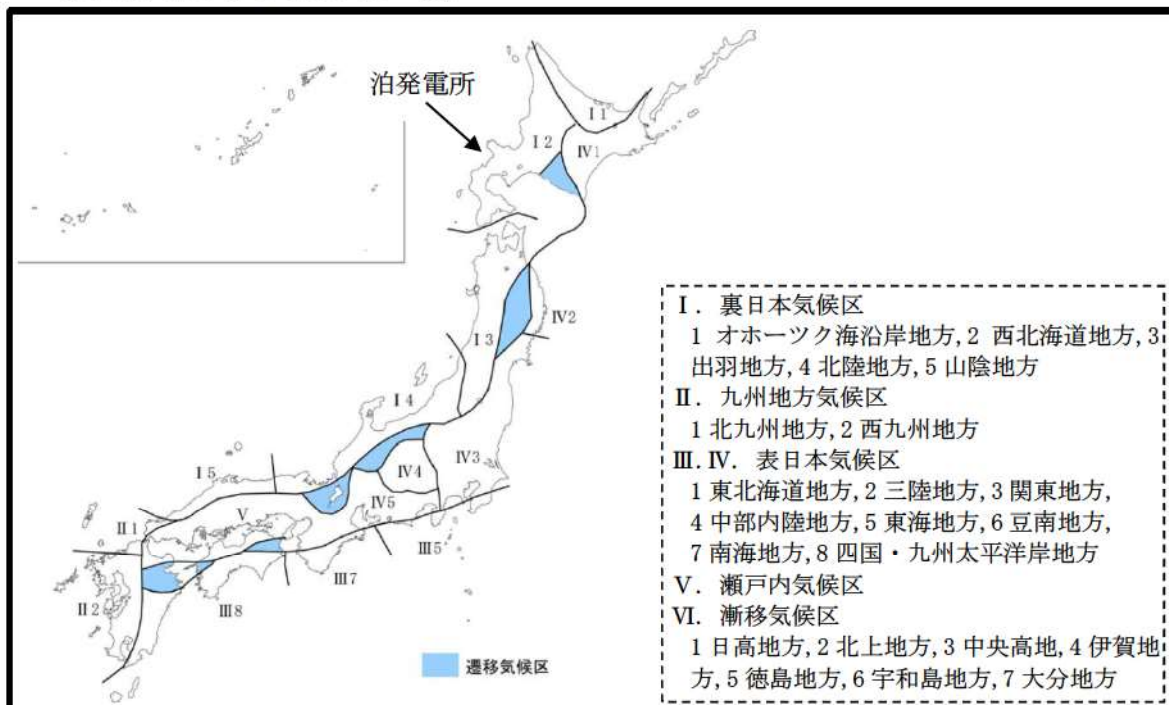
第 2.2.1.2 図 竜巒検討地域の検討フロー

## 2.2.2 気候区分による確認

泊発電所が立地している北海道後志地方は、第2.2.2.1図に示す日本の気候区分において、区分I2に属している。

区分I2の沿岸部は、北海道稚内市からえりも町までの北海道西側を広範囲にカバーする区域となっている。

また、ガイドにおいては、日本海側と太平洋側は気象条件が異なることが例示されており、第2.2.2.1図に示す気候区分においても日本海側と太平洋側は異なる区分であるとされている。



第2.2.2.1図 日本の気候区分

(内閣官房「第5回 道州制ビジョン懇談会 区割り基本方針検討専門委員会資料\*」  
より引用)

\*出典：関口武「日本の気候区分」東京教育大学地理学研究報告（1959）

## 2.2.3 総観場の分析に基づく地域特性の検討

### 2.2.3.1 総観場ごとのFスケール別竜巻発生分布

気象庁の竜巻等の突風データベース\*では、竜巻を発生させた総観場を約40種に分類しているが、独立行政法人原子力安全基盤機構「原子力発電所の竜巻影響評価ガイド（案）及び解説」を参考に、竜巻を発生させる親雲の発生要因を考慮して7種に再編し、発生分布の特徴を分析した。第2.2.3.1.1表に総観場の分類法と発生分布の特徴、第2.2.3.1.1図に全国で発生した竜巻の総観場ごとのFスケール別竜巻発生分布、第2.2.3.1.2図にF2以上の竜巻発生箇所を示す。

※ 気象庁 竜巻等の突風データベース (<http://www.data.jma.go.jp/obd/stats/data/bosai/tornado/index.html>)

### 2.2.3.2 総観場を用いた分析対象範囲

ガイドでは、竜巻検討地域を設定する際に、IAEA の基準\*が参考になるとされており、およそ 10 万 km<sup>2</sup> の範囲を目安とすることが挙げられている。気候区分による確認結果を踏まえ、泊発電所を中心とする 10 万 km<sup>2</sup> (半径 180km) の範囲の沿岸を確認したところ、第 2.2.3.2.1 図に示すとおり、気候区分 I 2 の範囲が該当する。

竜巻検討地域として、第 2.2.3.2.1 図に示した 10 万 km<sup>2</sup> (半径 180km) の範囲が適切であるか、又はさらに広げたエリアを設定することが適切であるかについて、総観場を用い、その類似性を確認することで評価を行う。

総観場の確認において、10 万 km<sup>2</sup> の範囲が属している「I. 裏日本気候区」に着目し、気候区分 I 2 のエリア（宗谷岬から襟裳岬まで）、気候区分 I 3 の日本海側（青森県から山形県まで）、気候区分 I 4（新潟県から兵庫県まで）並びに気候区分 I 5（鳥取県から山口県萩市付近まで）のエリアを対象とした。なお、気候区分 I 1 にあたる宗谷岬以西のオホーツク海沿岸部は、竜巻が発生していないため対象外とした。

第 2.2.3.2.2 図に各エリアの総観場の確認結果を示す。

※ IAEA Safety Standards, Meteorological and Hydrological Hazards in Site Evaluation for Nuclear Installations, Specific Safety Guide No. SSG-18, 2011

### 2.2.3.3 総観場の分析結果

全国で発生した竜巻の総観場ごとの F スケール別竜巻発生分布（第 2.2.3.1.1 図）より、以下に示す①～③の地域性を確認した。また、総観場ごとの確認結果を第 2.2.3.3.1 表に示す。

- ①太平洋側では台風起因の大きな竜巒が多く発生しているのに対し、九州を除く日本海側地域や北海道では発生していない。（第 2.2.3.1.1 図(a)) また、台風は北上するにつれて衰弱しやすい特性を有していることから、仮に台風起因の竜巒が発生した場合も、規模の大きな竜巒の発生可能性は低いと考えられる。
- ②温帯低気圧や季節風(夏)起因の竜巒は全国で発生しているが、規模的には太平洋側で F3 が発生しているのに対し、日本海側では F2 が最大となっている。（第 2.2.3.1.1 図(b), (c)）
- ③季節風(冬)起因の竜巒は、九州を除く日本海側地域に多く発生している。規模的には、北海道を含む日本海側では F2 竜巒が最大となっており、F3 竜巒は発生していない。（第 2.2.3.1.1 図(d)）
- ④気候区分IV（北海道襟裳岬以東の太平洋側及び関東以北の本州の太平洋側）の地域では、竜巒の発生数が少なく、また特徴的な総観場も見られない。

また、地域ごとの竜巻発生総観場及び寄与割合の比較結果(第2.2.3.2.2図)より、以下の内容を確認した。

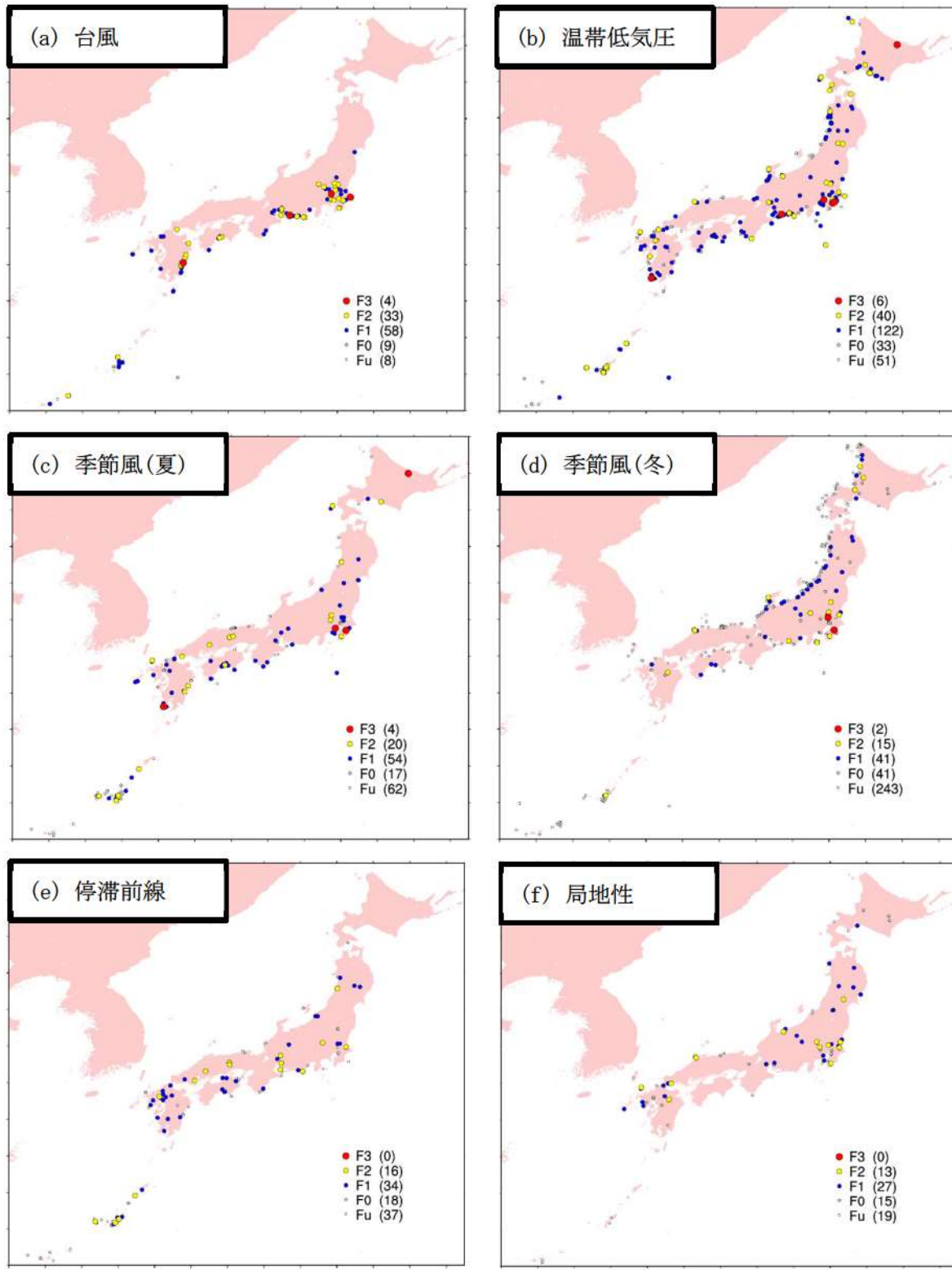
- ⑤「日本海側」と「太平洋側」を比較すると、総観場の分布が大きく異なっており、この点からも気候区分として差別化することが可能と考えられる(第2.2.3.2.2図(a), (b))。
- ⑥「10万km<sup>2</sup>内の沿岸」と「気候区分I2の沿岸」、「気候区分I3の日本海側の沿岸」、「気候区分I4の沿岸」及び「気候区分I5の沿岸」を比較すると、竜巻の発生数は少ないものの「10万km<sup>2</sup>内の沿岸」で確認された総観場がすべて確認できること、また、出現割合が上位の総観場がほぼ共通しているため、類似性のあるエリアとして取り扱うことが適切と考えられる(第2.2.3.2.2図(c)～(g))。

以上の分析結果より、日本海側と太平洋側では竜巻発生要因となる気象条件(総観場)が大きく異なっており、また、北海道から本州の日本海側及び北海道の襟裳岬以西は総観場的に類似性のあるエリアとして考慮する必要があると判断した。

よって、北海道から本州の日本海側及び北海道の襟裳岬以西を竜巻検討地域として設定することが適切と判断した。

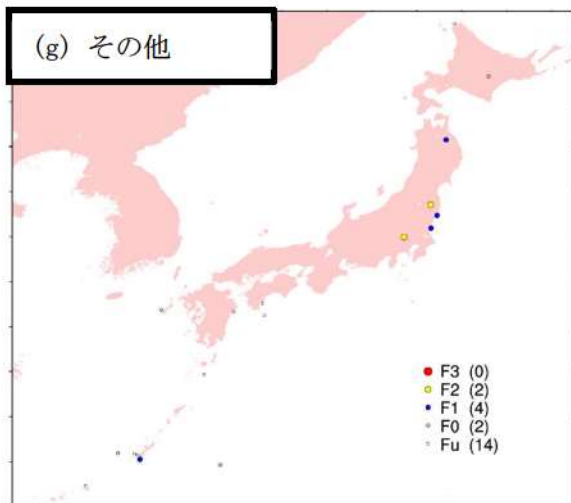
第 2.2.3.1.1 表 総観場の分類法

総観場	気象庁竜巻データベースの分類	特徴
台風	台風	台風を取り巻く雲が竜巻を発生させる。関東以西の太平洋側で発生頻度が高く、F3 竜巻も多くみられる。
温帯低気圧	南岸低気圧, 日本海低気圧, 二つ玉低気圧, 東シナ海低気圧, オホーツク海低気圧, その他（低気圧）, 寒冷前線, 温暖前線, 閉塞前線	寒気と暖気が接し傾圧不安定による組織的な雲が形成する環境場。主に南からの下層の暖湿流が親雲の発達に重要な働きをするため、暖湿流が山岳等で遮られない関東以西の太平洋側で発生頻度が高く、F3 竜巻も見られる。 日本海側での頻度は比較的低め。
季節風（夏）	暖気の移流, 热帯低気圧, 湿舌, 太平洋高気圧	暖湿流が主要因で親雲を形成する環境場。 関東以西の太平洋側や内陸で多く確認されている。
季節風（冬）	寒気の移流, 気圧の谷, 大陸高気圧, 季節風	大気上層に寒気が流入することで大気が不安定になり、竜巻の親雲が形成する環境場。寒気は北～西から移流することが多いため、日本海側や関東以北で発生頻度が高い。
停滞前線	停滞前線, 梅雨前線, 前線帶, 不安定線, その他（前線）	南からの暖湿流により親雲が形成されやすく、関東以西の太平洋側や内陸で発生頻度が高い。
局地性	局地性じょう乱, 雷雨（熱雷）, 雷雨（熱雷を除く）, 地形効果, 局地性降水	局地的な循環により親雲が形成する環境場。内陸で発生頻度が高い。
その他	移動性高気圧, 中緯度高気圧, オホーツク海高気圧, 帯状高気圧, その他（高気圧）, 大循環異常, その他	上記に当てはまらない環境場。全体的に個数は少ない。

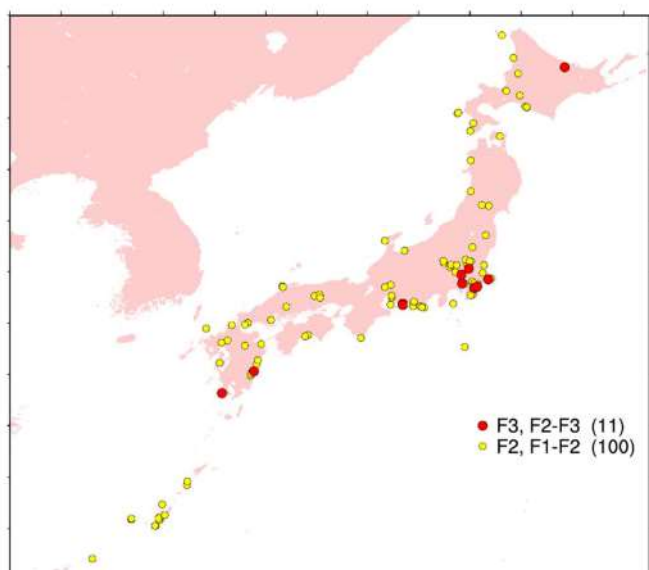


第 2.2.3.1.1 図 総観場ごとのFスケール別龍巻発生分布 (1/2)  
(気象庁「龍巻等の突風データベース」をもとに作成)

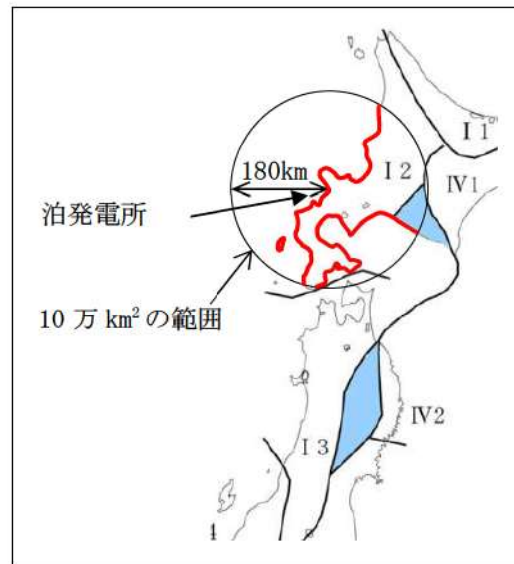
(g) その他



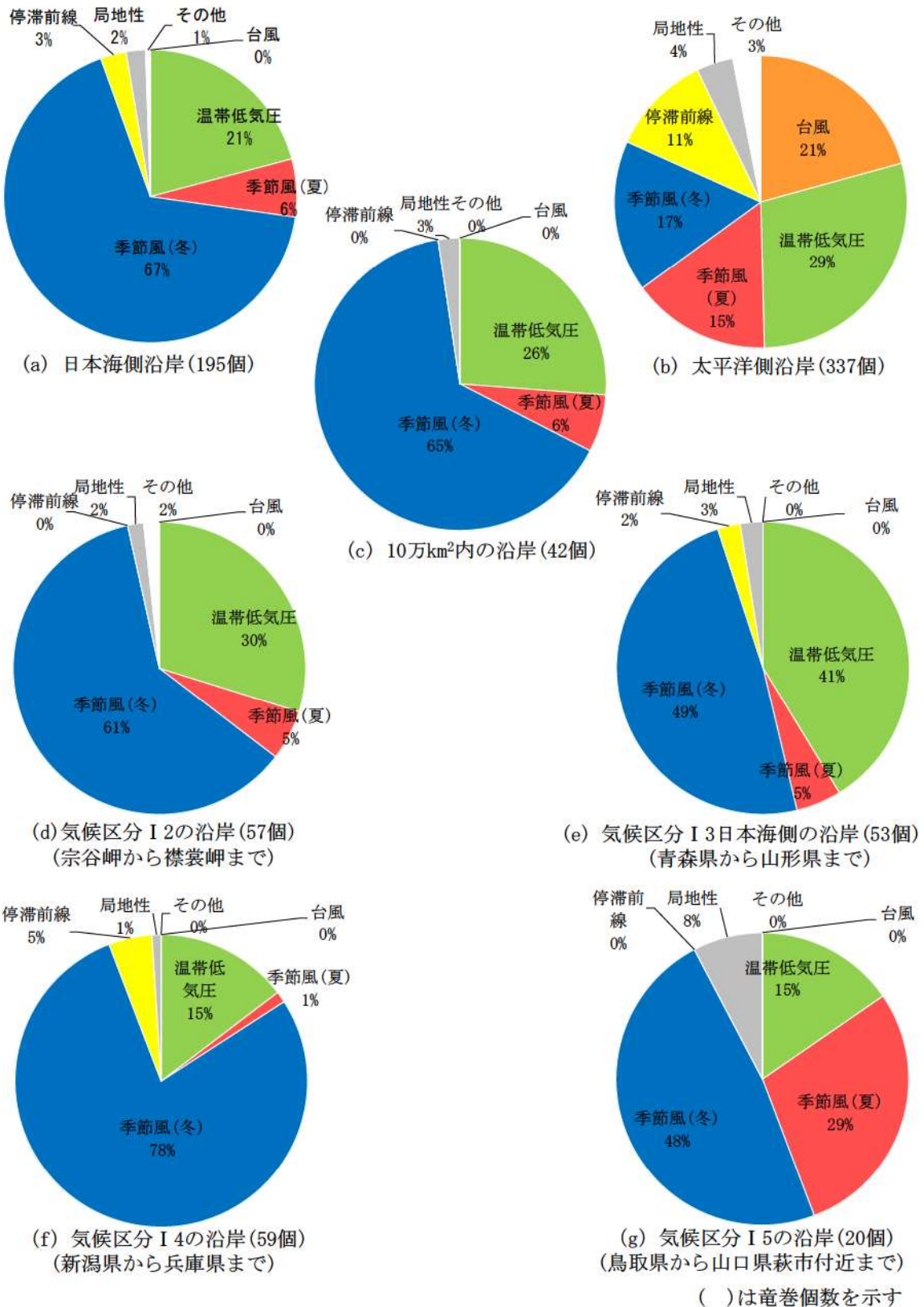
第 2.2.3.1.1 図 総観場ごとのFスケール別竜巻発生分布 (2/2)  
(気象庁「竜巻等の突風データベース」をもとに作成)



第 2.2.3.1.2 図 F2 以上の竜巻発生箇所  
(気象庁「竜巻等の突風データベース」をもとに作成)



第 2.2.3.2.1 図 泊発電所を中心とする 10 万  $\text{km}^2$  の範囲



第2.2.3.2.2図 地域ごとの竜巻発生総観場及び寄与割合の比較

第 2.2.3.3.1 表 総観場ごとの竜巻発生分布の傾向

総観場	傾向
台風	<ul style="list-style-type: none"> <li>・太平洋側で多く発生しており日本海側では確認されていない。規模的には、関東以西の太平洋側では F3 を含む規模の大きな竜巻が発生しているが、東北地方太平洋側では F1 竜巻が 1 件発生しているのみである。</li> <li>・関東地方、中部地方の太平洋側及び九州地方の太平洋側では発生が集中しており、これらの地域は太平洋側の竜巻集中地域に整理されている。</li> <li>・台風は北上（低緯度から中高緯度に移動）するに従い減衰するため、東北地方や北海道など、北部での発生数は少なく、規模も小さくなると考えられる。本州に接近・上陸する台風の減衰は、地表面摩擦の増大による風速の減衰に加え、海水温が低下するため、台風の維持、発達に必要な海から供給される水蒸気量が減少し減衰する。</li> </ul>
温帯低気圧	<ul style="list-style-type: none"> <li>・温帯低気圧起因の竜巻は全国で発生しているが、規模的には太平洋側で F3 竜巻が発生しているのに対し、日本海側では F2 竜巻が最大となっている。</li> <li>・暖湿流が山岳等で遮られない関東以西の太平洋側で多くの F3 竜巻の発生が確認できる。</li> <li>・日本海側では、寒冷前線やその通過後の寒気の流入により発達した親雲にて発生する竜巻が多い。西側に開けた地域で多く見られ、北海道南西部、日高地方南西部、青森から山形の海岸線沿い、などで多くの竜巻の発生がみられる。</li> </ul>
季節風（夏）	<ul style="list-style-type: none"> <li>・季節風（夏）起因の竜巻は全国で発生しているが、関東以西の太平洋側や内陸で多く発生している。</li> <li>・規模的には、太平洋側で F3 竜巻が発生しているのに対し、日本海側では F2 竜巻が最大となっている。</li> </ul>
季節風（冬）	<ul style="list-style-type: none"> <li>・季節風（冬）起因の竜巻は、九州を除く日本海側地域に多く発生している。規模的には、北海道日本海側では F2 竜巻が 1 件発生しているのみで、F3 竜巻は発生していない。</li> <li>・太平洋側では、大気下層に暖気が流入すると、大気が不安定になり親雲が発達しやすい環境が形成されるため、強い竜巻の発生が多くみられ、F3 竜巻が最大となっている。</li> </ul>
停滞前線	<ul style="list-style-type: none"> <li>・関東以西の太平洋側や内陸で発生頻度が高く、日本海側では F2 竜巻が 1 件発生している。</li> </ul>
局地性	<ul style="list-style-type: none"> <li>・地形的な影響によるものであり、全国で発生している。</li> </ul>
その他	<ul style="list-style-type: none"> <li>・全国的に発生数は少なく、地域差はみられない。</li> </ul>

## 2.2.4 過去の竜巻集中地域に基づく地域特性の確認

日本で竜巻が集中する地域については、独立行政法人原子力安全基盤機構「原子力発電所の竜巻影響評価ガイド（案）及び解説」に、全国 19箇所の竜巻集中地域が示されている。

第 2.2.4.1 図に示すとおり、泊発電所は、竜巻集中地域②（北海道の後志地方・渡島地方・檜山地方の一部）に立地している。したがって、基本的な考え方としては泊発電所における竜巻検討地域は、この竜巻集中地域②とすることが考えられる。

ただし、気象庁「竜巻等の突風データベース」によると、1961年1月から2012年6月の51.5年間に発生が確認された竜巻の個数は竜巻集中地域②で21個であり、この期間に竜巻集中地域②で観測されている最も強い竜巻は藤田スケールでF2となる。（第 2.2.4.1 表）

竜巻発生の影響評価の観点からすると、データ数は多い方がよいため、竜巻検討地域として北海道から本州の日本海側及び北海道太平洋側の襟裳岬以西の海岸線を設定し、その妥当性を検討する。

なお、設定した竜巻検討地域の竜巻個数は209個、観測された最も強い竜巻はF2となる。第 2.2.4.2 表に竜巻検討地域内でのF1を超える竜巻の観測記録を示す。

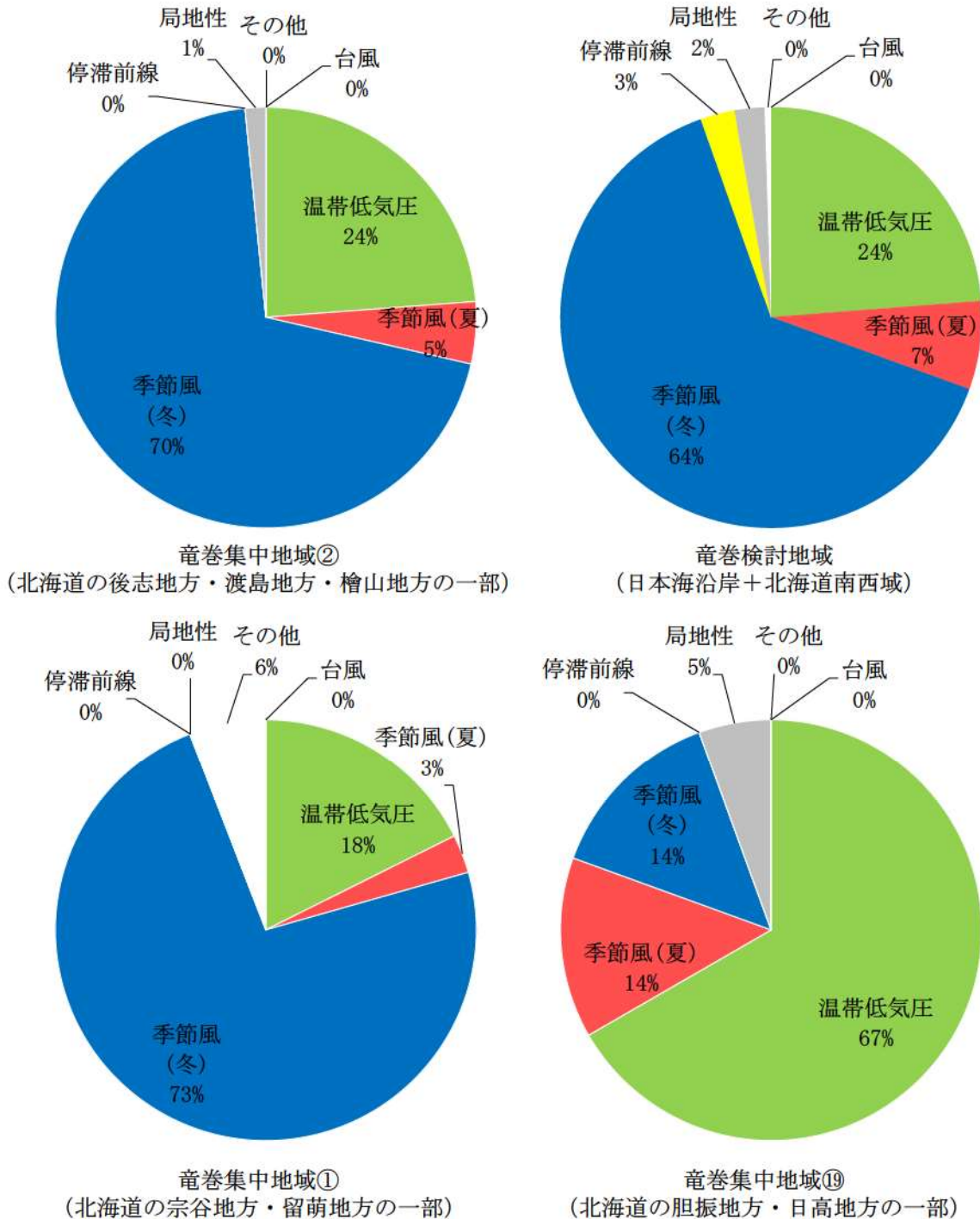
竜巻検討地域と竜巻集中地域②の竜巻発生確率は、 $1.0 \times 10^{-4}$ ,  $1.1 \times 10^{-4}$ （個/年/km<sup>2</sup>）であり、単位面積当たりの竜巻発生数はおおむね同程度である。竜巻集中地域②における竜巻は21事例とかなり少なく、影響評価を行うにはデータ数が乏しいため、209個の竜巻個数がある竜巻検討地域を評価対象とすることは妥当な設定である。



第2.2.4.1図 龍巻の発生地点と龍巻が集中する19個の地域  
 (独立行政法人原子力安全基盤機構「原子力発電所の龍巒影響評価ガイド(案)及び解説」より引用)

龍巻の地域特性を検討するため、龍巻集中地域②と龍巻検討地域、龍巻集中地域②に隣接する龍巻集中地域①（北海道の宗谷地方・留萌地方の一部）と⑯（北海道の胆振地方・日高地方の一部）における総観場の比較を行った。

第2.2.4.2図に各地域の龍巻発生要因に関する総観場の特徴を示す。また、第2.2.4.1表に総観場の特徴を示す。



第 2.2.4.2 図 各地域の竜巻発生要因に関する総観場の特徴

竜巻集中地域②で発生した竜巻の総観場は、”季節風(冬)”が70%,”温帯低気圧”が24%を占める。竜巻検討地域では、竜巻集中地域②と同様に”季節風(冬)”と”温帯低気圧”的比率が高い。これらの地域では、寒気にともなって発生した親雲に起因した竜巻が多いと推測できる。また、両地域とも、太平洋側で多くみられる台風起因の竜巻は今のところ確認されていない。

また、竜巻集中地域②に隣接する竜巻集中地域①及び⑯についても、”季節風(冬)”と”温帯低気圧”が竜巻発生の主要因となっている。

以上の分析結果より、北海道から本州の日本海側及び北海道太平洋側の襟裳岬以西を竜巻検討地域に設定することは竜巻集中地域における地域特性の観点からも妥当であると考えられる。

第 2.2.4.1 表 F スケールごとの総観場のまとめ

	個数	総観場 1 位 (比率%)	総観場 2 位 (比率%)	総観場 3 位 (比率%)	主移動方向 (比率%)
集中地域	全体	21	季節風（冬） 70%	温帯低気圧 24%	季節風（夏） 5% 東 29%
	F2	4	温帯低気圧 87%	季節風（夏） 13%	北東，西 50%
	F1	1	温帯低気圧 50%		北東 100%
	F0	1	温帯低気圧 100%		北東 100%
	F 不明	15	季節風（冬） 98%	局地性 2%	季節風（夏） 2% 東 38%
	② F1 以上	5	温帯低気圧 80%	季節風（夏） 20%	北東 67%
	F0 以上	6	温帯低気圧 83%	季節風（夏） 17%	北東 75%
	全体	209	季節風（冬） 64%	温帯低気圧 24%	季節風（夏） 7% 東 36%
竜巻検討地域	F2	13	温帯低気圧 68%	季節風（冬） 18%	季節風（夏） 8% 北東 56%
	F1	45	温帯低気圧 56%	季節風（冬） 36%	局地性 5% 東 30%
	F0	29	季節風（冬） 67%	温帯低気圧 26%	停滞前線 3% 東 40%
	F 不明	122	季節風（冬） 78%	季節風（夏） 9%	温帯低気圧 7% 東 43%
	F1 以上	58	温帯低気圧 58%	季節風（冬） 32%	局地性 6% 東 25%
	F0 以上	87	温帯低気圧 48%	季節風（冬） 44%	局地性 4% 東 30%
	全体	17	季節風（冬） 73%	温帯低気圧 18%	その他 6% 北東，東 40%
	① 集中地域				
集中地域	全体	12	温帯低気圧 67%	季節風（冬） 14% 季節風（夏） 14%	北東 46%
	全体	337	温帯低気圧 29%	台風 21%	季節風（冬） 17% 北東 23%
太平洋側					

第2.2.4.2表 竜巻検討地域における竜巻の観測記録 (F1より大きい竜巻)  
(気象庁「竜巻等の突風データベース」より作成)

発生日時	発生場所		Fスケール ※	総観場
	都道府県	市町村		
1962年09月28日 14時20分	北海道	宗谷支庁 東利尻町	(F2)	寒冷前線
1971年10月17日 05時00分	北海道	留萌支庁 羽幌町	(F2)	寒気の移流
1974年10月03日 19時05分	北海道	檜山支庁 奥尻郡奥尻町	(F1～F2)	温暖前線
1974年10月20日 15時00分	北海道 檜山支庁	檜山郡上ノ国 町	(F1～F2)	寒冷前線
1975年05月31日 18時10分	島根県	簸川郡大社町	(F2)	日本海低気圧 局地性 じょう乱 寒気の移流
1975年09月08日 01時30分	北海道 檜山支庁	奥尻郡奥尻町	(F1～F2)	日本海低気圧 暖気の 移流
1979年11月02日 01時58分	北海道 渡島支庁	松前郡松前町	(F2)	日本海低気圧 温暖前 線
1980年10月31日 09時30分	北海道 日高支庁	門別町	(F1～F2)	閉塞前線
1989年03月16日 19時20分	島根県	簸川郡大社町	(F2)	局地性じょう乱 寒気 の移流
1990年04月06日 02時55分	石川県	羽咋郡富来町	F2	オホーツク海低気圧 気圧の谷
1994年10月05日 06時35分	北海道 日高支庁	門別町	F1～F2	寒冷前線
1999年11月25日 15時40分	秋田県	八森町	(F1～F2)	日本海低気圧 寒冷前 線
2004年10月22日 16時50分	北海道 日高支庁	門別町	F2	寒冷前線 暖気の移流

※ Fスケールは、ア) 被害の詳細な情報等から推定できたもの、イ) 文献等からの引用又は被害のおおまかな情報等から推定したもの、があり、F2以上の事例ではア)とイ)を区別し、イ)の場合には値を括弧で囲んでいる。

## 2.2.5 突風関連指標に基づく地域特性の検討

総観場での検討に加え、大きな被害をもたらす強い竜巻の発生要因となる環境場の形成のし易さに対する地域特性を検討するため、気象庁や米国気象局における現業においても竜巻探知・予測に活用されており、竜巻の発生し易さを数値的に示すことができる突風関連指標を用いて地域特性の検討を行った。なお、突風関連指標を用いての検討については日本海側と太平洋側の地域性が異なること、さらに立地地域とその他の地域の特性を確認するために実施したものであり、特

定規模の竜巻発生の可能性を評価するものではない。

#### 2.2.5.1 突風関連指数を用いた竜巻予測の技術について

竜巻の主な発生メカニズムは、二つに大別されると考えられている。一つは局地的な前線（寒気団と暖気団との境界線）に伴って生じた渦が上昇流によって引き伸ばされて竜巻となるもので、比較的寿命が短く強い竜巻になりにくくとされている。

もう一つは「スーパーセル」と呼ばれる、回転する継続した上昇気流域（メソサイクロン）を伴った非常に巨大な積乱雲に伴って竜巻が発生するものである。スーパーセル内では、下降流域と上昇流域が分離されるため、巨大な積乱雲が長時間持続する傾向にある。近年、ドップラーレーダによる解析を基にした竜巻の事例調査が進んだことにより、大きな被害をもたらす強い竜巻の多くはスーパーセルに伴って発生することが判明している。現状、竜巻を直接予測することは困難であるが、大規模竜巻の発生と関係が深いスーパーセルの発生環境を予測することにより竜巻発生を間接的に予測できる。以下に、竜巻発生予測について、突風関連指数を適用している例を示す。

#### 気象庁での突風関連指数の適用状況

気象庁では平成20年3月から、低気圧の発達等に関する半日から1日程度前に発表する予告的な気象情報において、11種類の突風関連指数を算出し、竜巻やダウンバースト等の激しい突風が発生する可能性があると予測される場合には、当気象情報において注意喚起することとした。

その後、気象庁では竜巻等の突風の予測プロダクトとして、平成22年5月より竜巻発生確度ナウキャスト情報の提供を開始した。竜巻発生確度ナウキャストは、「竜巻が今にも発生する（又は発生している）可能性の程度」（発生確度）を10分ごとに解析した結果をもとに、降水域の移動ベクトル等を用いて1時間先まで発生確度を予測する。発生確度の解析は、以下の二つの技術を組み合わせて実施している。

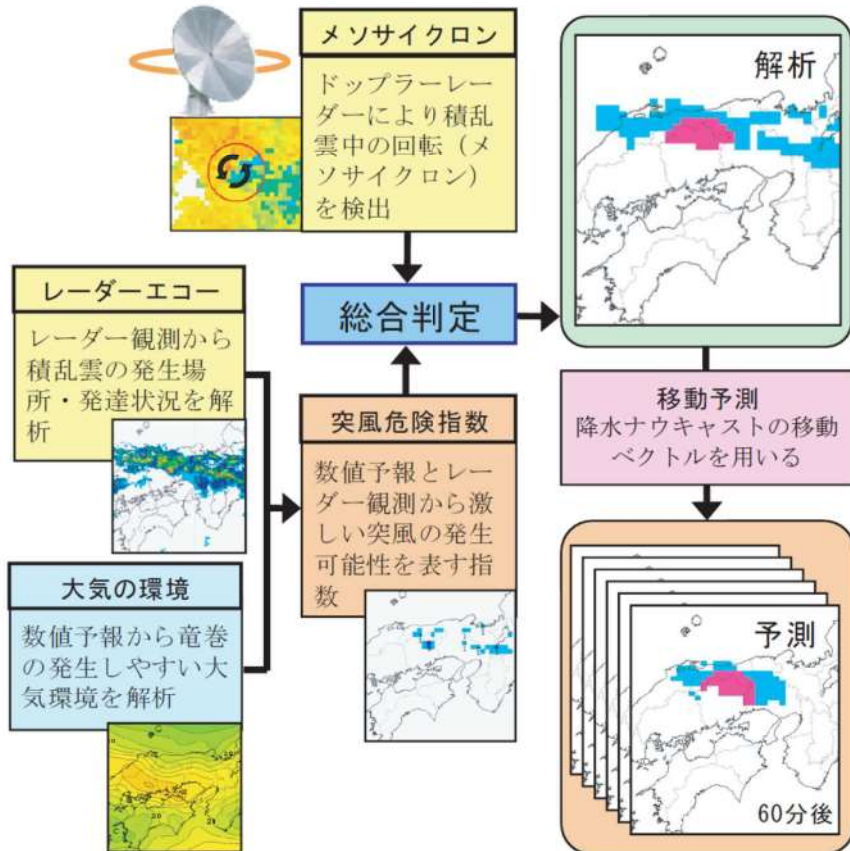
- ・気象ドップラーレーダ観測によるメソサイクロン（親雲）検出技術
- ・メソ数値予測（MSM）を用いた突風危険指数の算出技術

竜巻発生確度ナウキャストにおけるデータ等の流れを第2.2.5.1.1図に示す。竜巻発生確度ナウキャストは最新の観測・解析データをもって短いリードタイムの予測を迅速に行うことが主目的のため、レーダープロダクトに重みを置いている。また、小さな竜巻も見逃しなく予測できるような説明変数として突風関連指数を選択している。

以上のように、気象庁では竜巻の監視や様々なリードタイムに対する予測に突風関連指数を活用している。

## 海外での突風関連指数の適用状況

海外では、米国の気象庁にあたる NOAA の SPC (ストーム予測センター)においても気象庁と同様に、突風関連指数の情報とレーダー観測のデータが現業で活用されおり、突風関連指数に関する検討も盛んに行われている。



出典：測候時報 78.3 2011 竜巻発生確度ナウキャスト・竜巻注意情報について  
－突風に関する防災気象情報の改善－ 潛下洋一

第 2.2.5.1.1 図 竜巻発生確度ナウキャストの解析・予測技術

### 2.2.5.2 検討に用いる突風関連指数について

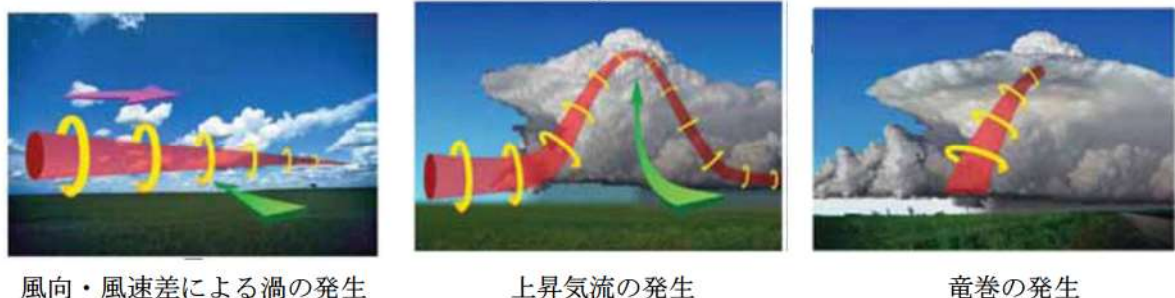
大きな被害をもたらす竜巻の親雲の多くはスーパーセルであり、スーパーセルの発生環境は予測できる技術があつて気象庁等でも活用されていることを述べてきた。ここでは、本検討に用いる突風関連指数について説明する。

第 2.2.5.2.1 図に竜巻の発生メカニズムを示す。スーパーセルが発生しやすい環境場として、大気下層の鉛直シア（異なる高度間での風向・風速差）と、強い上昇気流を起こすきっかけとしての不安定な大気場が必要である。本検討では、大気の不安定度を表す指標として「CAPE」、鉛直シアに伴つて発生する水平渦度が親雲に取り込まれる度合いを表す指標として「SReH」を採用し、両者の指標が同時に高くなる頻度について、地域的な特徴を確認する分析を行つた。また、両者を掛け合わせた指標である EHI による分析も行い、SReH・CAPE の同時超過頻度分析との比較を行つた。

SReH, CAPE, EHI については、竜巻の発生実態を解明する研究において国内

外で広く利用され、竜巻発生の環境場との関連づけ等の知見が多く蓄積されており、気象庁での竜巻予測に用いる突風関連指数の中でも主な指標として紹介されているため、本検討を行う上でも妥当なものと考えられる。

SReH、CAPE 及びその複合指数である EHI について以下に説明する。



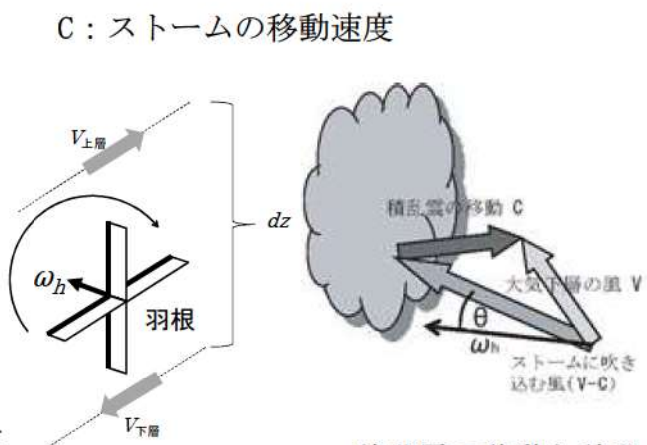
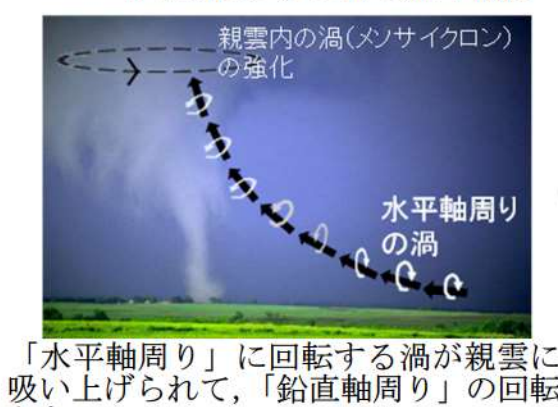
第 2.2.5.2.1 図 竜巻の発生メカニズム\*

\* : U. S. DEPARTMENT OF COMMERCE (National Oceanic and Atmospheric Administration, National Weather Service), A Preparedness Guide Including Tornado Safety Information for Schools

- (1) SReH (Storm Relative Helicity) : ストームの動きに相対的なヘリシティ)  
風向・風速差により発生した渦度が親雲に取り込まれる度合であり、値が大きいほど、積乱雲はスーパーセルに発達しやすい（第2.2.5.2.2図）。

$$SReH = \int_{\text{地上}}^{\text{高度}3km} (\mathbf{V} - \mathbf{C}) \cdot \boldsymbol{\omega} dz$$

$\mathbf{V}$  : 水平風速ベクトル  
 $\boldsymbol{\omega}$  : 鉛直シアに伴う水平渦度



第 2.2.5.2.2 図 SReH の概念図

(2) CAPE (Convective Available Potential Energy : 対流有効位置エネルギー)  
上昇気流の発生しやすさを表し、値が大きいほど背の高い積乱雲に発達しやすいため、大気の不安定度の指標となる（第 2.2.5.2.3 図）。

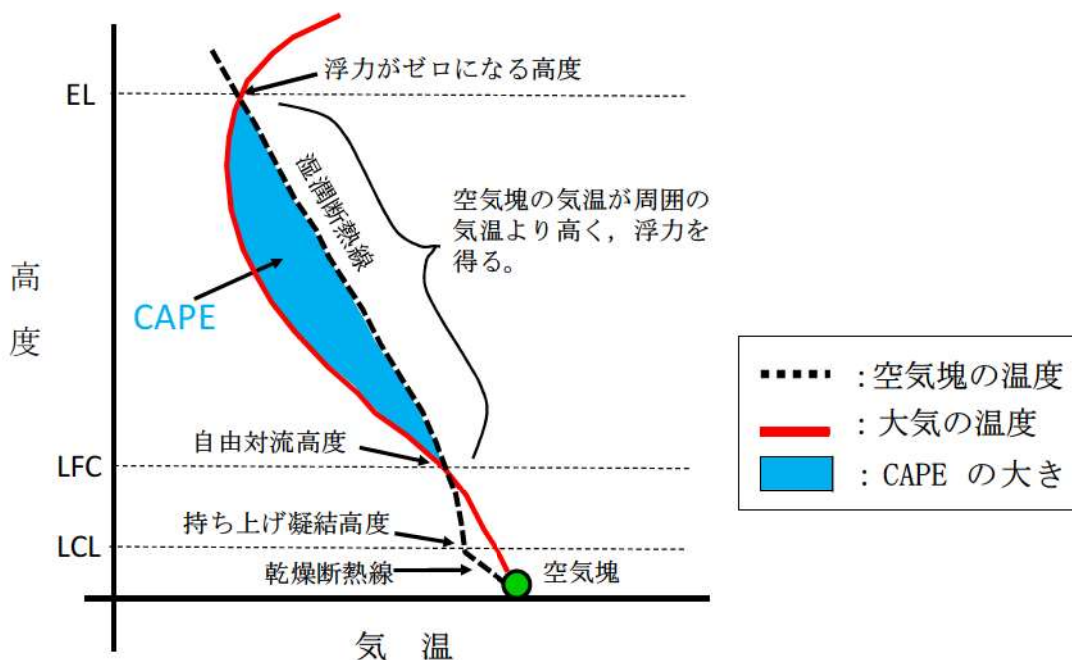
$$\text{CAPE} = \int_{LFC}^{EL} g \frac{\theta_e'(z) - \theta_e(z)}{\theta_e(z)} dz$$

$g$  : 重力加速度

$\theta_e$  : ストーム周囲の相当温位

$\theta_e'$  : 持ち上げ空気塊の相当温位

$dz$  : 鉛直方向の層厚



第 2.2.5.2.3 図 CAPE の算出概念\*

\*: 軽水型原子力発電所の竜巻影響評価における設計竜巻風速及び飛来物速度の設定に関するガイドライン、日本保全学会、原子力規制関連事項検討会、2015

(3) EHI (Energy Helicity Index)

SReH 及び CAPE を用いて算出し、スーパーセルや竜巻の発生しやすさを経験的に指標化したものであり、米国では CAPE 単独又は SReH 単独に比べると、竜巻発生との相関関係が高いとされている。

$$EHI = \frac{SReH \times CAPE}{160,000}$$

#### (参考) 相当温位

温位とは、下式に示すように気温  $T$  と気圧  $p$  に関する量であり、ある空気塊を断熱的に基準圧力 1,000hPa に戻したときの絶対温度である。

2 つの空気塊を比較した場合、温位の高い空気塊は軽く上昇しやすく（不安定であり）、単位体積中に含みうる水蒸気量が多いため、大きな積乱雲の発生につ

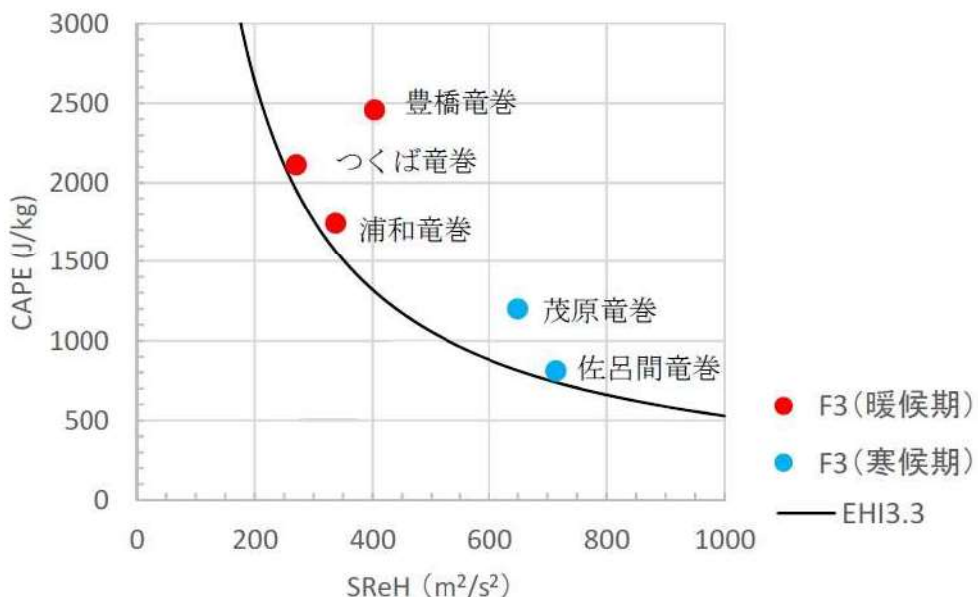
ながる。

相当温位は、空気塊に含まれる水蒸気の持っている潜熱（水蒸気が凝結する際に空気塊の温度が上昇）の影響も考慮された温位である。

$$\theta = T \left( \frac{1000}{p} \right)^{\frac{R}{C_p}} \quad (R: \text{気体定数}, C_p: \text{定圧比熱})$$

#### 2.2.5.3 突風関連指数の地域特性

これまでに発生した F3 竜巻に対する突風関連指数の分析結果を第 2.2.5.3.1 図に示す。WRF モデル (Weather Research and Forecasting model) と呼ばれる数値気象モデルを用いて当時の気象場を解析（再現）し、それをもとに突風関連指数を算出している。第 2.2.5.3.1 図をみると、季節によって CAPE の値が大きく異なるものの、F3 竜巻事例では共通して SReH と CAPE の両方が大きくなる傾向が見られた。



第 2.2.5.3.1 図 F3 竜巻における SReH と CAPE の関係

大きな竜巻を引き起こすスーパーセルの発生要因の指標である SReH と CAPE について、国内で（太平洋側で）発生した F3 竜巻では、SReH と CAPE の両方（あるいは複合指数である EHI）が大きな値をとる傾向が見られる。また、これまでに発生した国内における F2-F3 を含めたすべての F3 竜巻（6 事例）は、スーパーセルを伴っていたことが報告されている。

したがって、SReH と CAPE それぞれに対して閾値を設け、その閾値を同時に超える頻度（以下「同時超過頻度」という。）を分析することにより、スーパーセルに伴って発生するような大規模な竜巻の発生環境を観点とした地域性を見出だすことができると考えられる。

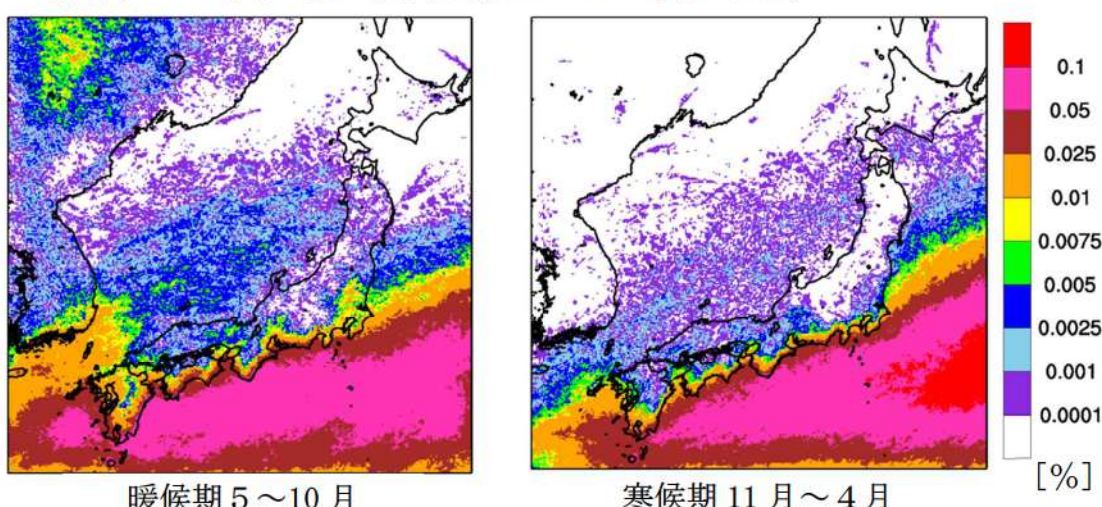
#### 2.2.5.4 突風関連指数の同時超過頻度による地域性の検討

SReH と CAPE の閾値については、第 2.2.4.5.1 図の F3 竜巻のデータをもとに、実際の竜巻発生地点と対応するよう、下記のように設定した。また、CAPE の閾値については、緯度・季節で絶対値が大きく変わるため、5 月～10 月（暖候期）及び 11 月～4 月（寒候期）に分けて閾値を設定した。

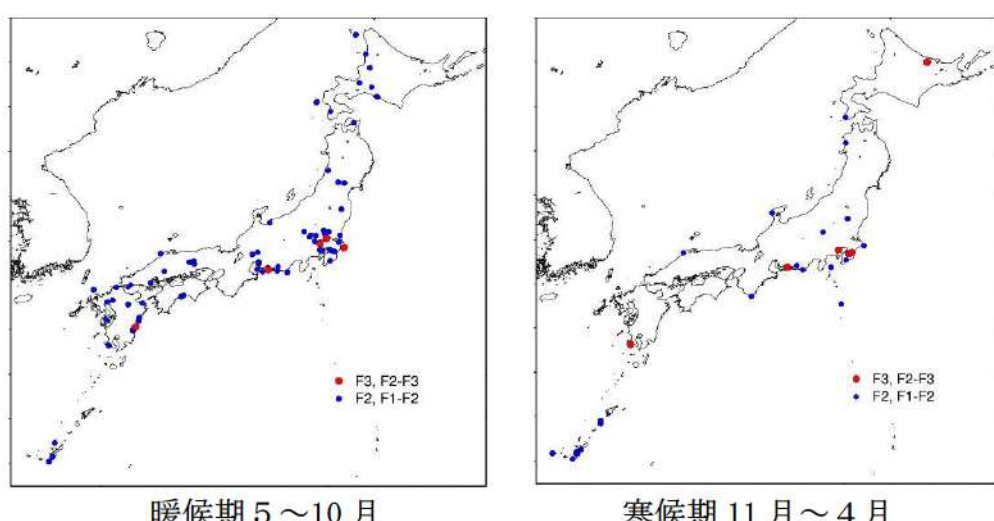
[5 月～10 月（暖候期）] SReH : 250m<sup>2</sup>/s<sup>2</sup>, CAPE : 1,600J/kg

[11 月～4 月（寒候期）] SReH : 250m<sup>2</sup>/s<sup>2</sup>, CAPE : 600J/kg

第 2.2.5.4.1 図は、1961 年～2010 年までの 50 年間にわたって 1 時間ごとに解析されたデータをもとに、SReH と CAPE の同時超過頻度分布をマップ化したものである。また、気象庁「竜巻等の突風データベース」で確認された F2-F3 竜巻及び F3 竜巒の発生箇所を第 2.2.5.4.2 図に示す。



第 2.2.5.4.1 図 F3 規模以上を対象とした SReH, CAPE 同時超過頻度分布



第 2.2.5.4.2 図 F2 規模以上の発生箇所

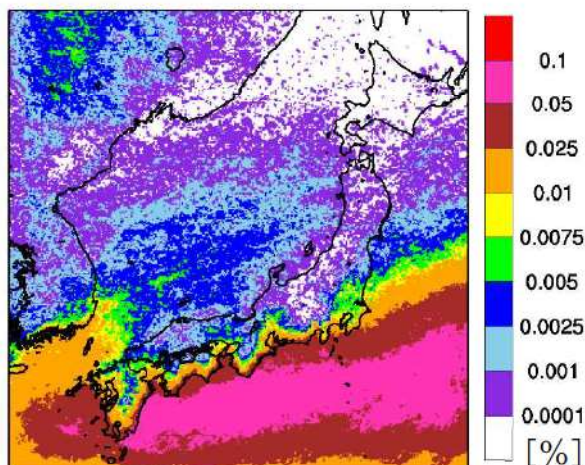
(気象庁「竜巻等の突風データベース」より作成)

また、EHIについても、SReHとCAPEと同様に閾値を設け超過頻度について分析した。EHIの閾値については、過去のいずれのF3事例においてもEHIが3.5程度を越えていることから、それを包含する値としてEHI:3.3を設定した（暖候期と寒候期は分けない）。

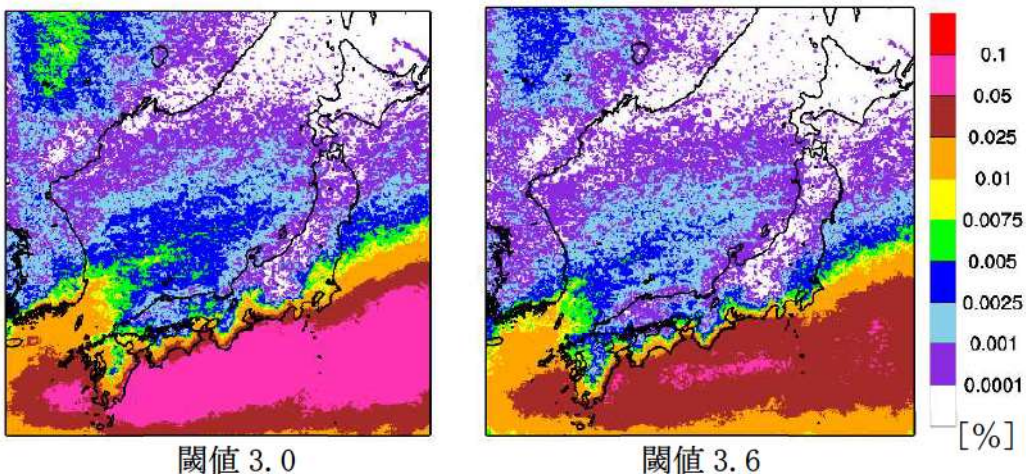
EHIの超過頻度分布をマップ化したものについても第2.2.5.4.3図に示す。SReH、CAPEの同時超過頻度分布（第2.2.5.4.1図）に対応した結果となっており、EHIを用いて通年レベルの評価を行った場合でも地域特性がはつきり表れている。

以上により、CAPE、SReH、EHIについてF3以上を想定した特定の閾値を設けた場合の分析を実施したが、突風関連指標については不確実性が存在するため、EHI:3.0及び3.6を設定した場合についても同様の地域性が現れることを確認した（第2.2.5.4-4図）。ただし、閾値を大きくした場合、実際にF3が発生した関東平野内を包含できなくなる。また閾値を小さくした場合、小さな竜巻が発生する環境場をカウントすることから、地域性は薄れていくことがわかる。

なお、CAPE、SReHについても同様の感度解析を実施しており、同様の傾向が得られることを確認した。【添付資料2.2付録E】



第2.2.5.4.3図 EHIの超過頻度分布（閾値3.3）



第 2.2.5.4.4 図 EHI の超過頻度分布

突風関連指数による、大規模な竜巻形成につながる環境場の発生頻度分析を行った結果、福島県以北の東北地方太平洋側及び日本海側は、茨城県以西の太平洋側沿岸よりも 1~2 オーダー以下の頻度となることが分かった。

スーパーセルに伴って発生する大規模な竜巻形成につながる環境場の発生頻度分布の観点からも、東北地方太平洋側及び日本海側は、茨城県以西の太平洋側と地域特性の違いがあることを確認した。

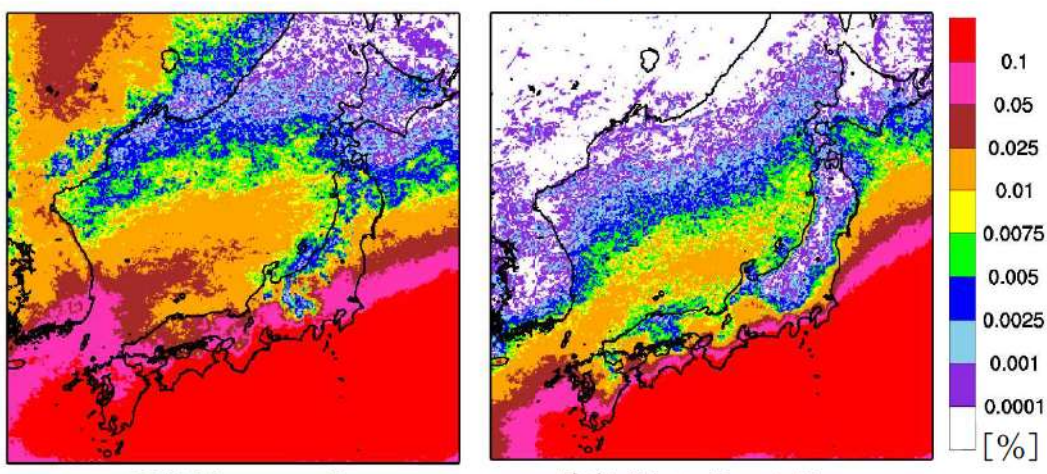
参考として、F2 規模の竜巻について同様の検討を行った。閾値の設定は F2 規模の竜巻発生時の実績をもとに以下の様に設定した。

[5月～10月(暖候期)] SReH :  $200\text{m}^2/\text{s}^2$ , CAPE :  $1,000\text{J/kg}$

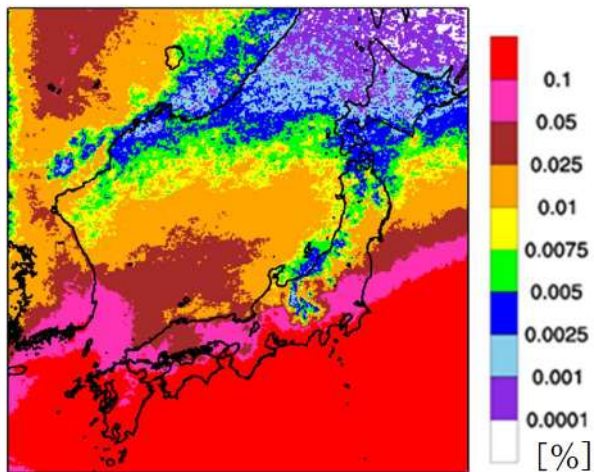
[11月～4月(寒候期)] SReH :  $200\text{m}^2/\text{s}^2$ , CAPE :  $350\text{J/kg}$

EHI を用いる場合の閾値 EHI : 1.5

SReH, CAPE の同時超過頻度分析の結果を第 2.2.5.4.5 図に、EHI の超過頻度分布を第 2.2.5.4.6 図に示す。F3 規模以上を対象とした閾値の分析結果に比べ、頻度は全体的に上がったが、概ね同様の傾向が確認できた。



第 2.2.5.4.5 図 F2 規模の竜巻形成につながる環境場の閾値の同時超過頻度分布



第 2.2.5.4.6 図 EHI の超過頻度分布（閾値：1.5）

F2 規模相当の閾値での同時超過頻度を解析した結果をみても、東北地方太平洋側及び日本海側は、茨城県以西の太平洋側と比較して頻度が低くなっていることが確認できる。

日本海側で大きな竜巻が発生しにくい原因としては、太平洋側から暖かく湿った空気が、日本列島の中央部に存在する高く複雑な山岳域を湿潤不安定な状態のまま乗り越えてくることができないため、日本海側では大きな竜巻を引き起こす環境場が形成しにくくなっていると考えられる。

## 2.2.5.5 佐呂間町で発生した竜巻について

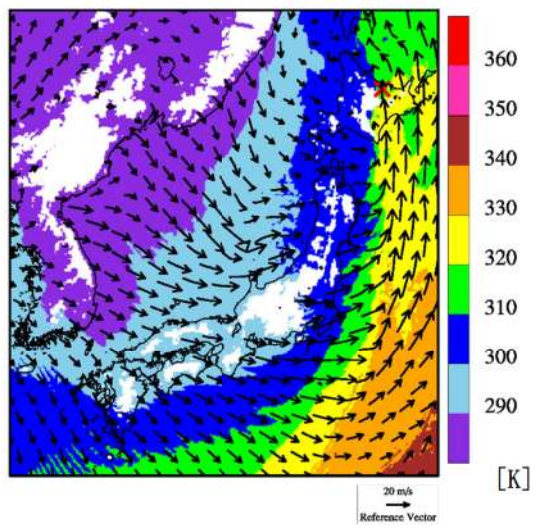
突風関連指数を用いた解析結果から、F3 規模以上の竜巒が発生しやすいとされる地域が分かったが、そのエリアに含まれていない北海道網走支庁佐呂間町では 2006 年 11 月に F3 竜巒が発生している（以下、「佐呂間竜巒」という。）。佐呂間竜巒は、太平洋沿岸で発生した竜巒と比較すると、

- ・国内で唯一内陸部（丘陵地の麓）において発生した竜巒である。
- ・F3 竜巒としては継続時間（1 分）と移動距離（約 1.4km）が非常に短かった。
- という点で異なっている。

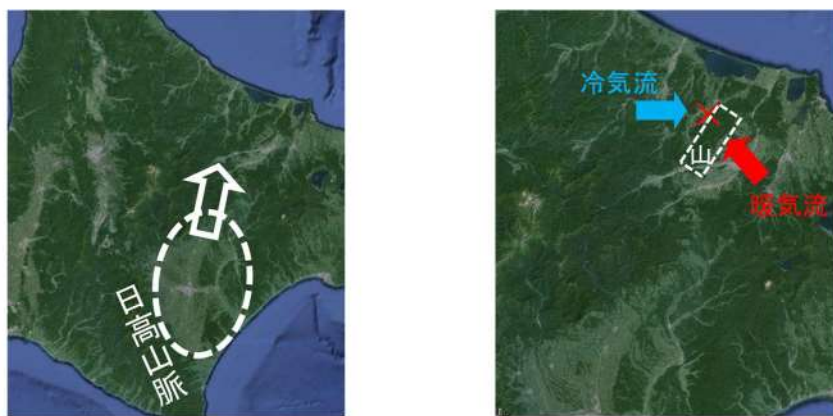
佐呂間竜巒の発生した地域では、太平洋側からの暖湿流が小高い丘を越えて流入するような地形になっており、平野部の冷気流とぶつかることにより大きな上層・下層間の風向差が生じる環境場となっていた（第 2.2.5.5.1 図、第 2.2.5.5.2 図）。

また、日高山脈の東側では、山を越えた冷気流と太平洋側の暖気流がぶつかる地点となっており、ここで発生した親雲が山脈沿いに北上しながら持続的に発達し、佐呂間地域で F3 規模の竜巒を形成するに至ったと考えられる。

これらの発生メカニズムについて、第 2.2.5.5.3 図に模式的に示す。



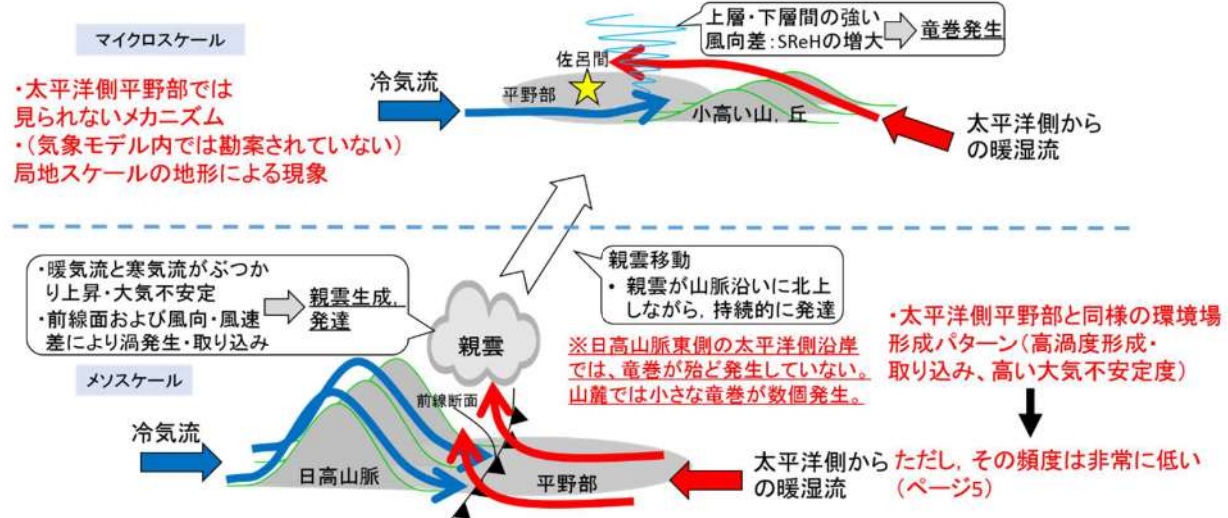
第 2.2.5.5.1 図 佐呂間竜巻発生時の風向・風速及び  
相当温位の分布（海拔 500m 高度）



親雲の発生位置（点線内）と移動方向竜巻の発生位置（ $\times$ ）と  
影響が指摘される山（点）

第 2.2.5.5.2 図 親雲の発生箇所と移動方向（左）及び竜巻の発生箇所（右）\*

\*：軽水型原子力発電所の竜巻影響評価における設計竜巻風速及び飛来物速度の設定に関するガイドライン，日本保全学会，原子力規制関連事項検討会，2015



第2.2.5.3 図 佐呂間竜巻の発生メカニズムに関する模式図\*

\* 軽水型原子力発電所の竜巻影響評価における設計竜巻風速及び飛来物速度の設定に関するガイドライン、日本保全学会、原子力規制関連事項検討会、平成27年1月

このように、佐呂間竜巻の発生メカニズムは、太平洋側沿岸域にて発生しているF3竜巻のメカニズムとは大きく異なっており、竜巻の持続時間・被害域長さも大きく異なっている。

竜巻影響評価における取扱いとしては、基準竜巻設定で対象としている地域性・空間スケールよりも局地的な地形影響を受けており、そういった影響については、設計竜巻  $V_D$  の設定時に考慮するのがガイドの趣旨に沿ったものとなる。

考慮する際のポイントは、以下の2点である。

- ・太平洋側からの暖湿流が高標高山岳等に遮断されずに直接流入しうる地域である。
- ・近隣地形（数キロ程度四方の範囲）において、（太平洋側からの）暖湿流の流入する風上側に尾根状の丘・山が存在すること。  
その観点で泊発電所周辺の地形を確認すると、以下のように整理できる。
- ・後志地方から胆振地方にかけて高標高山岳が存在するため、太平洋側から暖湿流が直接流入しない。（図2.2.5.4）
- ・日本海側で発達する気流は、主に西から東へ移動する傾向が強く、気流の流入する風上側（海側）に尾根状の丘、山が存在しない。

したがって、泊発電所で佐呂間竜巻と同様な地形条件にはなっていないことを確認した。

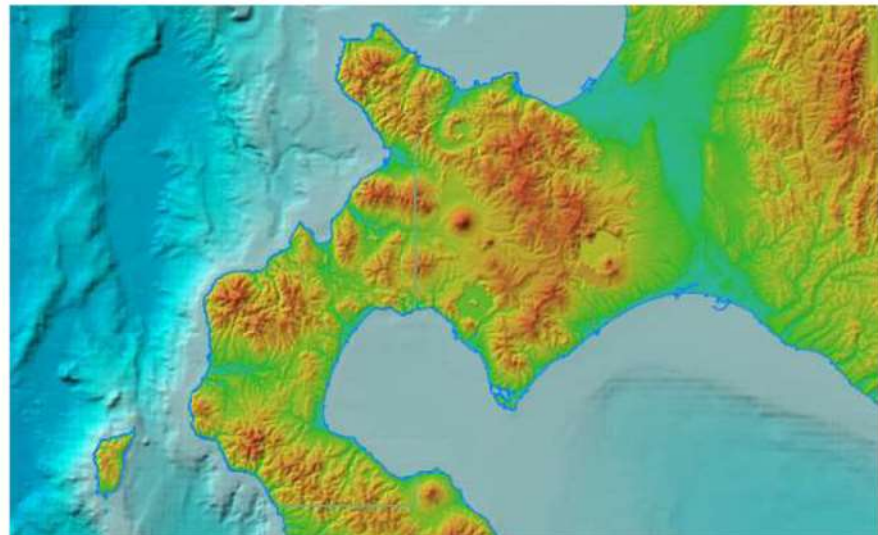


図 2.2.5.5.4 泊発電所周辺地形図  
(国土地理院「電子国土 Web」より作成)

さらに、佐呂間竜巻の実績から日高山脈を境にして暖湿・低乾な大気場に大きく分かれていることが確認された。高い標高の山の両側で空気塊の性質は変わりうるため、竜巻発生の観点では、日高山脈を境に道内を2つの地域に分けられ、襟裳岬以西の太平洋側は日本海側と同じ性質であると考えられる。

以上の検討結果より、過去発生した大きな竜巻（F2～F3 及び F3）の解析結果においても例外なく、大きな竜巻の発生時は、太平洋側から流れ込んだ暖湿な大気が高い山岳によって遮蔽されることなく太平洋側の発生地点周辺の平野部に流入していたこと、日本海側へは暖湿な大気が流入していなかったことが確認された。

## 2.2.6 竜巻検討地域の妥当性確認結果

総観場ごとのFスケール別竜巻発生分布より、発生する竜巻の規模には地域差があり、また、突風関連指数の分析結果から、日本海側は茨城県以西の太平洋側と大規模な竜巻形成につながる環境場の傾向が異なることが確認できた。

一方、総観場による分析では、泊発電所の立地する地域を含む裏日本気候区（I）のエリアの竜巻発生に関する総観場は類似していることが確認できた。

以上の分析結果を踏まえれば、泊発電所の竜巻検討地域として、北海道から本州の日本海側及び北海道太平洋側の襟裳岬以西を設定することが妥当と判断した。

## 2.3 基準竜巻の最大風速( $V_B$ )の設定

基準竜巻の最大風速は、過去に発生した竜巻による最大風速( $V_{B1}$ ) 及び竜巻最大風速のハザード曲線による最大風速( $V_{B2}$ )のうち、大きな風速を設定する。

### 2.3.1 過去に発生した竜巻による最大風速( $V_{B1}$ )

泊発電所が立地する北海道日本海側は、過去の発生実績及び突風関連指標を用いた分析結果から、大規模な竜巻は発生しにくいものと考えられる。

また、竜巻は観測の歴史が浅いこと及び気象庁における竜巻観測体制の変遷を踏まえると、他の気象観測データに比べ不確かさがあると考える。

上記を勘案し、日本で過去に発生した竜巻の最大風速を  $V_{B1}$  として設定する。

日本で過去に発生した最大の竜巻は F3 スケールである。F スケールと風速の関係より、F3 スケールの風速は 70~92m/s であるため、過去に発生した竜巻による最大風速  $V_{B1}$  は、F3 スケールの上限値である 92m/s とする。

第 2.3.1.1 表に日本で過去に発生した F3 竜巻を示す。

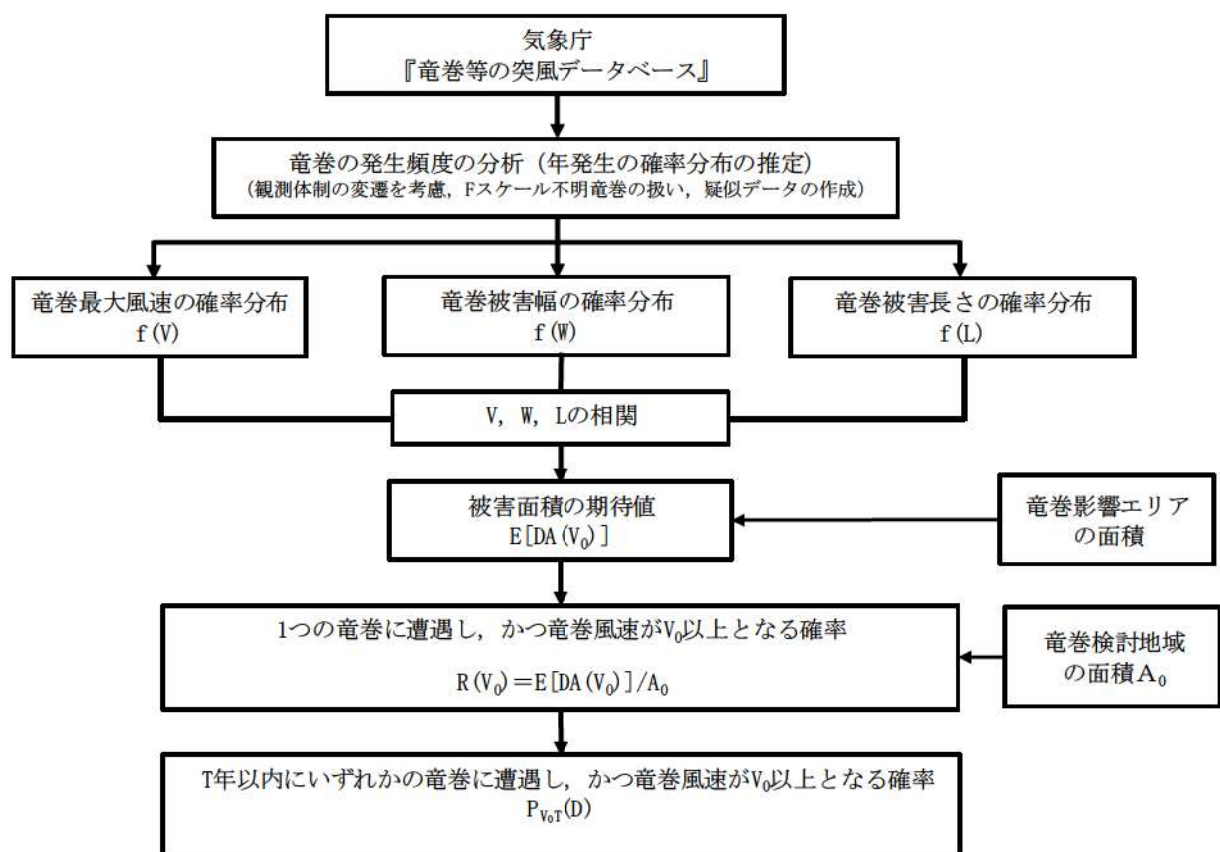
第 2.3.1.1 表 日本で過去に発生した F3 竜巻  
(気象庁「竜巻等の突風データベース」より作成)

F スケール	発生日時	発生場所緯度	発生場所経度	発生場所
F3	1971 年 07 月 07 日 07 時 50 分	35 度 52 分 45 秒	139 度 40 分 13 秒	埼玉県浦和市
F3	1990 年 12 月 11 日 19 時 13 分	35 度 25 分 27 秒	140 度 17 分 19 秒	千葉県茂原市
F3	1999 年 09 月 24 日 11 時 07 分	34 度 42 分 4 秒	137 度 23 分 5 秒	愛知県豊橋市
F3	2006 年 11 月 07 日 13 時 23 分	43 度 58 分 39 秒	143 度 42 分 12 秒	北海道網走支庁 佐呂間町
F3	2012 年 05 月 06 日 12 時 35 分	36 度 6 分 38 秒	139 度 56 分 44 秒	茨城県常総市

### 2.3.2 竜巻最大風速のハザード曲線の求め方【添付資料 2.4 1.】

竜巻最大風速のハザード曲線は、気象庁「竜巻等の突風データベース」より竜巻検討地域における竜巻の観測記録を抽出・評価し、既往の算定法 (Wen and Chu 及び Garson et al.) に基づき算定した。具体的な算定方法は、JNES 委託研究成果報告書※を参考とし、第 2.3.2.1 図に示すフローに従いハザード曲線を算定した。なお、ハザード曲線は、竜巻検討地域の竜巻特性を適切に考慮できる海岸線から陸側及び海側それぞれ 5 km の範囲内で算定した。加えて、竜巻検討地域において過去に発生した竜巻は、竜巻発生確認数にばらつきがあることを踏まえ、ガイドに基づき、ハザード曲線に保守性をもたせるために竜巻検討地域を海岸線に沿って 1 km 範囲ごとに短冊状に細分化した場合のハザード曲線も算定した。

※ 東京工芸大学：「平成 21～22 年度原子力安全基盤調査研究（平成 22 年度）竜巻による原子力施設への影響に関する調査研究」、独立行政法人原子力安全基盤機構委託研究成果報告書、平成 23 年 2 月



第 2.3.2.1 図 竜巻最大風速のハザード曲線の算定フロー

### 2.3.3 海岸線から陸側及び海側それぞれ 5 km 全域の評価

本評価では、竜巻検討地域外で発生して竜巻検討地域内に移動した竜巻である通過竜巻も発生数にカウントする。被害幅及び被害長さは、それぞれ被害全幅及び被害全長を用いる。

### 2.3.4 竜巻の発生頻度の分析【添付資料 2.4.2.】

気象庁「竜巻等の突風データベース」を基に 1961 年 1 月～2012 年 6 月までの 51.5 年間の統計量を F スケール別に算出した。なお、観測体制の変遷による観測データ品質のばらつき（第 2.3.4.1 図参照）を踏まえ、以下の①～④の基本的な考え方に基づいて整理を行った。

- ①被害が小さくて見過ごされやすい F0 及び F スケールが不明な竜巻は、観測体制が強化された 2007 年以降の年間発生数や標準偏差を採用する。
- ②被害が比較的軽微な F1 竜巻については、観測体制が整備された 1991 年以降の年間発生数や標準偏差を採用する。
- ③被害が比較的大きく見逃されることが少ない F2, F3 竜巻については、観測データが整備された 1961 年 1 月以降の全期間の年間発生数や標準偏差を採用する。
- ④51.5 年間の発生数を、①～③の観測期間との比率から F スケールごとに推計する。

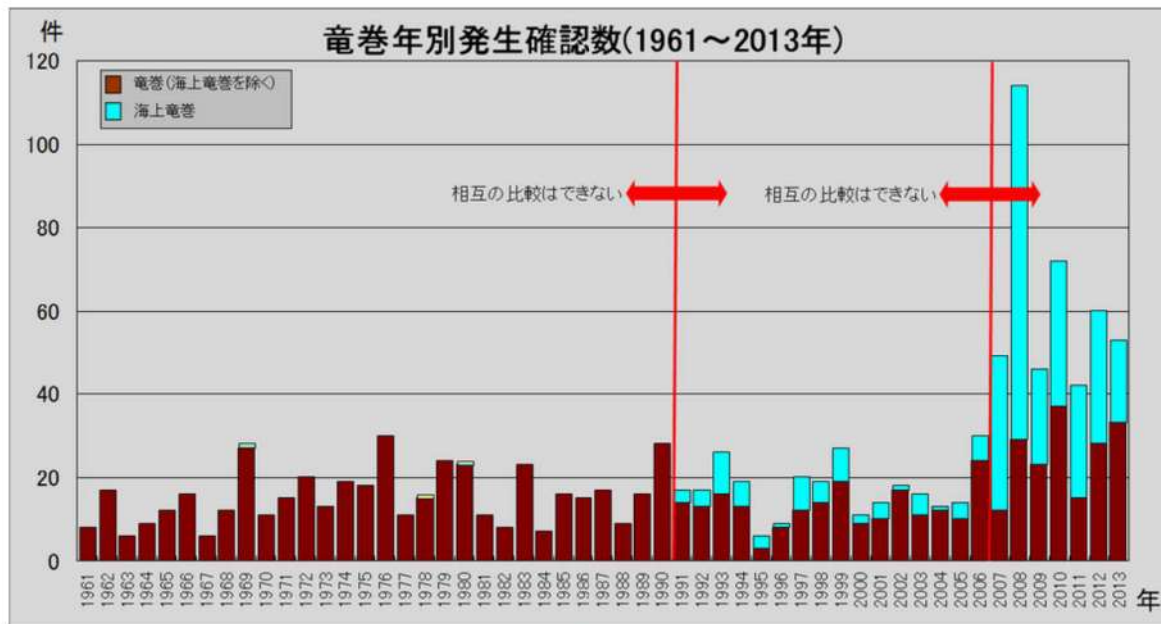
また、F スケールが不明な竜巻については、以下の考え方に基づいて分類した。

- ⑤陸上で発生した F スケールが不明な竜巻及び海上で発生しその後上陸した F スケール不明竜巻は F0 に含める。これにより、すべての陸上竜巻を F0～F3 に分類する。
- ⑥沿岸部近傍での海上竜巻の特性は、陸上竜巻の特性と類似しているとの仮定の下、不明な海上竜巻の発生数を陸上竜巻の F スケール別発生比率で按分する。

上記の基本的な考え方に基づいて観測記録を整理・推定した結果を第 2.3.4.1 表に示す。

また、同表の分析結果に基づき竜巻最大風速のハザード曲線の算出に使用する竜巻の発生数を第 2.3.4.2 表に示す。

なお、竜巻発生の確率モデルは、ガイドに従ってポアソン過程に従うものとし、年発生数の確率分布には、ポリヤ分布を適用した。



第2.3.4.1図 竜巻の年別発生確認数（気象庁HPより）

第2.3.4.1表 竜巻発生数の分析結果

竜巻検討地域 (沿岸±5km)	発生数 の統計	小計	竜巻スケール				不明		総数
			F0	F1	F2	F3	(陸上)	(海上)	
1961～ 2012/6 (51.5年間)	期間内総数	87	29	45	13	0	12	110	209
	平均値(年)	1.69	0.56	0.87	0.25	-	0.23	2.14	4.06
	標準偏差(年)	2.53	1.99	1.03	0.52	-	0.68	5.89	7.91
1991～ 2012/6 (21.5年間)	期間内総数	58	29	26	3	0	11	110	179
	平均値(年)	2.70	1.35	1.21	0.14	-	0.51	5.12	8.33
	標準偏差(年)	3.49	2.95	1.15	0.36	-	0.98	8.37	10.98
2007～ 2012/6 (5.5年間)	期間内総数	31	25	6	0	0	5	92	128
	平均値(年)	5.64	4.55	1.09	-	-	0.91	16.73	23.27
	標準偏差(年)	6.22	4.94	1.34	-	-	1.69	10.96	15.13
疑似 51.5年間 (陸上竜巻)	期間内総数	358	235	63	13	0	47	862	1220
	平均値(年)	6.92	4.55	1.21	0.25	-	0.91	16.73	23.64
	標準偏差(年)	5.37	4.94	1.15	0.52	-	1.69	10.96	12.21
疑似 51.5年間 (全竜巻)	期間内総数	1222	962	215	45	0	0	0	1222
	平均値(年)	23.57	18.59	4.12	0.86	-	-	-	23.57
	標準偏差(年)	9.91	9.63	2.13	0.96	-	-	-	9.91

注1：切り上げの関係で総計数が一致していない箇所がある。

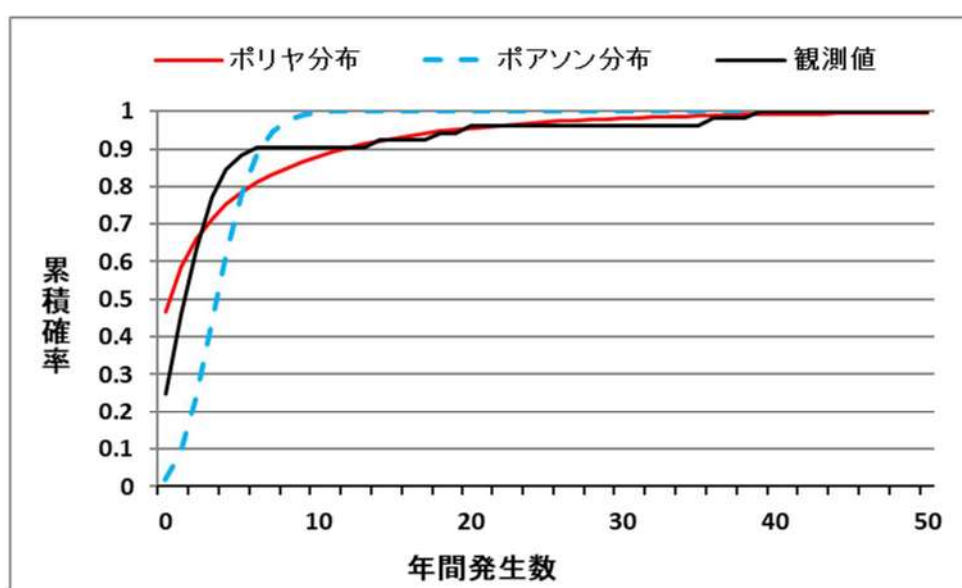
注2：色塗り部分については、竜巻発生頻度の分析に用いるデータを示している。

第2.3.4.2表 分析結果に基づき竜巻最大風速のハザード曲線の算出に使用する竜巻の発生数

竜巻検討地域 (沿岸±5km)	発生数 の統計	竜巻スケール					小計
		F0	F1	F2	F3	不明	
疑似 51.5年間 (全竜巻)	期間内総数	962	215	45	0	0	1222
	平均値(年)	18.68	4.17	0.87	-	-	23.73
	標準偏差(年)	9.63	2.13	0.96	-	-	9.91

(参考) ポリヤ分布の適用について

- ・ガイドにて、 $V_{B2}$ 算定の参考になるとされている東京工芸大学委託成果によれば、Wen and Chuが、竜巻に遭遇しかつ竜巻風速がある値以上となる確率モデルの推定法を提案し、竜巻の発生がポアソン過程に従うと仮定した場合、竜巻の年発生数の確率分布はポアソン分布若しくはポリヤ分布に従うとしている。
- ・ポアソン分布は、生起確率が正確に分からぬがまれな現象の場合に有用な分布である。一方、ポリヤ分布は、発生状況が必ずしも独立でないまれな現象（ある現象が生ずるのはまれであるが、一旦ある現象が発生するとその周囲にもその現象が生じやすくなる性質）の場合に有用な分布である（例えば伝染病の発生件数等）。台風や前線により竜巻が発生した場合、同時多発的に複数の竜巻が発生する状況が考えられるため、ポリヤ分布の方が実現象をより反映できると考えられる。
- ・なお、国内を対象とした竜巻の年発生数の分布の適合性に関する検討結果は、上述の東京工芸大学委託成果に示されており、陸上竜巻及び海上竜巻の両方の発生数について、ポリヤ分布の適合性がポアソン分布に比べて優れているとしている。
- ・今回、竜巻検討地域で発生した竜巒を対象に、発生数に関するポアソン分布及びポリヤ分布の適合性を検討した。竜巒検討地域における竜巒の年発生数の累積頻度を第2.3.4.2図に示す。その結果、竜巒検討地域においても、ポリヤ分布の適合性がポアソン分布に比べて優れていることを確認した。
- ・以上より、ハザード曲線の評価に当たって使用する竜巒年発生数の確率密度分布は、ポリヤ分布を採用した。



第2.3.4.2図 竜巒検討地域における竜巒の年発生数の累積頻度

## 2.3.5 竜巻最大風速、被害幅、被害長さの確率分布及び相関係数【添付資料 2.4 3.】

### 【添付資料 2.4 4.】

竜巻ハザードを評価するためには、一つの竜巻が発生した際の竜巻最大風速、被害幅及び被害長さの確率分布が必要となることから、これらの確率密度分布を求める。

なお、竜巻風速の確率密度分布は、Fスケール別の竜巻発生数から求める。

竜巻検討地域における51.5年間の竜巻の発生数、被害幅及び被害長さを基に、確率密度分布についてはガイド及びガイドが参考としているJNES委託研究成果報告書を参照し、対数正規分布に従うものとする(第2.3.5.1図～第2.3.5.6図)。

なお、竜巻最大風速については、ハザードを保守的に評価するとの観点から、第2.3.5.1表に記載のFスケールの各区分の風速範囲内で一様に分布すると仮定する方法により竜巻風速の対数正規分布を算出している。

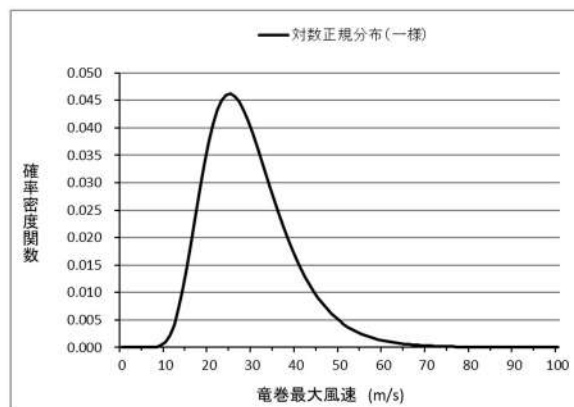
また、疑似的な竜巻の作成に伴う被害幅又は被害長さの情報がない竜巻には、被害幅又は被害長さを有する竜巻の観測値を与えていた。その際は、被害幅又は被害長さが大きいほうから優先的に用いることで、被害幅又は被害長さの平均値が大きくなるように工夫しているとともに、被害幅又は被害長さ0のデータについては計算に用いておらず、保守的な評価を行っている。

このように、前述のFスケール不明の竜巻の取扱い等も含め、データについては保守的な評価となる取扱いを行っている。

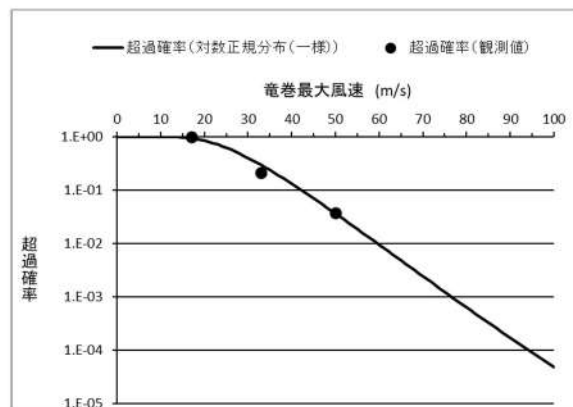
また、竜巻のハザードの計算においては、2変量あるいは3変量の確率分布関数を対象とするため、竜巻最大風速、被害幅及び被害長さについての相関係数を求めた。第2.3.5.2表に1961年以降の観測データのみを用いて、竜巻最大風速、被害幅及び被害長さについて相関係数を求めた結果を示す。

第2.3.5.1表 竜巻検討地域における竜巻パラメータ (51.5年間の推定結果)

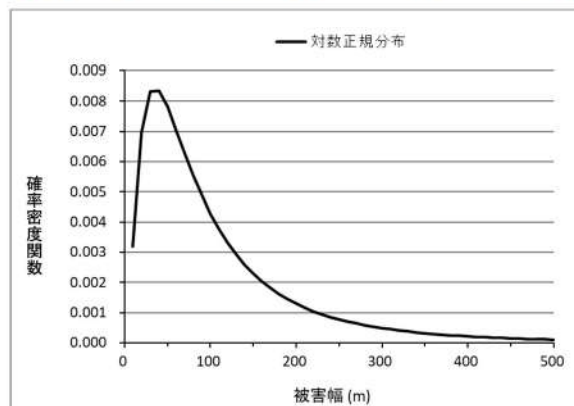
疑似 51.5年間 (全竜巻)	パラメータ	統計量	小計	竜巻スケール			
				F0	F1	F2	F3
	発生数	期間内総数	1222	962	215	45	0
		年平均(個)	24	19	4	1	-
		標準偏差(個)	10	10	2	1	-
	被害幅	期間内総数	1222	962	215	45	0
		平均値(m)	118	116	112	179	-
		標準偏差(m)	132	122	102	314	-
	被害長	期間内総数	1222	962	215	45	0
		平均値(km)	1.550	1.082	3.391	2.773	-
		標準偏差(km)	2.654	1.421	4.962	2.948	-



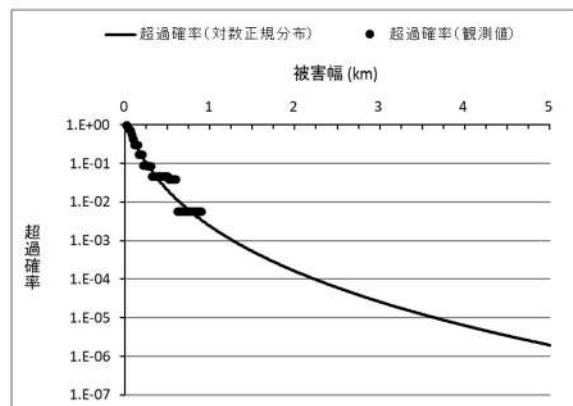
第2.3.5.1図 竜巻最大風速の確率密度分布



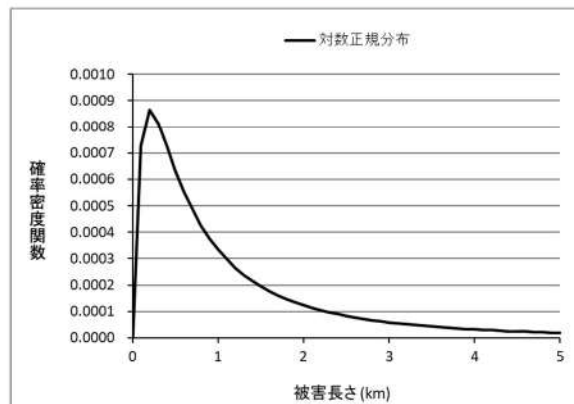
第2.3.5.2図 竜巻最大風速の超過確率分布



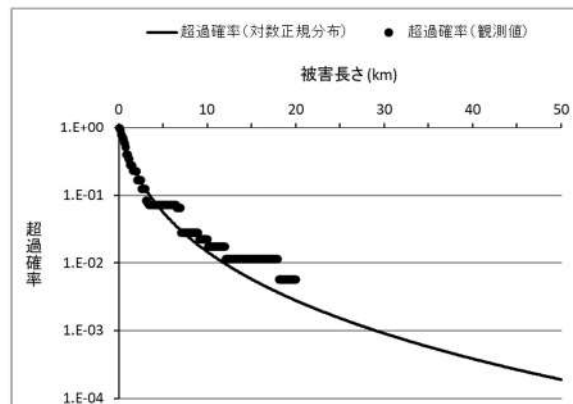
第2.3.5.3図 被害幅の確率密度分布



第2.3.5.4図 被害幅の超過確率分布



第2.3.5.5図 被害長さの確率密度分布



第2.3.5.6図 被害長さの超過確率分布

第2.3.5.2表 竜巻最大風速、被害幅、被害長さの相関係数 (単位無し)

相関係数	竜巻最大風速	被害幅	被害長さ
竜巻最大風速	1. 000	-0. 060*	0. 319
被害幅	-0. 060*	1. 000	0. 458
被害長さ	0. 319	0. 457	1. 000

\*竜巻最大風速と被害幅は無相関との知見が得られたため、ハザード算定の際には、相関係数0として計算

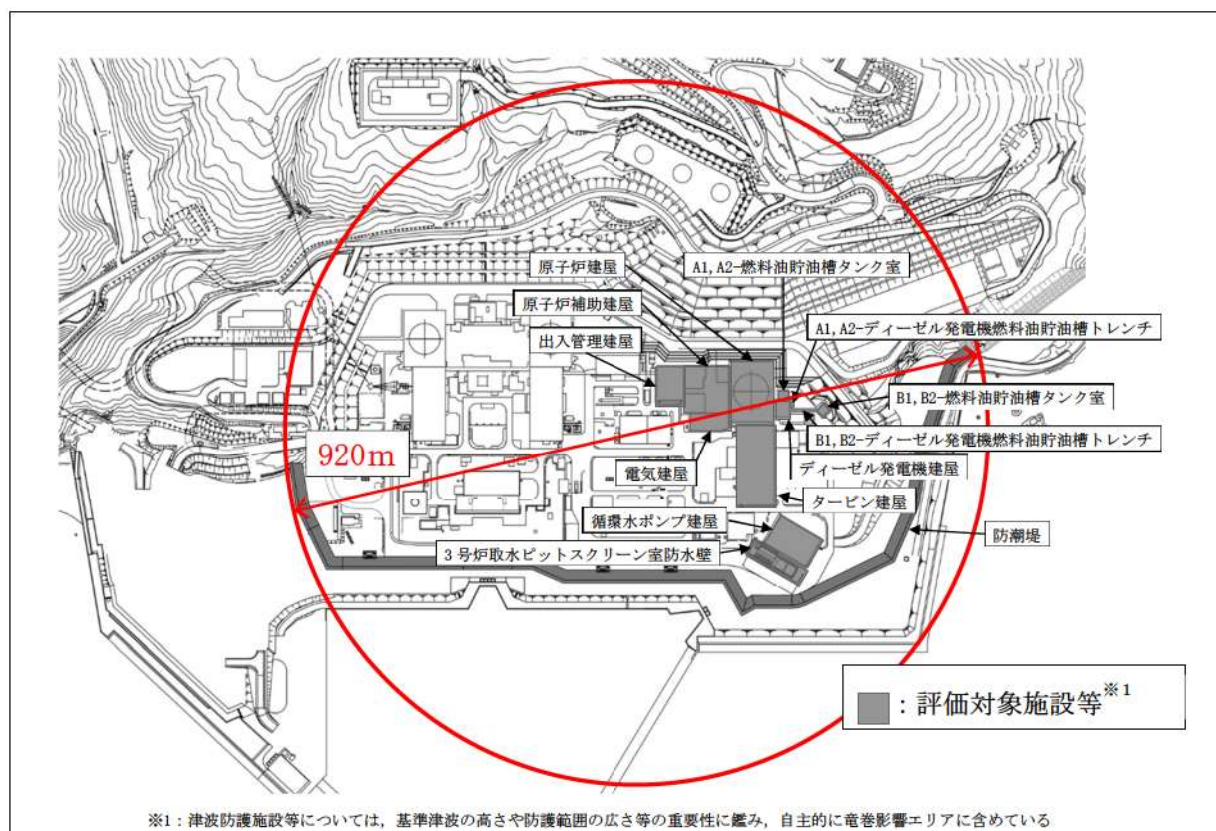
### 2.3.6 竜巻影響エリアの設定【添付資料 2.4 5.】

竜巻最大風速のハザード曲線による最大風速 ( $V_{B2}$ ) の算定にあたり、 $V_{B2}$  の発生エリアである竜巻影響エリアを設定する。竜巻影響エリアは、泊発電所 3 号炉の評価対象施設等を十分な余裕をもって包絡するエリアとして設定する。

第 2.3.6.1 図に泊発電所 3 号炉の竜巻影響エリアを示す。

竜巻影響エリアは、泊発電所 3 号炉の評価対象施設を包絡する円形のエリア(直径 920m、面積約 664,000m<sup>2</sup>)として設定した。

なお、竜巻影響エリアを円形とするため、竜巻移動方向の依存性はない。



第 2.3.6.1 図 評価対象施設等の位置

### 2.3.7 竜巻最大風速のハザード曲線の算定【添付資料 2.4 6.】

T年以内にいずれかの竜巻に遭遇し、かつ竜巻風速が  $V_0$  以上となる確率を求める。竜巻の年発生数の確率密度分布としてポリヤ分布の適合性が高い。ポリヤ分布は式(1)で示される。

$$P_T(N) = \frac{(vT)^N}{N!} (1 + \beta vT)^{-N-1/\beta} \prod_{k=1}^{N-1} (1 + \beta k) \quad (1)$$

ここで、

$N$ ：竜巻の年発生数

$v$ ：竜巻の年平均発生数

$T$ ：年数

$\beta$ は分布パラメータであり式(2)で示される。

$$\beta = \left( \frac{\sigma^2}{v} - 1 \right) \times \frac{1}{v} \quad (2)$$

ここで、

$\sigma$ ：竜巻の年発生数の標準偏差

$D$ をリスク評価対象構造物が風速  $V_0$  以上の竜巻に遭遇する事象と定義し、 $R(V_0)$ をリスク評価対象構造物が1つの竜巻に遭遇し、竜巻風速が  $V_0$  以上となる確率と定義すると、T年以内にいずれかの竜巻に遭遇し、かつ竜巻風速が  $V_0$  以上となる確率は式(3)で示される。

$$P_{V_0,T}(D) = 1 - [1 + \beta v R(V_0) T]^{-1/\beta} \quad (3)$$

この  $R(V_0)$  は、竜巻影響評価の対象地域の面積を  $A_0$ （つまり竜巻検討地域の面積約  $38,895\text{km}^2$ ）、1つの竜巻の風速が  $V_0$  以上となる面積を  $DA(V_0)$  とすると式(4)で示される。

$$R(V_0) = \frac{E[DA(V_0)]}{A_0} \quad (4)$$

ここで、 $E[DA(V_0)]$  は、 $DA(V_0)$  の期待値を意味する。

本評価では、以下のようにして  $DA(V_0)$  の期待値を算出し、式(4)により  $R(V_0)$  を推定して、式(3)により  $P_{V_0,T}(D)$  を求める。竜巻最大風速を  $V$ 、被害幅  $w$ 、被害長さ  $l$ 、移動方向  $\alpha$  及び構造物の寸法を  $A$ 、 $B$  とし、 $f(V, w, l)$  等の同時確率密度関数を用いると、 $DA(V_0)$  の期待値は式(5)で示される。

$$\begin{aligned}
E[DA(V_0)] &= \int_0^{\infty} \int_0^{\infty} \int_{V_0}^{\infty} W(V_0) f(V, w, l) dV dw dl \\
&+ \int_0^{2\pi} \int_0^{\infty} \int_{V_0}^{\infty} H(\alpha) l f(V, l, \alpha) dV dl d\alpha + \int_0^{\infty} \int_0^{\infty} \int_{V_0}^{\infty} W(V_0) G(\alpha) f(V, w, \alpha) dV dw d\alpha \\
&+ AB \int_{V_0}^{\infty} f(V) dV
\end{aligned} \tag{5}$$

ここで、 $W(V_0)$ は竜巻風速が  $V_0$  以上となる幅であり、式(6)で示される。  
 $H(\alpha)$ 及び $G(\alpha)$ はそれぞれ、竜巻の被害長さ及び被害幅方向に沿った面にリスク評価対象構造物を投影した時の長さであり、式(7)で示される。

$$W(V_0) = \left( \frac{V_{min}}{V_0} \right)^{1/1.6} w \tag{6}$$

ここで、

$$\begin{aligned}
V_{min} &: \text{被害幅 } w \text{ 内の最小竜巻風速} \\
V_0 &: \text{被害が発生する最小風速}
\end{aligned}$$

$$\begin{aligned}
H(\alpha) &= B |\sin \alpha| + A |\cos \alpha| \\
G(\alpha) &= A |\sin \alpha| + A |\cos \alpha|
\end{aligned} \tag{7}$$

本評価ではリスク評価対象構造物を円形構造物（竜巻影響エリア）で設定しているため、 $H(\alpha)$ 、 $G(\alpha)$ とともに竜巻影響エリアの直径 920m で一定（竜巻の移動方向に依存しない）となる。円の直径を  $D_0$ とした場合の計算式は式(8)で示される。

なお、竜巻最大風速のハザード曲線の算定において、風速の積分範囲の上限値はハザード曲線の形状が不自然にならない程度に大きな値として 120m/s に設定している。

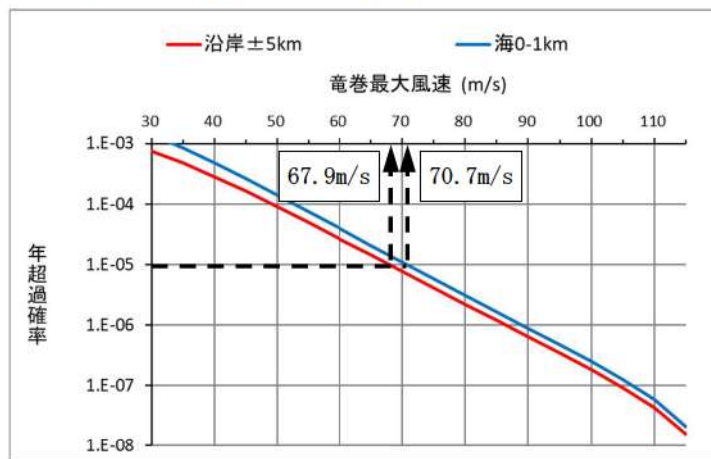
$$\begin{aligned}
E[DA(V_0)] &= \int_0^{\infty} \int_0^{\infty} \int_{V_0}^{\infty} W(V_0) f(V, w, l) dV dw dl \\
&+ D_0 \int_0^{\infty} \int_{V_0}^{\infty} l f(V, l) dV dl + D_0 \int_0^{\infty} \int_{V_0}^{\infty} W(V_0) f(V, w) dV dw \\
&+ \left( D_0^2 \pi / 4 \right) \int_{V_0}^{\infty} f(V) dV
\end{aligned} \tag{8}$$

### 2.3.8 竜巻最大風速のハザード曲線による最大風速 ( $V_{B2}$ )

第 2.3.8.1 図に、海岸線から陸側及び海側それぞれ 5 km の範囲全域（竜巻検討地域）及びガイドに従い竜巻検討地域を 1 km 範囲ごとに細分化した場合の竜巻最大風速のハザード曲線を示す。

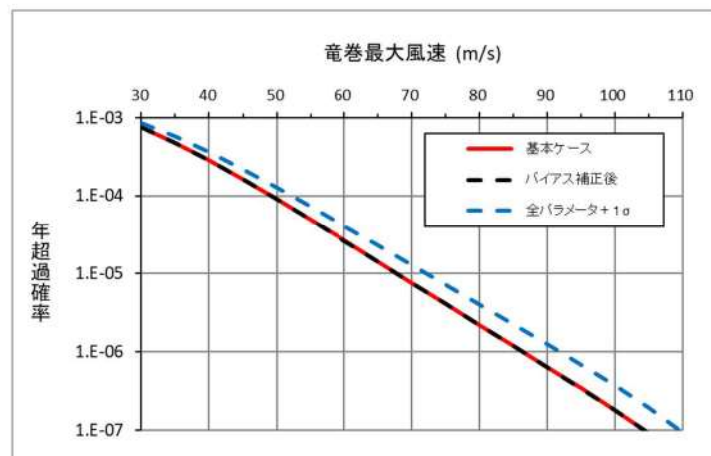
第 2.3.8.1 図より、陸側及び海側それぞれ 5 km の範囲全域を対象とした場合の年超過確率  $10^{-5}$  における風速は 67.9 m/s、竜巻検討地域を 1 km 範囲ごとに細分化した場合の年超過確率  $10^{-5}$  における風速は 70.7 m/s（海側 0 ~ 1 km）となった。

よって、竜巻最大風速のハザード曲線による最大風速 ( $V_{B2}$ ) は、陸側及び海側それぞれ 5 km の範囲全域及び 1 km 範囲の竜巻最大風速のハザード評価結果のうち大きい方を採用し、 $V_{B2}=70.7\text{m/s}$  とする。



第 2.3.8.1 図 竜巻最大風速のハザード曲線  
(陸側及び海側それぞれ 5 km の範囲及び 1 km 範囲)

また、不確実さ要素のハザード算定結果への影響を検討した結果を第 2.3.8.2 図に示す【添付資料 2.4 参考資料 3】。第 2.3.8.2 図より、データ、確率分布形選択及びデータ量が少ないとによる不確実さを表したハザード曲線により、これらの不確実さが小さいことを確認した。



第 2.3.8.2 図 ハザード不確実さ検討結果  
(バイアス補正後及び全パラメータ + 1 σ のハザード)